

ЎЗБЕКИСТОН РЕСПУБЛИКАСИ ҚУРИЛИШ ВАЗИРЛИГИ
ТОШКЕНТ АРХИТЕКТУРА ҚУРИЛИШ ИНСТИТУТИ

С.А. Сайдий

**ҚУРИЛИШ
МЕХАНИКАСИ**

Тошкент – 2018

Қурилиш механикаси: Олий ўқув юртларининг архитектура ва қурилиш таълим йўналиши талабалари учун дарслик.

Аннатация

Ушбу дарсликда статик аниқ ва статик ноаниқ системаларни ҳисоблаш усуллари баён этилган. Айрим бобларда зўрикиш ва кўчишларни аниқлаш тенгламаларида матрица усулидан фойдаланилган ва ҳисоблашга доир мисоллар келтирилган.

Олий ўқув юртларининг қурилиш йўналиши бўйича таҳсил олаётган талабаларига мўлжалланган. Бино ва иншоотларни ҳисоблаш ва лойиҳалаш билан шуғулланувчи мутахассислар ҳам фойдаланиши мумкин.

Аннатация

В настоящем учебнике изложены методы расчета статически определимых и неопределимых систем. В отдельных главах использована матричная форма решения уравнения для определения усилий и перемещений, приведены примеры расчета.

Предназначается для студентов строительных специальностей вузов. Может быть полезен специалистам, работающим в области проектирования и расчета зданий и сооружений.

Annotation

Comparing with previous edition in this manual are made changes and addition methods of calculations of determinable and interminable are given. In separate chapters is used matrix forms of solution equations for to determinate efforts and movement, and is given calculations.

The book is consigned for students of building specialties. May be it useful for specialties who work in branch of design and calculation of engineering calculation.

Масъул мухаррир: т.ф.д., проф. Абдурашидов К. С.

Тақризчилар: 1. проф. Мирсаидов М. М.
2. проф. Абдурашидов К.С.

СҮЗ БОШИ

Умуммуҳандислик фанлари орасида назарий механика, материаллар қаршилиги ва қурилиш механикаси фанлари муҳим ўрин тутади. Қурилиш муҳандисларининг малакасини белгилашда бу фанларнинг аҳамияти бенихоя каттадир.

Қурилиш механикаси фани қурилиш мутахасислиги бўйича ўқийдиган бакалавр ва магистрлар учун асосий фанлардан биридир.

Мазкур дарслик олий техника ўқув юртларининг қурилиш мутахасисликлари йўналишлари: 5580100 – Архитектура; 5580200 – Бинолар ва саноат иншоотлари қурилиши; 5580400 – Инженерлик тармоқлари қурилиши; 5580500 – Қурилиш ишлаб чиқариш технологияси; 5580600 – Шаҳар қурилиши ва хўжалиги бўйича Ўзбекистон Республикаси Олий ва ўрта маҳсус таълим вазирлиги томонидан тасдиқланган намунавий дастур асосида ёзилди.

Дарслик бўйича билдирилган танқидий фикр–мулоҳазалар муаллиф томонидан мамнуният билан қабул қилинади.

К И Р И Ш

1.1. Қурилиш механикаси фани ва унинг вазифалари

Қурилиши механикаси иншоотларнинг мустаҳкамлиги, устуворлиги ва бикирлиги ҳақидаги фандир.

Иншоотларнинг **мустаҳкамлиги** деганда уларнинг юк кўтариш қобилияти тушунилади, чунки мустаҳкам иншоот ўзига кўйилган, юкларни bemalol кўтариб турға олиши лозим, акс ҳолда, унинг мустаҳкамлиги етарли даражада бўлмайди.

Иншоотларнинг **устуворлиги** деганда ташқи юклар таъсирида иншоот ўзининг дастлабки мувозанат ҳолатини сақлаб қолиши тушунилади.

Эксплуатация жараёнида иншоотда меъёридан ортиқча кўчиш, салқилик ва оғишлар рўй бермаслиги учун уларнинг **бикирлиги** ҳисоблаш йўли билан текширилади.

Маълумки, мустаккамлик, устуворлик ва бикирлик масалалари билан материаллар қаршилиги фани ҳам шуғулланади. Қурилиш механикаси билан материаллар қаршилиги фани ўртасидаги фарқ шундаки, материаллар қаршилиги фани иншоотни ташкил этувчи алоҳида элементлар (балка, стержень ва х.к.) нинг мустаҳкамлиги, устуворлиги ва бикирлигини ўрганади. Қурилиш механикасида эса алоҳида элементлардан ташкил топган бутун иншоотнинг мустаҳкамлнги, устуворлиги ва бикирлиги билан шуғулланади. Аниқроқ қилиб айтганда, яхлит иншоотлар мустаҳкамлигини, устуворлигини ва бикирлигини таъминлайдиган қонун-қоидалар ва усуллар билан танишиб ўтилади. Қурилиш механикаси фани материаллар қаршилиги фани билан ўзвий боғланган фандир. Бундан ташқари, қурилиш механикаси фани назарий механика, физика ва математика фанларига ҳам боғлиқдир. Ўз навбатида қурилиш механикаси фанининг ҳисоблаш усуллари қурилиш конструкциялари фанлари (темирбетон ва ғишт-тош конструкциялари, металл, ёғоч ва пластмасса конструкциялари) да фойдаланилади.

Конструкция элементларининг узунликлари ҳамда кўндаланг кесим ўлчамлари элементларга таъсир этувчи кучлар ва элементнинг материалига боғлиқ ҳолда ҳисоблаш йўли билан аниқланади.

Курилиш механикаси фанининг асосий вазифаларидан бири ташқи кучлар (юклар) таъсирида конструкция элементларида ҳосил бўладиган ички кучларни (зўриқишиларни) аниқлашдан иборатdir. Конструкция элементларининг кўндаланг кесим ўлчамлари аниқланган зўриқишиларнинг миқдорига қараб белгиланади.

Ташқи кучлар таъсирида иншоот ва унинг элементларида ҳосил бўладиган салқилик, қўчиш ва тебраниш амплитудаларини аниқлаш каби масалалар ҳам қурилиш механикаси фани доирасидаги масалалардан ҳисобланади.

Назарий жиҳатдан баён этилган усулларнинг амалий тадбиқи мисол ва масалаларда ўз аксини топган.

Курилиш механикасида яратилган ҳар қандай назарий усуллар тажрибада синаб кўрилади. Шунга кўра қурилиш механикаси фани назарий ва тажрибавий фан саналади.

Курилиш механикаси фанида ишлаб чиқилган ҳисоблаш усуллари лойиҳалаш жараёнида кенг қўлланилади. Бундан қурилиш механикаси ўз вазифаларини тўлиқ бажариб бўлди, деган маъно чиқмайди, албатта. Қурилиш механикаси ҳам бошқа фанлар сингари ўсиб бораётган қурилиш саноатининг талаблариiga мос равишда муттасил ривожланиб, такомиллашиб боради.

1.2. Қурилиш механикаси фанининг ривожланиши

Курилиш механикаси ривожланиш жараёнининг дастлабки босқичларида мустақил фан бўлмай, умумий механиканинг таркибий қисмларидан бири бўлган. Бинобарин умумий механиканинг ибтидоий даврлардан бошлаб ҳозирги давргача бўлган тарихи қурилиш механикасига ҳам бевосита алоқадордир.

Механиканинг назарий асослари дастлаб қадимги Юнонистон ва Мисрда пайдо бўлган.

Механикага доир илк ёзма асар Юнонистоннинг машҳур файласуфи Аристотелга тегишлидир. Аристотель «механика» сўзини илмий атама сифатида фанга биринчи бўлиб олиб кирган. Механиканинг хилма-хил масала ва муаммоларини ҳал этишда қадимги замон олимлари Архимед, Герон, Платон, Аполлоний, Гиппарх, Птолемей, Никомед, Архит ва бошқаларнинг хизматлари бенихоя каттадир.

Шарқ мамлакатларида механика фани IX-XII асрларда тараққий эта бошлади. Бу даврга келиб шаркнинг машҳур олимлари Абу Райхон Беруний, Абу Абдулло ал-Хоразмий, Абу Али ибн Сино, Умар Хайём, ал-Форобий, Ахмад ал-Фарғоний ва бошқалар табиий фанлар, жумладан, механика фанининг ривожланишига катта ҳисса қўшдилар.

VII – VIII асрлардан бошлаб Ислом дини кенг ёйилган мамлакатларда. масжид, мадраса, мақбара сингари Маҳобатли бинолар қурилиши авж олади. Шарқ мамлакатлари, жумладан, Ўрта Осиёда бунёд этилган қадимий меъморчилик ёдгорликларида гумбаз, минора, айланма зина, пештоқ, равоқ, муқарнас каби мураккаб қурилмалар қўлланилган. Табиийки, бундай биноларни қуриш учун муҳандис, меъмор ва усталардан катта билим ва маҳорат талаб этилган. Қадимий биноларнинг шакл ва ўлчамлари асрлар мобайнида такомиллашиб борди. Қадимий меъморчилик обидаларининг асрлар оша бизгача этиб келиши бобокалон меъморлар ва уста бинокорларнинг амалий қурилиш механикасидан чуқур ҳабардор эканликларидан далолат беради.

Механиканинг кейинги ривожи Уйғониш даврида Европага кўчди. Бу давр механикаси буюк олимлар Леонардо да Винчи, Стевин, Коперник, Кеплер, Галилей ва Ньютонларнинг оламшумул асарлари ва ихтиrolари билан бойиди, материаллар қаршилиги ва қурилиш механикасига доир биринчи китоб ўша даврда яратилди. Китобнинг номи «Икки янги фан хақида сухбатлар ва математик исботлар» деб аталиб, муаллифи Галилео

Галилей эди. 1678 йилда Роберт Гук ўзининг машхур қонунини кашф этди, яъни чўзилиш қанақа бўлса, куч ҳам шунақа бўлади, деб таърифлади. Бошқача айтганда, деформация кучга тўғри пропорционалдир. Қурилиш механикасининг деярли барча назария ва усуллари ана шу оддий қонунга асосланади.

XVIII асрда саноатнинг кенг ривожланиши илм-фан олдига янги-янги вазифалар қўйди.

XIX асрда темир йўлларнинг пайдо бўлиши, кўприклар ва йирик саноат биноларининг қад кўтариши қурилиш механикасини янада ривожланишига туртки бўлди. Бу ва бундан кейинги даврларда қурилиш механикасининг ривожланишига чет эллик олимлардан Даламбер, Лагранж, Кулон, Ламс, СенВенан, Эйлер, Максвелл, Мор, Мюллер-Бреслау ва бошқалар, рус олимларидан Д. И. Журавский, Ф. С. Ясинский, Н. А. Белелюбский, В. Г., Шухов, В. Л. Кирпичев, Л. Р. Прокуряков, А. Н. Крилов, И. Г. Бубнов, Б. Г. Галеркин, кейинчалик И.М. Рабинович, В. З. Власов, К. С. Завриев, А. Ф. Смирнов, Н. И. Безухов, В. В. Болотин, А. В. Дарков ва бошқалар катта ҳисса қўшдилар.

Қурилиш механикасининг ривожланишида юртимиз олимларининг ҳиссаси катта.

Назарий механика ва материаллар қаршилиги курсларидан ўзбек тилида биринчи дарсликни академик М. Т. Ўрозбоев яратди. Ўзбекистонда кибернетиканинг тараққиёти академик В. К. Қобуловнинг номи билан боғлиқдир. Зилзилалар тез-тез содир бўлиб турадиган республикамиизда зилзилабардош конструкциялар устида олиб борилаётган ишларнинг аҳамияти нақадар катта ҳисобланади. Бу соҳада академик Т.Р. Рашидовнинг ер ости иншоотлари сейсмик мустаҳкамлиги назариясига қўшган ҳиссаси бехаддир. Академик Т. Ш. Ширинқуловнинг замин ва пойдеворлар соҳасида олиб борган илмий тадқиқотлари натижалари катта аҳамиятга эга бўлди.

Ҳозирги пайтда конструкцияларнинг ҳисоби асосан компьютерларда бажарилмоқда. Шу боисдан эндилиқда қурилиш механикасида

компьютерлардан фойдаланиш имконини берадиган аналитик усулларнинг роли ортиб бормокда.

Ҳисоблаш техникасидан кенг фойдаланиш имконини берадиган усуллардан бири матрица усулидир. Матрица усулининг афзаликларидан бири шундан иборатки, бунда бир хил матрица амалидан фойдаланиб, турли хил системаларни ҳисоблаш мумкин.

Истиқболли усуллардан яна бири *чекли элементлар* усулидир (ЧЭУ). Бу усулга кўра яхлит жисм алоҳида чекли элементларга бўлиб чиқилади; бу элементларнинг ўзаро боғланиши алоҳида нуқталардаги зўриқишлиарнинг ўзаро таъсири орқали уч ва тўрт бурчакларга, фазовой масалаларда эса - параллелепипед ёки тетраэдрларга тақсимлаб чиқилади.

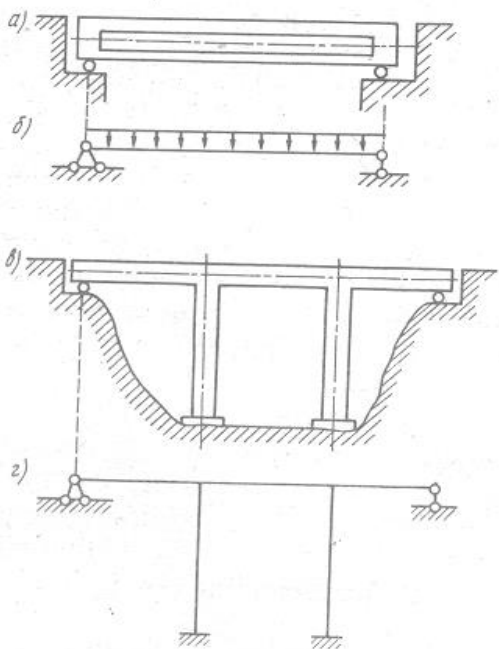
1.3. Инишотлар ва уларнинг ҳисоблаш схемалари

Муҳандислик инишотлари одатда стержень, балка, пластина, қобиқ ва хажмий жисмлар сингари турли конструктив элементларни тегишли равища ўзаро бириктириш йўли билан ҳосил қилинади. Демак, яхлит инишот алоҳида элементлардан ташкил топган мураккаб система ҳисобланади.

Инишотларни ҳисоблаганда, айrim элементларнинг ўлчам ва шаклларини, улар орасидаги боғланишни аниқ ҳисобга олиш назарий жиҳатдан ё имкони йўқ, ё ўта мураккаб ишдир. Шунинг учун қурилиш механикасида бошқа фанлардаги сингари илмий абстракция усулидан фойдаланиб, мавжуд инишот ҳисоблаш схема билан алмаштирилади.

Ҳисоблаш схемаси — инишотнинг соддалаштирилган тасвири бўлиб, унда юк таъсиридаги инишотнинг асосий кўрсаткичлари мужассамлашган бўлади. Ҳисоблаш схемаларида стерженлар — ўклар билан, пластиналар — ўрта сиртлар билан, кўндаланг кесимлар — юза ва инерция моментларининг сон қийматлари билан, реал таянчлар идеал таянчлар билан алмаштирилади; юклар ўқларга қўйилган деб фараз этилади

ва ҳ.к. Иншоотлар ҳисоби ана шундай ҳисоблаш схемалари орқали амалга оширилади.



1.1. расм

1.1.- расмда бир оралиқли кўприк (а) ҳамда балка деб аталувчи унинг ҳисоблаш схема (б) тасвирланган. 1.1- расм, в-да уч оралиқли кўприк ҳамда рама деб аталувчи унинг ҳисоблаш схемаси (г) берилган. Йўл қопламасининг вазни ҳамда кўприкнинг хусусий оғирлиги балкага текис ёйик куч сифатида таъсир этади. Балкада ташқи кучлар ва ҳарорат таъсирида бўйлама кучлар ҳосил бўлмаслиги учун унинг таянчларидан бири қўзғалувчан, иккинчиси қўзғалмас қилиб ишланади.

Иншоотнинг ҳисоблаш схемасини танлаш мураккаб, айни пайтда, мухим масалалардан биридир. Ҳисобнинг сифати, яъни унинг аниқлиги кўп жиҳатдан, ҳисоблаш схемасининг қандай танланишига боғлиқ.

Агар ҳисоб нотўғри танланган ҳисоблаш схемаси бўйича бажарилган бўлса, у ўта аниқ усувлар билан ҳисобланган тақдирда ҳам тўғри натижা бермайди.

Маълумки, стержень ва пластиналар иншоотнинг асосий элементлари ҳисобланади. Кўндаланг кесим ўлчамлари узунликка нисбатан анча кичик бўлган элемент *стержень* деб аталади. Бир ўлчами (қалинлиги) қолган икки ўлчами (узунлиги ва эни)га нисбатан анча кичик бўлса, *пластина* деб аталади. Эгри ўқли пластина қобиқ (оболочка) деб аталади. Бўлардан ташқари ҳисоблаш схемалари ичиде *хажмий жисмлар* деб аталувчи катта массага эга бўлган элементлар ҳам учрайди. Бундай элементларнинг уч ўлчами бир-бирига яқин бўлади. Бунга пойdevor блоклари, тиргак деворлар мисол бўла олади.

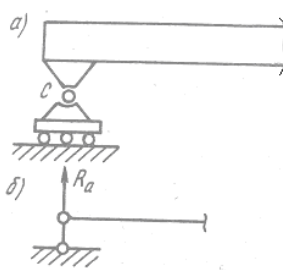
Алоҳида элементларнинг жойлашув тартибига қараб иншоотлар ясси ва фазовий системаларга бўлинади. Барча стерженлар бир текисликда жойлашган бўлса, бундай иншоот ясси система деб аталади. Акс ҳолда система фазовий бўлади. Ясси иншоотлар мустақил кўринишда ҳамдан-кам учрайди. Кўпинча улар ҳисобни соддалаштириш мақсадида фазовий системалардан ажратиб олинади. Ясси системани фазовий системадан ажратиб олиниши ҳисоб аниқлигини пасайтиради. Бироқ муҳандислик амалиётида баъзан шундай қилишга тўғри келади.

1.4. Таянчлар ва юклар

Иншоотнинг пойдевор ёки замин билан бириккан қисми таъничен деб аталади. Таянчлар уч хил бўлади: шарнирли қўзғалувчи таянч, шарнирли қўзғалмас таянч, шарнирсиз қўзғалмас таянч.

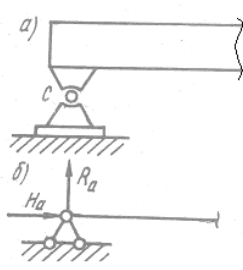
1.2- расмда шарнирли қўзғалувчи таянчнинг конструкцияси (а) ва унинг содда тасвири (б) берилган, бунда стержень шарнир (с) атрофида айланади, горизонтал йўналишда қўзғала олади; биргина вертикал реакция вужудга келади.

1.3- расмда шарнирли қўзғалмас таянчнинг конструкцияси (а) ва содда тасвири (б) берилган; бу ерда стержень шарнир (с) атрофида айланади, бироқ горизонтал йўналишда қўзғалмасдир. Бундай таянчда ҳам горизонтал, ҳам вертикал реакциялар вужудга келади.



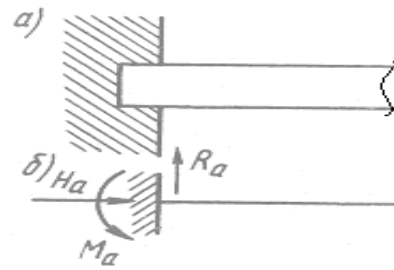
а)

1.2- расм



б)

1.3- расм



1.4- расм

1.4- расмда шарнирсиз қўзғалмас таянчнинг конструкцияси (а) ва сода тасвири (б) берилган бўлиб, бунда стержень учи таянчга мустаҳкам бириктирилган; стержень горизонтал йўналишда қўзғалиш ёки таянч кесими атрофида айланиш имконига эга эмас. Бундай таянчда учта реакция (R_a , H_a , M_a) вужудга келади.

Иншиоотга таъсир этадиган ташқи кучлар ю к л а р деб аталади. Юклар таъсир этиш муддати, таъсир этиш усули, вазифаси ва бошқа белгиларга қараб бир неча турга бўлинади.

Юклар иншиоотга қўйилиш вақти (муддати)га қараб статик ва динамик юкларга бўлинади. С т а т и к юклар иншиоотга зарбсиз аста-секин қўйилади; юкнинг қиймати нолдан бошлаб оҳирги қийматига қадар бир текисда ортиб боради. Д и н а м и к юклар иншиоотга бирданига қўйилади ёки вақт ўтиши билан қиймат ва йўналишини ўзгартириб туради.

Қўйилиш усулига кўра ёйик ва йиғик (тўпланган) юклар бўлади.

Ёйик юк иншиоот сирти ёки узунлиги бўйлаб ёйилган бўлади. Узунлик бўйлаб ёйилган юк интенсивлик билан ўлчанади. Интенсивлик деганда узунлик бирлигига тўғри келадиган юк миқдори тушунилади ва у kN/m билан ўлчанади. Агар юк сирт бўйлаб ёйилган бўлса, kN/m^2 билан ўлчанади.

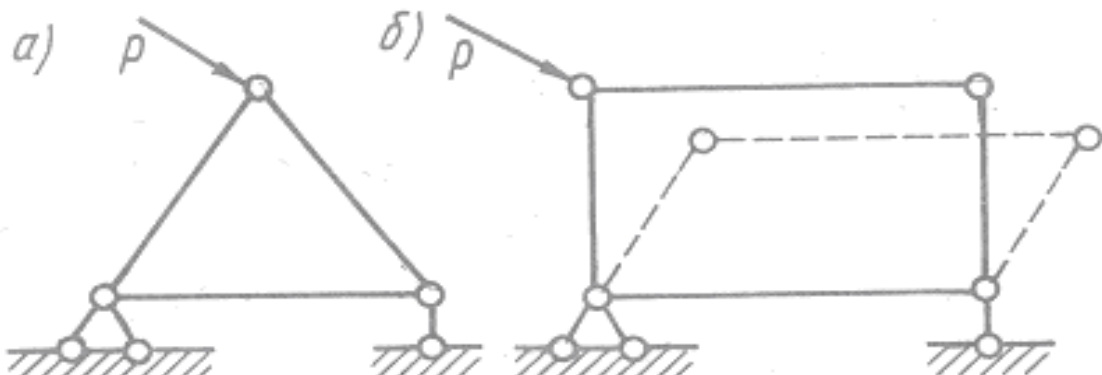
Йиғик юк деганда бир нуқтага тўпланган куч тушунилади. Аслида бундай юклар реал ҳолда камдан-кам учрайди. Ҳисоб ишларини соддалаштириш учун кўпинча ёйик юклар йиғиқ куч ҳолига келтириб олинади, яъни маълум бир нуқтага тўпланади. Хозирда амалда бўлган ҳалқаро ўлчам бирликлари тизими (СИ) бўйича кучнинг ўлчам бирлиги ньютон (Н) дир. Эслатиб ўтамиш: $1 \text{ кгк} \approx 9,81 \text{ Н.}$

Вазифасига кўра юклар доимий, муваққат ва қўзғалувчан бўлади. Иншиоотга доим таъсир этиб турувчи юк (масалан, хусусий оғирлик) доимий юк ҳисобланади. Муваққат юк иншиоотга маълум даврларда таъсир этади (масалан, шамол ва қор таъсири, турли ускуна ва жихозлар ва х. к.). Қўзғалувчан юкларга транспорт воситалари мисол бўла олади.

1.5. Стерженли системаларнинг геометрик ўзгармаслик шартлари

Курилиш конструкцияларининг аксарияти ҳисоблаш чизмаларида стерженлардан ташкил топади (балка, ферма, рама ва х. к.). Алоҳида стерженларнинг тугунларда ўзаро биритириш йўли билан ҳосил қилинган курилмалар *стерженли системалар* деб аталади.

Хар қандай иншоот, яъни стерженли система геометрик ўзгармас бўлиши лозим. Бунинг маъноси шуки, ҳар қандай бино ва иншоот бунёд этилгандан кейин ўзининг дастлабки геометрик шаклини ҳеч оғишмай сақлаб туриши керак. Бинокорликда геометрик ўзгарувчан системалар қўлланилмайди, чунки бундай системалар деформацияланмаган ҳолда ўз шаклини кескин ўзгартиради. Геометрик ўзгармас системалар эса ўз шаклини стерженларнинг деформацияланиши эвазига ўзгартиради.



1.5- расм

1.5- расмда учбурчакли (а) ва тўртбурчакли (б) иккита стерженли система тасвириланган бўлиб, улардан бири геометрик ўзгармас, иккинчиси ўзгарувчандир.

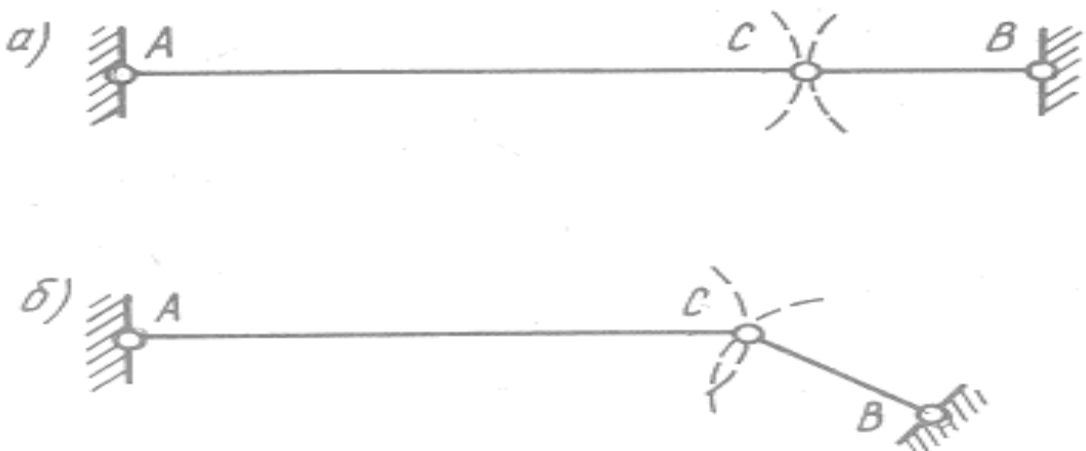
Учбурчакли системанинг шакли стерженлар деформация бергандагина ўзгаради, акс ҳолда ўзгаришсиз тураверади. Шунинг учун у геометрик ўзгармас система саналади. Тўртбурчакли система эса ўз шаклини осонгина ўзгартиради, бунда стерженлар дастлабки узунлигини сақлаб қолади, яъни деформацияланмайди. Демак, бу геометрик ўзгарувчан системадир.

Хулоса қилиб айтганда, ўзининг геометрик шаклини алоҳида стерженларнинг деформацияланиши ҳисобига ўзгарирадиган системалар геометрик ўзгармас системалар деб аталади.

Учурчакли система энг оддий геометрик ўзгармас система ҳисобланади. Хўш, мураккаб шаклга эга бўлган, геометрик ўзгармас системалар қандай ҳосил қилинади? деган савол туғилади. Бу саволга жавоб беришга уриниб кўрамиз.

Бунинг учун аввал он ий ўзгарувчан система билан танишиб чиқамиз.

Бир ўқ устида ётувчи икки стержень ва уч шарнирдан ташкил топган система билан танишиб чиқайлик (1.6- расм, а).



1.6-расм

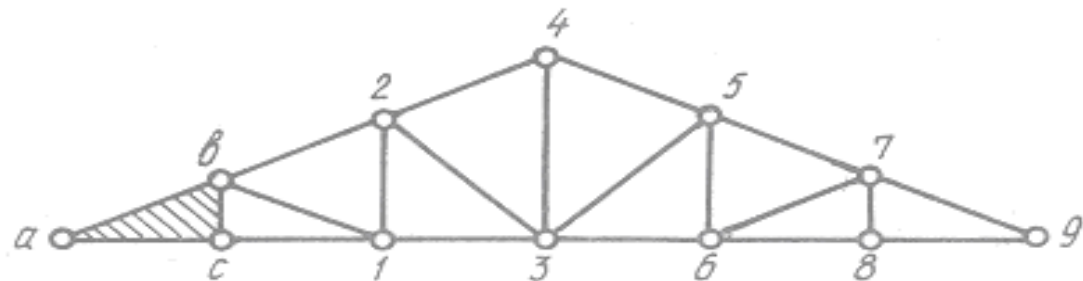
Агар икки стерженни бир-бирига уловчи шарнир С ни йўқ деб фараз қилсак, АС ва ВС стерженлари шаклда кўрсатилган ёйлар бўйича қўзғалиши мумкин. Бунда ҳар иккала ёй С нуқтасида умумий ўринмага эга бўлади. Бинобарин, стерженлардан бирига тегишли бўлган С нуқтаси АВ нуқтаси тик йўналишида жуда қисқа масофага кўчса, иккинчи стержень бунга қаршилик кўрсата олмайди. Демак, бу система геометрик ўзгарувчан экан, чунки системанинг шакл ўзгариши стерженларнинг деформациясисиз амалга ошаяпти. Бироқ бу системанинг геометрик ўзгарувчанлиги бир онлиқдир, чунки С нуқтаси жуда қисқа масофага кўча олади. С нуқтасининг қўчишини катталаштириш учун, яъни икки стерженли системанинг шакл

ўзгартиришини янада давом эттириш учун стерженларни деформацияланишга мажбур этиш лозим бўлади. Ўз шаклини бу йўсинда ўзгартирадиган система геометрик ўзгармас бўлади. Шунинг учун ҳам бир ўқ устида ётувчи икки стержень ва уч шарнирдан ташкил топган системалар оний ўзгарувчан системалар деб аталади.

Агар икки стержень ва уч шарнир бир ўқ устида ётмаса, у ҳолда ёйлар умумий уринмага эга бўлмайди (1.6- расм,б). С нуқтаси бу системада кичик бир масофага кўчиши учун стерженлар деформацияланиши лозим бўлади. Бундай системанинг геометрик ўзгармас бўлишини юқорида кўриб ўтдик.

Демак, геометрик ўзгармас система ҳосил қилиши учун янги қўшиладиган тугун ва уни дастлабки система билан боғловчи икки стержень бир ўқ устида ётмаслиги лозим экан. Геометрик ўзгармас система ҳосил қилишининг асосий қоидаси ана шундан ибарат.

Шу қоида асосида геометрик ўзгармас стерженли система - ферма ҳосил қилиш тартибини кўриб чиқайлик (1.7- расм).



1.7- расм

Дастлабки геометрик ўзгармас система - асос сифатида энг оддий система abc учбуручагини қабул қиласиз. Бу учбуручакка бирин-кетин икки стержень орқали янги тугунларни кўшиб борамиз. Тугунларни кўшиш тартиби чизмада рақамлар билан кўрсатилган. Эътибор беринг: ҳар бир янги тугун ва икки стержень бир ўқ устида ётмайди. Шу тартибда ҳосил қилинган ферма ўзгармас бўлади.

Текшириш учун тугунларни ва уларга туташган икки стержени тескари тартибда бирин-кетин ташлаб юборамиз. Агар ташлашлар охирида

учбурчакли система қолса, у ҳолда берилган система геометрик ўзгармас бўлади. Бизнинг мисолда айнан шундай: тугуларни 9- тугундан бошлаб бирин-кетин ташлаб юборсак, охирида abc учбурчаги қолади. Демак яхлит ферма геометрик ўзгармас система экан.

Энди стерженли системаларнинг геометрик ўзгармаслик шартларини формула орқали ифода этишга уриниб кўрамиз.

Геометрик ўзгармас оддий ферма стерженлари сонини S , тугулари сонини K деб белгиласак, стерженлар сони билан тугулар сони орасидаги боғланишни қуидаги тартибда ифодаласа бўлади: асосий учбурчак учта тугун ва учта стерженга эга: бунга келиб қўшилувчи ҳар бир янги тугун сон жиҳатдан ($K=3$)га teng бўлиб, ҳар бир тугунга иккитадан стержень туташган бўлади. Натижада ферма стерженларининг умумий сони қуидагича бўлади:

$$S=3+2(K-3)$$

ёки

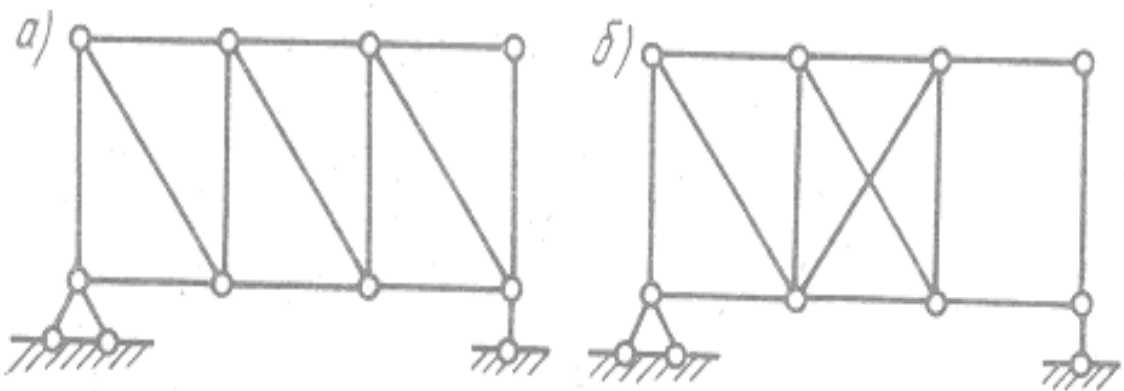
$$S=2K-3.$$

1.1

Бу ерда қуидаги уч ҳол учраши мумкин:

- 1) $S < 2K - 3$, бунда система геометрик ўзгарувчан, статик аниқ бўлади; чунки стерженлар сони талаб этилган сондан кам;
- 2) $S = 2K - 3$, бунда система геометрик ўзгармас, статик аниқ бўлади; системадаги стерженлар сони талаб даражасида, ортиқ ҳам эмас, кам ҳам эмас;
- 3) $S > 2K - 3$, бунда система геометрик ўзгармас, статик ноаниқ бўлади; чунки стерженлар сони керагидан ортиқча.

Кўриб ўтилган уч ҳолдан биринчиси бинокорлик учун ярамайди, ҳолган икки ҳол қурилиш конструкцияларини каноатлантиради. Чунки иншоотлар статик аниқ ёки ноаниқлигидан қатъи назар геометрик ўзгармас бўлиши даркор.



1.8- расм

Бироқ стерженли системанинг формулани қаноатлантириши масаланинг бир томони ҳолос. Масаланинг иккинчи томони ҳам бор: системанинг геометрик ўзгармаслигини таъминлашда унинг тузилиши ҳам катта роль ўйнайди. Масалан, 1.8-расмда стерженлари сони формулани қаноатлантирадиган иккита ферма тасвирланган. Формулага қўра ҳар иккалови ҳам геометрик ўзгармас система, бироқ ферманинг тузилишига қўра улардан бири (а) геометрик ўзгармас, иккинчиси (б) геометрик ўзгарувчандир. Иккинчи ферманинг охирги панели геометрик ўзгарувчан тўртбурчакли системадан ташкил топганлиги сабабли у геометрик ўзгарувчандир.

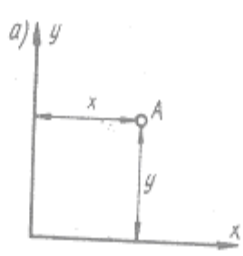
1.6. Стерженли системаларнинг эркинлик даражалари

Нуқта ёки системанинг ҳолатини белгиловчи геометрик параметрлар сони **эркинлик даражаси** деб аталади.

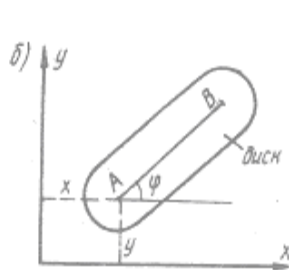
А нуқтасининг ҳолатини x ва у параметрлари белгилайди (1.9- расм, а). Демак нуқтанинг эркинлик даражаси иккига тенг.

Ясси диск (масалан, фанер парчаси)нинг эркинлик даражасини кўриб чиқамиз (1.9-расм, б) Дискнинг ҳолатини белгиловчи геометрик параметрларни белгилаш учун диск сиртида АВ кесмасини ўтказамиз. Бу кесманинг ҳолатини x , y , ϕ параметрлари орқали билишимиз мумкин.

Демак, АВ кесмасининг эркинлик даражаси учга тенг. АВ кесмасининг ҳолатини белгиловчи параметрлар (x , y , ϕ) дискнинг ҳолатини ҳам белгилайди, чунки кесма диск сиртида ётибди. Бундан дискнинг эркинлик даражаси ҳам учга тенг бўлади, деган хулоса келиб чиқади. Бунинг маъноси шуки, диск уч йўналишда эркин ҳаракат қиласи: вертикал ва горизонтал йўналишларда кўчиши ҳамда бирор нуктага, масалан, А нуктасига нисбатан айланиши мумкин.



1.9- расм



1.10- расм

Диск ёки стерженнинг эркинлик даражасига чек қўядиган ҳар қандай курилма боғлагич деб аталади. Шарнирлар ва таянч стерженлари боғлагич ҳисобланади. Ҳар бир шарнир иккита, ҳар бир таянч стержени эса битта эркинлик даражасига чек қўяди.

Яхлит бир диск олайлик. Агар унга ҳеч қандай боғлагич қўймасак, унинг эркинлик даражаси учга тенг бўлишини юқорида кўриб ўтдик. Энди дискка А шарнирини қўямиз (1.10- расм) (стол устида ётган фанера парчасига бир дона мих қоқамиз, дегандай гап). Бу билан дискнинг иккита эркинлик даражасига чек қўйилади (фанера икки йўналишда ҳаракат қилиш имкониятидан маҳрум бўлади, дегандай гап). Бироқ диск А шарнири атрофида айлана олади. Агар дискка яна бир боғлагич – таянч стержени В ни қўйсак, диск, айланиш имкониятидан ҳам маҳрум бўлади.

Мана шу мулоҳазалар асосида стерженли системаларнинг эркинлик даражасини аниқлашга доир формулани ёза оламиз. Агар системанинг эркинлик даражасини W , дисклар сонини D , шарнирлар сонини $Ш$ ва таянч

стерженлари сонини C , деб олсак, стерженли системанинг эркинлик даражасини аниқлайдиган формула қўйидагича ифодаланади:

$$W=3D-2III-C \quad (1.2)$$

Бу формуланинг замирида юқоридаги мулоҳаза ётибди, яъни ҳар бир диск учта эркинлик даражасига эга, ҳар бир шарнир иккита эркинлик даражасига ва ҳар бир таянч стержени битта эркинлик даражасига чек қўяди.

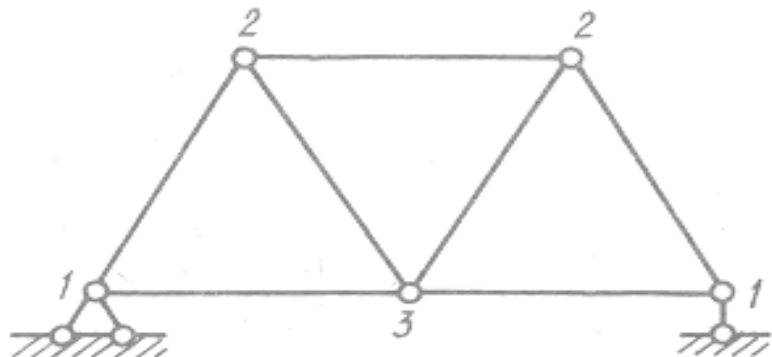
Шарнирлар сонини хисоблашда, улар иккига — оддий ва мураккаб шарнирларга ажратилади. Икки дискни бирлаштирувчи шарнир оддий, иккidan ортиқ дискни бирлаштирувчи, шарнир эса — муреккаб шарнир деб аталади. Шарнирлар сони дисклар сонидан битта кам бўлади, яъни

$$Ш=D - 1$$

Стерженли системаларнинг эркинлик даражаларини аниқлашда ҳам қўйидаги учта ҳол учрайди:

- 1) $W=0$; бунда система геометрик ўзгармас, статик аниқ бўлади.
- 2) $W>0$; бунда система геометрик ўзгарувчан, статик аниқ бўлади;
- 3) $W<0$; бунда система геометрик ўзгармас, статик ноаниқ, ортиқча боғланишларга эга бўлади.

1- мисол: Яssi ферманинг эркинлик даражасини аниқлаш керак (1.11- расм).



1.11. расм

Дисклар, яъни стерженлар сони $D=7$;

Шарнирлар сони, $W=9$ (шаклда шарнирлар сони рақамлар билан күрсатилған);

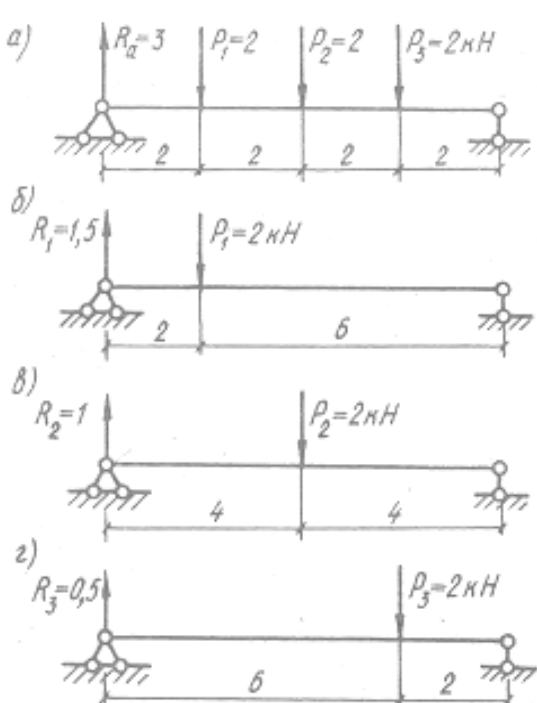
Таянч стерженлари сони $C_T=3$; эркинлик даражаси $W=3 \cdot 7 - 2 \cdot 9 - 3 = 0$;

Демак, ферма геометрик ўзгармас, статик аниқ экан.

1.7. Кучлар таъсириининг мустақиллик принципи ва умумлашма эпюралар

Қурилиш механикасида катта аҳамиятга эга бўлган бу қоидадаги таърифланади:

Агар иншоотга бир неча кучлар қўйилган бўлса, уларнинг биргаликдаги таъсиридан ҳосил бўлган натижага, ҳар бир кучнинг алоҳида таъсиридан ҳосил бўлган натижалар йигиндисига тенг бўлади.



1.12-расм

Бу қоиданинг мөхиятини ойдинлаштириш учун оддий бир мисол келтирайлик. Балканинг чап таянч реакциясини (1.12-расм, а) икки хил йўл билан аниқлаймиз. Биринчи усул бўйича R_a , таянч реакцияси учала куч (P_1, P_2, P_3) таъсирида бир йўла аниқланади: $R_a=3\text{kN}$ чиқади. Иккинчи усулга кўра кучлар навбатма-навбат қўйилади ва ҳар бир кучга мос равишда реакциялар аниқланади. Топилган реакцияларнинг қиймати чизмаларда берилган (1.12-расм, б, в, г).

Реакциянинг тўлиқ қиймати алоҳида топилган реакциялар қийматларининг йигиндисига тенг бўлади: $R_a=R_1+R_2+R_3=1,5+1+0,5=3\text{kN}$.

Шундай қилиб, балкага кучлар бир йўла қўйилгандаги реакциянинг қиймати кучлар алоҳида-алоҳида қўйилган ҳолдаги, реакциялар қийматларининг йифиндисига тенг чиқди. Кучлар таъсирининг мустақиллиги қоидаси деган иборанинг маъноси ана шундан иборат.

Кучлар таъсирининг мустақиллиги қоидаси эластиклик чегарасида қўлланилади. Реакция ва ички кучларни аниқлашда иншоот деформацияланмаган деб фараз этилади. Кўлланиладиган тенгламалар чизиқсиз бўлса, мазкур усулдан фойдаланиб бўлмайди.

Умумлашма эпюралар. Маълумки, қурилиш конструкцияларига турли хил юклар таъсир этади. Ҳар бир юкнинг ўзига яраша эпюралари бўлади. Шундай ҳоллар бўладики, маълум бир кесимда энг катта момент бир хил юқдан ҳосил бўлса, бошқа кесимда бошка юқдан ҳосил бўлади. Муҳандисни эса максимал зўриқишилар қизиқтиради. Максимал ёки минимал зўриқишиларни аниқлаш мақсадида умумлаштирилган эпюралар қурилади.

Кўпинча иншоотга доимий ва муваққат юклар таъсир этади. Доимий юклар иншоотга муттасил равишда таъсир этиб, муваққат юкларнинг таъсир этиш вақти, қиймати ва ўрни ўзгариб туради. Бу эса ўз навбатида иншоот кесимларидаги зўриқишиларнинг ўзгаришига олиб келади. Бундай ҳолларда зўриқишиларнинг максимал ёки минимал қийматларини аниқлаш учун доимий ҳамда муваққат юкларнинг турли вариантлари учун алоҳида эпюралар қурилади. Доимий юқдан ҳосил бўлган зўриқиши билан муваққат юқдан ҳосил бўлган мусбат зўриқишиларнинг йифиндиси S_{\max} ни, яъни тўлиқ максимал зўриқишини, манфий зўриқишилар йифиндиси эса S_{\min} ни, яъни тўлиқ минимал зўриқишини беради;

$$S_{\max} = S_{\text{аиё}} + \sum (+S_{\text{ио}}) \\ S_{\min} = S_{\text{аиё}} + \sum (-S_{\text{ио}}) \quad (1.3)$$

Бу ерда $S_{\text{доим}}$ — доимий юқдан ҳосил бўлган зўриқиши; $\sum (+S_{\text{ио}})$, $\sum (-S_{\text{ио}})$ — муваққат юклардан ҳосил бўлган мусбат ва манфий зўриқишилар.

Зўриқишларнинг аниқланган қийматларини ягона масштабда бир ўқ устига жойлаширилади ва туташ чизик билан туташтирилади. Ҳосил бўлган график умумлашма эпюра¹ деб аталади. Мазкур эпюрага доир мисол статик ноаниқ узлуксиз балкалар ҳисобида берилган.

¹ Русчада бу атама «огибающая» ёки «объемлющая» деб юритилади. Бу сўзларнинг ўзбек тилига айнан таржимаси атама маъносига учча тўгри келмаганлиги сабабли асли маъносига яқинроқ термин қабул қилдик.

Курилиш конструкцияларини ҳисоблашда (масалан, арматуранинг кесимини танлашда) эпюрадан мутлақ қиймати катта бўлган момент танлаб олинади; конструкциянинг мустаҳкамлиги ана шу момент бўйича текширилади.

2- БОБ

ТАЪСИР ЧИЗИҚЛАРИ НАЗАРИЯСИ

2.1. Таъсир чизиқлари ҳақида тушунча

Замонавий иншоотларнинг қўзғалувчан юклар таъсирига бардошлилигини аниқлаш катта аҳамиятга эгадир.

Маълумки, кўпприқ, эстакада, кран ости балкалари сингари қатор муҳандислик иншоотларини ҳисоблашда биз қўзғалувчан юкларга дуч келамиз.

Иншоотларнинг қўзғалувчан юклар таъсирига бардошлилигини аниқлашда, асосан, қуйидаги икки масала ҳал этилади:

1. Ҳаракатланувчи юклар системаси таъсирида ишоот қисмларида ҳосил бўладиган зўриқишилар, иншоотнинг таянч реакциялари, эгувчи моментлари, кўндаланг ва бўйлама кучлари, ферма стерженларидаги зўриқишилар ва х. к. аниқланади.

2. Ҳаракатланувчи юклар системаси таъсирида ишоот қисмларида ҳосил бўладиган энг катта зўриқишилар аниқланади, яъни ҳаракатланувчи юклар системасининг иншоотда энг нобоб жойлашуви масаласи ҳал этилади.

Иншоот бўйлаб бирлик куч ($P=1$) ҳаракатланганда, иншоот қисмларидаги куч омилларининг ўзгаришини ифодаловчи график **таъсир чизиқлари** деб аталади. Куч омиллари деганда ҳосил бўладиган ички кучлар (M, Q, N) ва таянч реакциялари тушунилади.

Иншоот бўйлаб ҳаракатланувчи бирлик кучнинг ҳолатини белгиловчи абциссани x билан, иншоотдаги зўриқишини S билан белгиласак, у ҳолда зўриқишининг таъсир чизиқ тенгламаси қуйидагича ифодаланади:

$$S = f(x)$$

Таъсир чизиқларини чизишнинг статик ва кинематик усуллари мавжуд.

Статик усул ҳаракатланувчи бирлик куч ($P=1$) нинг ихтиёрий ҳолати учун мувозанат тенгламаларини тузиб, улардан изланаётган зўриқишишнинг аналитик ифодасини тузишга асосланган.

Бу аналитик ифода ёрдамида зўриқиши S нинг ўзгариш графиги чизилади.

Кинематик усул ёрдамида таъсир чизиқларини қуриш мумкин бўлган кўчишлар қоидасига асосланади.

2.2. Оддий балкаларда зўриқишиларнинг таъсир чизиқлари

Агар иншоотга қўзғалувчи кучлар тизими қўйилган бўлса, уларни аввало ҳаракатланувчи бирлик куч ($P=1$) таъсирига ҳисобланади.

Оддий балкаларга куч омилиниң таъсир чизигини қуриш учун бирлик кучни балканинг тегишли нуқталарига жойлаштириб, бизни қизиқтираётган миқдорнинг ўзгариш қонунини ифодаловчи тенглама тузилади ва унинг графиги чизилади.

Оддий балкаларда таянч реакцияларининг таъсир чизиқлари

Бирлик куч балка бўйлаб ҳаракатланганда, таянч реакцияларининг қай тарзда ўзгаришини кўриб чиқамиз. Бирлик кучни шаклда кўрсатилганидек жойлаштирамиз (2.1- расм).

R_a таянч реакциясини аниқлаш учун B таянчига нисбатан статиканинг мувозанат тенгламасини тузамиз

$$R_a \cdot l - P(l - x) = 0; \quad \text{бундан} \quad R_a = \frac{P(l - x)}{l} = \frac{l - x}{l}. \quad (2.1)$$

Демак, бирлик куч ($P=1$) балка бўйлаб ҳаракатланса, R_a таянч реакциясининг ўзгариши тўғри чизик бўйлаб содир бўлади. Шаклга кўра x нолдан l гача ўзгаради. Тўғри чизиқни ўтказиш учун x га қийматлар берамиз:

$$x = 0 \quad \text{бўлса} \quad R_a = 1;$$

$$x = l \quad \text{бўлса} \quad R_a = 0 \quad \text{бўлади.}$$

Шу икки нүқта координаталари ёрдамида R_a таянч реакциясининг таъсир чизиги қурилади (2.1- расм, б).

А таянчига нисбатан тузилган статиканинг мувозанат тенгламасидан R_b реакцияси топилади:

$$\sum M_A = 0, \quad P \cdot x - R_b \cdot l = 0,$$

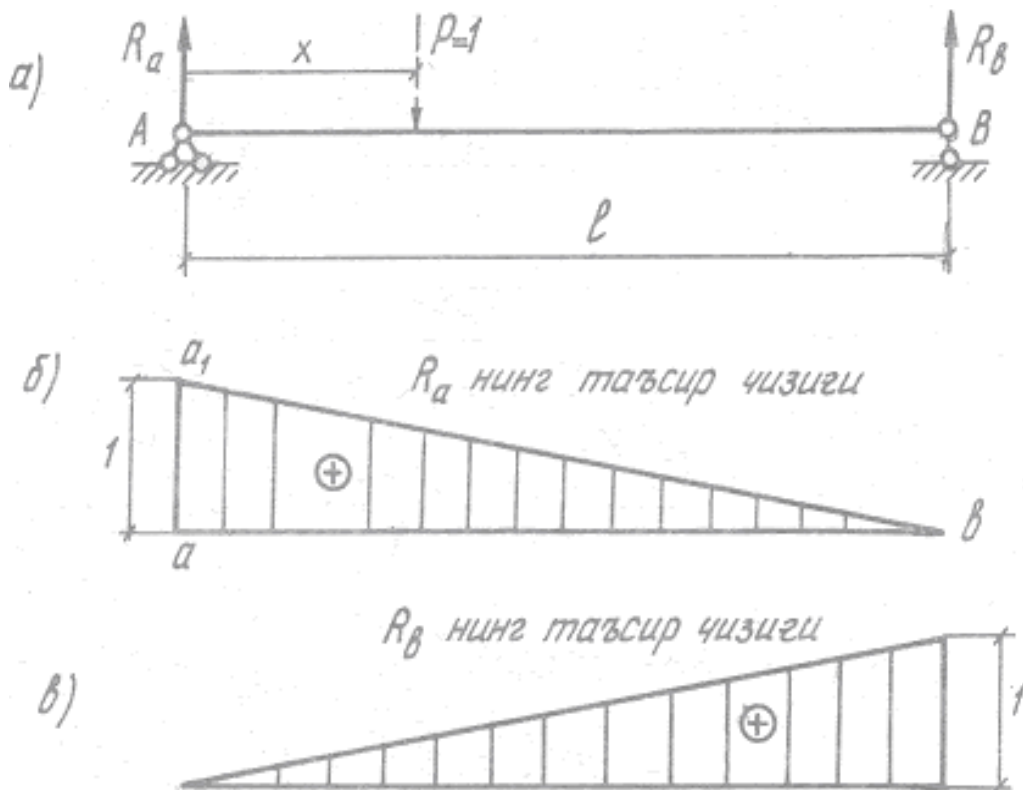
$$R_b = \frac{P \cdot x}{l} = \frac{x}{l}. \quad (2.2)$$

Бу ерда $0 \leq x \leq l$ эканлигини ҳисобга олсак,

$$x = 0, \quad R_b = 0;$$

$$x = l, \quad R_b = 1 \text{ бўлади.}$$

Демак R_b таянч реакциясининг таъсир чизиги ҳам тўғри чизик тенгламаси орқали қурилар экан (2.1- расм, в).



2.1 – расм

R_a ва R_b таянч реакцияларининг таъсир чизиқлари мусбат ишорали бўлиб, ординаталари ўлчамсиз микдордан иборатdir.

Икки консолли балка учун таянч реакциясининг таъсир чизиклари

Икки консолли балка учун (2.2- расм) таянч реакцияларининг таъсир чизикларини қуриш оддий балка учун амалга оширилган усуллар ёрдамида бажарилади.

Масалан, балканинг чап таянч реакцияси R_a нинг таъсир чизигини қуриш учун мувозанат тенгламасидан фойдаланиб $R_a = \frac{l-x}{l}$ ни топамиз.

Бу ерда x масофа қуйидаги тарзда ўзгаради:

$$-a \leq x \leq l+b$$

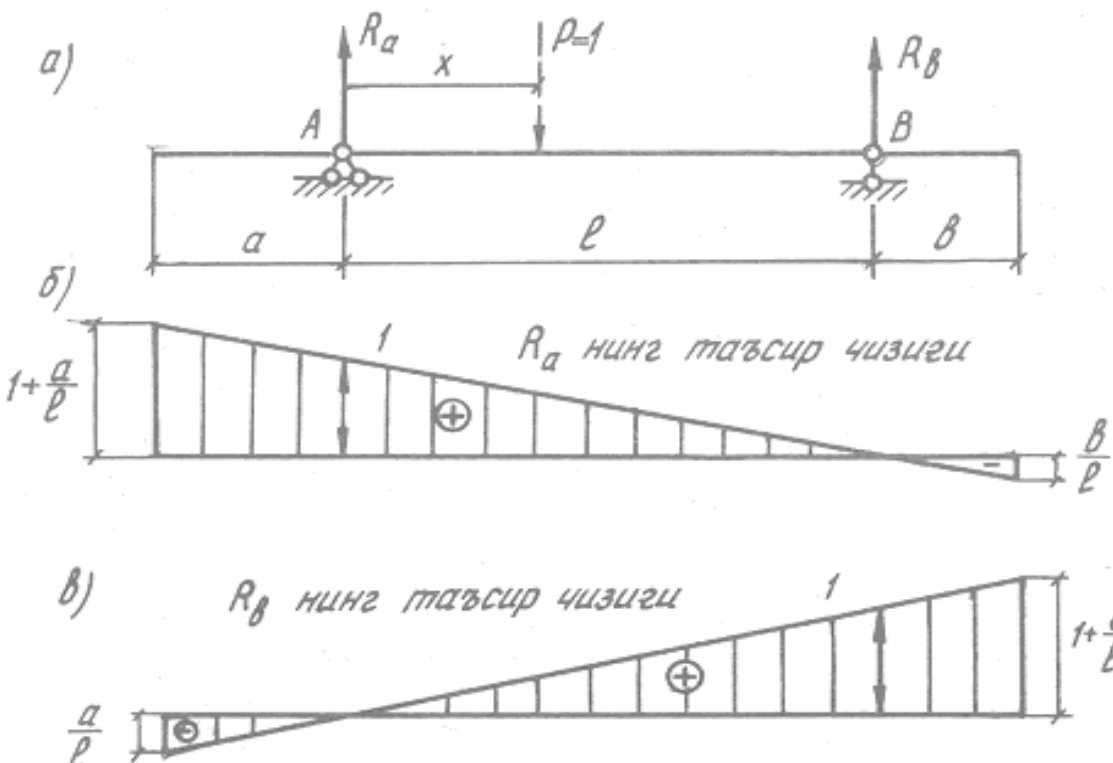
x га қийматлар берамиз:

$$x = -a, R_a = 1 + \frac{a}{l};$$

$$x = a, R_a = 1;$$

$$x = l, R_a = 0;$$

$$x = l+b, R_a = -\frac{b}{l};$$



2.2 – расм

Бу ординаталар ёрдамида қурилган R_a нинг таъсир чизиги 2.2- расм, б, да ифодаланган. R_b таянч реакциясининг таъсир чизиги ҳам шу тарзда чизилади (2.2, в- расм).

Демак, консолли балка таянч реакцияларининг таъсир чизиклари оддий балка таянч реакцияларининг таъсир чизигига асосланган бўлиб, асосий тўғри чизик консол учигача давом эттирилар экан.

Оддий ва консол балкаларда эгувчи момент ва кўндаланг кучларнинг таъсир чизиклари

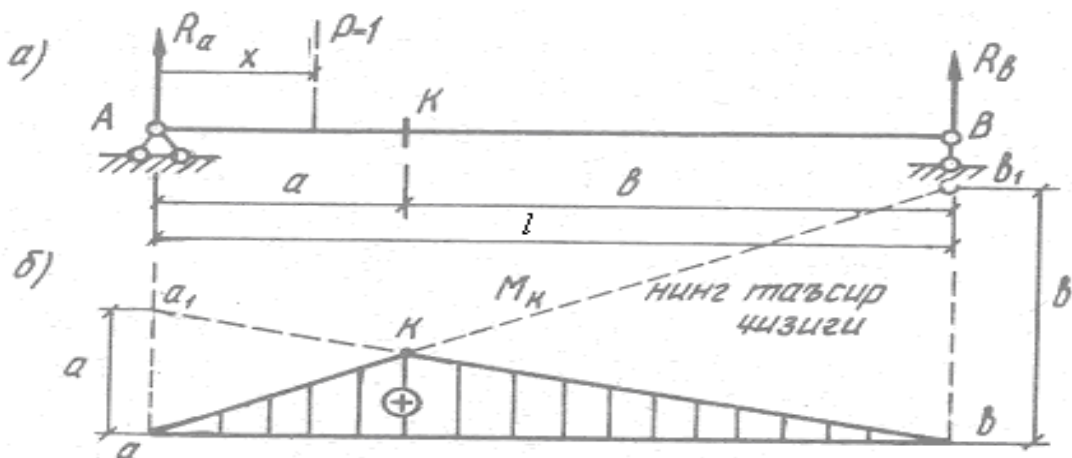
Аввало эгувчи момент ва қирқувчи кучларнинг таъсир чизиклари оддий балка учун қуриб олинади, кейин консолга давом эттирилади. Одатда, M ва Q нинг таъсир чизиги бирор кесим учун қурилади. К кесимдаги эгувчи момент M_k нинг таъсир чизигини қурайлик. Кесимгacha бўлган масофалар, 2.3, арасмда ифодаланган.

Таъсир чизигини қуришда мусбат ишорали ординаталар ўқдан юқорига, манфий ординаталар эса ўқдан пастга жойлаштирилади.

Бирлик куч K кесимидан ўнгда ҳаракатланса, чап қисм учун мувозанат тенгламаси қуйидаги кўринишга эга бўлади:

$$M_k = R_a \cdot a = \frac{l-x}{l} \cdot a, \quad (2.3)$$

Демак, эгувчи моментнинг таъсир чизиги R_a реакциясига боғлик экан, яъни R_a нинг ординаталарини a га кўпайтирсак, M_k нинг таъсир чизиги келиб чиқар экан.



2.3 – расм

Таъсир чизигини қуриш учун А таянч йўналиши бўйича абсцисса ўқига перпендикуляр ҳолатда a масофаси жойлаштирилади, топилган нуқта ўнг таянч остидаги нуқта билан туташтирилади ва шу тўғри чизикқа К кесим проекцияланади. Бу ерда $k b$ масофа эгувчи момент таъсир чизигининг ўнг чизифи дейилади (2.3, в – расм).

Агар бирлик куч К кесимининг чап қисмида ҳаракатланса, у ҳолда кесимнинг ўнг қисми учун мувозанат тенгламаси қўйидагича бўлади:

$$M_k = R_b \cdot b = \frac{x}{l} \cdot b \quad (2.4)$$

Бу ерда ҳам эгувчи моментнинг таъсир чизиги таянч реакцияси R_b га боғлиқдир, яъни R_b нинг ординаталарини « b » га қўпайтирсак, M_k нинг таъсир чизиги келиб чиқади.

Ҳосил бўлган қийматлар бўйича M_k нинг таъсир чизигини қурамиз (2.3-расм). Бунинг учун R_b таянч реакцияси йўналиши бўйича абсцисса ўқига перпендикуляр « b » масофа ўлчаб қўйилади, ҳосил бўлган нуқта b чап таянч билан туташтирилади ва шу тўғри чизикқа К кесим проекцияланади. Ҳосил бўлган ak узунлик, эгувчи момент таъсир чизигининг чап чизифи дейилади.

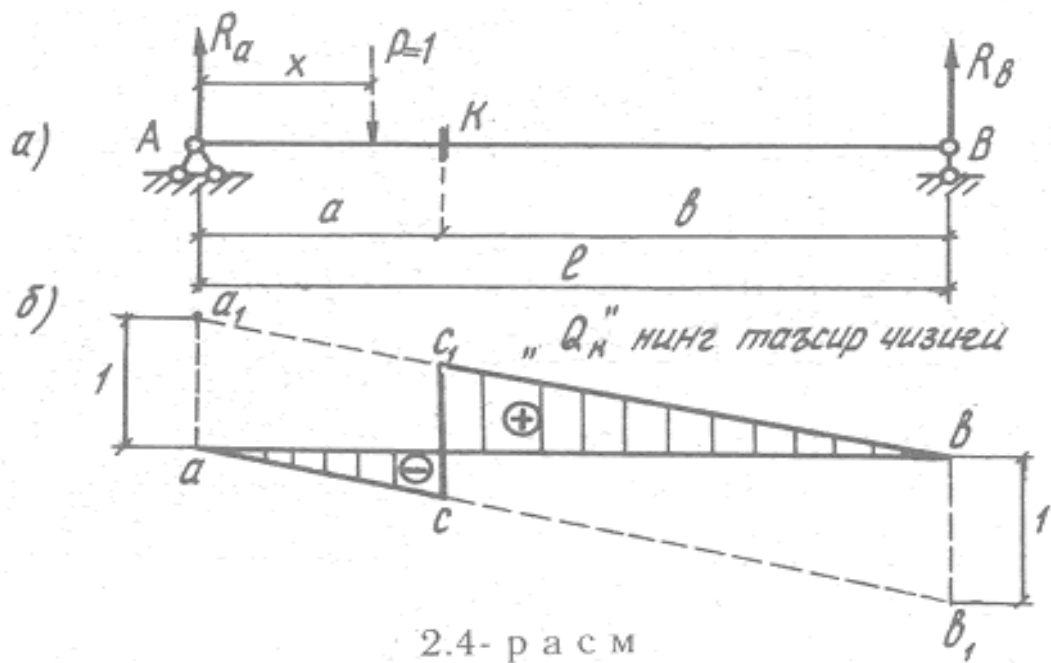
Ҳар икки ўнг ва чап тўғри чизиқлар К кесим остида кесишади, чунки $x = a$ бўлганда, $M_k^{cap} = M_k^{yng}$ бўлади.

Шундай қилиб, akb синиқ чизиги, К кесимидағи эгувчи моментнинг таъсир чизиги бўлади.

Эгувчи момент таъсир чизигининг ординаталари узунлик ўлчамида, яъни м (см) да ўлчанади. Эгувчи момент таъсир чизигининг ташқи қўриниши эгувчи момент эпюраси билан маълум ўхшашликка эга, лекин шунга қарамай булар орасида кескин фарқ бор. Эгувчи момент эпюрасидан фойдаланиб, ташқи кучлар таъсирида истаган кесимда ҳосил бўлган эгувчи моментни топа оламиз. Эгувчи моментнинг таъсир чизиги орқали эса маълум бир кесимдаги эгувчи моментнинг қийматини топа оламиз, ҳолос.

Энди кўндаланг кучларнинг таъсир чизигини қуришга ўтамиз.

Балканинг К кесимидаги күндаланг куч Q_k нинг таъсир чизигини қуриш учун бирлик куч ($P=1$) нинг икки ҳолатини кўриб ўтамиз (2.4. а – расм).



Биринчи ҳолат. Бирлик куч К кесимининг чап қисмида ҳаракатланади, деб фараз этайлик, у ҳолда ўнг қисм мувозанат тенгламаси қуйидаги кўринишда ёзилади:

$$\sum Y = 0, \quad Q_k^{chap} = -R_b = -\frac{x}{l}. \quad (2.5)$$

Иккинчи ҳолат. Бирлик куч К кесимининг ўнг қисмида ҳаракатланмокда, деб қабул қилинади, у ҳолда чап қисм учун тузилган мувозанат тенгламаси қуйидаги кўринишга эга бўлади:

$$Q_k^{ong} = R_a = \frac{l-x}{l}, \quad (2.6)$$

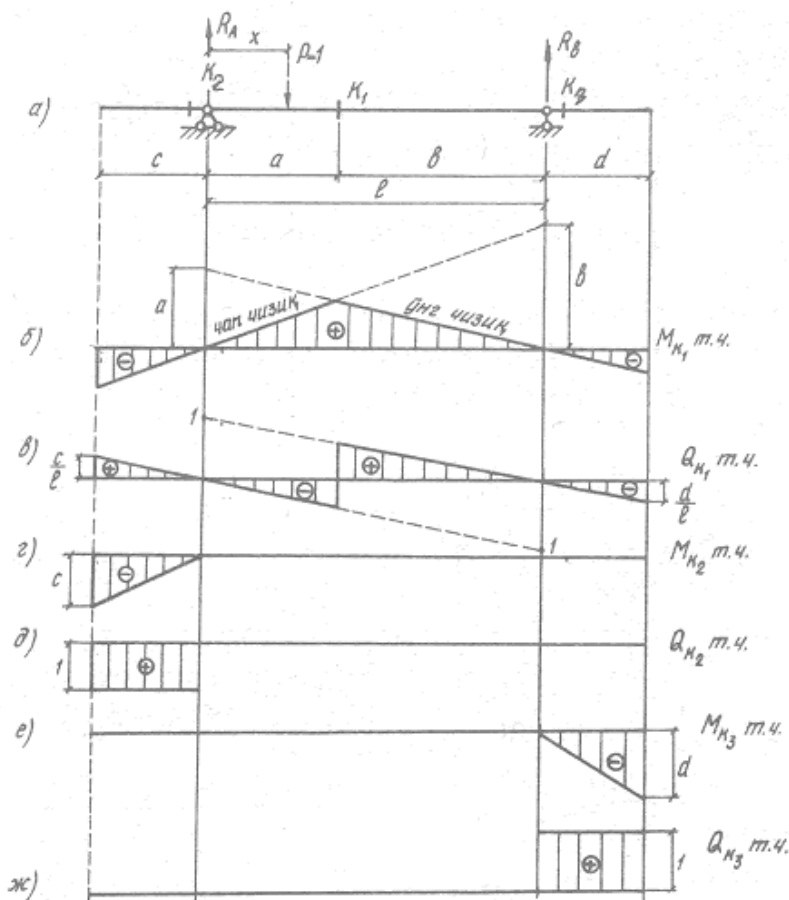
Q_k нинг таъсир чизигини қуриш учун чап таянч остига бирор масштабда мусбат бирлик ординатани жойлаштириб, уни ўнг таянч остидаги ноль нуқта билан туташтирамиз, сўнгра ўнг таянч остига манфий бирлик ординатани жойлаштириб, уни чап таянч остидаги ноль нуқта билан туташтирамиз.

Шу тарзда бир-бирига параллел бўлган чап ва ўнг тўғри чизиқларга эга бўлдик. Чап тўғри чизиқ чап таянчдан К кесимгача, ўнг тўғри чизиқ эса К кесимидан ўнг таянчгача бўлган оралиқларда Q_k нинг ўзгаришини ифодалайди (2.4- расм, б).

Штрихланган юза Q_k нинг таъсир чизиги деб аталади.

Кўндаланг кучнинг таъсир чизиқлари таянч реакцияларининг таъсир чизиқлари каби ўлчамсиз бўлади.

Консол балканинг K кесими учун ички кучлар (M_k ва Q_k нинг) таъсир чизиқлари қурилиши талаб қилинса, у холда иш оддий балкадагига ўхшаш амалга оширилади. Бунинг учун балканинг таянч оралиғига M_k ва Q_k нинг таъсир чизиги қурилади, сўнгра чап тўғри чизиқ чап консол учигача, ўнг тўғри чизиқ эса ўнг консол учигача давом эттирилади (2.5- расм, а, б).



2.5-расм

Агар кесим балканинг консол қисмида берилса, у холда эгувчи момент ва кўндаланг кучларнинг таъсир чизиқлари қуйидаги тартибда қурилади:

K_2 кесими балканинг чап консолида жойлашган бўлсин (2.5- расм, а). M_{k_2} нинг таъсир чизигини қуриш учун бирлик юкнинг икки ҳолатини қараб чиқамиз.

1. Бирлик куч ($P=1$) кесимнинг чап қисмида ҳаракатланса, у ҳолда

$$\begin{aligned} M_{k_2}^{chap} &= -P(c - x_1) = -(c - x_1), \\ x_1 &= 0, \quad M_{k_2}^{chap} = -c, \\ x_1 &= c, \quad M_{k_2}^{chap} = 0 \text{ бўлади.} \end{aligned}$$

Чап тўғри чизиқни ўтказиш учун $x_1=0$ нуқтасига c ординатасини маълум масштабда жойлаштирамиз, сўнгра уни $x_1= c$ кесимидағи ноль нуқта билан бирлаштирамиз (2.5- расм, г).

Бирлик куч K_2 кесимининг ўнг қисмида ҳаракатланса, $M_{K_2}^{yue} = 0$ бўлади. Демак, ўнг тўғри чизик нолга teng бўлиб, балка ўқининг устида ётади. M_{K_2} нинг чап ва ўнг тўғри чизиқлари K_2 кесими остида кесишади.

Q_{k_2} нинг таъсир чизигини қуриш учун ҳам бирлик юкнинг икки ҳолатини текширамиз. Бирлик куч K_2 кесимининг чап қисмида ҳаракатланса, у ҳолда консол қисмнинг мувозанат тенгламаси қўйидагича бўлади:

$$Q_{k_2}^{chap} = -P = -1,$$

Q_{k_2} нинг чап тўғри чизиги консол учидан балканинг абсцисса ўқига параллел бўлади (2.5- расм, д).

Кўзгалувчан бирлик куч K_2 кесимининг ўнг қисмида ҳаракатланса, у ҳолда чап қисмининг мувозанат тенгламаси $Q_{K_2}^{yue} = 0$ бўлади.

Демак, ўнг тўғри чизик нолга teng бўлиб, балканинг ўқи устида ётади (2.5-расм, д). Балканинг ўнг консол қисмида жойлашган K_3 кесими учун M_{k_3} ва Q_{k_3} ларнинг таъсир чизиқлари юқорида баён этилган тартибда амалга оширилади (2.5- расм, ж).

2.3. Зўриқишлиар қийматини таъсир чизиқлари ёрдамида аниқлаш

Шу бобнинг бошлангич қисмида таъсир чизиқларини қуриш тартиби билан танишиб ўтдик. Энди шу таъсир чизиқлари ёрдамида зўриқишиларнинг

(яъни эгувчи момент, кўндаланг куч ва таянч реакцияларининг) қийматини аниклаш масаласига тўхталамиз.

Кўзгалмас юкларнинг иншоотга йиғиқ, ёйик ва жуфт куч тариқасида қўйилиши бизга маълум. Кучларнинг ҳар қайси турини алоҳида равишда кўриб чиқамиз.

Иншоотга йиғиқ кучлар тизими қўйилган ҳол

Балкага P_1 кучи таъсир этади, дейлик. Бу ҳолда исталган зўриқиши S нинг қиймати мазкур куч билан шу куч йўналишида таъсир чизигидан олинган ординатанинг қўпайтмасига teng бўлади, яъни зўриқишининг қиймати $P_1 \cdot y_1$ бўлади.

Агар иншоотга кучлар тизими қўйилган бўлса (2.6- расм, а) кучлар таъсирининг мустақиллиги қоидасига кўра тўлиқ зўриқишининг қиймати қўйидаги формула ёрдамида аникланади:

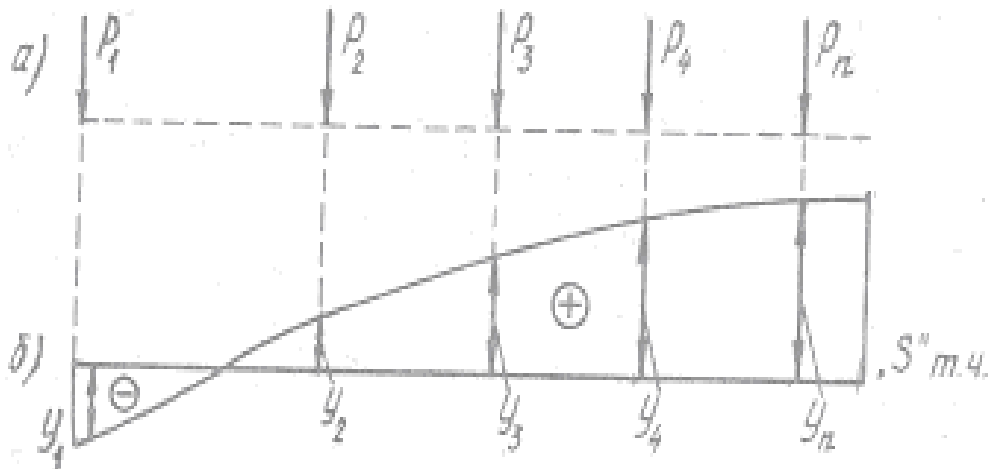
$$S = -P_1 \cdot y_1 + P_2 \cdot y_2 + P_3 \cdot y_3 + P_4 \cdot y_4 + \dots + P_n \cdot y_n,$$

$$\text{ёки } S = \sum_{n=1}^n P_i \cdot y_i \quad (2.7)$$

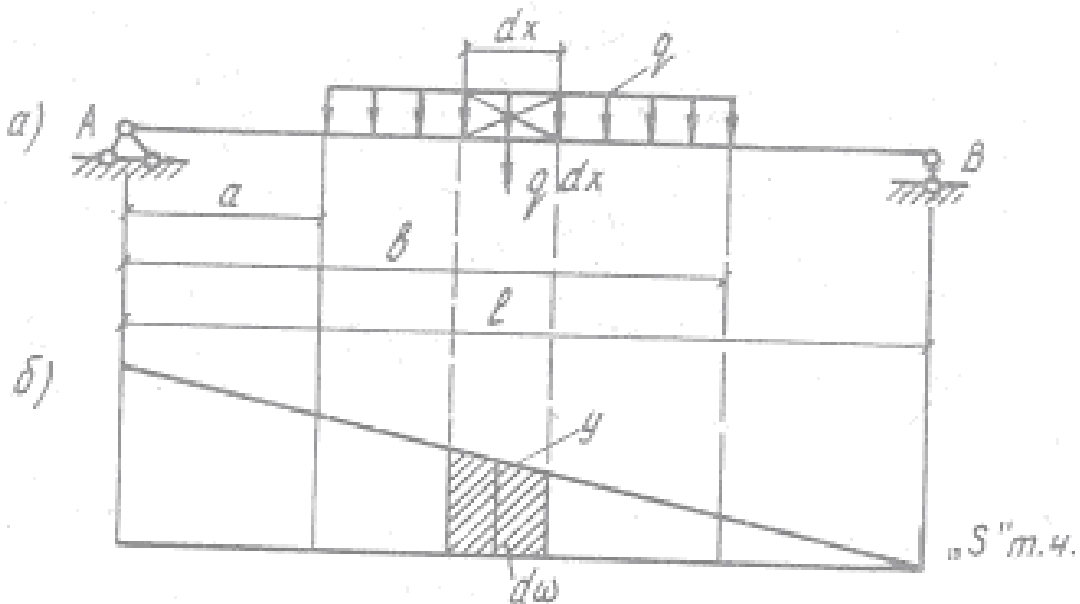
Бу ерда y_i — таъсир чизигида P_i куч йўналишидаги ордината.

Иншоотга ёйик юк қўйилган ҳол

Иншоотга қўйилган ёйик юқдан узунлиги dx бўлган кичкина бўлакча ажратамиз ва бунга мос келган ёйик юкни элементар йиғиқ куч $q(x)dx$ орқали ифодалаймиз (2.7- расм).



2.6 - расм



2.7 - расм

Элементар күчдан ҳосил бўлган элементар зўриқишиш (2.7) формулага асосан қўйидагича аниқланади:

$$dS = q \cdot dx \cdot y \quad (a)$$

Зўриқишининг тўлиқ қийматини аниқлаш учун (a) тенгликни интеграллаймиз

$$S = \int_a^b q \cdot dx \cdot y = q \cdot \omega \quad (b)$$

Бу ерда q ёйик юк интенсивлиги;

ω — таъсир чизигида ёйик юк қўйилган оралиққа мос келувчи юза.

Иншоотга жуфт кучлар қўйилган ҳол

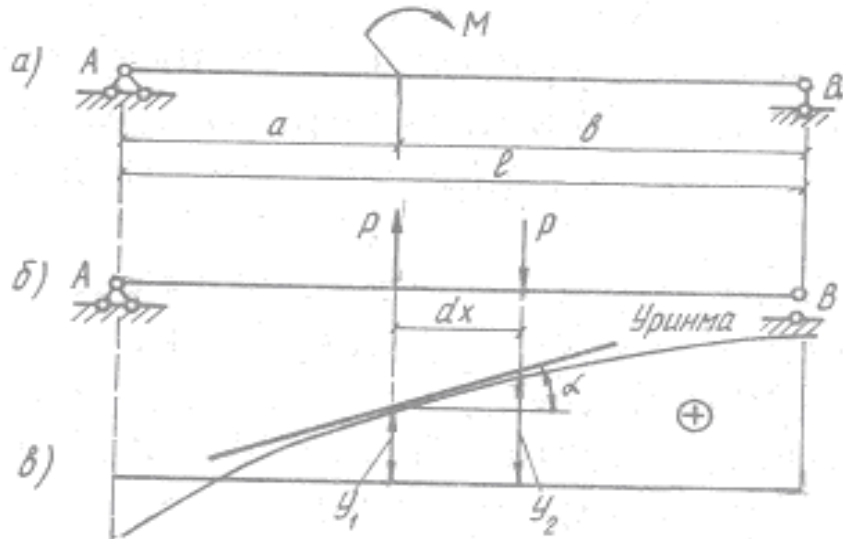
Моментдан ҳосил бўлган зўриқишини аниқлаш учун момент икки жуфт йиғиқ кучларга ажратилади (2.8- расм):

$$M = P \cdot dx .$$

Йиғиқ кучлар таъсирида вужудга келадиган зўриқишиш (2.7) формулага асосан аниқланади:

$$\begin{aligned} S &= P \cdot y_2 - P \cdot y_1 = P(y_2 - y_1) = P \cdot dxtg\alpha = M \cdot tq\alpha , \\ S &= M \cdot tq\alpha . \end{aligned}$$

Бу ерда α — момент қўйилган нуқтада таъсир чизигига ўтказилган уринма билан абсцисса ўки орасидаги бурчак.



2.8- расм

Агар иншоотга бир йўла йиғиқ куч, ёйиқ куч ва жуфт кучлар қўйилган бўлса, у холда ҳосил бўлган зўриқишилар микдори таъсир чизиги ёрдамида умумий ҳолда қуйидагича аниқланади:

$$S = \sum_{i=1}^n P_i \cdot y_i + \sum_{i=1}^n q_i \cdot \omega_i + \sum_{i=1}^n M_i \cdot tq \alpha_i \quad (2.8).$$

Бу формуладан фойдаланишда қуйидаги ишора қоидасига амал қилинади:

1. Юклар юқоридан пастга йўналган бўлса, улар мусбат деб қабул қилинади.
2. Момент соат стрелкаси бўйича йўналса, мусбат олинади.
3. Таъсир чизигидан олинган ордината y_i ва юза ω_i ўз ишораси бўйича олинади.
4. Агар α бурчак соат стрелкасига тескари йўналишда ортиб борса, мусбат бўлади.

2.4. Юк тугунлар орқали узатилганда таъсир чизиқларини чизиш

Бинокорликда шундай иншоотлар учрайдики, ташқи юклар асосий балкага бевосита қўйилмай, балки бошқа ёрдамчи балкалар орқали таъсир этади (2.9- расм).

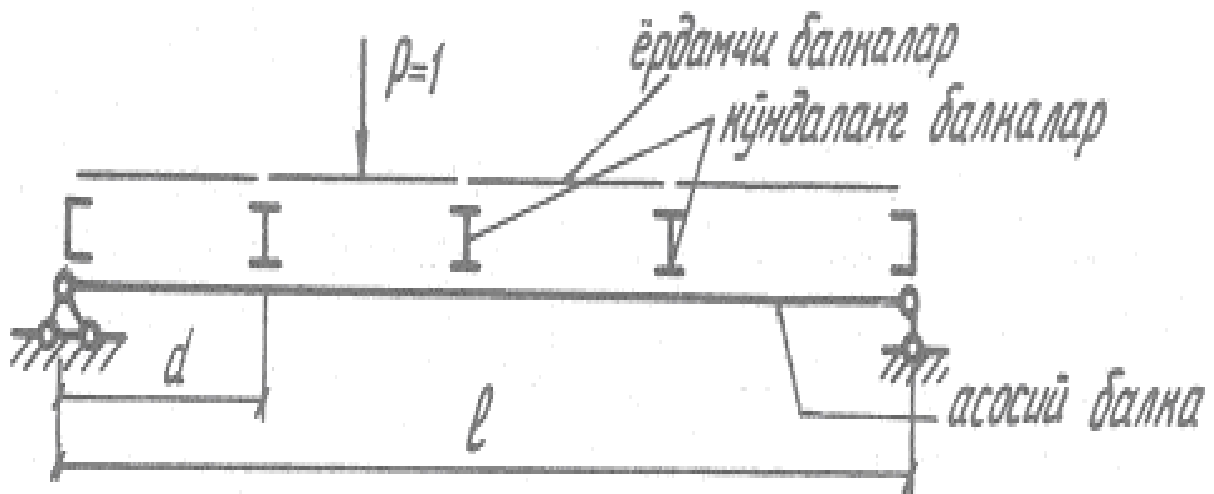
Шаклдан кўриниб турибиди, ташқи юклар ёрдамчи бўйлама балкачалар бўйлаб ҳаракатланмоқда. Бундай системаларда ташқи юклар асосий балкага тугунлар орқали узатилади.

Кўндаланг балканинг асосий балкага таянган жойи тугун, икки қўшни тугун оралиғи панел узунлиги деб аталади ва d ҳарфи билан белгиланади (2.9- расм).

Энди ташқи юк ёрдамчи балка бўйлаб ҳаракатланиб, асосий балкага тугунлар орқали таъсир этишини кўриб ўтамиз (2.10- расм).

Ҳаракатланувчи бирлик куч 2 — ва 3 — тугунлар орасида жойлашган дейлик: агар куч 2 — таянчдан x масофада ва 3 — таянчдан $d - x$ масофада жойлашган бўлса, у ҳолда унинг иккинчи ва учинчи тугунлардаги ташкил этувчи қийматлари куйидаги формула билан ифодаланади (2.10- расм):

$$P_2 = 1 \cdot \frac{d - x}{d} \quad \text{ва} \quad P_3 = 1 \cdot \frac{x}{d}.$$



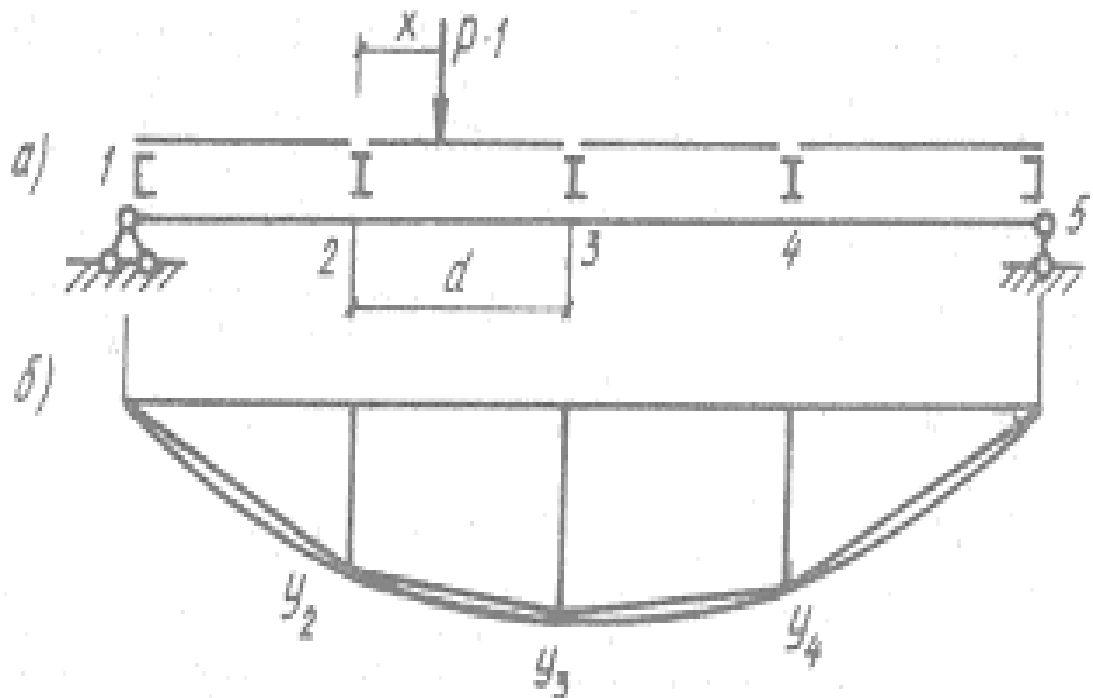
2.9 - расм

2.10- расм, б да ифодаланган эгрилик бирлик кучнинг асосий балка бўйлаб ҳаракатланишидан ҳосил бўлган таъсир чизиги десак, у ҳолда

$$S = P_2 \cdot y_2 + P_3 \cdot y_3 = \frac{d-x}{d} \cdot y_2 + \frac{x}{d} \cdot y_3 \quad (2.9)$$

бўлади.

Зўриқиши S нинг қийматини аниқлаш учун тузилган бу тенглик тўғри чизик тенгламасини ифодалайди, шу сабабли y_2 билан y_3 ўзаро тўғри чизик ёрдамида туташтирилади (2.10- расм, б).

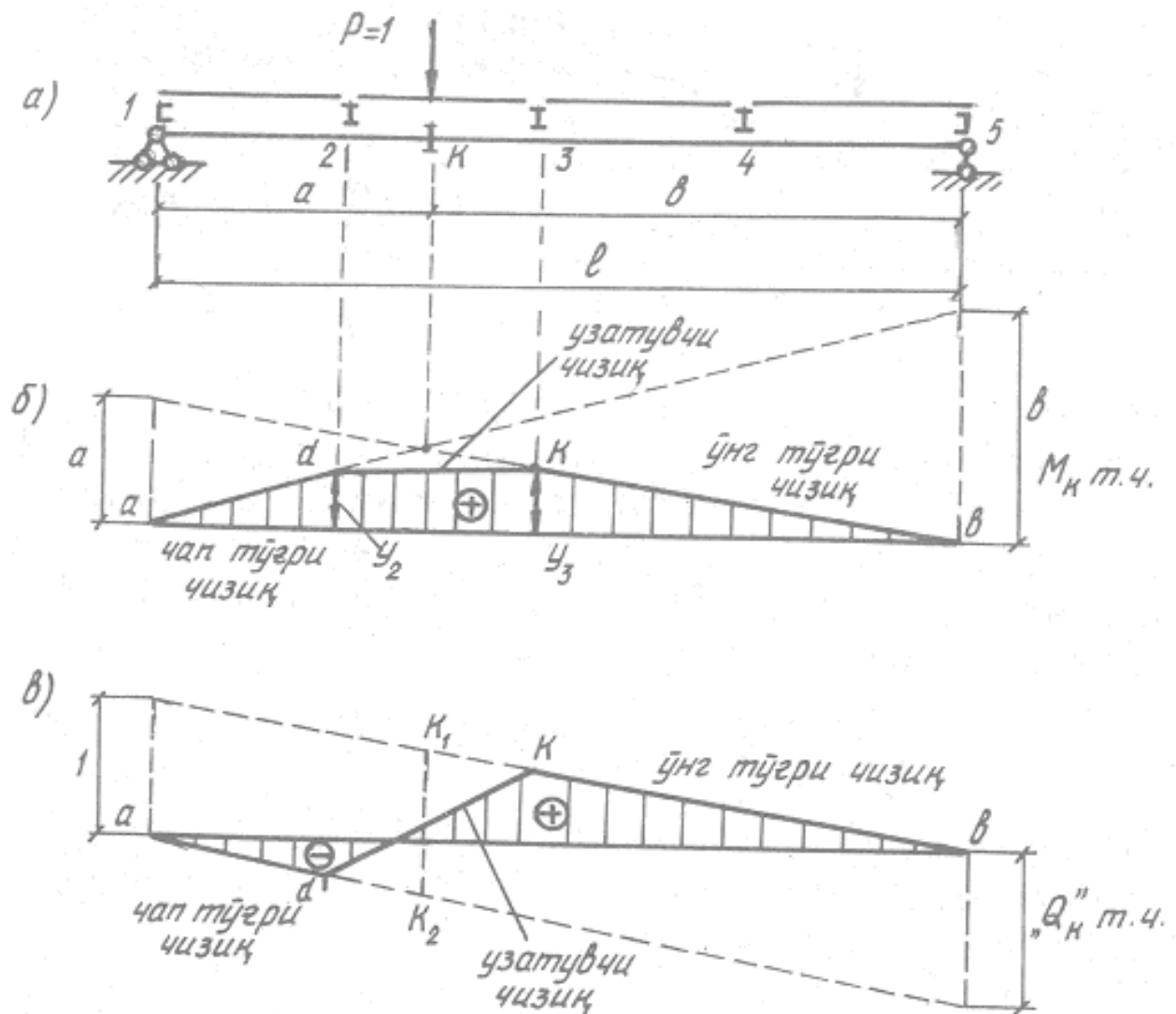


2.10 – расм

Демак, юк асосий балкага тугунлар: орқали таъсир этганда, бирор кесимнинг таъсир чизигини қуриш учун, аввало, ёрдамчи балкаларни эътиборга олмасдан, балки оддий балканинг шу кесими учун тегишли таъсир чизиклари қурилади. Кейин чап ва ўнг тугунлар тегишли тўғри чизикларга проекцияланади. Топилган нуқталар тўғри чизик ёрдамида туташтирилади (2.11- расм, а, б, в).

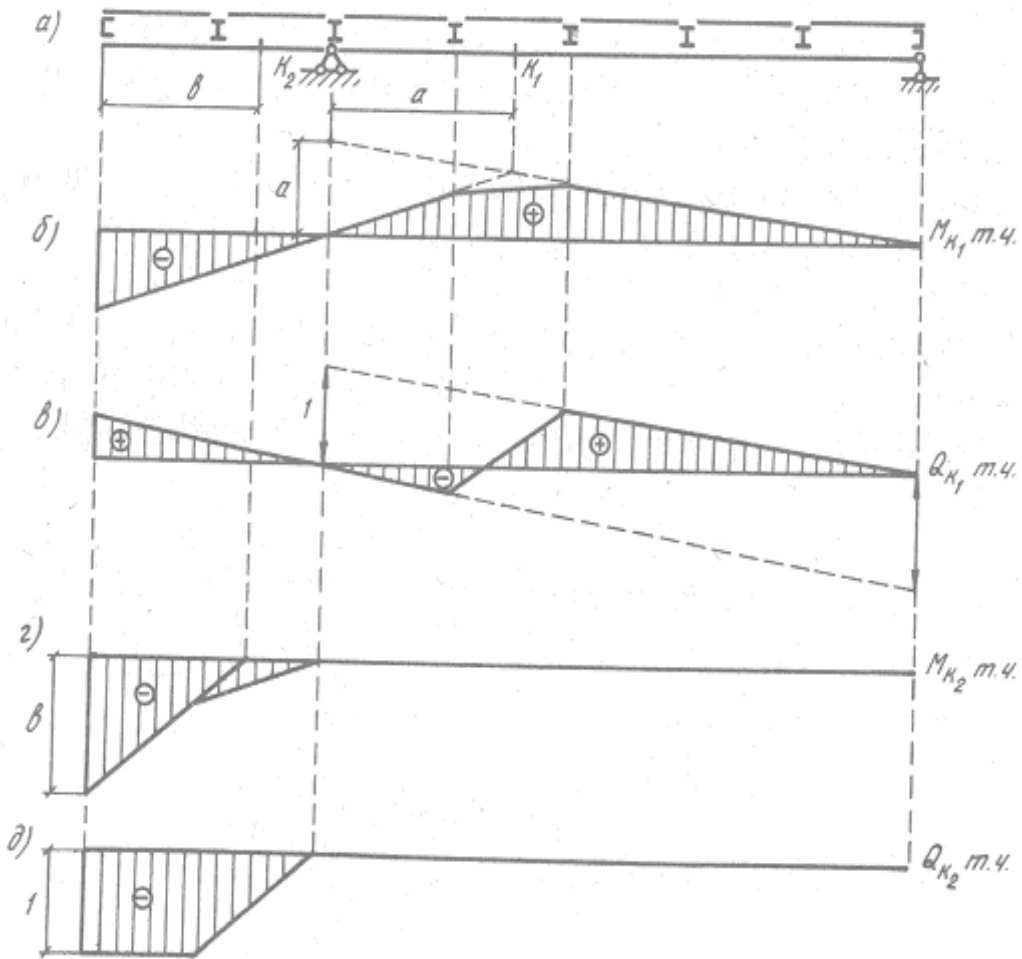
Бу расмда akb асосий балканинг К кесими учун қурилган эгувчи момент таъсир чизиги; $adkb$ юк тугунлар орқали таъсир этган ҳол учун эгувчи момент таъсир чизиги (2.11- расм, б); ak_2k_1b — оддий балканинг К кесими учун қурилган қирқувчи кучнинг таъсир чизиги (2.11- расм, в); $adkb$ — юк

асосий балкага тугунлар орқали таъсир этганда ҳосил бўлган қиркувчи кучнинг таъсир чизиги (2.11- расм, в).



2.11 - расм

2.12- расмда консолли балкага ташки юк тугунлар орқали таъсир этган ҳол учун M ва Q нинг таъсир чизиқлари тасвирланган. 2.12- расм, a да берилган балка акс этган; b ва c да K_1 кесим учун, c ва d да эса K_2 кесим учун M ва Q пинг таъсир чизиқлари чизилган.



2.12 - расм

Шундай қилиб, юк асосий балкага тугунлар орқали узатилганда, зўриқишиларнинг таъсир чизиқлари қуйидаги тартибда қурилади:

1. Зўриқишиларнинг таъсир чизиги, аввало, юк тугунлар орқали узатилишини эътиборга олмаган ҳолда асосий балка учун қурилади.
2. Кесимнинг чап ва ўнг қисмида жойлашган қўшни тугунлар тегишли чизиқларга проекцияланади ва нукталар ўзаро туташтирилади.

Ҳосил бўлган график юклар асосий балкага тугунлар орқали таъсир этган ҳол учун қурилган таъсир чизиги бўлади.

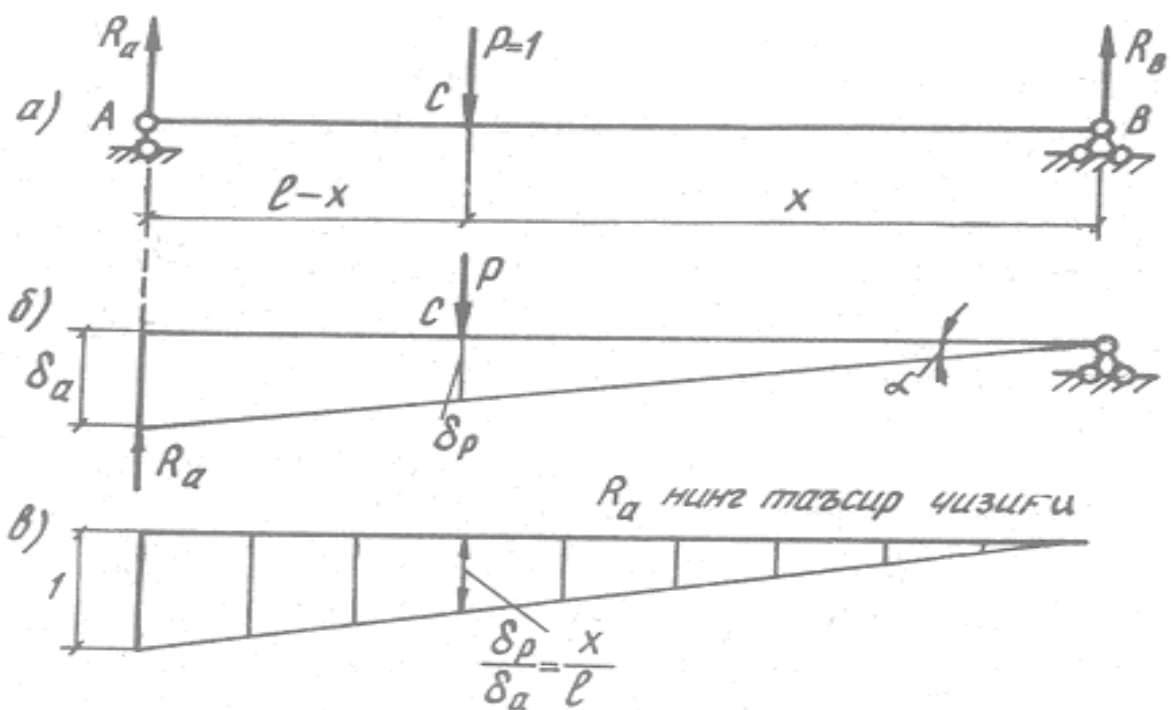
2.5. Таъсир чизиқлари чизишнинг кинематик усули

Таъсир чизиқларини кинематик усулда қуришда кўчишлар эпюрасидан фойдаланилади. Бунинг учун асосий системада зўриқиши изланаётган

боғланиш ташлаб юборилади ҳамда мумкин бўлган (жоиз) кўчишлар қоидасидан фойдаланилади. Бу қоидага кўра, агар система мувозанат ҳолатда бўлса, ҳар қандай кичик жоиз кўчишларнинг вужудга келишида ташқи кучлар бажарадиган ишларнинг йигиндиси нолга teng бўлади.

Мисол тариқасида оддий балканинг R_a реакцияси учун кинематик усулда таъсир чизиги қурамиз (2.13- расм, а). А таянчини ташлаб юбориб, ўрнига R_a реакция кучини қўямиз. AB балка чексиз кичик бурчак α га кўчди дейлик. Бурчак кичик бўлганлиги сабабли балка ўқи кўчишларини вертикал деб қабул қилса бўлади. Р кучи қўйилган нуқтанинг кўчишини δ_p , R_a кучи қўйилган нуқтанинг кўчишини δ_a деб белгилаймиз. Жоиз кўчишлар қоидасига мувофиқ балкага таъсир этувчи кучлар бажарган иш қуидагича бўлади: (куч йўналиши билан кўчиш йўналиши қарама-қарши бўлганлиги сабабли R_a кучи бажарган ишнинг ишораси манфий олинган):

$$P \cdot \delta_p - R_a \cdot \delta_a = 0.$$



2.13. расм

P=1 эканлигини эътиборга олсак, (а) дан

$$R_a = 1 \cdot \frac{\delta_p}{\delta_a} \quad (6)$$

келиб чиқади. Бирлик куч қўзгалувчан бўлганлиги учун δ_p кўчиш ҳам ўзгарувчан бўлади. δ_a эса ўзгармас миқдордир.

Бинобарин, R_a реакциясининг таъсир чизиги δ_p кўчишнинг эпюраси тариқасида ҳосил қилиниши мумкин. Бунда таъсир чизигининг ординаталари кўчиш ординаталаридан δ_a маротаба кичик бўлади (2.13- расм, в).

Кинематик усулда қурилган таъсир чизигининг статик усулдаги шакли билан бир хил эканлиги қуйидаги ифодадан куриниб турибди (2.13- расм. б):

$$\delta_p = x \cdot tq\alpha; \delta_a = l \cdot tq\alpha.$$

Буларни (б)га қўйсак, $R_a = \frac{x}{l}$ — келиб чиқади.

Навбатдаги мисолда (2.14- расм, а) балканинг K кесимидағи эгувчи момент таъсир чизигини кинематик усулда қурамиз. Балканинг K кесимиға шарнир киритамиз, натижада балканинг битта боғланиши йўқолади. Йўқолган боғланишни момент M_k билан алмаштирамиз (2.14- расм, б).

K шарнири чексиз кичик масофа δ_k га кўчди дейлик. Бу кўчишнинг вужудга келишида M_k ва P кучлари қуйидаги ишни бажаради:

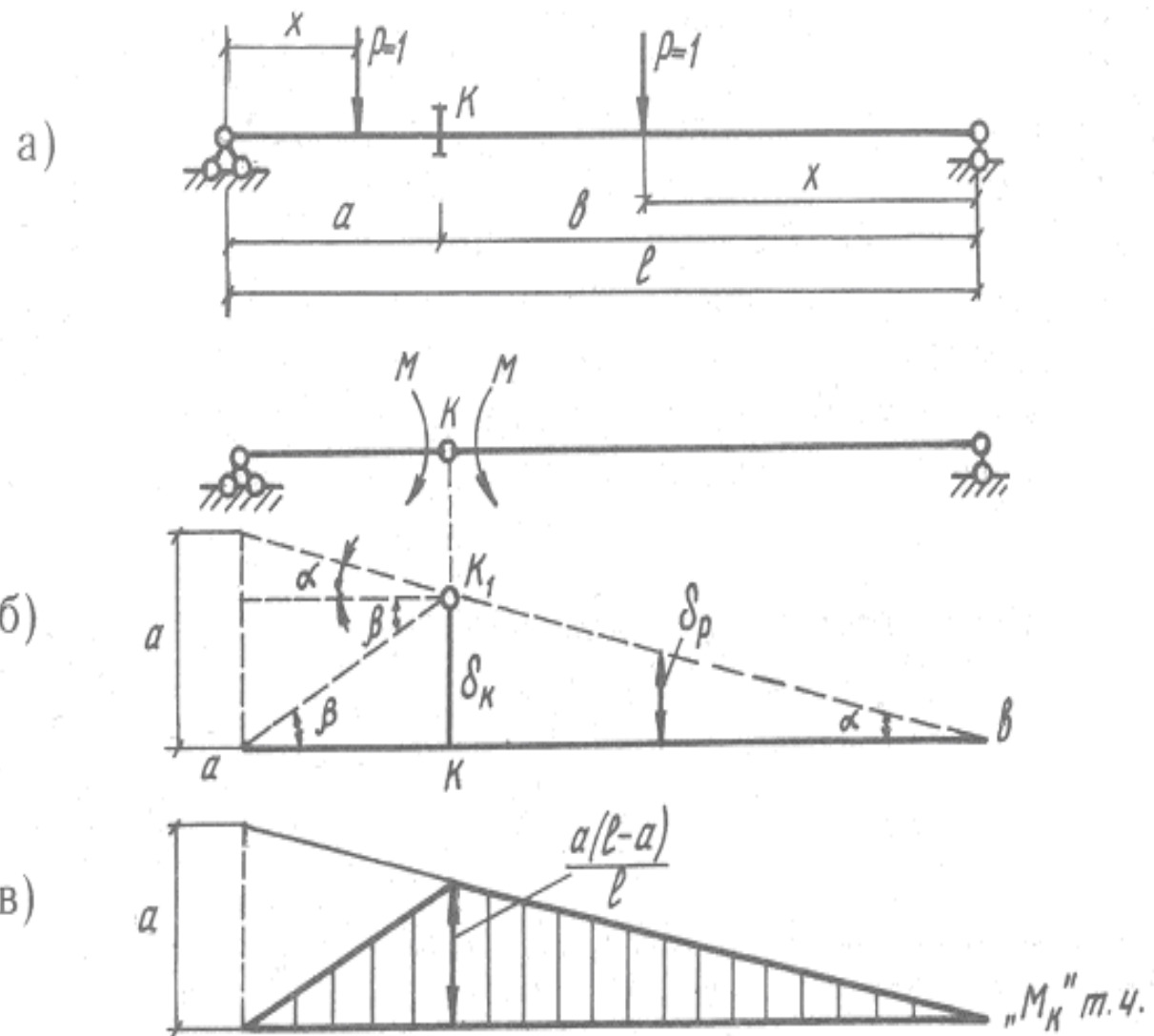
$$P \cdot \delta_p - M_k \alpha - M_k \cdot \beta = 0 \quad (в)$$

M_k нинг йўналиши бурилиш бурчаклари α ва β нинг йўналишига қарама-қарши бўлганлиги сабабли ишораси манфий олинди. (в) ифодасидан

$$M_k = \frac{P \cdot \delta_p}{\alpha + \beta} = \frac{1 \cdot \delta_p}{\delta_{xx}} \quad (g)$$

келиб чиқади. Бу ерда

$$\begin{aligned} \delta_p &= \frac{\delta_k}{l-a} \cdot x \\ \delta_{xx} &= \frac{\delta_k}{l-a} + \frac{\delta_k}{a} \end{aligned} \quad (g)$$



2.14- расм

(г) ифодасидан күринадики, M_k нинг таъсир чизиги ҳам вертикал күчишлар δ_p эпюраси каби бўлиб, қийматига кўра δ_x маротаба кам бўлар экан (2.14-расм, в).

(д) ифодани (г) га қўйсак,

$$M_k = \frac{ax}{l}$$

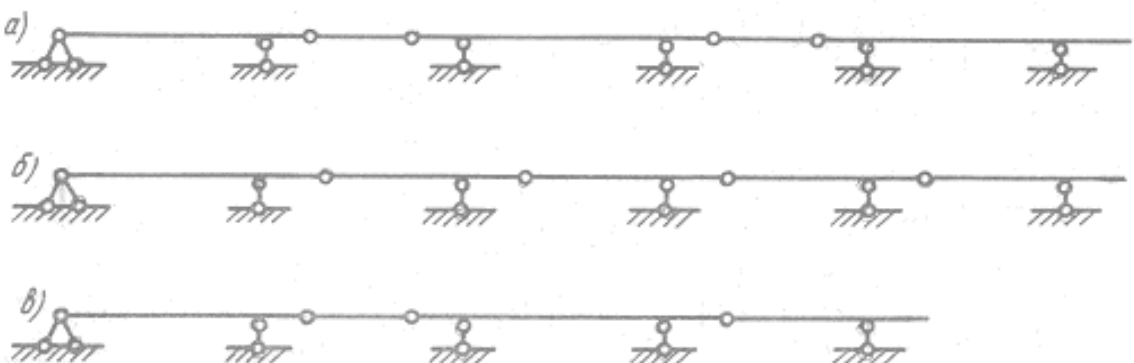
келиб чиқади. Бу эса статик усулдаги ўнг тўғри чизиқнинг тенгламасидир.

3- БОБ

КҮП ОРАЛИҚЛИ СТАТИК АНИҚ БАЛКАЛАР

3.1. Умумий маълумотлар

Күп оралиқли статик аниқ балкалар бир оралиқли консолли балкаларни шарнирлар воситасида бириктириш йўли билан ҳосил қилинади (3.1- расм). Күп оралиқли шарнирли балкалар ёндош оралиқларни ёпишда қўлланилади. Бундай оралиқларни ёпишда кетма-кет жойлашган бир оралиқли балкалардан фойдаланса бўлмайдими, деган савол туғилиши табиий. Тўғри, назарий ва амалий жиҳатдан фойдаланса бўлади. Аммо иқтисодий жиҳатдан мақсадга мувофиқ эмас. Чунки бир хил юк таъсирида бир оралиқли балкаларда кўп оралиқли балкаларга нисбатан кўпроқ зўриқиши ҳосил бўлади, демак кўпроқ материал сарф бўлади, конструкция вазминлашади. Кўп оралиқли шарнирли балкалар статик аниқ бўлганликлари сабабли ҳароратнинг ўзгариши ёки таянчларнинг чўкиши натижасида қўшимча зўриқишлиар пайдо бўлмайди. Бу эса унинг афзаллик томонлари ҳисобланади.



3.1 – расм

Кўп оралиқли балкаларда шарнирлар бўлмаса, система статик ноаниқ узлуксиз балкаларга айланиб қолади. Уларни бир-биридан фарқлаб турадиган элемент шарнирдир. Узлуксиз балкалар ҳакида дарсликнинг 8-бобида муфассал маълумотлар берамиз. Бу бобда эса кўп оралиқли шарнирли балкалар билан танишиб чиқамиз. Шарнирли балкани узлуксиз балкага

қиёслаб, уни узлукли балка деб атаса ҳам бўлади. Сабаби шуки, узлуксиз балкалар бутун яхлит конструкциядан иборат, шарнирли балкалар шарнир кўйилган ерда узилади. Шарнирнинг схематик тасвири 3.2 - расмда берилган.



3.2- расм

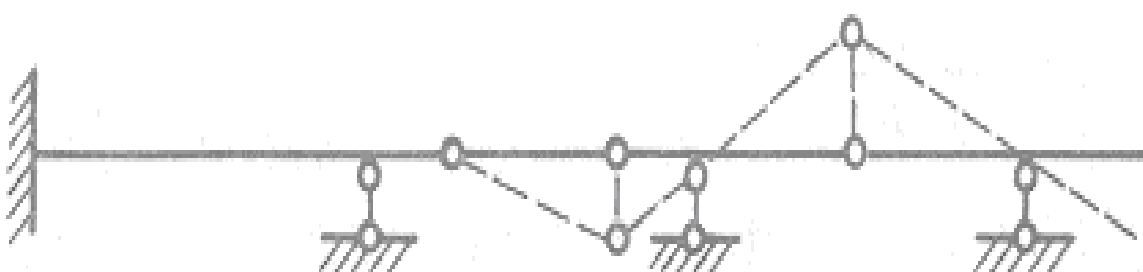
Кўп оралиқли балкани статик аниқ системага айлантириб берадиган элемент ҳам шарнирдир. Демак, шарнирлар сонини шундай аниқлаш керакки, ҳосил бўлган система статик аниқ, геометрик ўзгармас бўлсин. Қуидаги формула ёрдамида аниқланган шарнирлар сони юқоридаги талабларни қондиради:

$$W = C_r - 3 \quad (3.1)$$

Бу ерда C_r — таянч стерженлари сони;

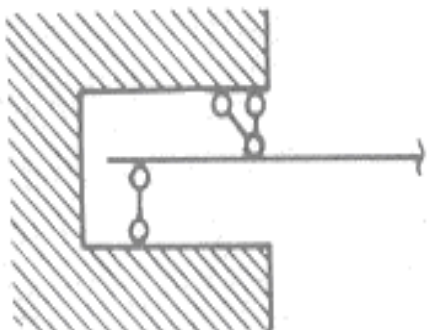
3 — статика тенгламалари сони.

Шарнирлар сонини ушбу формула билан аниқланиши зарурый, аммо етарли шарт эмас. Статик аниқ, геометрик ўзгармас система ҳосил қилиш учун шарнирларни балка бўйлаб тўғри жойлаштириш талаб этилади. 3.3 – расмда тасвирланган система шарнирларнинг нотўғри жойлаштирилишига мисолдир.



3.3- расм

Бу балкадаги шарнирлар сони талаб даражасидадир, яъни система геометрик ўзгармас бўлиши учун $Ш = 6 - 3 = 3$ дона шарнир қўйилиши талаб этилади. Бироқ ана шу учта шарнир балкада нотўғри жойлаштирилган. Шунинг учун у геометрик ўзгарувчан система бўлиб қолган. Агар иккинчи оралиқдаги икки шарнирдан бири биринчи оралиққа кўчирилса, система геометрик ўзгармас ҳолга келади. Шуни ҳам эслатиб ўтиш керакки, стерженлар сонини аниқлашда шарнирсиз қўзғалмас таянчнинг стерженлари сони $C_T = 3$ деб қабул қилинган (3.4- расм).



3.4- расм

Битта оралиққа учта шарнир жойлаштириш ҳам нотўғридир, чунки бунда оний ўзгарувчан система ҳосил бўлади. Шарнирларни тўғри жойлаштиришнинг учхил усули бор:

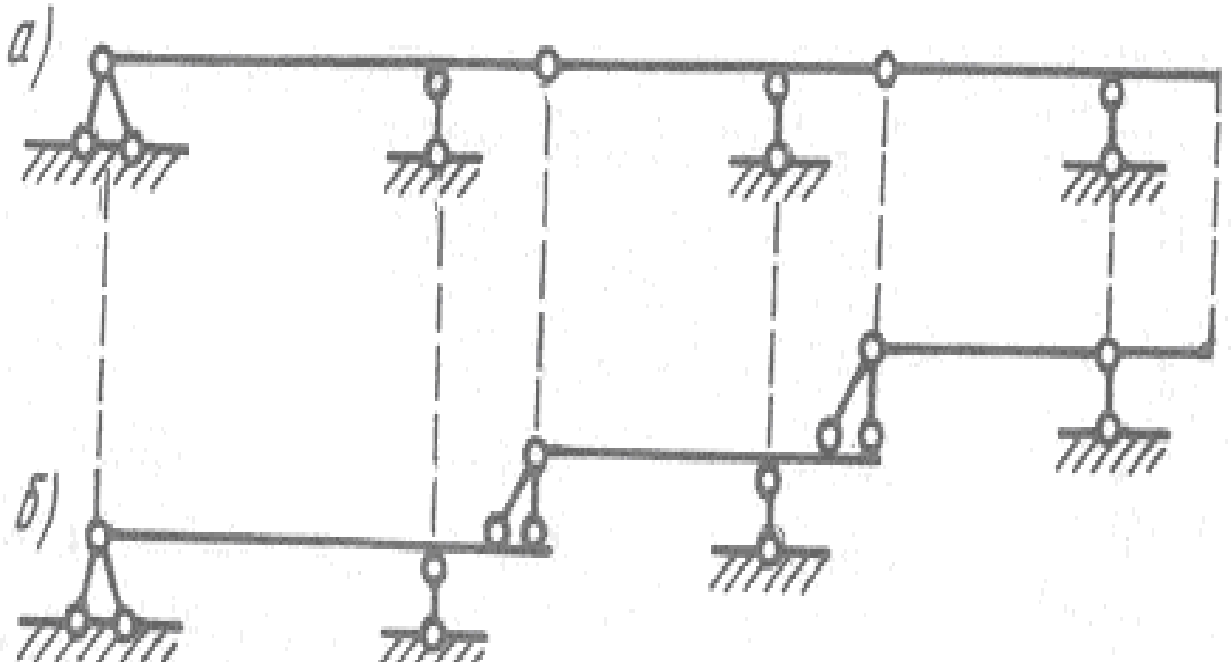
- a) шарнирларни иккинчи оралиқдан бошлаб жуфт жойлаштириш (3.1- расм, а);
- б) шарнирларни (иккинчи оралиқдан бошлаб) якка тартибда жойлаштириш (3.1-расм, б);
- в) юқоридаги икки усулга асосланган аралаш усул (3.1- расм, в), яъни шарнирларни жуфт ва якка тартибда жойлаштириш.

Жуфт шарнирлар иккинчи оралиқдан бошлаб оралиқ оша қўйилади. Якка шарнирлар бирорта оралиқдан бошка ҳар бир оралиққа биттадан қўйиб чиқилади. Жуфт шарнирнинг икки ёни шарнирсиз оралиқ бўлиши лозим, акс ҳолда система геометрик ўзгарувчан бўлиб қолади.

Кўп оралиқли балканинг геометрик ўзгармаслиги тўғрисида тўлароқ тасаввурга эга бўлиш мақсадида қаватлар схемаси қурилади. Қаватлар схемаси балканинг алоҳида элементлари орасидаги боғланишни ўзида акс эттиради.

3.5 - расмда тасвиrlанган балканинг геометрик ўзгармаслигини унинг қаватлар схемаси (3.5- расм, б) орқали таҳлил этийлик. Қаватлар схемасида шарнирлар балкаларни туташтирувчи шарнирли қўзғалмас таянчлар билан

алмаштирилади. Кўп оралиқли балка учта бир оралиқли консолли балкаларнинг йифиндисидан ташкил топганлиги қаватлар схемасидан кўриниб турибди. Ҳар қайси оддий балка — геометрик ўзгармасдир.



3.5- расм

Геометрик ўзгармас оддий балкалар бир-бири билан шарнирлар ёрдамида уланган. Шарнирлар балкаларнинг горизонтал йўналишда қўзғалишига йўл бермайди. Балкаларнинг вертикал йўналишдаги қўзғалмаслиги таянч стерженлари орқали таъминланади. Шуларга асосланиб, берилган кўп оралиқли балка геометрик ўзгармас система экан, деган хуносага келамиз.

Қаватлар схемаси икки хил балкалардан ташкил топади: асосий ва иккинчи даражали балкалар.

Асосий балкалар ўзига қўйилган юклардан ташқари иккинчи даражали балкаларга қўйилган юкларни ҳам (тўлалигича ёки қисман) қабул қиласи. Асосий балкаларга таяниб турувчи балкалар иккинчи даражали (осма) балкалар дейилади. Иккинчи даражали балка синса, асосий балканинг ишига путур етмайди. Асосий балка синса, осма балка ҳам қулаб тушади.

Қаватлар схемасида асосий балка биринчи қаватда жойлашади (3.5-расм, *b* да чапдан биринчи балка). Осма балкалар асосий балканинг устига жойлашади (3.5- расм, *b* да чапдан иккинчи ва учинчи балкалар). Бу ерда шуни таъкидлаб ўтиш лозимки, ўртадаги балка чапдаги балкага нисбатан иккинчи даражали, ўнгдаги балкага нисбатан асосий балка ҳисобланади.

3.2. Кўп оралиқли статик аниқ шарнирли балкаларни анализик усулда ҳисоблаш

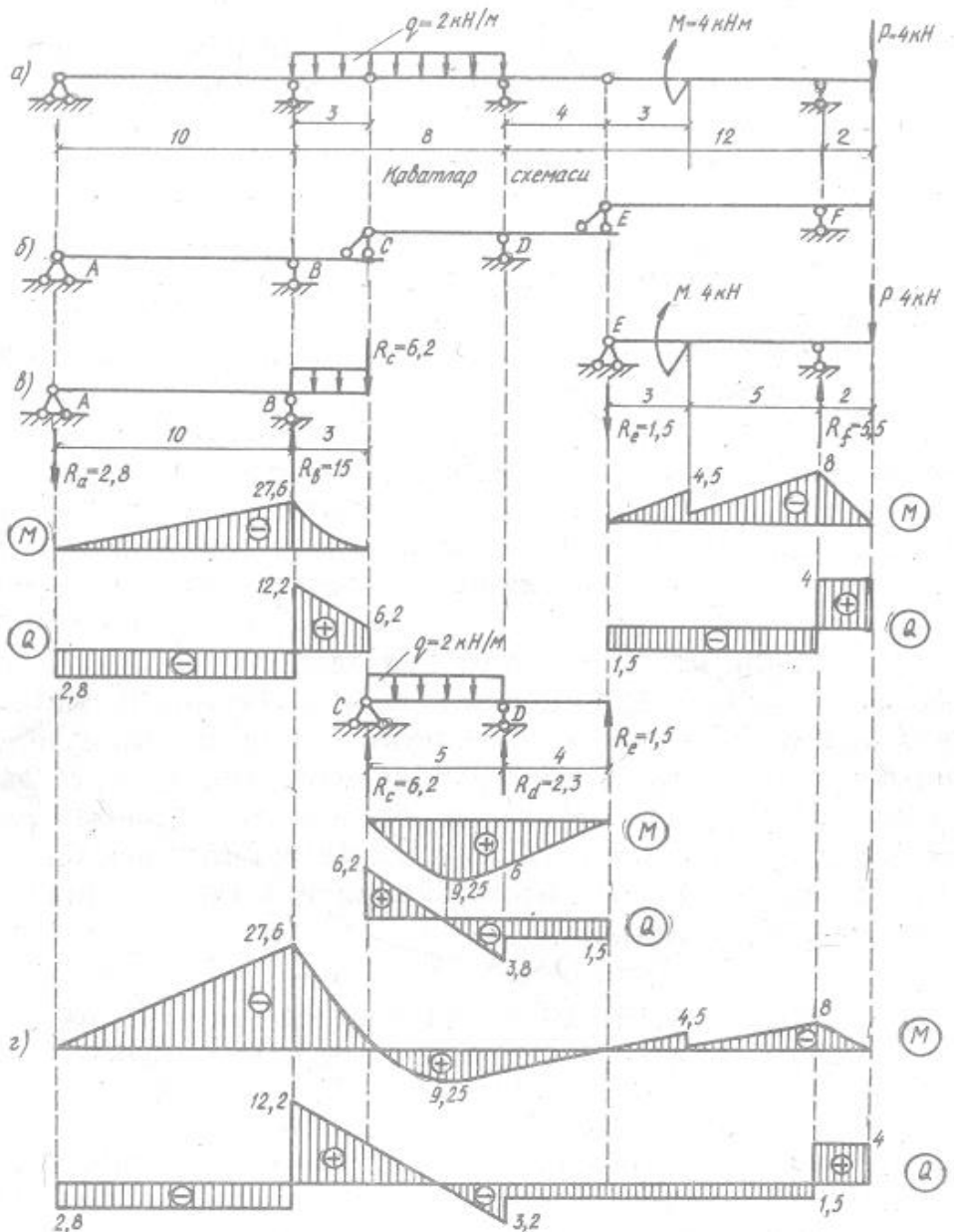
Кўп оралиқли шарнирли балкаларнинг ҳисоби уларнинг эгувчи моментлар ва кўндаланг кучлар эпюраларини қуришдан иборатdir.

Бизга материаллар қаршилиги курсидан эпюраларни қуришдан мақсад балканинг кўндаланг кесим ўлчамларини аниқлашдан иборат эканлиги маълум. Эпюраларни қуриш ҳам материаллар қаршилиги курсида баён этилган қоидалар асосида бажарилади.

Кўп оралиқли балкаларнинг ҳисоби қаватлар схемасини қуришдан бошланади. Мустакил равишда аввал иккинчи даражали (осма) балкалар, кейин асосий балка ҳисобланади. Осма балкалар бир нечта бўлса, ҳисоб энг устки қаватдаги балкадан бошланади. Бунинг сабаби шуки, устки қаватдаги юкнинг таъсири пастки қаватдаги, балкаларга ҳам таъсир этади. Буни ҳисобга олиш учун устки балканинг таянч реакциясини пастки балкага тескари йўналишда қўйилади ва пастки балкани ҳисоблашда уни ташки кучлардан бири деб қаралади.

Ҳисоб охирида алоҳида қурилган эпюралар бир ўқ устида жойлаштирилади.

Мисол. Кўп оралиқли статик аниқ балканинг M ва Q эпюраси қурилсин (3.6- расм, а).



3.6- расм

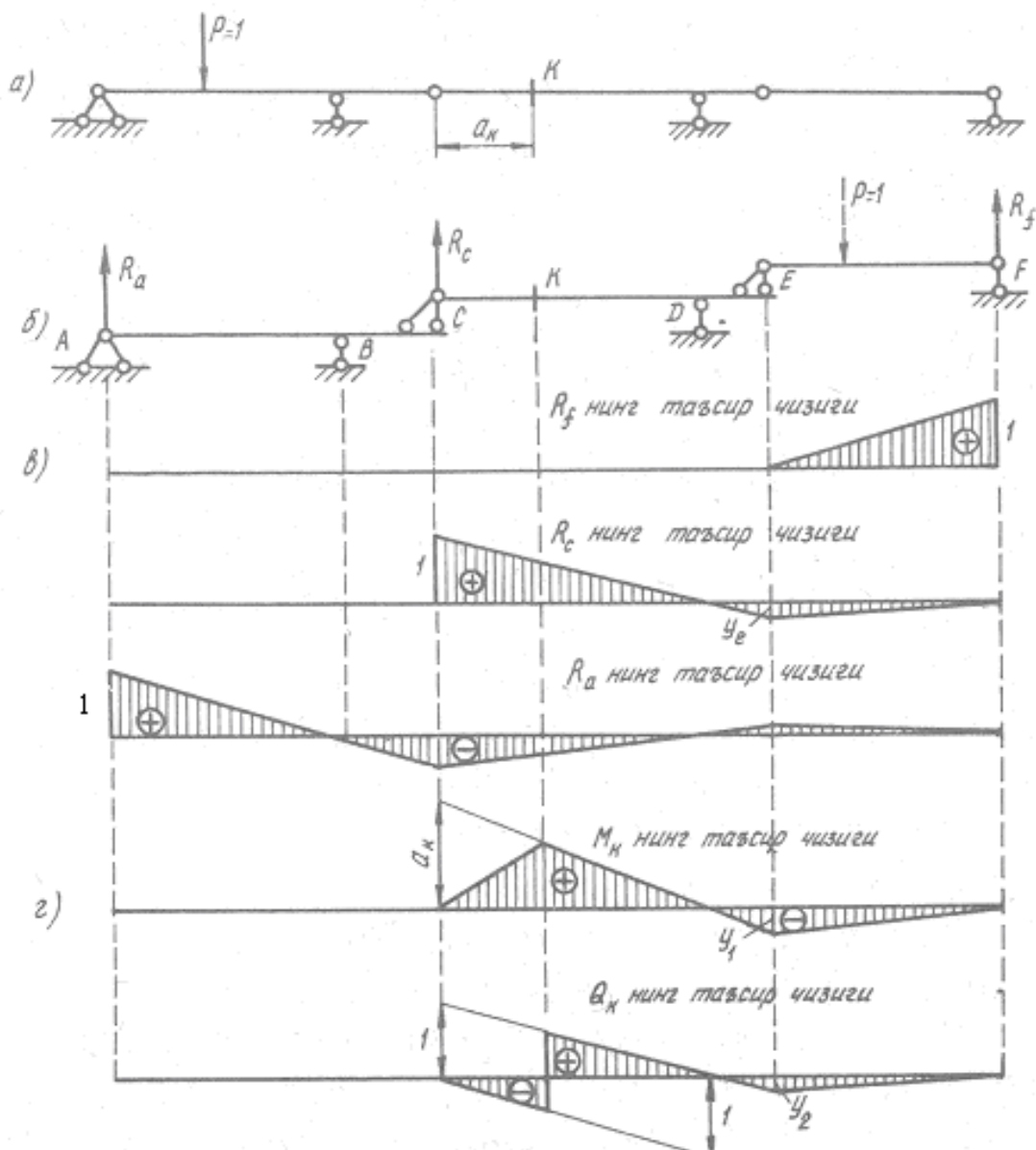
Ечиш. Берилган балканинг қаватлар схемасини қурамиз (3.6- расм, б) ва ҳисоблаш тартибини белгилаймиз.

Ҳисоб ишлари EF балкасидан бошланади. Уни асосий балкадан ажратиб олиб, M ва Q эпюралари қурилади. Шундан сўнг СД балкаси ҳисобланади. EF балкасига қўйилган юкларнинг СД балкасига бўлган таъсири R_e реакцияси орқали ҳисобга олинади. Ўз навбатида СД ва EF балкаларига қўйилган юкларнинг АВ балкасига бўлган таъсири R_c реакцияси орқали ҳисобга олинади (3.6- расм, в). Иккинчи даражали

балкалар ҳисоби тугагач, асосий балка АВ ҳисобланади. Ҳисоб охирида алоҳида ҳисобланган эпюралар умумий ўқ устига жойлаштирилади (3.6-расм, г).

3.3. Кўп оралиқли статик аниқ балкаларда таъсир чизиқлари

Кўп оралиқли балкаларнинг таъсир чизиқларини чизиш балканинг қаватлар схемасини қуришдан бошланади (3.7- расм, а, б). Таъсир чизиқларини чизишда балкага фақат ҳаракатланувчи бирлик куч $P=1$ таъсир этади, деб фараз этилади.



3.7- расм

Таъсир чизиқлари чизиб бўлингандан кейин зўриқишларнинг қийматини аниқлаш жараёнида балкага қўйилган доимий юклардан фойдаланилади.

Осма (иккинчи даражали) балкаларда зўриқиши уларга куч қўйилган тақдирдагина пайдо бўлади. Асосий балкаларга қўйилган куч осма балкаларда зўриқиши уйғотмайди.

Асосий балкаларда шароит бутунлай бошқача: осма балкаларга қўйилган кучлар асосий балкада ҳам зўриқиши уйғотади. Шу қоидадан келиб чиқиб, кўп оралиқли балканинг таъсир чизиқларини қурамиз.

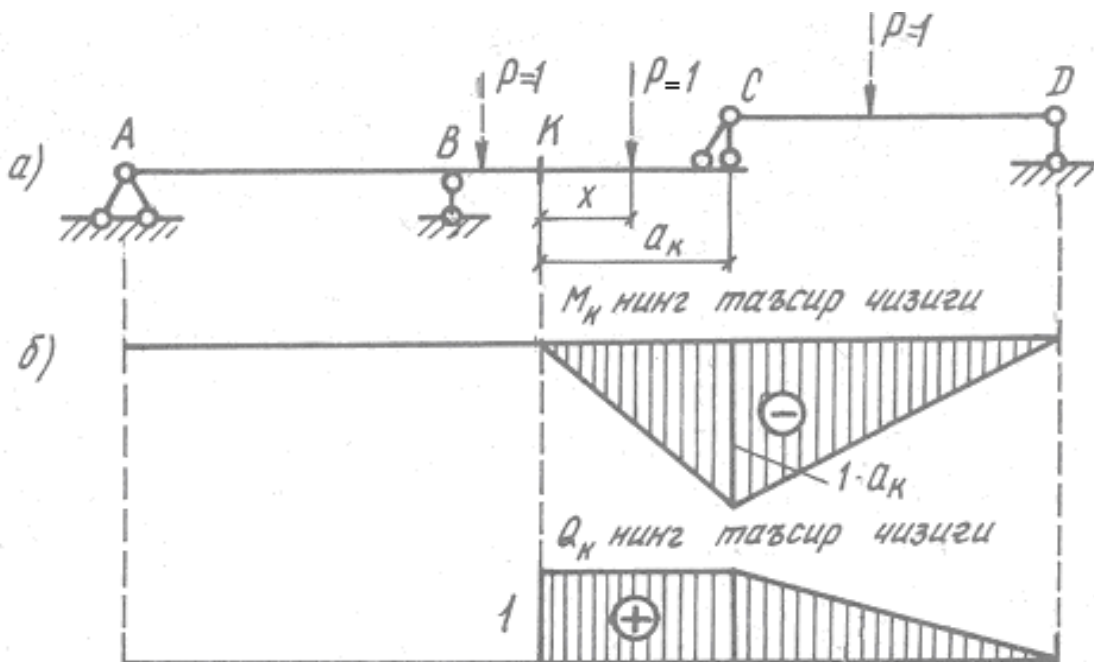
Осма балкага тегишли R_f таянч реакциясининг таъсир чизиги оддий балкаларнидан фарқ қилмайди (3.7- расм, в).

R_c реакциясининг таъсир чизигини қуришда СД консолли балкасининг ўзи берилган (унга туташган АВ ва EF балкалари йўқ) деб фараз қиласиз ва шу балканинг ўзи учун таъсир чизиги қурамиз. Ҳаракатланувчи бирлик куч $P=1$ С нуқтага келганда, R_c реакциянинг қиймати бирга teng бўлади ($R_c = 1$). Куч Е нуқтасига келганда, $R_c = y_e$ бўлади. Энди бирлик куч АВ ва EF балкалари бўйлаб ҳаракат қилганда, R_c реакциясининг қай тариқа ўзгаришини кўриб ўтамиз. Куч АВ балкасида юрганида R_c га таъсир этмайди, яъни $R_c = 0$ бўлади. Куч EF балкасида юрганида, R_c га таъсир этади. Куч Е нуқтасида бўлганида, R_c нинг қиймати y_e га teng эканлигини биламиз. Бирлик куч F таянчга яқинлашган сари унинг R_c га бўлган таъсири камая боради. $P=1$ кучи F нуқтасига келганда, $R_c = 0$ бўлади, чунки кучнинг таъсирини F таянчи тўлиқ ўзига қабул қилиб олади. Шунинг учун, y_e ординатаси F таянчи остидаги ноль нуқта билан туташтирилади (3.7- расм, в).

R_a реакциясининг таъсир чизиги АВ балкасидан бошланади. Таъсир чизигининг дастлабки қисмини оддий балкага чизгандек қурамиз. Осма балкалар остидаги қисми эса юқоридаги каби мулоҳаза юритиш йўли билан қурилади (3.7 - расм, в).

Энди эгувчи момент ва қирқувчи кучларнинг таъсир чизиқларини қурамиз. Балканинг « K » кесими учун M_k ва Q_k нинг таъсир чизиқларини қуриш талаб этилади, дейлик (3.7- расм, а). « K » кесими СД балкасига

қарашли СД балкаси АВга нисбатан иккинчи даражали, EF га нисбатан эса асосий балка ҳисобланади. Бу шуни англатадики, $P=1$ кучи АВ балкаси бўйлаб ҳаракатланганда



3.8- расм

«К» кесимида M ҳам, Q ҳам ҳосил бўлмайди. Консолли СД балкаси учун таъсир чизиқлари оддий балкадаги сингари қурилади. Куч EF балкасида Ҳаракатланганида, СД балкасининг «К» кесимидаги ички кучларга таъсир этади. Куч E нуқтасида турганида $Q_k = y_2$; $M_k = y_1$ бўлади. Куч F нуқтасига етганида, $M_k = 0$; $Q_k = 0$ бўлади. Шунга кўра y_1 ҳам, y_2 ҳам ноль билан туташтирилди. Ҳосил бўлган график M_k ва Q_k нинг таъсир чизиқлари деб аталади (3.7- расм, г).

Баъзан «К» кесими балканинг консол қисмида берилиши мумкин (3.8- расм, а). У ҳолда M_k ва Q_k нинг таъсир чизифи кесимнинг консолда ётганлигини ҳисобга олган ҳолда қурилади. Бирлик куч кесимдан чапда ҳаракатланса, «К» кесимида ҳеч қандай зўрикиш ҳосил бўлмайди. Куч КС оралиғида бўлса, $M_k = -I \cdot x$ ва $Q_k = 1$ бўлади. Куч СД балкаси устида ҳаракатланса, M_k ва Q_k учбурчак қонун бўйича ўзгаради (3.8- расм, б).

4- БОБ

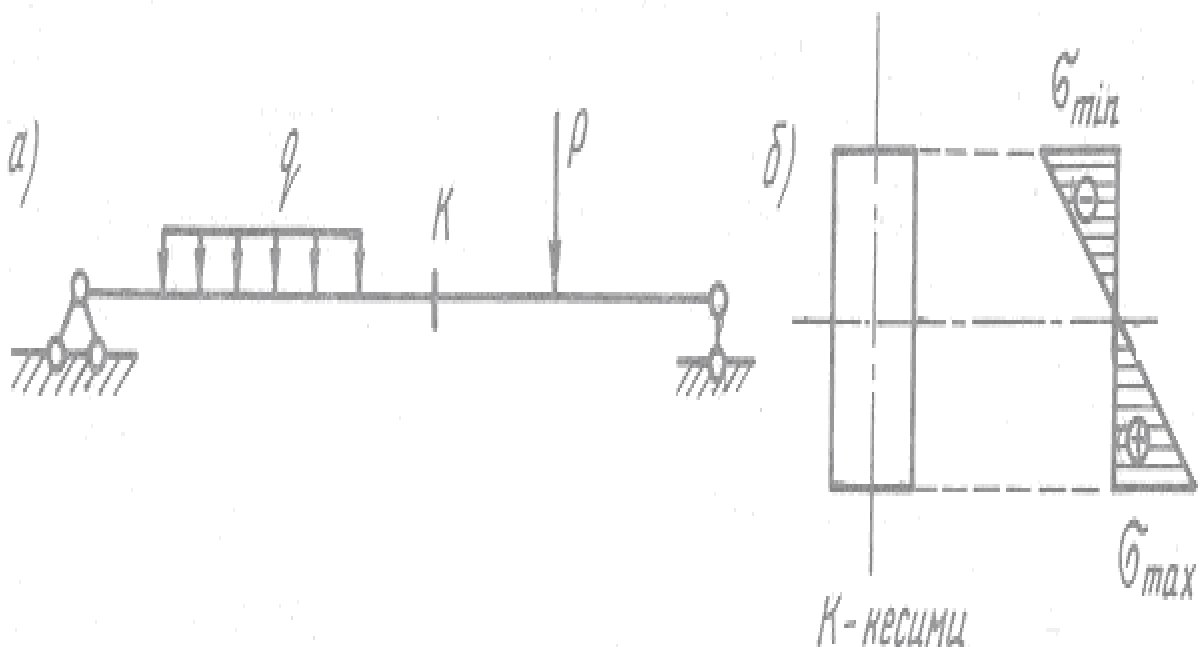
СТАТИК АНИҚ ФЕРМАЛАР

4.1. Фермалар тұғрисида түшунча ва уларнинг турлари

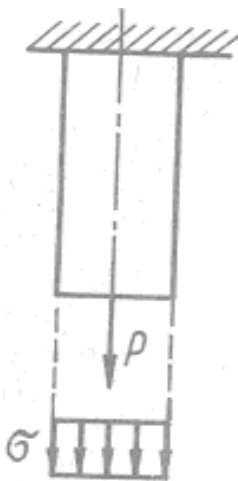
Бикир тугунларни шарнирлар билан алмаштирганда, үзининг геометрик ўзгармаслигини сақлаб қолувчи стерженли системалар *ферма* деб аталади (4.1-расм).

Фермалар балкаларнинг такомиллашган бир күриниши бўлиб, балкалар ўтайдиган вазифани бажаради: балкалар кичик оралиқларни ёпишда қўлланса, фермалар катта оралиқларни ёпишда қўлланилади.

Балкадан фермага ўтиш ғояси унинг ишлаш шароитини таҳлил қилиш оқибатида пайдо бўлган. Маълумки, балка эгилишга ишлайди (4.1- расм, а). Балканинг ихтиёрий кесими учун қурилган нормал кучланишлар эпюрасидан кўриниб турибдики, балканинг ашёсидан тўлик фойдаланилмайди. Нормал кучланиш нейтрал ўқда ноль, ўқдан узоқлашган сари унинг қиймати ортиб боради. Энг кўп ишни ўқдан узоқда жойлашган толалар бажаради, нейтрал катлам ва унинг атрофи деярли ишламайди. Ҳаттоқи прокат профиллар (кўштавр, швеллер ва бурчакликлар)да ҳам ашёларнинг атиги 60 — 70 фоизидан фойдаланилади, ҳолос.



4.1- расм



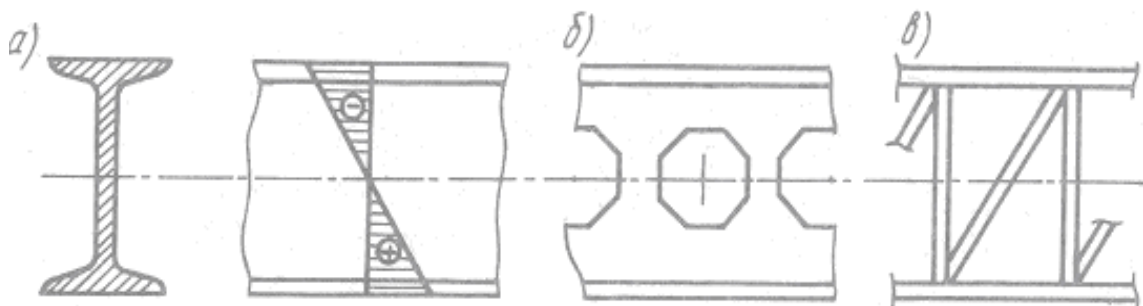
4.2- расм

Агар элемент сиқилиш ёки чўзилишга ишласа, у ҳолда унинг ашёсидан тўлиқ фойдаланилади (4.2- расм). Нормал кучланишлар эпюрасидан қўринадики, элементнинг ҳар бир нуқтаси ишлайди.

Ҳар иккала эпюорани солиштиришдан қўйидаги мулоҳаза пайдо бўлади. Шундай конструкция яратиш керакки, унда қўлланилган ашёдан тўлиқ фойдаланилсин, агар имкон бўлса, элемент фақат сиқилиш ва чўзилишга ишласин.

Бу вазифа босқичма-босқич амалга оширилди. Дастреб тўғри тўртбурчакли яхлит кесим ўрнига қўштавр пайдо бўлди (4.3- расм, а), кейинчалик қўштавр деворлари ўйиқлар ҳисобига енгиллаштирилади (4.3- расм, б) ва ниҳоят, бу изланишларнинг мантиқий давоми сифатида ферма конструкцияси яратилди (4.3- расм, в). Оддий статик аник ферманинг ҳисоблаш схемаси 4.4-расмда тасвирланган.

Одатда ташқи кучлар ферма тугунларига қўйилади. Ферма стерженлари ташқи кучлар таъсирида асосан сиқилиш ва чўзилишга ишлайди. Бу ҳол ферма материалидан самарали фойдаланиш имконини беради, чунки ҳар бир стержень кўндаланг кесимида ҳосил бўладиган нормал кучланишлар эпюораси тўғри тўртбурчак шаклига эга бўлади.

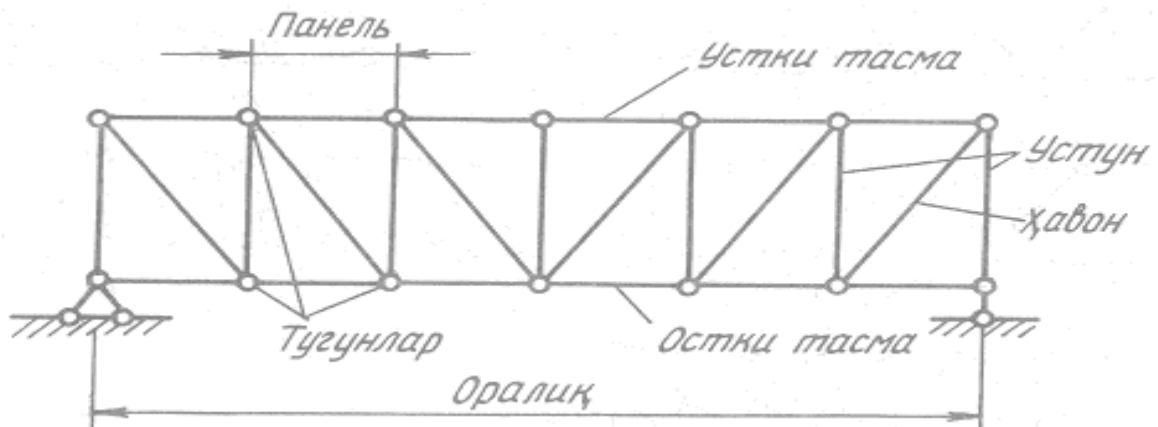


4.3- расм

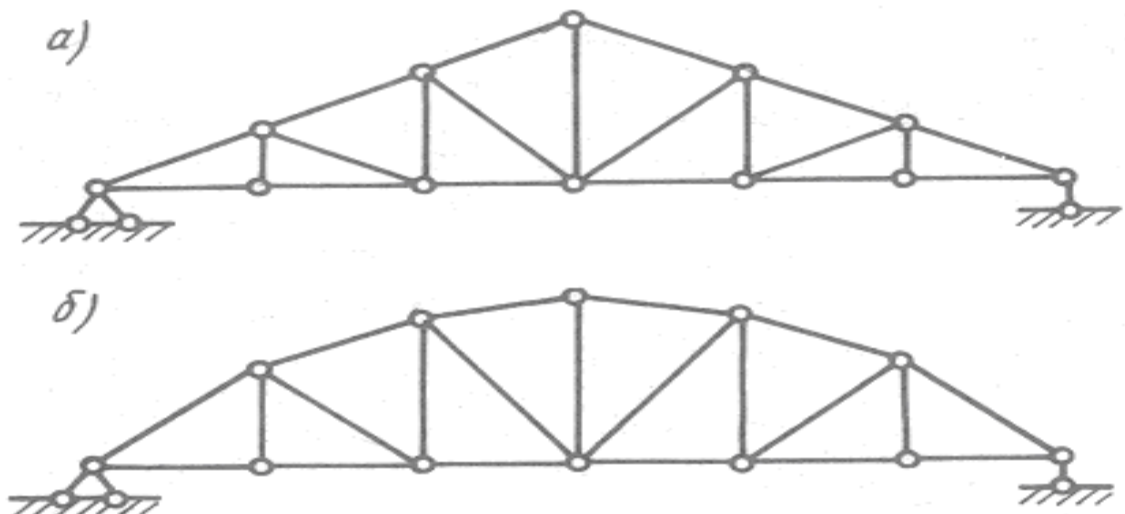
Ферманинг барча стерженлари ёки уларнинг ўқлари бир текисликда жойлашса, текис ёки ясси фермалар деб, бир текисликда жойлашмаса

фазовий фермалар деб аталади. Фазовий фермалар күпинча алоҳида ясси фермаларга ажратилған ҳолда ҳисобланади.

Икки таянч орасидаги масофа оралиқ (пролёт) деб аталади; ферманинг ташқи чегарасида жойлашган стерженлар *тасмалар* деб аталиб, улар орасида жойлашган стерженлар ферма панжараларини ташкил этади. Панжаранинг тик элементлари устун, оғма элементлари – ҳавон деб юритилади. Ферма түгунлари орасидаги горизонтал масофа панел дейилади.



4.4- расм



4.5- расм

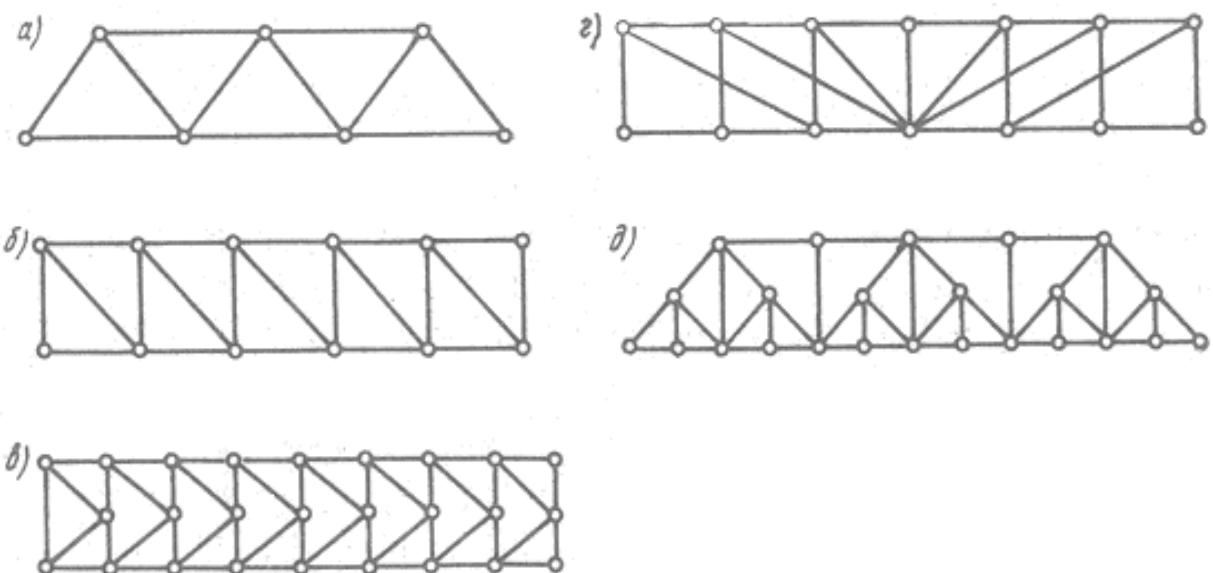
Фермалар ташқи кўриниши, панжара шакли, таянч хиллари ва ўтайдиган вазифасига қараб бир неча турга бўлинади:

а) ферма ташқи контўрининг шаклига кўра параллел тасмали фермалар (4.4- расм), учбурчак шаклли фермалар (4.5- расм, а), полигонал тасмали фермалар (4.5- расм, б);

б) панжарасининг тузилишига кўра учбурчак панжарали фермалар (4.6- расм, а), ҳавон панжарали фермалар (4.6- расм, б), ярим ҳавон панжарали фермалар (4.6- расм, в), қўшҳавон панжарали фермалар (4.6- расм, г), қўш панжарали (шпренгелли) фермалар (4.6- расм, д);

в) таянч хилларига қараб балкасимон ёки консол фермалар;

г) ўтайдиган вазифасига кўра том, кўприк ва кран фермалари;



4.6-расм

д) кўприк фермаларида юкнинг ҳаракатланиш сатхига қараб юк устки ёки пастки тасмадан юрадиган фермалар бўлади.

4.2. Фермаларни аналитик усулда ҳисоблаш

Статик аниқ ясси фермаларни ҳисоблаш деганда ҳар бир стержендаги зўриқишлиарни аниқлаш тушунилади.

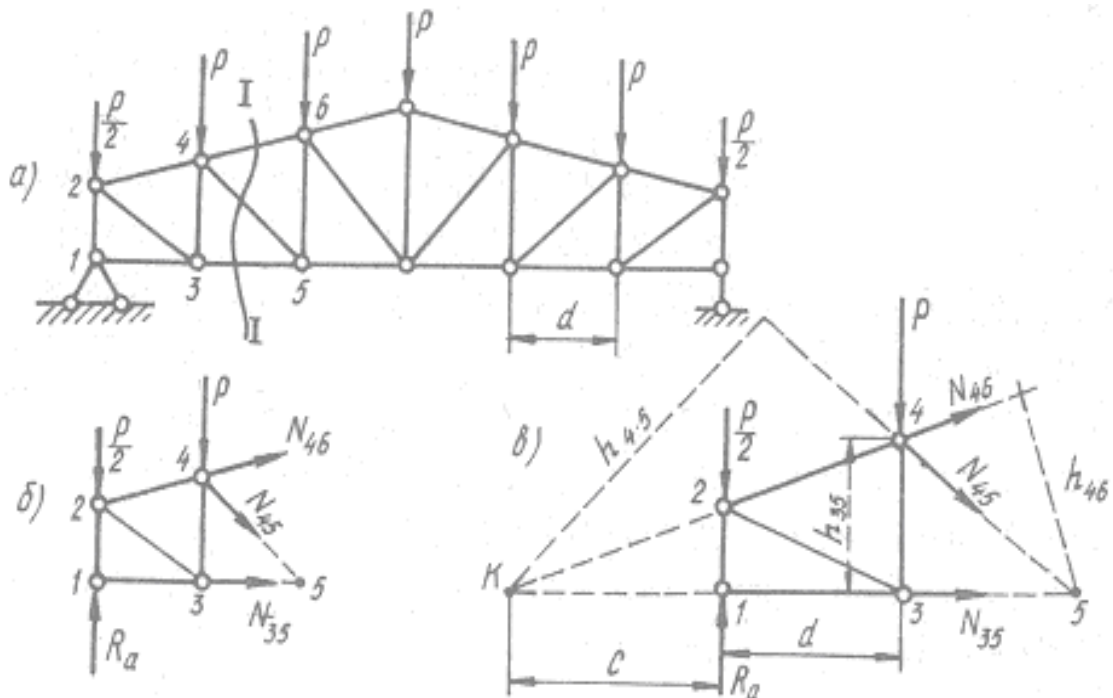
Зўриқишлиарни аниқлашнинг аналитик, график ва таъсир чизиқлари усули мавжуд. Мазкур параграфда аналитик усул билан танишиб чиқамиз.

Аналитик усулнинг ўзи бир-бирини тўлдирувчи учта усулга бўлинади: момент нуқтаси ёки Риттер усули, проекциялаш усули ҳамда тугунларни кесиб олиш усули.

Усулларнинг ичидаги энг қулайи Риттер усулидир, бироқ ундан ҳамма вақт ҳам фойдалана олмаймиз. Момент нуқтаси усулидан фойдаланиш имкони бўлмаган ҳолларда проекциялаш ёки тугунларни кесиб олиш усулларидан фойдаланилади. Ҳар учала усулни бирма-бир танишиб ўтамиз.

Момент нуқтаси усули. Ферманинг ҳисоби таянч реакцияларини аниқлашдан бошланади (бошқа усулларда ҳам ҳудди шундай қилинади). Ферма реакциялари оддий балка реакциялари сингари аниқланади, яхлит ферма учун статиканинг мувозанат тенгламалари тузилади ва шу тенгламалардан таянч реакциялари аниқланади ҳамда текширилади.

Стерженлардаги зўриқишлиарни аниқлаш учун ферма ҳаёлан қирқилади (4.7- расм, а), ҳисоблаш учун қирқилган ферманинг бир қисми ажратиб олинади (4.7- расм, б) ва ажратилган бўлак учун мувозанат тенгламаси тузилади. Мувозанат тенгламаси таркибига ташқи кучлар ва таянч реакцияларидан ташқари номаълум зўриқишлиар киради.



4.7-расм

Момент нуқтаси усулида кесим шундай ўтказиладики, бунда кесимга кирган стерженларнинг сони, учтадан ортмаслиги ва учала стержень бир нуқтада кесишмаслиги керак. Кесимга кирган стерженлар жуфт-жуфт бўлиб, бир нуқтада кесишади (4.7- расм, б). Ҳар бир стержень ўзининг момент нуқтасига эга. Кесимга кирган, зўриқиши изланмаётган икки стерженнинг кесишув нуқтаси *момент нуқтаси* деб аталади. Мувозанат тенгламалари ана шу момент нуқталарига нисбатан тузилади. Бу усулнинг афзаллиги шундан иборатки, тузиладиган тенгламалар ҳар сафар бир номаълумли бўлади. Бир номаълумли оддий тенгламадан изланаётган зўриқишийнг қиймати аниқланади.

Тенглама тузаятганда, номаълум зўриқишларнинг йўналишини ферманинг кесилган томонига йўналтирилади, яъни стержень чўзилувчан деб қаралади. Ҳисоб натижасида зўриқиши мусбат ишорада чиқса, стерженнинг чўзишишга ишлаши тасдикланади. Манфий чиқса стержень сиқилувчан бўлади.

Ферма стерженларидаги зўриқишлар аслида ички кучлар бўлганлиги сабабли уларни N ҳарфи билан белгилаймиз ва қайси тугунлар орасидаги стерженнинг зўриқиши эканини билиш мақсадида остига икки рақамдан иборат белги қўямиз. Масалан, N_{46} — тўртинчи ва олтинчи тугунлар орасидаги стерженнинг зўриқиши эканини билдиради.

Энди бевосита зўриқишларни аниқлашга киришамиз. N_{35} , N_{45} ва Y_{46} зўриқишларни аниқлаш талаб этилади, дейлик. Бунинг учун фермани 1 — 1 кесими бўйича қирқамиз (4.7-расм, а). Ферманинг бир қисмини (масалан, кучлар кўп бўлганлиги учун ўнг қисмини) ташлаб юборамиз, ҳисоблаш учун эса чап қисмини олиб қоламиз (4.7- расм, в).

Ферманинг чап қисми ташқи кучлар (R_a ; 0,5 P; P) ҳамда ички кучлар (N_{35} , N_{45} ва Y_{46}) таъсирида мувозанат ҳолатида бўлиши лозим. Номаълум ички кучлар ферманинг ташлаб юборилган ўнг қисмининг таъсирини ўзида акс эттиради.

4- тугун 3 — 5 стержени учун момент нуқтаси ҳисобланади. Номаълум зўриқиши N_{35} ни аниқлаш учун шу нуқтага нисбатан барча кучларнинг моментлари йифиндисини ёзамиз:

$$\sum M_4 = R_a \cdot d - \frac{P}{2} \cdot d - N_{35} \cdot h_{35} = 0,$$

бу ердан

$$N_{35} = \frac{R_a \cdot d - 0,5 P \cdot d}{h_{35}} = \frac{M_4^0}{h_{35}}.$$

Бу ерда d ва h - елкалар; M_4^0 - тўртинчи тугунга нисбатан ферманинг чап бўлагида ётган кучларнинг моментлари йифиндиси.

Бу момент микдор жиҳатидан оддий балканинг, ферма момент нуқтасига мос кесимидағи моментга тенг бўлади.

Зўриқишининг мусбат ишораси 3 - 5 стерженнинг чўзилувчан эканлигини англатади.

Энди 4-6 - тугунлар орасидаги стерженнинг зўриқиши N_{46} ни аниқлаймиз. Кесимга кирган икки стерженнинг кесишув нуқтаси (5) N_{46} учун момент нуқтаси бўлади. Шу нуқтага нисбатан моментлар йифиндисини ёзамиз:

$$\sum M_5 = R_a \cdot 2d - \frac{P}{2} \cdot 2d - P \cdot d + N_{46} \cdot h_{46} = 0;$$

бу ердан

$$N_{46} = -\frac{2d(P - R_a)}{h_{46}} = -\frac{M_5^0}{h_{46}}.$$

Зўриқиши ишорасининг манфий чиқишини 4 — 6 стерженининг сиқилувчан эканлигини билдиради. Умуман фермага қўйилган ташқи кучлар пастга йўналган бўлса, ферманинг устки тасмаси сиқилишга, остки тасмаси чўзишишга ишлайди.

Эндиғи навбат, N_{45} га. Кесимга кирган, зўриқиши изланмаётган икки стержень «К» нуқтасида кесишади. Ана шу нуқта N_{45} учун момент нуқтаси ҳисобланади. Шу нуқтага нисбатан моментлар йифиндисини ёзамиз:

$$\sum M_k = -R_a \cdot c + \frac{P}{2} \cdot c + P(c + d) + N_{45} \cdot h_{45} = 0;$$

бу ердан

$$N_{45} = \frac{R_a \cdot c - 0,5 P \cdot c - P(c + d)}{h_{45}} = \frac{M_k^0}{h_{45}}.$$

Шундай қилиб, момент нүктаси усулида исталган стержендаги зўриқиши қуйидаги формула асосида топилар экан:

$$N = \frac{M}{h}.$$

Бу ерда M — кесилган ферманинг бир қисмида ётган кучларнинг момент нүктасига нисбатан олинган моментлари йифиндиси;

h — изланаётган зўриқишининг шу нүктага нисбатан елкаси.

Проекциялаш усули. Баъзан шундай фермалар учрайдики, уларда момент нүктаси усулини қўллаб бўлмайди.

Бундай ҳолларда бошқа усуллардан фойдаланишга тўғри келади. Параллель тасмали ферма бунга мисол бўла олади (4.8- расм, а). Ферманинг ҳавон ва устунлари момент нүктасига эга эмас, чунки тасмалар параллел бўлганлиги сабабли ўзаро кесишмайди. Бундай ҳолларда проекциялаш усули жуда қўл келади.

5 — 6 тугунлар орасидаги устуннинг зўриқишини аниқламоқчимиз, дейлик. Бунинг учун энг аввал 1 — 1 кесим билан фермани икки қисмга ажратамиз; кучлар кўп бўлгани учун ўнг томонини ташлаб юборамиз (4.8-расм, б). Кесимга кирган уч стерженнинг иккитаси ўзаро параллел, демак N_{56} нинг момент нүктаси йўқ. Шунинг учун мувозанат тенгламасини тузишда кучлар проекцияларининг йифиндисидан фойдаланамиз:

$$\sum Y = R_a - \frac{P}{2} - P + N_{56} = 0;$$

бу ердан

$$N_{56} = -(R_a - 1,5P) = -Q.$$

Бу ерда N_{56} — оддий балкадаги қўндаланг куч.

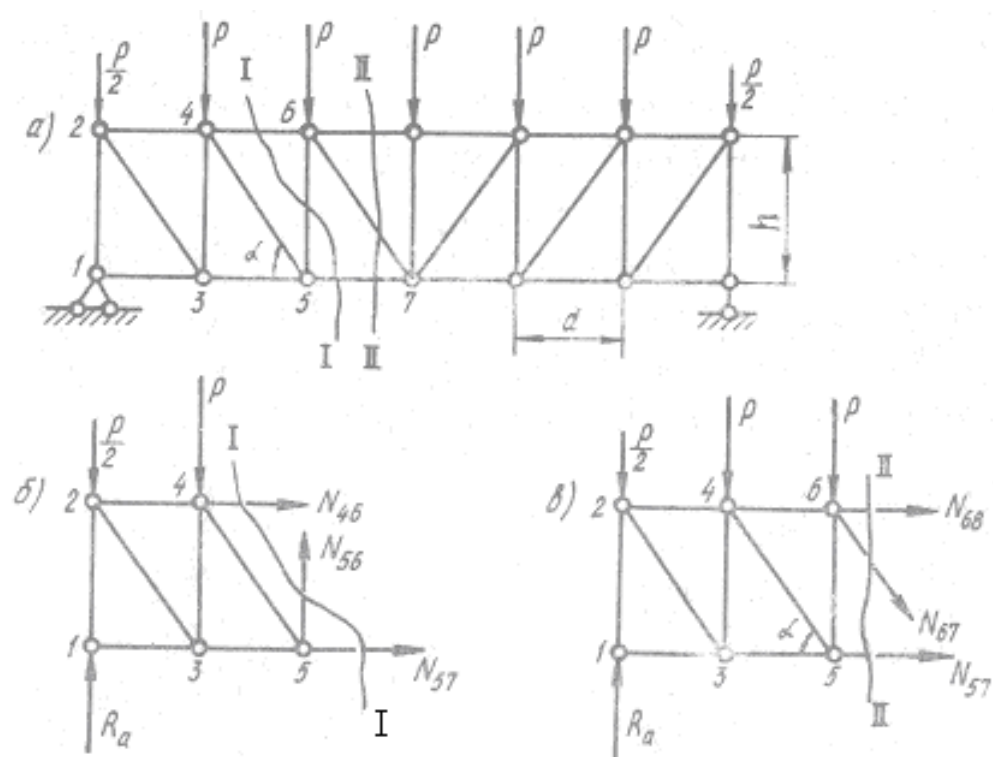
N_{67} зўриқиши аниқлаш учун фермани II — II кесим бўйлаб қирқамиз ва унинг чап қисми учун қуйидаги проекциялар тенгламасини ёзамиз (4.8- расм, в):

$$\sum Y = R_a - \frac{P}{2} - P - P - N_{67} \cdot \sin \alpha = 0;$$

бу ердан

$$N_{67} = \frac{R_a - 2,5P}{\sin \alpha} = \frac{Q}{\sin \alpha}.$$

Бу ерда ҳам Q оддий балканинг қирқувчи кучи.



4.8-pacm

Тугунларни кесиб олиш усули. Бу усулни проекциялаш усулининг хусусий ҳоли деса ҳам бўлади. Чунки бунда ҳам проекция тенгламаларидан фойдаланилади. Фарқи шуки, аввалги усулда яхлит фермани қирқиб, унинг бир қисми ажратиб олинган бўлса, бу сафар битта тугун кесиб олинади ва шу тугун учун мувозанат тенгламалари тузилади(4.9- расм,а,б).

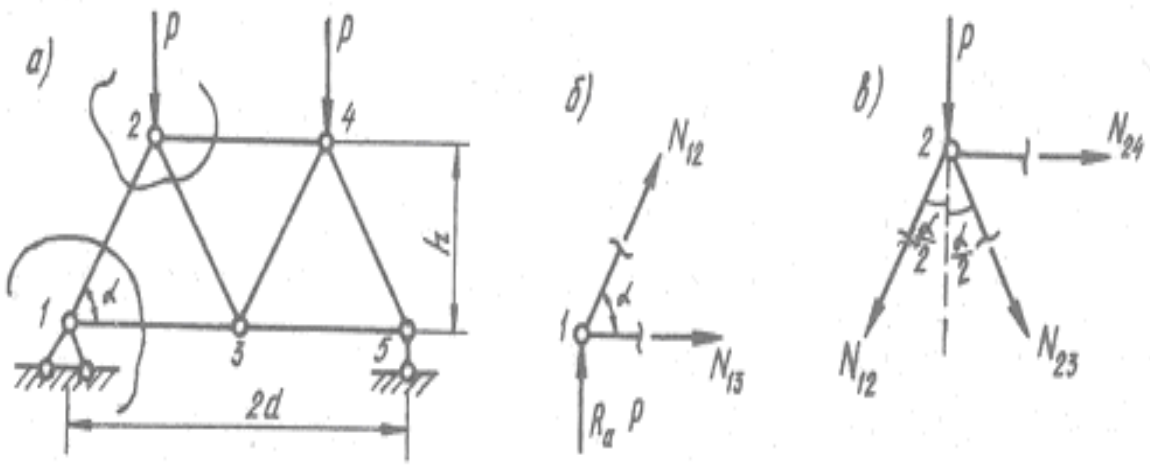
Хисоб ишлари икки стерженли түгундан бошланади.

Нега деганда тугун мувозанатини текшириш учун ихтиёrimизда факат иккита тенглама бор: $\sum X = 0$; $\sum Y = 0$.

Шунга мувофик яхлит фермадан 1 тугунни кесиб оламиз ва ундаги N_{12} ҳамда N_{13} номаълум зўриқишиларни аниқлаймиз. Кучларнинг У ўқига бўлган проекциялари йиғиндисини ёзамиз:

$$\sum Y = R_a + N_{12} \cdot \sin \alpha = 0;$$

$$\text{бұ ердан} \quad N_{12} = -\frac{R_a}{\sin \alpha} = -\frac{P}{\sin \alpha};$$



4.9-расм

N_{13} ни аниқлаш учун күчларни X ўқига проекциялаймиз:

$$\sum X = N_{13} + N_{12} \cdot \cos \alpha = 0;$$

бу ердан

$$N_{13} = -N_{12} \cdot \cos \alpha = \frac{P}{\sin \alpha} \cdot \cos \alpha = P \cdot \operatorname{ctg} \alpha.$$

Энди 2- тугунга ўтилади; бу ердаги учта зўриқишдан биттаси маълум (N_{12}), ҳолган иккитаси номаълум. N_{23} ни аниқлаш учун күчларни Y ўқига проекциялаймиз (4.9- расм, в).

$$\sum Y = -P - N_{12} \cos \frac{\alpha}{2} - N_{23} \cdot \cos \frac{\alpha}{2} = 0,$$

бу ердан

$$N_{23} = -P \left(1 - \frac{1}{\sin \alpha}\right) \cos \frac{\alpha}{2}.$$

N_{24} ни аниқлаш учун күчларни X ўқига проекциялаймиз (4.9- расм, в)

$$\sum X = N_{24} - N_{12} \sin \frac{\alpha}{2} + N_{23} \frac{\alpha}{2} = 0,$$

бу ердан

$$N_{24} = P \left(1 + \cos \frac{\alpha}{2}\right) \operatorname{tg} \frac{\alpha}{2} - P \sin \frac{\alpha}{2} / \sin \alpha.$$

Юқоридагилардан кўриниб турибдики, тугунларни кесиб олиш усулида навбатдаги стержень зўриқиши ўзидан олдинги стерженлар зўриқишиларига боғлиқ ҳолда топилади. Олдинги зўриқишини аниқлашда йўл қўйилган хато табиийки кейинги зўриқишларда хам такрорланади.

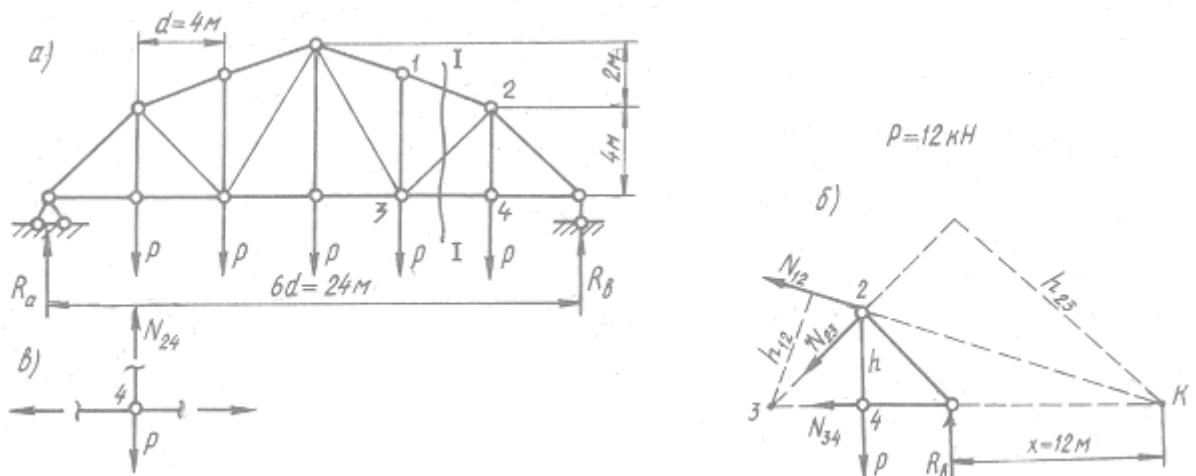
Бу мазкур усулнинг камчиликларидан ҳисобланади. Усулнинг яна бир камчилиги шундан иборатки, унинг тенгламаларида кўплаб тригонометрик функциялар учрайди, бу эса ҳисобни мураккаблаштиради.

Ана шуларни ҳисобга олиб, фермаларни ҳисоблагандан кўриб ўтилган усуллардан қайси бири қўл келса, ўша усулдан фойдаланилади. Масалан, ферманинг баъзи зўриқишилари момент нуқтаси усулида, баъзилари проекциялаш ёки тугунларни кесиб олиш усулида аниқланиши мумкин.

4.1 - мисол. 4.10- расм, а-да тасвирланган ферманинг бешинчи панели стерженларидаги зўриқишилар аналитик усулда аниқлансан.

Ечиш. Ҳисоб таянч реакцияларини аниқлашдан бошланади:

$$R_a = R_b = \frac{5P}{2} = \frac{5 \cdot 12}{2} = 30 kN$$



4.10- расм

Ферманинг 5- панелини 1 — 1 кесим билан кесиб, чап қисмини ташлаб юборамиз ва ўнг томони учун мувозанат тенгламаларини тузамиз. (4.10-расм, б). Мувозанат тенгламаларини тузишда кесилган стерженлар чўзилишга ишлайди деб фараз этилади ва зўриқишилар тугундан ташки томонга йўналтирилади.

N_{12} зўриқишини аниқлашда 2 — 3 ва 3 — 4 стерженларнинг кесишув нуқтаси (3) момент нуқтаси деб қабул қилинади. Шу нуқтага нисбатан моментлар тенгламаси тузилади.

$$\sum M_3 = -R_b \cdot 2d + P \cdot d - N_{12} \cdot h_{12} = 0.$$

Тригонометрик йўллар билан $x=12$ м ва $h_{12}=4,9$ м ни аниқлаймиз. У ҳолда $N_{12} = -39,6$ кН бўлади.

N_{34} зўриқишининг момент нуқтаси 2- тугунга тўғри келади. Моментлар тенгламасини шу нуқтага нисбатан тузамиз:

$$\sum M_2 = -R_b \cdot d + N_{34} \cdot h = 0;$$

бундан $N_{34}=30$ kN.

N_{23} зўриқишини ҳам аввалги зўриқишилар сингари момент нуқтаси усулида аниқлаймиз. Бироқ бу зўриқишининг момент нуқтаси, яъни 1 — 2 ва 3 — 4 стерженлардан ўтган ўқнинг кесишув нуқтаси (K) фермадан ташқарида ётади. Мувозанат тенгламаси ана шу нуқтага нисбатан тузилади:

$$\sum M_k = R_b \cdot x - P(d+x) - N_{23} \cdot h_{23} = 0.$$

Тригонометриядан $h_{23} = 14,14$ м. Тенгламадан $N_{23} = 11,9$ кН.

N_{24} зўриқиши тугуларни кесиб олиш усулида аниқланади. Бунинг учун 4- тугунни кесиб олиб (4.10- расм, в), мувозанат тенгламаси тузилади:

$$\sum Y = N_{24} - P = 0;$$

бундан

$$N_{24}=12 \text{ kN}.$$

4.3. Ферма стерженларидаги зўриқишиларнинг таъсир чизиқлари

Баъзан фермаларга доимий юклардан ташқари қўзғалувчан юклар кам таъсир этади. Қўзғалувчан юклар таъсирида ферма етерженларидаги зўриқишиларнинг қиймати ўзгариб боради. Зўриқишиларнинг қандай ўзгаришини билиш учун таъсир чизиқлари деб аталган график чизилади.

Таъсир чизиқларининг тенгламалари аналитик усулдаги сингари момент нуқтаси, проекциялаш ва тугуларни кесиб олиш усулларида тузилади. 4.11-расм, а да тасвир-ланган ферма стерженларидаги айрим зўриқишиларнинг таъсир чизиқларини қурамиз.

Ферманинг иккинчи панелидаги N_{35} , N_{46} , N_{45} зўриқишиларнинг таъсир чизиклари момент нуқтаси усулида, учинчи панелдаги N_{67} зўриқиши проекциялаш усулида ҳамда N_{87} зўриқишининг таъсир чизиги тугунни кесиб олиш усулида қурилади.

Ишни N_{35} зўриқишининг таъсир чизигини қуришдан бошлаймиз. Бунинг учун фермани 1 — 1 кесим билан хаёлан қирқамиз. Ҳаракатланувчи бирлик куч кесимнинг ўнг томонида деб фараз этамиз ва шу томонни ташлаб юборамиз. Қирқимга тушган учта стержендаги зўриқишиларнинг йўналиши ташлаб юборилган томонга қаратилади.

Кесимнинг чап томони учун момент нуқтаси усулини қўллаб, мувозанат тенгламасини тузамиз. 3 — 5 стержени учун 4 нуқта момент нуқтаси ҳисобланади. Шу нуқтага нисбатан моментлар йифиндисинн ёзамиш:

$$\Sigma M_4 = R_a \cdot d - N_{35} \cdot h_1 = 0,$$

бу ердан

$$N_{35} = R_a \cdot \frac{d}{h_1}.$$

Демак, N_{35} зўриқишининг таъсир чизиги бирлик куч кесимдан ўнгда ҳаракатланганда, R_a таянч реакциясининг таъсир чизиги сингари бўлиб, ординаталари d/h_1 миқдорга фарқ қиласи. Шунга кўра А таянч остида ўқдан юқорига d/h_1 масофани ўлчаб қўяшимиз ҳамда В таянч остидаги ноль нуқта билан туташтирамиз.

Ўтказилган чизик ўнг чизик деб аталади (4.11- расм, б).

Чап чизиқни ўтказиш мақсадида кесимнинг ўнг томони учун моментлар тенгламасини ёзамиш:

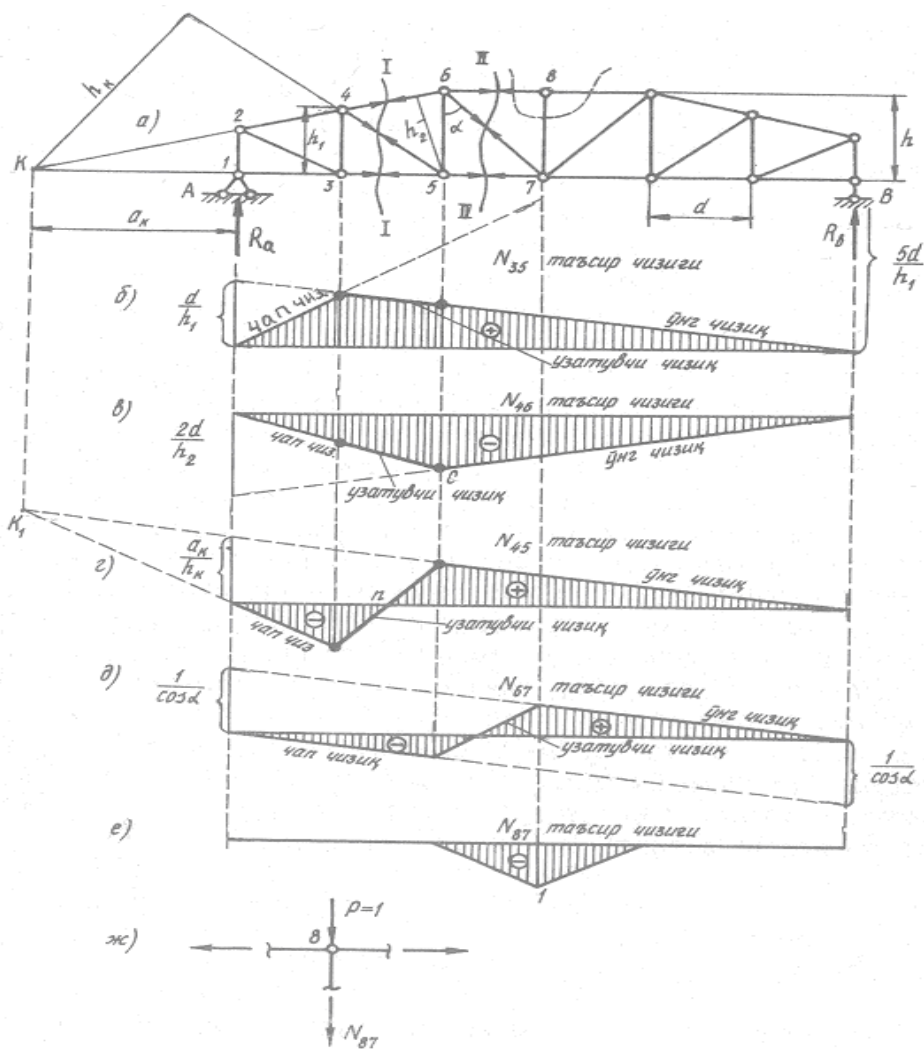
$$\Sigma M_4 = N_{35} \cdot h_1 - R_b \cdot 5d = 0,$$

бу ердан

$$N_{35} = R_b \cdot \frac{5d}{h_1}$$

Демак, N_{35} зўриқишининг таъсир чизиги бирлик куч кесимдан чапда бўлганда, тузилиши жиҳатидан ҳудди R_b , реакциясининг таъсир чизигига ўхшаш бўлиб, миқдор жиҳатдан ундан $5d/h_1$ маротаба кўп бўлади. Бунга асосан В таянч остида $5d/h_1$ масофани ўқдан юқорига ўлчаб қўяшимиз ва уни А таянч остидаги ноль нуқта билан туташтирамиз. Бу чизик ч а п ч и з и қ деб

аталади. Чап ва ўнг чизиқлар момент нүктаси (4) остида кесишади (4.11-расм, б). Штрихланган учурчак N_{35} зўриқишининг таъсир чизиги хисобланади. Мусбат ишора 3 — 5 стержени чўзилишга ишлашини билдиради. 3- ва 5- тугунларни ўнг чизикка туширилган проекцияларини туташтирувчи чизик — узатувчи чизик деб аталади.



4.11- расм

N_{35} га тааллукли узатувчи чизик бизнинг ҳолда ўнг чизик билан устмайт тушган. Баъзи ҳолларда узатувчи чизик чап ёки ўнг чизик билан устмайт тушмайди.

Ўнг ва чап чизиқларнинг момент нүктаси остида кесишувини эътиборга олиб, таъсир чизиқларини чизишни бир мунча енгиллаштириш мумкин.

Бунинг учун биргина ўнг ёки чап чизик чизилса кифоя. Иккинчиси момент нуқтасининг проекцияси орқали ўтказилади.

Шу йўл билан N_{46} ва N_{45} зўриқишиларнинг таъсир чизигини қурамиз.

1 - 1 кесим ўз -кучини сақлайди. 5- нуқта N_{46} нинг момент нуқтаси бўлади. Бирлик куч $P=1$ кесимдан ўнг томонда ҳаракатланади, деб чап томон учун қуидаги тенгламани ёзамиш:

$$\sum M_5 = R_a \cdot 5d + N_{46} \cdot h_2 = 0,$$

бундан

$$N_{46} = -R_a \frac{2d}{h_2}$$

N_{46} нинг таъсир чизигини чизиш учун А таянчи йўналишида ўқдан пастга (манфий бўлганлиги учун) $2d/h_2$ масофани ўлчаб қўямиз ва В таянчи йўналишидаги ноль билан бирлаштирамиз (4.11- расм, в). Бу ўнг чизик бўлади. Чап чизиқни ўтказиш учун момент нуқтаси 5 ни ўнг чизиқка проекциялаймиз. Топилган нуқта С ни А таянчи остидаги ноль билан туташтирамиз. Бу чизик чап чизик бўлади. Штрихланган юза N_{46} зўриқишининг таъсир чизиги ҳисобланади. Манфий ишора 4 - 6 стерженининг сиқилишга ишлашини билдиради.

Энди ҳавондаги зўриқиши N_{45} нинг таъсир чизигини чизамиш. 1 — 1 кесим бу стерженни ҳам кесиб ўтган. Кесимнинг ўнг томонини ташлаб юборамиз. Бирлик куч $P=1$ кесимдан ўнгда деб фараз этамиш. Ферманинг кесимдан чап қисми учун мувозанат тенгламасини тузамиш. Бунинг учун аввал момент нуқтасини белгилаб оламиш; N_{45} зўриқишининг момент нуқтаси 3 - 5 ва 4 - 6 стерженларидан ўтган ўқнинг кесишув нуқтаси К да ётади. Моментлар йиғиндисини шу нуқтага нисбатан тузамиш:

$$\sum M_k = -R_a \cdot a_k + N_{45} \cdot h_k = 0,$$

бундан

$$N_{45} = R_a \frac{a_k}{h_k}$$

Демак, куч ($P=1$) кесимдан ўнгда ҳаракатланганда, N_{45} зўриқишининг қиймати R_a реакциясидан a_k/h_k маротаба катта бўлар экан. Бунга асосланиб, ўқдан юқорига a_k/h_k масофани ўлчаб қўямиз; уни В таянчи йўналишидаги

ноль билан туташтирамиз (4.11- расм, г), ҳосил бўлган чизик ўнг чизик бўлади. Чап чизиқни ўтказиш учун ўнг чизиқни чапга давом эттирамиз. Момент нуқтаси — К ни унинг давомига проекциялаймиз. Улар К₁ нуқтасида кесишади. Кі нуқтаси билан А таянчи остидаги ноль нуқтани бирлаштирамиз ва ўнгга давом эттирамиз. Бу чап чизик бўлади. Узатувчи чизиқни ўтказиш учун 4- тугунни чап, 5- тугунни ўнг чизиқка проекциялаймиз. Топилган нуқталарни бирлаштирувчи чизик узатувчи чизик хисобланади. Штрихланган юза эса N₄₅ нинг таъсир чизигидир. Бу ерда юза икки хил ишорага эга. *n* нуқтада ордината нолга teng. Бунинг маъноси шуки, бирлик куч *n* нуқтасидан чапда ҳаракатланса, 4 - 5 стержень сиқилишга, ўнгда ҳаракатланса чўзилишга ишлайди.

Энди ферма стерженларидағи зўриқишиларнинг таъсир чизиқларини куришда проекциялаш усулини қўллаб кўрамиз.

4.11- расм, а да тасвиirlанган ферманинг учинчи ва тўртинчи панелидаги устки ва остки тасмалар ўзаро параллел. Шу боисдан мазкур панеллардаги ҳавонларга момент нуқтаси усулини қўллаб бўлмайди. Бундай ҳолларда проекциялаш усулига мурожаат этилади.

Учинчи панел ҳавонидаги зўриқиши N₆₇ нинг таъсир чизигини қурайлик. Бунинг учун II — II кесими бўйлаб фермани қирқамиз. Ўнг томонини ташлаб, чап томони учун тенглама тузамиз; бунда бирлик куч P= 1 кесимдан ўнгда деб фараз этамиз:

$$\sum Y = R_a - N_{67} \cdot \cos \alpha = 0$$

бундан $N_{67} = \frac{1}{\cos \alpha} \cdot R_a.$

Бирлик куч кесимдан чапда деб фараз этиб, ўнг томон учун проекциялар тенгламасини ёзамиз:

$$\sum Y = R_b + N_{67} \cdot \cos \alpha = 0,$$

бундан $N_{67} = -R_b \cdot \frac{1}{\cos \alpha}$

N_{67} зўриқишининг таъсир чизиги ҳам таянч реакциялари R_a ва R_b нинг таъсир чизиги каби бўлар, миқдори эса $1/\cos \alpha$ га фарқ қиласа экан; Шунга кўра реакциялар йўналишида ўқдан юқорига ва пастга $1/\cos \alpha$ ни ўлчаб қўямиз, топилган нуқталарни таянчлар остидаги ноль нуқталар билан бирлаштирамиз. Юқорида ўнг, пастда чап чизик ҳосил бўлади (4.11- расм, д). 6- тугунни чап, 7- тугунни ўнг чизикка проекциялаймиз ва топилган нуқталарни туташтирасак, узатувчи чизик ҳосил бўлади.

Штрихланган юза 6 — 7 ҳавондаги зўриқишининг таъсир чизиги бўлади.

Тугунларни кесиб олиш усулини N_{87} зўриқиши мисолида кўриб ўтамиш.

7 — 8- устуннинг зўриқишини аниқлашда ферма қирқимиға учдан ортиқ (бизнинг ҳолда 4 та) стержень тўғри келади. Шунинг учун 8- тугунни шаклда кўрсатилгандек кесиб, ажратиб оламиш (4.11- расм, а ва ж).

Бирлик куч 8- тугундан бошқа тугунлар бўйлаб ҳаракатланса, устундаги зўриқиши ноль бўлади: $\sum Y = N_{81} = 0$.

Бирлик куч 8- тугунда бўлса,

$$\sum Y = -N_{87} - P = 0$$

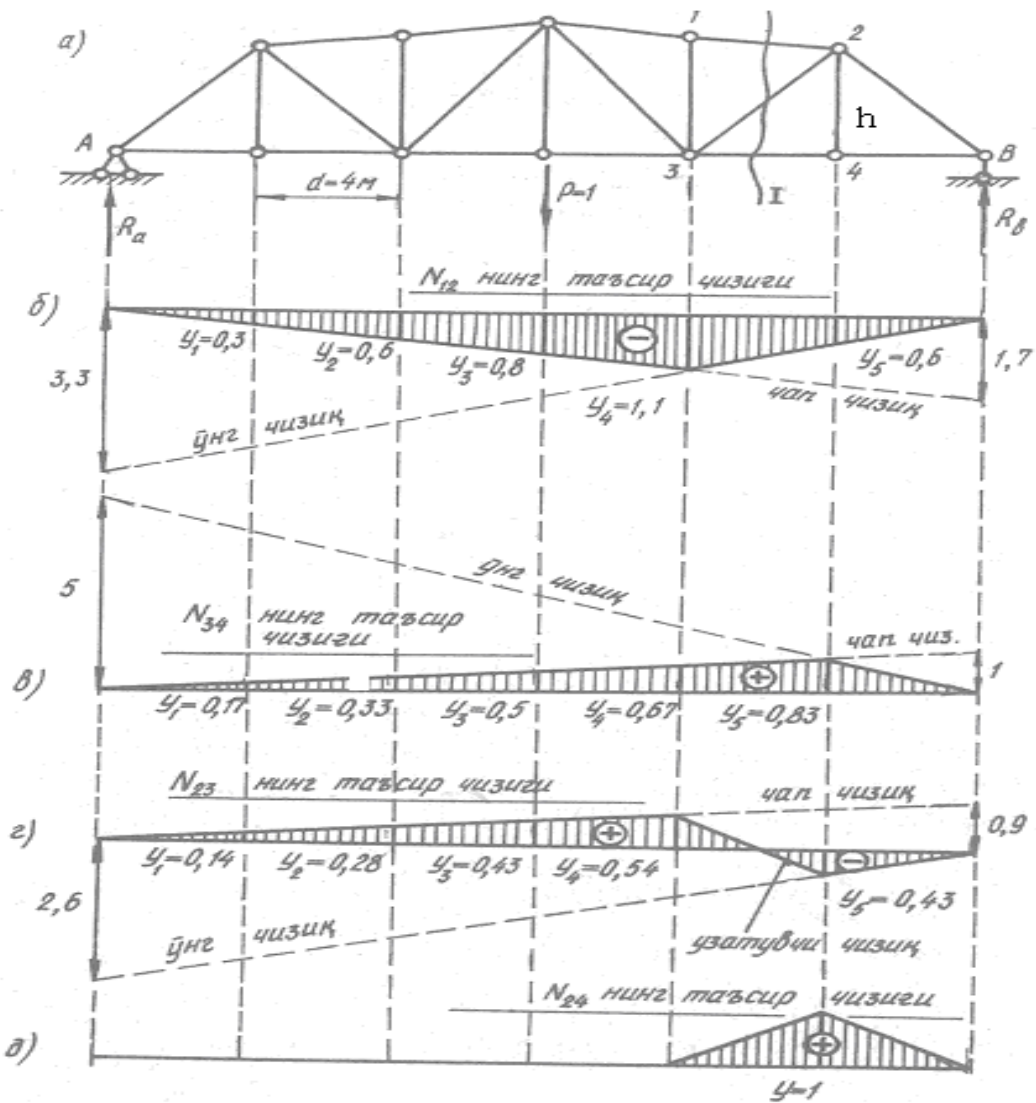
бундан

$$N_{87} = -P = -1.$$

Мазкур зўриқишининг таъсир чизиги 4.11- расм, е да тасвирланган.

Мисол. 4.12-.расм, а да тасвирланган ферманинг бешинчи панелидаги зўриқишлиар учун таъсир чизиқлари чизилсин ҳамда чизилган таъсир чизиқларидан фойдаланиб, зўриқишиларнинг қиймати аниқлансин.

Ечиш. Момент нуқтаси усулидан фойдаланиб N_{12} зўриқишининг таъсир чизигини чизамиш. Бунинг учун фермани 1 — 1 кесим билан қирқамиш. Навбатма-навбат ферманинг чап ва ўнг қисмлари учун мувозанат тенгламаларини тузамиш. Ферманинг чап қисми учун тенглама тузганда, бирлик куч $P=1$ ферманинг ўнг томонида ҳаракатланади деб фараз этамиш ва аксинча.



4.12- расм

3 - түгун N_{12} учун момент нүктаси бўлади. Шу нүктага нисбатан моментлар тенгламасини тузамиш (4.10- расм, б).

а) ферманинг ўнг томони тенгламаси

$$\sum M_3 = -R_b \cdot 2d - N_{12} \cdot h_{12} = 0,$$

бундан

$$N_{12} = -\frac{2 \cdot 4}{4,9} \cdot R_b = -1,7 R_b .$$

Бу ифодага кўра А таянчи остига ноль, В таянчи остига — 1,7 ра тенг бўлган ординаталарни ўлчаб қўямиз ва уларни бирлаштириб, чап тўғри чизиқни ҳосил қиласиз (4.12- расм, б);

б) бу ишларни ферманинг чап томони учун такрорлаймиз

$$\sum M_3 = R_a \cdot 4d + N_{12} \cdot h_{12} = 0,$$

бундан

$$N_{12} = -3,3R_a.$$

Бу ифодага кўра ўнг тўғри чизик ўтказилади. Штрихланган юза N_{12} зўриқишининг таъсир чизигидир (4.12- расм, б).

N_{34} зўриқишининг момент нуқтаси 2- тугун билан устма-уст ётади. Ферманинг чап ва ўнг қисмлар учун мувозанат тенгламаларини тузамиз ва уларнинг N_{34} га тегишли ординаталарини аниқлаймиз (4.10- расм, б):

а) ферманинг чап қисми учун

$$\sum M_2 = R_a \cdot 5d - N_{34} \cdot h = 0,$$

бундан

$$N_{34} = 5R_a.$$

б) ферманинг ўнг қисми учун

$$\sum M_2 = -R_b \cdot d + N_{34} \cdot h = 0, \quad N_{34} = R_b.$$

Штрихланган юза N_{34} нинг таъсир чизигидир (4.12- расм, в).

N_{23} зўриқишининг момент нуқтаси (К) фермадан ташқарида ётади (4.10- расм, б). Мувозанат тенгламаларини шу нуқтага нисбатан тузамиз:

а) ферманинг чап қисми учун $\sum M_k = R_a(6d+x) + N_{23}h_{23} = 0$ бундан $N_{23} = -2,6R_a$,

бунга кўра ўнг (тўғри) чизик ўтказилади;

б) ферманинг ўнг қисми тенгламаси $\sum M_k = R_b \cdot x - N_{23} \cdot h_{23} = 0, \quad N_{23} = 0,9R_b$

Бунга асосан чап (тўғри) чизик ўтказилади.

Чап ва ўнг чизиқлар узатувчи чизик ёрдамида туташтирилади. Бунинг учун 3- тугун чап ва 2- тугун ўнг чизиқка проекцияланади ҳамда топилган нуқталар бирлаштирилади. Штрихланган юза N_{23} нинг таъсир чизигидир (4.12- расм, г).

N_{24} зўриқишининг таъсир чизиги тугунларни кесиб олиш усулида курилади. Бунинг учун 4- тугунни кесиб оламиз ва унинг икки ҳолатини текширамиз (4.10- расм, в).

Биринчи ҳолатда бирлик куч 3 — 4 ва 4 — В панеллардан ташқарида ҳаракатланади, деб фараз этамиз.

Бу ҳолда мувозанат тенгламаси $\sum Y = 0$ дан $N_{24} = 0$ келиб чиқади.

Иккинчи ҳолатда бирлик куч 4- тугунга қўйилган деб фараз этамиз. Бу ҳол учун мувозанат тенгламаси $\sum Y = N_{24} - P = 0$ бўлади, бундан $N_{24}=1$ келиб чиқади.

Бирлик куч бошқа тугунларда бўлганда, N_{24} зўриқиши нолга тенг бўлади. Мазкур зўриқишининг таъсир чизиги 4.12- расм, д да тасвирланган.

Энди масаланинг иккинчи қисмини ҳал этишга киришамиз, яъни тайёр таъсир чизикларидан фойдаланиб, зўриқишлиарнинг қийматини аниқлаймиз. Фермага фақат йиғиқ кучлар қўйилган бўлганлиги учун зўриқишлиар куйидаги формула билан аниқланади:

$$N = P \sum_{i=1}^n Y_i.$$

Бу формуладан фойдаланишда йиғиқ кучлар пастга йўналганлиги учун (4.10- расм, а) мусбат ишорада, Y_i ординатасининг ишоралари эса таъсир чизиклари ишораси бўйича олинади.

N_{12} зўриқишининг қийматини аниқлайлик. Ферма тугунларига қўйилган кўзғалмас кучларнинг қиймати $P=12$ кН. Номаълум ординаталар (Y) нинг қиймати N_{12} зўриқишининг таъсир чизикларидан топилади. Бунинг учун учбуручакларнинг ўхшашлигидан фойдаланилади.

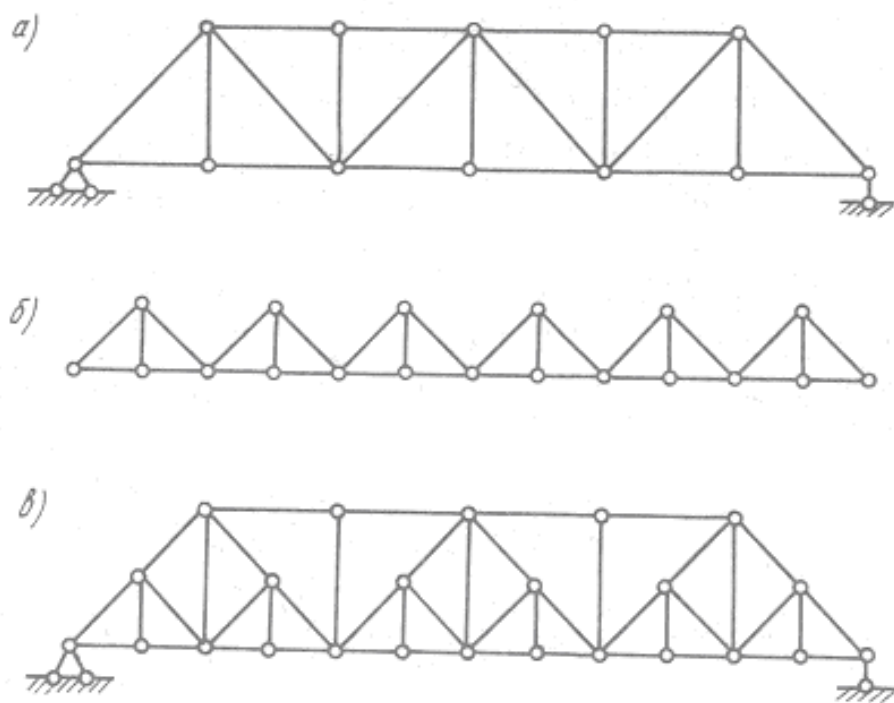
Топилган ординаталарнинг қиймати шаклда кўрсатилган (4.12- расм, б). Изланадиган зўриқишининг қиймати

$$\begin{aligned} N_{12} &= P(-y_1 - y_2 - y_3 - y_4 - y_5) = \\ &= -12(0,3 + 0,6 + 0,8 + 1,1 + 0,6) = -39,6 kN \end{aligned}$$

Бу қиймат аналитик усулда топилган қиймат билан бир хилдир. Қолган зўриқишлиарнинг қийматлари ҳам шу йўсинда аниқланади.

4.4. Шпренгелли фермалар

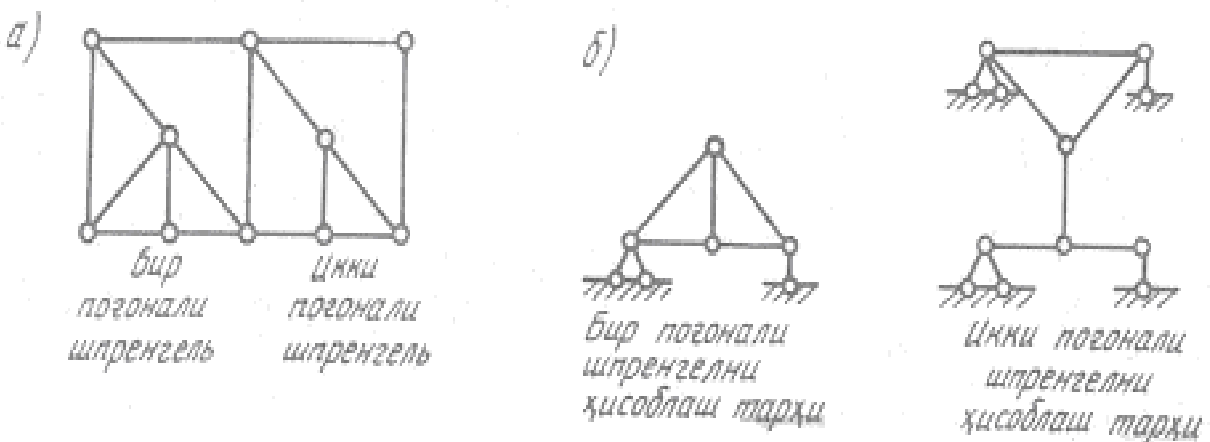
Катта узунликка эга бўлган ферманинг тугунлари орасидаги масофа (панел) ҳам катта бўлади. Бунинг оқибатида тугунларга таянувчи қўндаланг балкалар устига қўйиладиган бўйлама балкаларнинг вазни ортиб кетади. Бу ҳол иктисодий жиҳатдан самарасиздир; Панел узунлигини сақлаган ҳолда бўйлама балканинг узунлигини қисқартириш учун асосий фермага (4.13-расм, а) қўшимча элементлар — шпренгеллар киритилади (4.13-расм, б). Натижада ҳосил бўлган ферма шпренгелли ферма деб аталади (4.13-расм, в).



4.13- расм

Асосий ферма барча юкни ўзига қабул қиласи, шпренгеллар эса факат ўзига қўйилган юкни қабул қиласи.

Шпренгеллар бир ва икки поғонали бўлиши мумкин (4.14- расм, а). Бир ва икки поғонали шпренгелларнинг ҳисоблаш схемалари 4.14- расм, б- да тасвирланган.



4.14- расм

Шпренгелли фермаларнинг элементлари тўрт тоифага бўлинади:

- 1) фақат асосий фермага тегишли бўлган элементлар. Бу элементлардаги зўриқишилар асосий ферма ҳисобидан топилади; ферма таркибига шпренгелларнинг қўшилиши мазкур элементлардаги зўриқишиларга таъсир этмайди;
- 2) фақат шпренгелларга, яъни қўшимча фермачаларга тегишли бўлган элементлар. Бу элементлардаги зўриқишилар шпренгелларнинг алоҳида ҳисобидан топилади;
- 3) бир вақтнинг ўзида ҳам асосий фермага, ҳам шпренгелга тегишли бўлган элементлар. Бундай элементдаги зўриқиш икки хил зўриқишининг йиғиндиси сифатида аниқланади; булардан бири асосий ферма элементининг зўриқиши; иккинчиси эса шпренгел элементининг зўриқишидир;
- 4) асосий ферманинг шундай элементларирики, қўзгалувчан юкнинг ҳаракат сатҳига кўра, яъни юкнинг остики ёки устки тасмадан ҳаракатланишига қараб элементдаги зўриқишининг таъсир чизиқлари турлича бўлади.

1- мисол. 3 — 4, 3 — 4' ва 5 — 4' стерженлардаги зўриқишиларнинг таъсир чизиқлари қурилсин (4.15- расм).

Ишни 3 — 4 стерженидаги зўриқишининг таъсир чизигини чизишдан бошлайлик. Аввалам бор бу стержень биринчи тоифага кирадиган, яъни

фақат асосий фермага оид бўлган стерженdir. Шунинг учун бу масалани ҳал этишда шпренгелларни олиб ташлаб, асосий ферманинг ўзини қолдирамиз (4.15- расм, б) ва ундан 3- тугунни кесиб олиб, мувозанат тенгламаларини тузамиз, натижада 4.15- расм, в да тасвиirlанган таъсир нуқтаси эга бўламиз.

3 — 4' стержень иккинчи тоифага оид стержень эканлигини эътиборга олиб, шпренгелни асосий фермадан ажратиб оламиз ҳамда унга мустақил ферма сифатида ёндашамиз (4.15- расм, г). Ҳаракатланувчи бирлик куч $P=1$ 3' — тугунга қўйилган деб фараз этиб, 3- тугун учун мувозанат тенгламасини тузамиз:

$$\sum Y = \frac{1}{2} + N_{34'} \sin \alpha = 0;$$

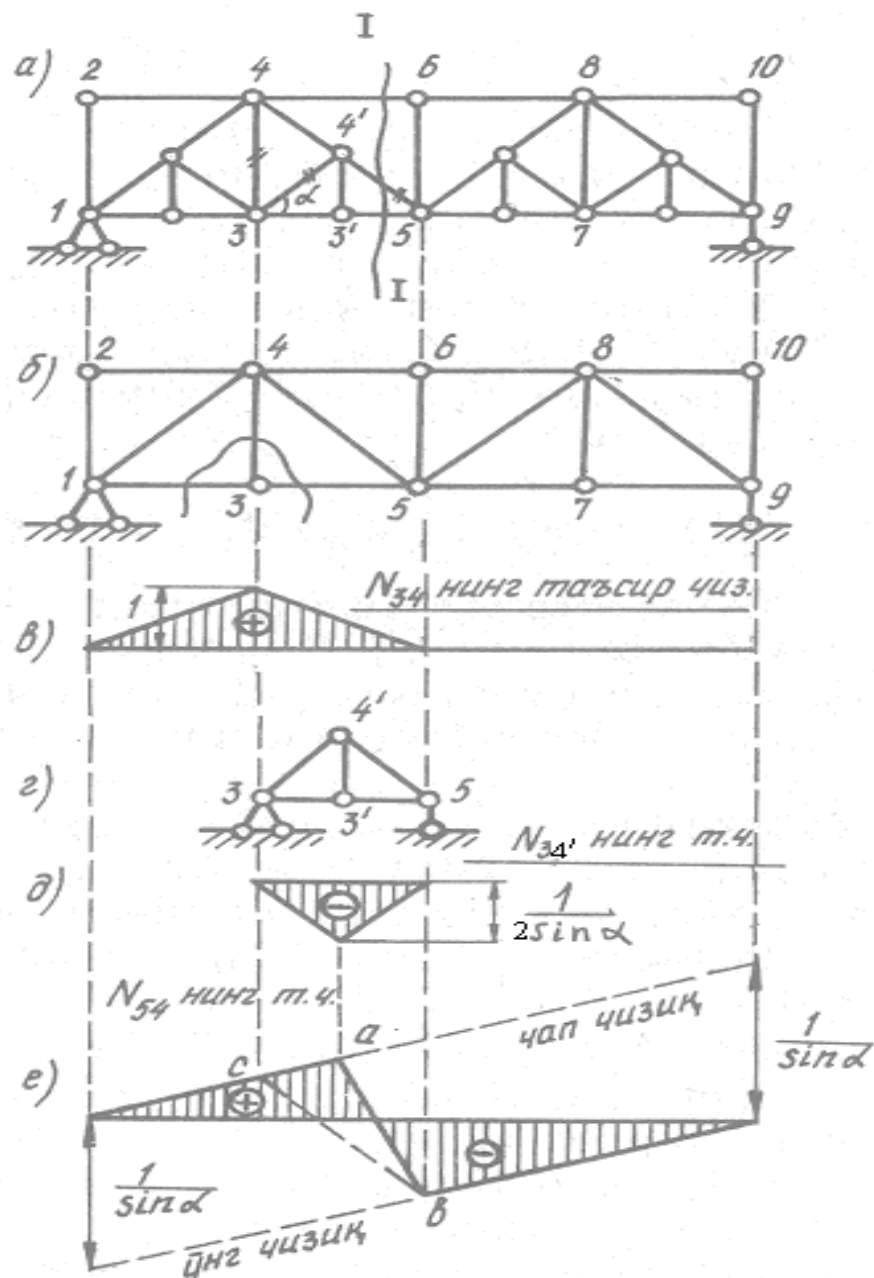
бундан

$$N_{34'} = -\frac{1}{2 \sin \alpha}.$$

Бирлик куч таянчларга қўйилса, 3 — 4' стерженидаги зўриқиши нолга тенг бўлади. Буларга асосан 3 — 4' стерженидаги зўриқиши учун 4.15- расм, д да тасвиirlанган таъсир чизиғига эга бўламиз.

Учинчи тоифага оид бўлган 5 — 4' стерженидаги зўриқишини аниқлаш учун фермани 1— 1 кесим бўйлаб қирқамиз ва унинг чап қисми учун мувозанат тенгламасини тузамиз:

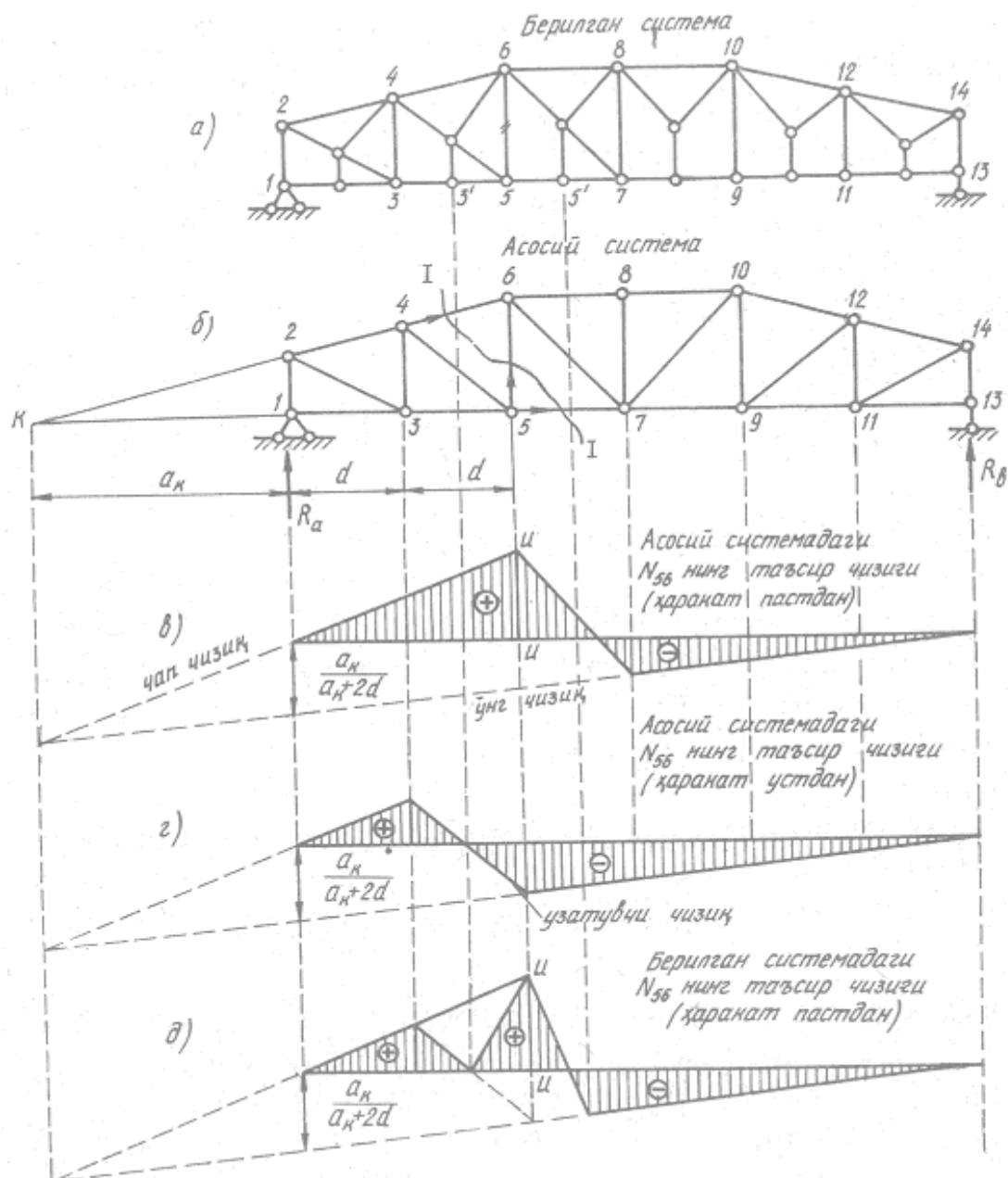
$$\sum Y = R_a + N_{54} \sin \alpha = 0; \text{ бундан } N_{54} = -\frac{R_a}{\sin \alpha}$$



4.15- расм

Бу қийматдан фойдаланиб, ўнг тўғри чизиқни ўтказамиз (4.15- расм, е). N_{34} нинг момент нуктаси чексизликда бўлганлиги сабабли чап тўғри чизиқни ўнг тўғри чизиқка параллел қилиб ўтказамиз. Узатувчи чизик ab ни ўтказиш учун 5 ва 4' — тугулларини ўнг ва чап чизиқларга проекцияймиз. Агар шпренгел бўлмаганида, узатувчи чизик BC бўйича ўтар эди. Бу ерда abc учбурчак шпренгелнинг асосий элементга таъсирини ифодалайди.

2-мисол. Таркибида икки пононали шпренгеллар мавжуд бўлган ферманинг 5 — 6 устуни учун таъсир чизиқлари қурилсин (4.16- расм, а).



4.16-расм

Ферманинг бу устуни стерженларнинг тўртинчи тоифасига киради, яъни устун асосий фермага тегишли элемент бўлиб, унинг таъсир чизиклари бирлик куч қайси тасмадан ҳаракатланишига қараб турлича бўлади.

Берилган системадаги шпренгелларни ташлаб юбориш йўли билан асосий системани ҳосил қиласиз (4.16- расм, б). Асосий системанинг 5 — 6 стержени учун таъсир чизикларини чизамиз. Бунда юкнинг устки ва остки тасмалар бўйича ҳаракати кўриб чиқилади.

Фермани 1 — 1 кесим бўйлаб қирқамиз, бирлик куч кесимдан ўнг томонда ҳаракат қилади, деб фараз этиб, чап қисм учун К нуқтага нисбатан моментлар тенгламасини тузамиш:

$$\sum M_k = -R_a a_k - N_{56} \cdot (a_k + 2d) = 0 ,$$

бундан

$$N_{56} = -\frac{R_a \cdot a_k}{a_k + 2d} .$$

Бу қийматга асосан ўнг тўғри чизиқни ўтказамиш. Момент нуқтасидан фойдаланиб, чап тўғри чизик ўтказилади. Бирлик куч пастки тасмада ҳаракатланса, узатувчи чизиқни ўтказиш учун чап ва ўнг тўғри чизиқларга 5 ва 7 тугунлар проекцияланади (4.16- расм, в). Юк юқори тасмада ҳаракатланса, узатувчи чизиқни ўтказиш учун 4 ва 6 тугунлар проекцияланади (4.16- расм, г).

Ҳар иккала таъсир чизигидан кўриниб турибдики, юк учинчи тугундан чапда ва еттинчи тугундан ўнгда ҳаракатланса, зўриқишининг қиймати ҳаракат сатҳига боғлиқ бўлмайди.

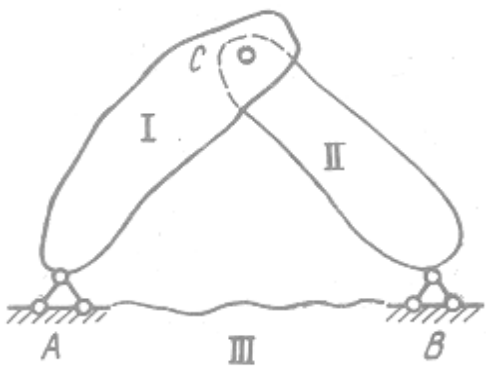
Юк 3' ва 5' тугунларга қўйилса (4.16- расм, а), унинг таъсири икки поғонали шпренгеллар орқали юқори тугунларга узатилади; гўёки ҳаракат устки тасма бўйлаб содир бўлгандек туюлади. Шу сабабга кўра, бундай ҳолда N_{56} нинг ординаталари 4.15- расм, г дан олинади. Унинг изланаётган таъсир чизигини қуриш учун аниқланган ординаталар етарли. Мазкур таъсир чизиги 4.16- расм, д да ўз аксини топган.

5- БОБ. УЧ ШАРНИРЛИ АРКАЛАР ВА РАМАЛАР

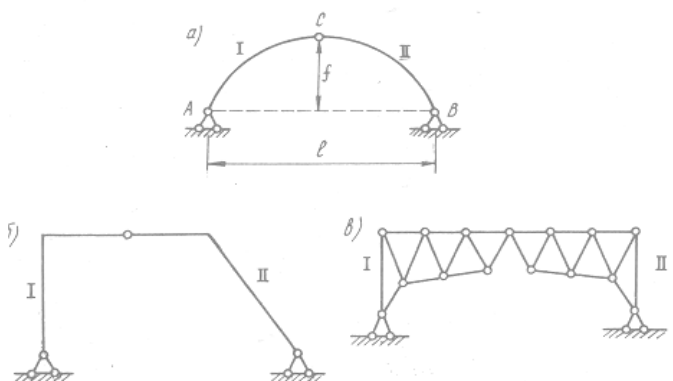
5.1. Уч шарнирли системалар

Уч дискни уч шарнир ёрдамида бириктириш туфайли ҳосил бўлган система уч шарнирли система деб аталади (5.1- расм). Бунда учинчи диск сифатида ер қабул қилинади. Уч диск бир ўқ устида ётмаган уч шарнир (A, B, C) ёрдамида бирикса геометрик ўзгармас система ҳосил бўлиши бизга аввалдан маълум.

Агар I ва II дисклар эгри чизиқли стерженлардан иборат бўлса, бундай система уч шарнирли арка деб аталади (5.2- расм, а), агар I ва II диск синик тўғри чизиқли стерженлардан ташкил топган бўлса, уч шарнирли рама деб аталади (5.2- расм, б); агар I ва II диск ферма бўлса, у ҳолда система уч шарнирли аркасимон ферма деб аталади (5.2- расм, в).



5.1- расм



5.2- расм

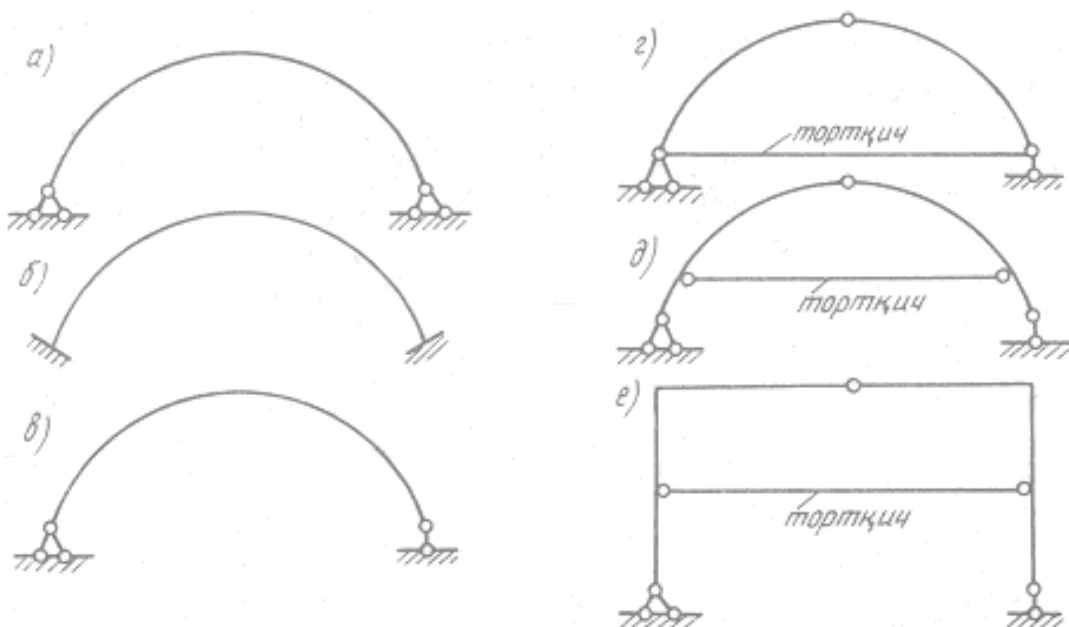
Уч шарнирли системалар вертикал ўқка нисбатан симметрик ёки носимметрик бўлиши мумкин. Симметрик системада С шарнири симметрия ўқи устида жойлашади, А ва В таянч шарнирлари бир сатхда ётади. Носимметрик системаларда таянчлар турли сатхда жойлашиши мумкин.

Уч шарнирли система таянчларида вужуда келадиган горизонтал босим ва унга қарши реакция керки (распор) номи билан юритилади; системанинг ўзи эса керкили система деб аталади. Аркалар керки кучининг мавжудлиги билан балкалардан фарқ қиласи.

Арканинг гумбаздан фарқи шундаки, арканинг кўндаланг кесими анча кичик бўлади, шунинг учун ҳам у стерженли системалар гуруҳига киради. Гумбаз эса қобиқлар гуруҳига қўшилади. Қурилишда уч шарнирли, икки шарнирли (5.3- расм, а) ва шарнирсиз (5.3- расм, б) аркалар қўлланилади. Аркаларда керки кучининг мавжудлиги сабабли уларнинг таянчлари шарнирли ёки шарнирсиз қўзғалмас таянч кўринишида ишланади.

Таянчлардан бири шарнирли қўзғалувчан бўлса, у арка эмас, эгри ўқли балка деб аталади (5.3- расм, в). Бинокорликда баъзан уч шарнирли аркаларнинг, бошқача хили—тортқичли аркалар ҳам учраб туради (5.3-расм, г).

Тортқичлар шароитга қараб таянчлардан юқорироқ ўрнатилиши ҳам мумкин (5.3- расм, д). Қурилишда тортқичли рамалар ҳам кенг тарқалган (5.3- расм, е). Амалда аркаларнинг қайси туридан фойдаланиш иншоотнинг конкрет иш шароитига қараб ҳал этилади.



5.3- расм

Уч шарнирли ҳамда тортқичли аркалар ва рамалар статик аниқ, икки шарнирли ва шарнирсиз аркалар статик ноаниқ системаларга киради. Бу бобда статик аниқ аркалар ва рамалар кўриб ўтилади. Статик ноаниқ аркалар билан 8- бобда танишамиз.

Аркаларнинг асосий белгилари уларнинг оралиқ узунлиги l ва арка баландлиги f дир. Ўртадаги С шарнири қулф деб аталади.

Шарнирсиз аркалар Ўрта Осиё бинокорлигидан қадим замонлардан буён кўлланилиб келинади. Масжид, мадрасалар, хашаматли сарой ва макбаралар, ҳаммом, сардоба ва қўприкларда равоқ ва гумбаз кўринишида арка элементларини кўплаб учратамиз. 1502 йили Шайбонийхон томонидан Зарафшон дарёсига қурилган сув айирғич қўпригининг айrim равоқлари ҳозирга қадар сақланиб қолган.

5.2. Уч шарнирли аркаларнинг таянч реакцияларини аниқлаш

Иҳтиёрий кучлар қўйилган уч шарнирли арканинг (5.4- расм) таянч реакцияларини аниқлаш талаб этилади.

Маълумки, уч шарнирли аркалар статик аниқ бўлади. Шу боисдан уларнинг таянч реакцияларини аниқлашда статиканинг мувозанат тенгламалари кифоя этади. Уч шарнирли аркаларда ташқи кучлар таъсирида иккита горизонтал (H_a , H_b) ва иккита вертикал (V_a , V_b) реакция кучлари вужудга келади. Бу номаълум таянч реакциялари қўйидаги тенгламалардан аниқланиши мумкин:

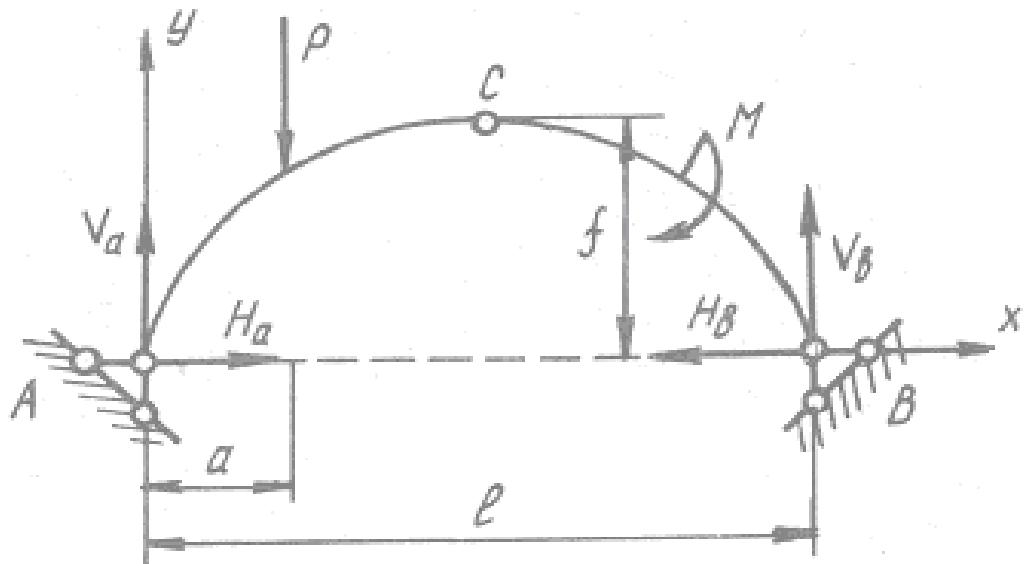
$$\sum M_a = 0; \sum M_b = 0; \sum M_c^{(van)} = 0; \sum X = 0.$$

В таянчидаги вертикал реакция кучи V_b ни аниқлаш учун А шарнирига нисбатан моментлар йифиндисини тузамиз.

$$\sum M_a = P \cdot a + M - V_b l = 0.$$

Бундан

$$V_b = \frac{P \cdot a + M}{l}.$$



5.4-расм

Мазкур формуланинг сурати А нүктасига нисбатан барча ташки кучлар моментлари йиғиндиси $\sum M_A^{max}$ ни ифодалайды. Шунга кўра юқоридаги формулани қўйидаги кўринишда ёза оламиз:

$$V_b = \frac{\sum M_a^{max}}{l}$$

А таянчидаги реакциянинг вертикал ташкил этувчисини ҳам шу йўсинда топа оламиз:

$$V_a = \frac{\sum M_b^{max}}{l}$$

Горизонтал реакция кучи H_b ни аниқлаш учун С шарнирига нисбатан ўнг томонда ётган кучлардан момент оламиз:

$$\sum M_c^{ong} = M - V_b \frac{l}{2} + H_b f = 0,$$

бундан

$$H_b = \frac{V_b \frac{l}{2} - M}{f} \quad \text{ёки} \quad H_b = \frac{\sum M_c^{0(ong)}}{f}.$$

Бу ерда ноль индекси узунлиги ва юкланиши арка билан бир хил бўлган оддий балкадаги момент эканлигини билдиради.

А таянчидаги горизонтал реакция куч H_a икки тенгламанинг биридан, яъни $\sum M_c^{chap} = 0$ ёки $\sum X = 0$ тенгламаларидан аниқланиши мумкин.

Проекция тенгламасидан фойдаланамиз:

$$\sum X = H_a - H_b = 0; \text{ бундан } H_a = H_b = H.$$

Оҳирги ифода шуни қўрсатадики, агар аркага вертикал кучлар қўйилган бўлса, горизонтал реакциялар ўзаро тенг бўлар экан. Уч шарнирли аркалар учун баён этилган қоидалар тўлалигича уч шарнирли рамалар учун ҳам тааллуқлидир.

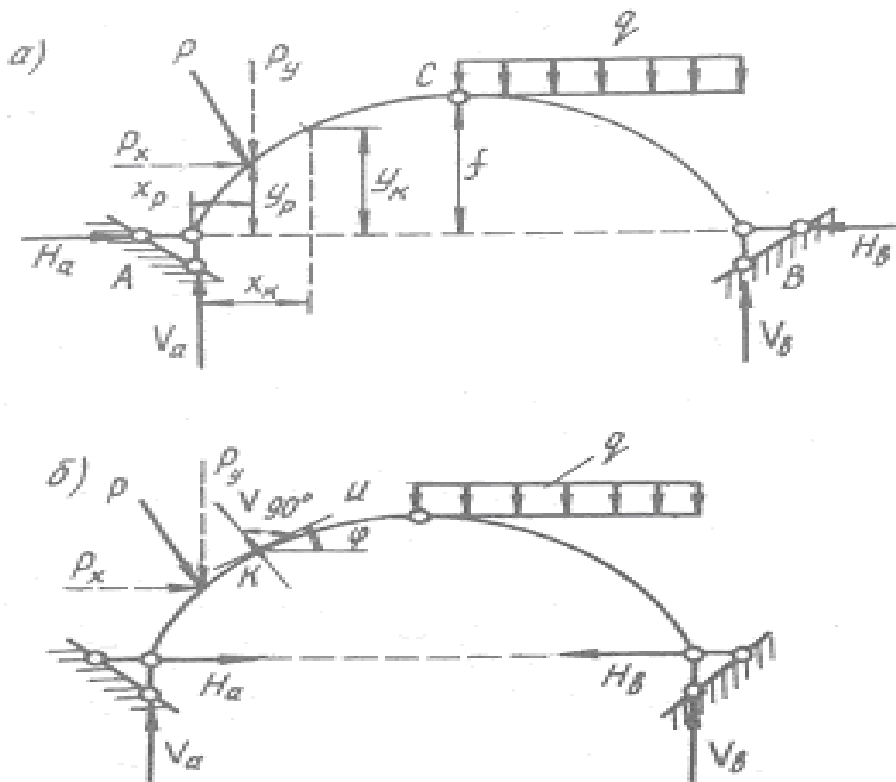
5.3. Уч шарнирли аркаларни аналитик усулда хисоблаш

Хисоблашдан мақсад бу ерда ҳам бошқа конструкциялардаги сингари ички кучларни аниқлашдан иборатdir. Ички кучлар деганда, арканинг кўндаланг кесимларида ташқи кучлар таъсирида ҳосил бўладиган эгувчи момент M , кўндаланг куч Q ва бўйлама куч N тушунилади.

Ички кучларни аниқлашда ишора қоидаси балкадаги қоидага ўхшашdir, яъни куч арканинг эгрилигини ошиrsa — ишора манфий, эгрилигини камайтиrsa — мусбат, кесимга нисбатан куч соат стрелкаси бўйича айланса — мусбат, тескари йўналишда — манфий олинади.

Бўйлама кучлар ишораси бошқача: куч стержени сиқса — мусбат, чўзса — манфий олинади.

Уч шарнирли арканинг ихтиёрий K кесимида вужудга келадиган эгувчи момент M_k ни аниқлаймиз (5.5- расм, *a*). Бунинг учун аркани шу кесим бўйича ҳаёлан қирқамиз ва кесимнинг чап ёки ўнг томони учун моментлар ийғиндисини ёзамиз:



5.5- расм

$$M_k = V_a x_k - H_a y_k - P_y (x_k - x_p) - P x (y_k - y_p). \quad (5.1)$$

Бу ерда x_k ва y_k — арканинг K кесими координаталари;

P_x ва P_y — ташқи қуч P нинг горизонтал ва вертикал проекциялари;

x_p ва y_p — куч қўйилган нуқтанинг координаталари.

Агар аркага қўйилган куч оғма эмас, тик бўлса, у ҳолда P кучининг горизонтал проекцияси ноль, $P_y = P$ ва $H_a = H_b = H$ бўлади.

(5.1)- ифода эса қуйидаги кўринишни олади:

$$M_k = V_a x_k - P(x_k - x_p) - H y_k \quad (5.2)$$

Бу формуладаги $V_a x_k - P(x_k - x_p)$ ифода, узунлиги ва юкланиши жиҳатидан шу арка билан бир хил бўлган оддий балканинг эгувчи моменти, M_k^0 ни англатади. Буни эътиборга олсак, (5.2) формула қуйидаги содда кўринишга келади:

$$M_k = M_k^0 - H y_k. \quad (5.3)$$

Күндаланг ва бўйлама кучларни аниқлаш учун арканинг К кесимига ўринма (u) ва шу ўринмага тик бўлган чизик (v) ўтказамиз (5.5- расм, б). Кўндаланг кучларни аниқлаш учун v ўқига, бўйлама кучларни аниқлаш учун u ўқига нисбатан кучлар проекцияларининг йиғиндисини оламиз:

$$Q_k = V_a \cos \varphi - H_a \sin \varphi - P_y \cos \varphi - P_x \sin \varphi;$$

$$N_k = V_a \sin \varphi + H_a \cos \varphi - P_y \sin \varphi + P_x \cos \varphi. \quad (5.4)$$

Бу ерда φ — ўринма билан горизонтал чизик орасидаги бурчак. Агар аркага қўйилган кучлар тик бўлса, у ҳолда (5.4) формула қуйидаги кўринишни олади:

$$Q_k = (V_a - P) \cos \varphi - H \sin \varphi;$$

$$N_k = (V_a - P) \sin \varphi + H \cos \varphi. \quad (5.5)$$

Бу ерда $|V_a - P|$ аркага тенг кучли бўлган оддий балкадаги кўндаланг куч Q_k^0 дир. Буни эътиборга олсак, (5.5) ифода қуйидаги кўринишга келади:

$$Q_k = Q_k^0 \cos \varphi - H \sin \varphi;$$

$$N_k = Q_k^0 \sin \varphi + H \cos \varphi.$$

(5.6)

(5.3) ва (5.6) формулалардан фойдаланиб, арканинг бир қанча кесимлари учун эгувчи момент, кўндаланг ва бўйлама кучлар аниқланади ҳамда M , Q ва N эпюралар қурилади.

Арка моменти балка моментларидан кичик бўлиши (5.3) формуладан яққол кўриниб турибди.

5.4. Уч шарнирли арканинг мақбул ўқи

Агар аркага вертикал йўналишда ёйик куч қўйилган бўлса, арканинг ўқини шундай олиш мумкинки, бунда арканинг барча кесимларида эгувчи момент нолга тенг бўлади. Эгувчи моментлари нолга тенг бўлган арка ўқи и

мәқбұл (рационал) ўқи деб аталади. Арканинг ўзи эса мәқбұл ўқлиарка деб юритилади (5.6- расм).

Арканинг мақбул ўқи тенгламасини тузиш учун (5.3) формуладан фойдаланамиз. Ушбу формуладаги арка моментини нолга тенглаймиз:

$$M_x^0 - H y = 0. \quad (a)$$

Шаклдан

$$M_x^0 = \frac{ql}{2}x - \frac{qx^2}{2} = \frac{qx}{2}(l-x).$$

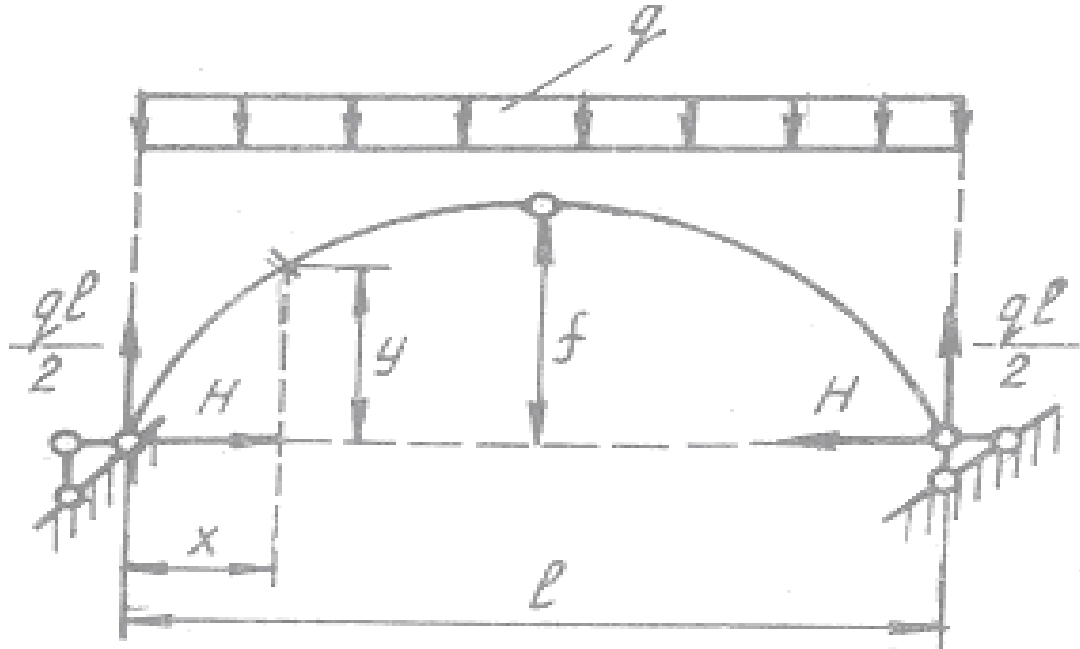
$$H = \frac{M_c^0}{f} = \frac{ql}{2}(l - \frac{l}{2}) \cdot \frac{1}{f} = \frac{ql^2}{8f}. \quad (a)$$

Ифода (a) дан

$$y = M_x^0 / H \quad (\hat{a})$$

келиб чиқади. (б) да аниқланган қийматларни (в) га қўямиз:

$$y = \frac{(qx/2)(l-x) \cdot 8f}{ql^2} = \frac{4f}{l^2} \cdot (l-x)x.$$



5.6- расм

Шу тенглама ёрдамида чизилган парабола арканинг мақбул ўқи бўлади, мақбул ўқли аркада эгувчи момент нолга тенгдир.

5.5. Уч шарнирли аркаларни қўзғалувчи юк таъсирига ҳисоблаш

Балка ва фермалар ҳисобида кўриб ўтганимиздек, иншоотларни қўзғалувчи юклар таъсирига ҳисоблаш учун таъсир чизиқлари деб аталувчи график чизиб олинади. Таъсир чизиқлари ҳар бир таянч реакцияси ва ҳар бир ички куч (M, Q, N) учун алоҳида равишда қурилади.

Таянч реакцияларининг таъсир чизиқлари

Чап ва ўнг таянч шарнирларига нисбатан моментлар тенгламасини тузамиз (5.7-расм, а):

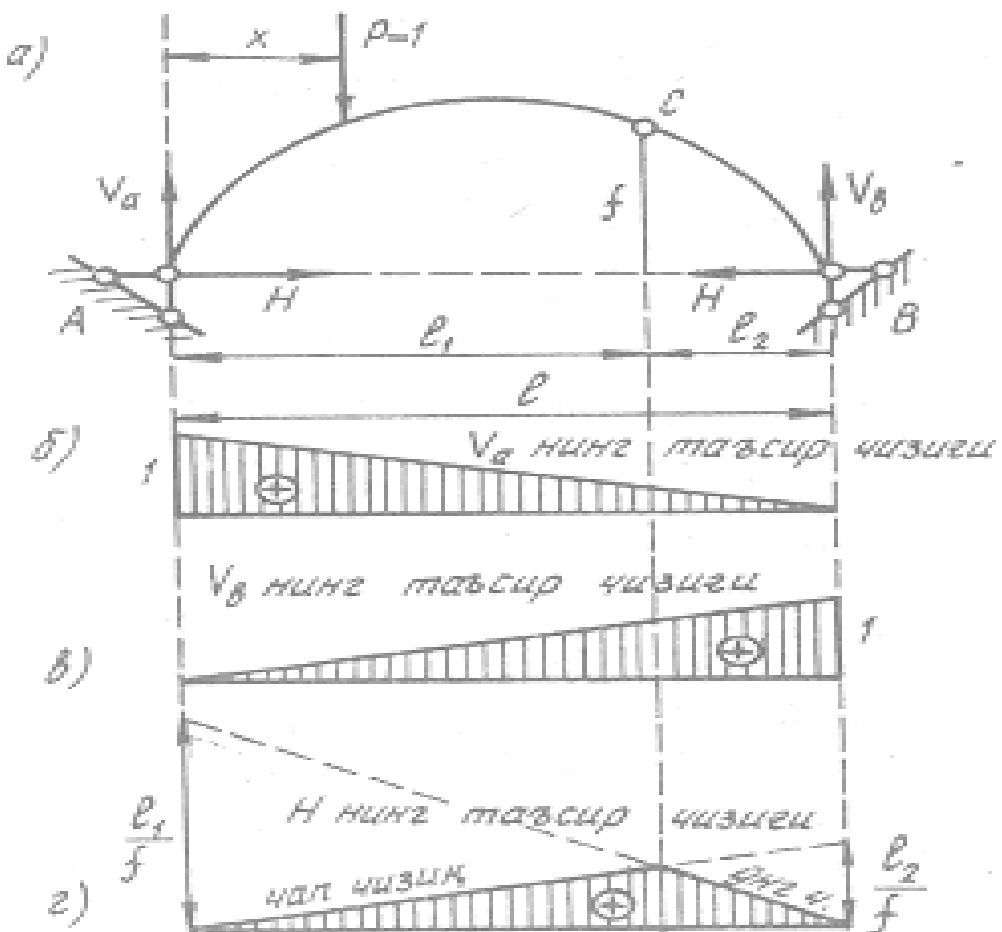
$$\sum M_b = V_a \cdot l - P(l - x) = 0;$$

$$\sum M_a = -V_b l + P \cdot x = 0.$$

Бу тенгламалардан V_a ва V_b топилади.

Тузилган ифодалар балка таянч реакцияларининг тенгламасидан фарқ қилмайди. Демак, арка реакцияларининг таъсир чизиқлари ҳам балканинг таъсир чизиқларидан фарқ қилмаслиги керак (5.7- расм, б, в).

Маълумки, керки кучи $H = M_c^0 / f$ тенгламаси ёрдамида аниқланади. Бундан H нинг таъсир чизиги балка моменти M_c^0 нинг таъсир чизигидан l/f маротаба кичик эканлиги кўриниб турибди. Шунинг учун H нинг таъсир чизигини қуришда А таянчи остига l_1 нинг ўрнига l_1/f ни ўлчаб қўямиз. Бу микдорни В таянч остидаги ноль билан туташтиrsак, ўнг тўғри чизик келиб чиқади. Чап тўғри чизиқни ўтказиш учун С шарнирни ўнг тўғри чизиқка проекциялаймиз, топилган нуқтани А таянчи остидаги ноль билан туташтирамиз. Штрихланган юза керки кучи — горизонтал реакция H нинг, таъсир чизигидир (5.7- расм, г). Агар $l_1 = l_2 = l/2$ бўлса, С шарнири остидаги ордината $l/4f$ бўлади.



5.7- расм

Эгувчи момент M нинг таъсир чизиги

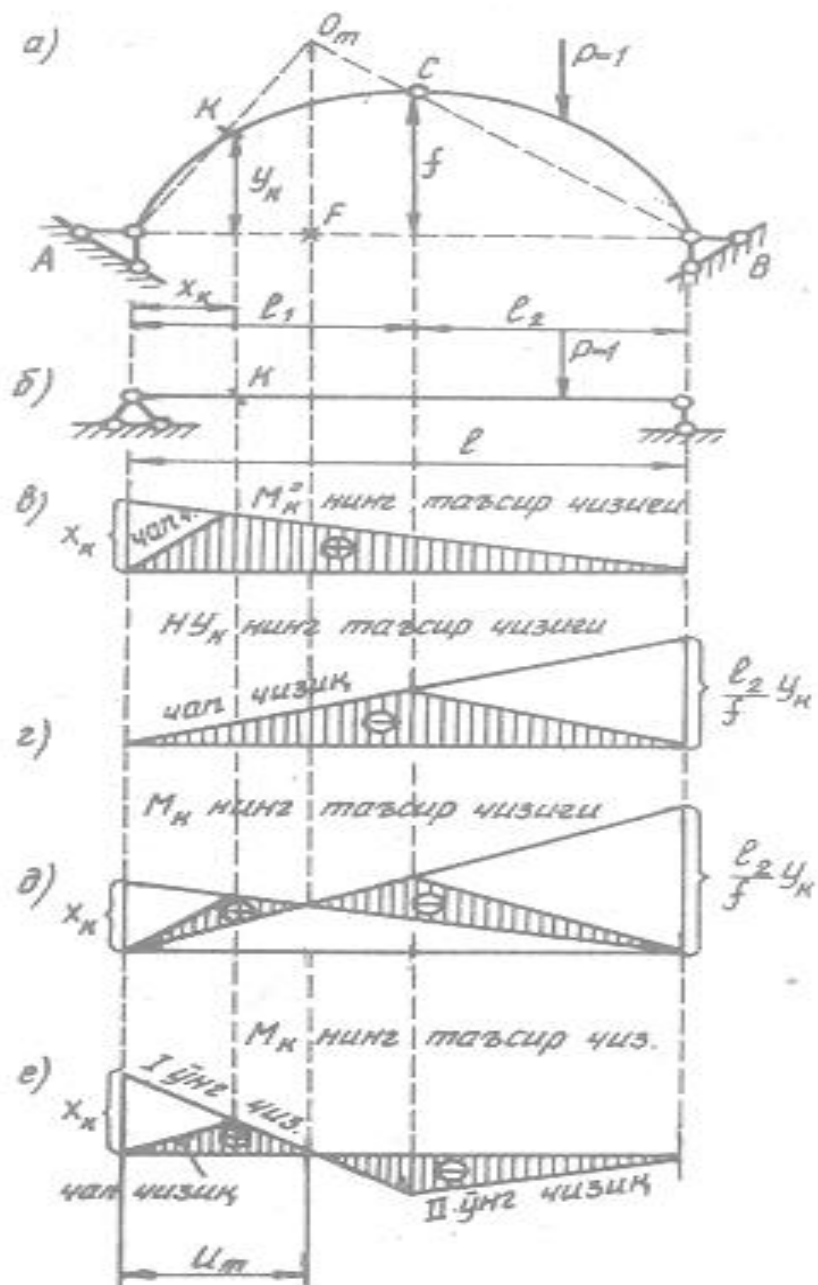
Арканинг исталган кесимидағи эгувчи момент $M_k = M_k^0 - H y_k$ формуласи ёрдамида аниқланишини юқорида күриб ўтдик. Арканинг иҳтиёрий К кесимидағи эгувчи момент M_k нинг таъсир чизигини қуришда ҳам шу формуладан фойдаланамиз (5.8- расм, а).

Формулага қараганда, арканинг таъсир чизиги оддий балканинг (5.8- расм, б) К кесимидағи эгувчи момент M_k^0 нинг таъсир чизиги билан y_k марта катталаштирилган керки кучи H нинг таъсир чизиқлари орасидаги фарқка тенг бўлади. M_k^0 ва $H y_k$ нинг таъсир чизиқлари 5.8- расм, в.2 — да тасвирланган. Ҳар иккала шаклни устма-уст жойлаштириш йўли билан

изланаётган таъсир чизигини ҳосил қиласиз (5.8- расм, *д*). Ҳосил бўлган таъсир чизигини тўғри ўқка жойлаштиrsa ҳам бўлади (5.8-, расм, *е*).

5.8- расм, *д* — да тасвиirlанган M_k нинг таъсир чизигида M_k нинг ўнг чизиги билан H_{Y_k} нинг чап чизиги ноль нуқтасида кесишади. Ушбу нуқтанинг ҳолатини график усулда аниқласа бўлади. Бунинг учун ВС ва АК чизикларининг кесишув нуқтаси 0 ни аниқлаймиз (5.8- расм, *а*). Таъсир чизигининг 0 нуқтаси ана шу нуқта остида ётади.

M_k нинг таъсир чизигини бевосита ноль нуқтаси орқали қурса ҳам бўлади. Бунинг учун иҳтиёрий ўқка X_k масофаси ўлчаб қўйилади (5.8- расм, *е*). O_m нуқтасини ўқка проекциялаб, ноль (О) нуқтаси аниқланади. X_k нинг учи 0 билан бирлаштирилади ва С шарнирининг проекцияси билан учрашгунча давом эттирилади. Ўтказилган чизик I ўнг чизик деб аталади. II ўнг чизик шаклда кўрсатилгандек ўтказилади. Чап чизик одатдагидек ўтказилади, яъни К кесимининг проекцияси билан А таянчи остидаги ноль нуқта бирлаштирилади. Штрихланган юза M_k нинг таъсир чизиги бўлади.



5.8- расм

Ноль нуқтасининг абсциссаси u_m AFO_m ва BFO_m учурчакларидан топилади:

$$FO_m = \frac{y_k}{x_k} u_m = \frac{f}{l_2} (l - u);$$

бундан $u_m = \frac{f l x_k}{y_k l_2 + f x_k}$ келиб чиқади.

Кўндаланг куч Q_k нинг таъсир чизиги

Уч шарнирли арканинг К кесимидағи кўндаланг куч Q_k нинг таъсир чизигини қуришда қуидаги формуладан фойдаланамиз (5.9- расм, а):

$$Q_k = Q_k^0 \cos \varphi_k - H \sin \varphi_k;$$

бу ерда Q_k^0 оддий балканинг К кесимидағи кўндаланг куч (5.9- расм, б); φ_k — К кесимиға ўтказилган уринма билан горизонтал ўқ орасидаги бурчак.

Арка бўйлаб бирлик куч ҳаракат қилганда, Q_k^0 билан H ўзгариб боради, $\cos \varphi_k$ билан $\sin \varphi_k$ эса ўзгаришсиз қолади. Бунга қўра Q_k нинг таъсир чизиги $Q_k^0 \cos \varphi_k$ билан $H \sin \varphi_k$ нинг таъсир чизиклари алгебраик йифиндиси сифатида курса бўлади. Ана шу йифинди 5.9- расм, в-да тасвирланган, яъни икки хил таъсир чизиги устма-уст жойлаштирилган. Микдорлари тенг, ишораси қарама-қарши бўлган ординаталар қисқариб кетган, қолганлари штрихланган. Штрихланган юза Q_k нинг таъсир чизигидир.

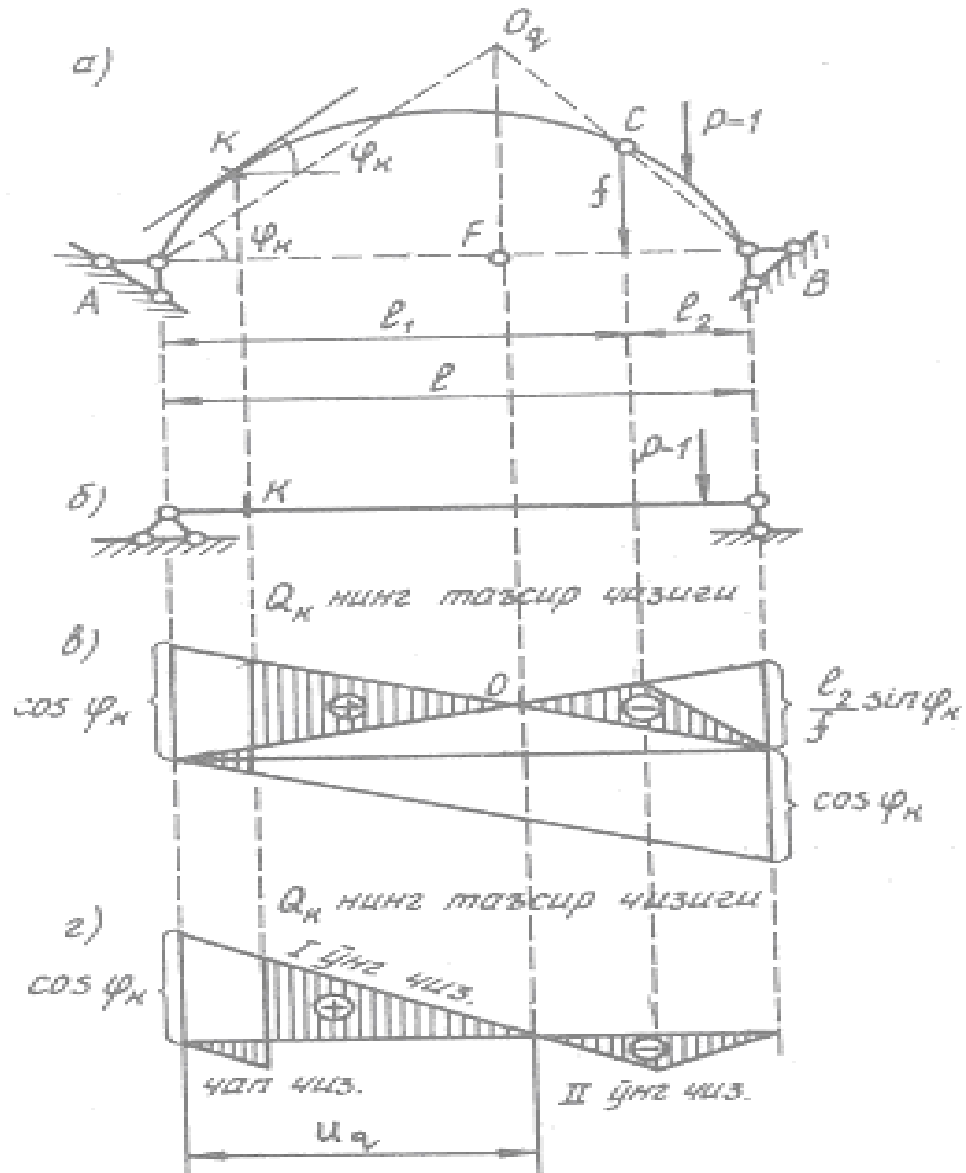
Агар ҳосил бўлган шаклни горизонтал ўқ устига жойлаштирсак, Q_k нинг таъсир чизиги 5.9- расм, г да тасвирланган кўринишни олади.

Мазкур таъсир чизигини ноль нуқтаси усулида, яъни график усулда курса ҳам бўлади. Бунинг учун аввал ноль нуқтанинг ҳолати аниқлаб олинади, изланаётган нуқта (O_q) икки чизиқнинг кесишув нуқтаси тариқасида топилади. Улардан бири ВС чизиги, иккинчиси К кесимидан ўтган уринмага А шарниридан ўтказилган параллел чизиқдир (59- расм, а). Шу нуқтаннинг горизонтал ўққа проекцияси (0) ноль нуқта ҳисобланади.

Иҳтиёрий горизонтал ўққа $\cos \varphi_k$ масофани ўлчаб қўямиз (5.9- расм, г). Масофанинг учини ноль нуқта билан туташтирамиз ва уни С шарнири проекцияси билан учрашгунча давом эттирамиз. Ўтказилган кесма I ўнг чизиқ бўлади. II ўнг чизиқ шаклда кўрсатилгандек ўтказилади. Чап чизиқ ўнг I чизиқка параллел равища ўтказилиб, К кесимининг проекциясига қадар давом этади. Штрихланган юза Q_k нинг таъсир чизиги ҳисобланади.

Ноль нүктанинг абсциссаси AFO_q ва BFO_q учурчаклари орқали

$$U_q = \frac{f l}{f + l_2 \operatorname{tg} \varphi_k}$$
 формуладан топилади.



5.9- расм

Бўйлама куч N нинг таъсир чизиги

Уч шарнирли арканинг К кесимида бўйлама куч N_k нинг таъсир чизигини қуришда $N_k = Q_k \sin \varphi_k + H \cos \varphi_k$ формуласидан фойдаланамиз (5.10 - расм, а).

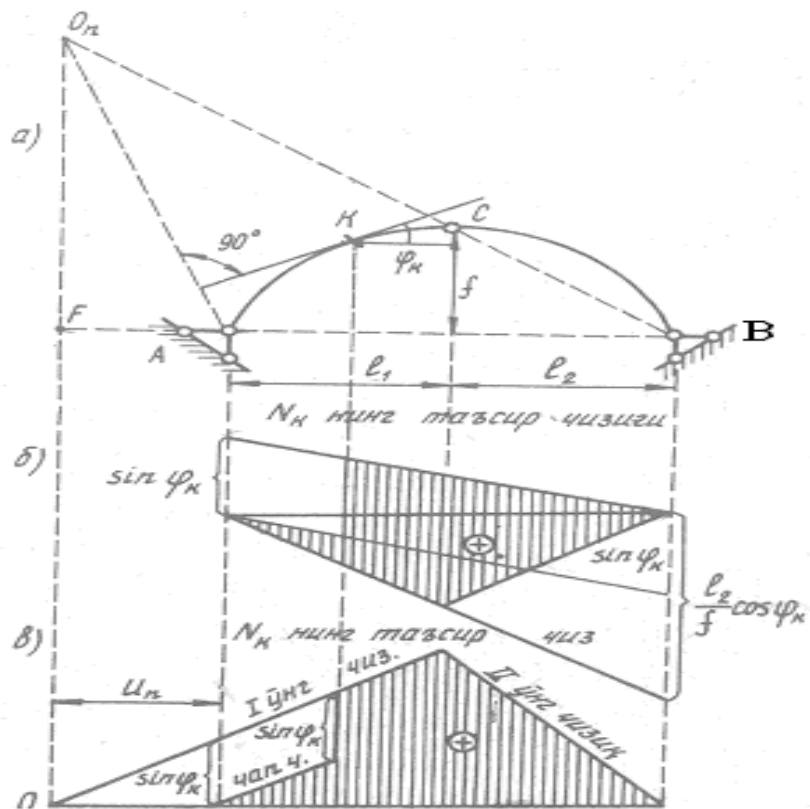
Формулага қараганда N_k нинг таъсир чизигини $Q_k^o \sin \varphi_k$ билан $H \cos \varphi_k$ таъсир чизикларининг йиғиндиси сифатида курса бўлади. Бу ишни амалга

ошириш учун аввал $Q_k^0 \sin \varphi_k$ нинг таъсир чизигини қурамиз. Сўнгра бунинг устига $H \cos \varphi_k$ нинг таъсир чизигини тескари равишда жойлаймиз (5.10-расм, б). Штрихланган юза N_k нинг таъсир чизиги бўлади.

Илгари кўриб ўтганимиздек, N_k нинг таъсир чизигини ҳам ноль нуқтаси усулида қуриш мумкин. Бунинг учун аввал O_n нуқтаси топиб олинади (5.10-расм, *a*). Бу нуқта ҳам иккита чизиқнинг кесишув нуқтасида ётади: чизиқлардан бири ВС кесмаси, иккинчиси эса К кесимидан ўтказилган уринмага тик бўлган AO_n чизигидир. Топилган O_n нуқтасини горизонтал ўқса проекциялаб, ноль (0) нуқтасини аниқлаймиз (5.10- расм, *b*). А таянч остига $\sin\varphi_k$ кесмасини ўлчаб қўямиз. Кесманинг юқори учини ноль нуқта билан бирлаштириб, С шарнирининг проекциясигача давом эттирамиз. Бу I ўнг чизиқ бўлади. Чап тўғри чизиқ I ўнг чизиқка параллел равишда ўтказилади. Штрихланган юза N_k нинг таъсир чизигидир.

Ноль нүқтасининг абсциссаси AFO_n ва BFO_n учбурчаклари орқали қуидаги формуладан топилади:

$$u_n = \frac{f l}{l_2 \operatorname{ctg} \varphi_k - f}.$$



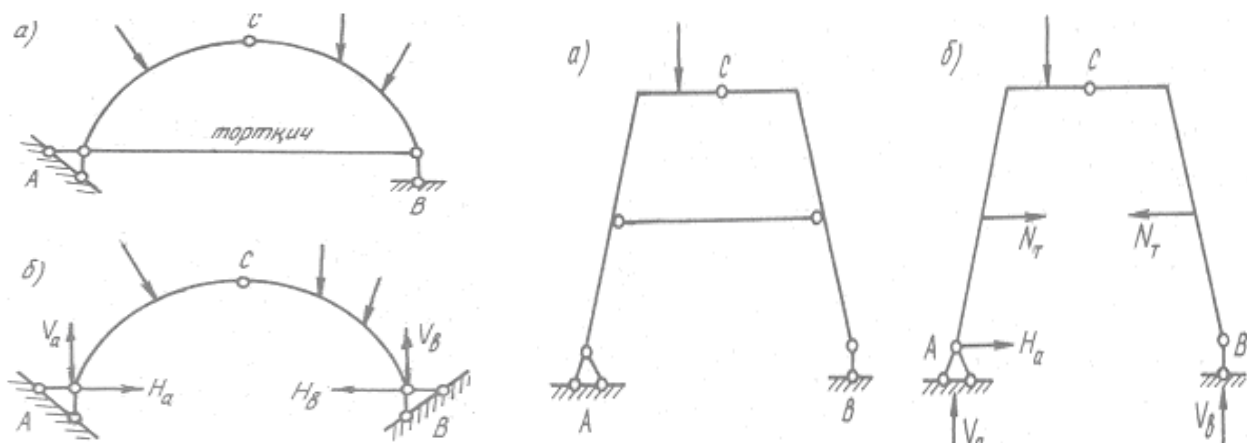
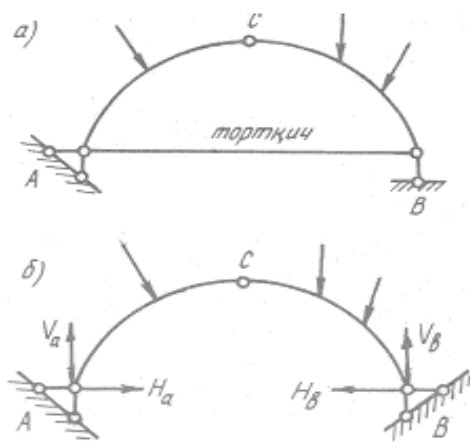
5.10- расм

5.6. Уч шарнирли тортқичли арка ва рамаларни ҳисоблаш.

Ядро моментлари

Уч шарнирли тортқичли арка ва рамаларнинг ҳисоби тортқичсиз системалар ҳисобидан бироз фарқ қиласи. Бу тафовутни 5.11- расм, *a* — да тасвирланган арка мисолида кўриб ўтамиш.

Арканинг В таянчи шарнирли қўзғалувчидир. Ўртадаги С шарнирнинг мавжудлигини инобатга олсақ, бу системага тортқичнинг зарурийлиги ўз-ўзидан аён бўлади. Чунки бу системанинг геометрик ўзгармаслигини айнан шу тортқич таъминлайди. Бошқача қилиб айтганда, В таянчи горизонтал йўналишда тортқич туфайли қўзғалмасдир. Демак, тортқични В таянчининг горизонтал стержени сифатида талқин этса ҳам бўлади. Бу эса хисоб жараёнида тортқичсиз арка (5.11- расм, *b*) учун берилган формулалардан bemalol фойдаланиш имконини беради. Тортқичдаги зўриқишиш горизонтал таянч реакцияси H_b га teng бўлганлиги сабабли тортқичли арка қўндаланг кесимларидаги зўриқишишлар тортқичсиз арка қўндаланг кесимларидаги зўриқишишларга teng бўлади. Шунингдек, тортқичли ва тортқичсиз аркаларнинг таъсир чизиқларида ҳам ҳеч қандай тафовут бўлмайди.



5.11- расм

5.12- расм

Баъзан уч шарнирли арка ва рамаларда тортқич таянчдан юқорироққа ўрнатилади (5.12- расм, *a*). Тортқични ташлаб юбориб, ўрнига қарама-қарши

йўналган кучлар N_T қўямиз (5.12- расм, δ). Кучларнинг қиймати тортқичдаги зўриқишига тенг бўлади. Бу ерда асосий масала ана шу зўриқишини аниқлашдан иборатдир. Раманинг таянч реакциялари статиканинг мувозанат тенгламаларидан топилади.

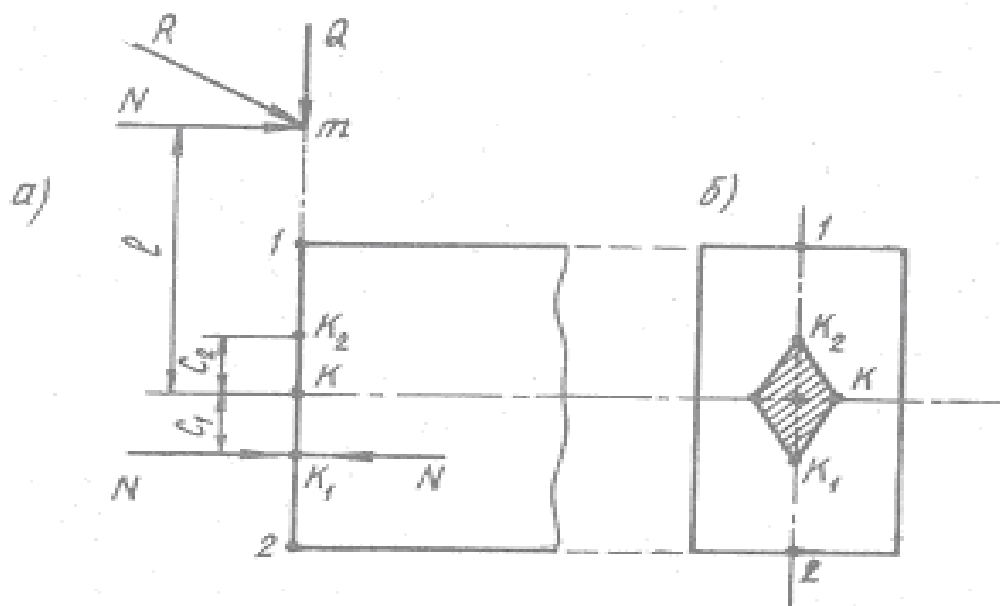
N_T нинг қиймати С шарнирига нисбатан чап ёки ўнг томонда жойлашган кучларнинг моментлари йифиндисини ифодаловчи тенгламалар $\sum M_c = 0$ ёки

$$\sum_{o'ng} M_c = 0 \text{ дан топилади.}$$

N_T аниқлангач, арка ёки раманинг исталган кесимидағи ички кучлар тортқичсиз система учун берилган формулалардан фойдаланиб топилади.

Ядро моментлари ва нормал кучланишлар. Материаллар қаршилиги фанидан маълумки, номарказий сиқилишда кесимнинг четки нуқталарида ҳосил бўладиган энг катта ва энг кичик нормал кучланишлар қўйидаги формуладан аниқланади:

$$\sigma = \frac{N}{F} + \frac{M}{W}.$$



5.13 –расм

Бу ерда F — элементнинг кўндаланг кесим юзаси; W — кўндаланг кесимнинг қаршилик моменти; N ва M — кесимга таъсир этувчи бўйлама куч ва эгувчи момент.

Арка кесимининг четки нуқталаридаги номаълум кучланишларни аниқлашда ядро моментларидан фойдалансак, масала анча осонлашади.

Арка кесимининг энг четки нуқталари 1 ва 2 да ҳосил бўладиган нормал кучланишларни аниқлайлик (5.13- расм, *a*). Арканинг чап қисмини ўнг қисмига бўлган таъсирини m нуқтага қўйилган teng таъсир этувчи R орқали белгилайлик. Тенг таъсир этувчи куч R ни бўйлама N ва кўндаланг Q ташкил этувчиларга ажратамиз.

1- нуқтадаги нормал кучланишни кесим ядроси орқали аниқлаймиз (5.13- расм, *b*). Маълумки, бўйлама сиқувчи куч — ядронинг ҳошиясига қўйилса, кесим қирғоқларида нормал кучланиш нолга teng бўлади. Бинобарин, бўйлама куч кесим ядросининг K_1 нуқтасига қўйилса, 1- нуқтадаги нормал кучланиш ноль бўлади.

Кесим ядросининг K_1 нуқтасига ўзаро teng, аммо қарама-қарши йўналган N кучини қўямиз. Бу кучлардан бири m нуқтасига қўйилган N кучи билан жуфт куч, яъни момент ҳосил қиласди:

$$M_{k1} = N(l + C_1)$$

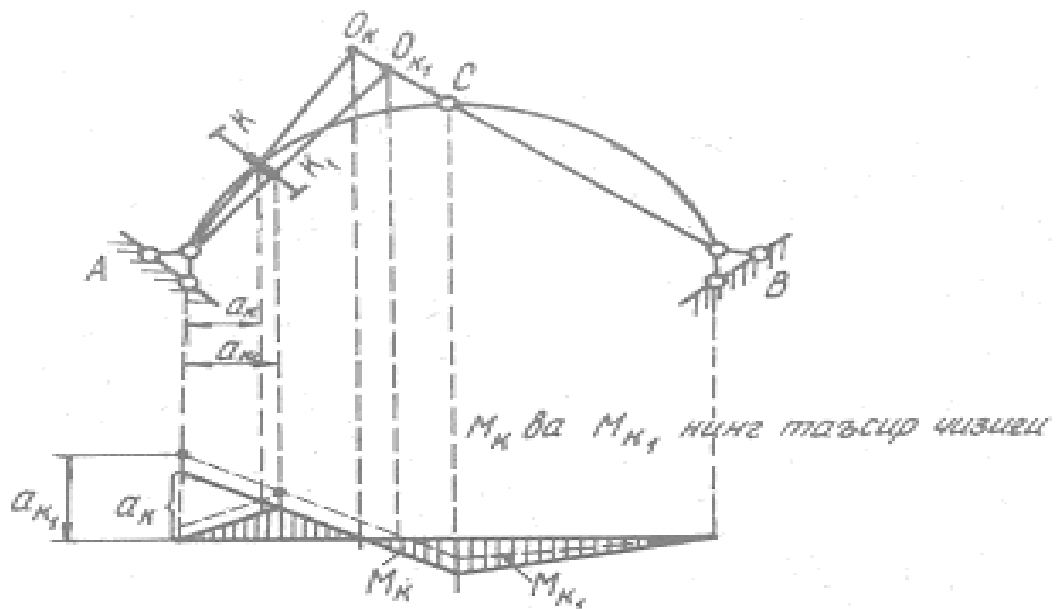
иккинчиси эса 1 — нуқтада нолга teng бўлган кучланиш ҳосил қиласди. Натижада 1- нуқтадаги кучланиш: σ факат эгувчи момент M_{kl} орқали ифодаланади: $\sigma_1 = \frac{M_{kl}}{W}$; бу ердаги M_{kl} — ядро моменти деб аталади.

2- нуқтадаги кучланишни ҳам ядро моменти орқали топса бўлади:

$$\sigma_2 = \frac{M_{k2}}{W} \quad \text{бу ерда} \quad M_{k2} = N(l + C_2).$$

5.14- расмда K кесимидағи эгувчи моменти M_k ва ядро моменти M_{kl} нинг таъсир чизиқлари берилган. Ҳар иккала таъсир чизиги ноль нуқтаси усулида курилган. Графикни ясаш тартиби ҳар иккала момент учун бир хил. Асосий фарқ O_{kl} нуқтасини аниқлашда намоён бўлади. Агар O_k нуқтасини топишда АК нуқталари бирлаштирилса, O_{kl} нуқтасини топишда AK_1 нуқталари туташтирилади. Шунинг эвазига ноль нуқталар орасида озгина фарқ бўлади.

Бу фарқ ўз навбатида таъсир чизиклари ординаталари орасидаги тафовутга олиб келади.



5.14- расм

5.7. Уч шарнирли аркасимон фермаларни ҳисоблаш

Аркасимон фермалар тузилиш жиҳатидан фермаларни, ишлаш жараёни жиҳатидан аркаларни эслатади. Шунинг учун ҳам уларни ҳисоблашда баъзан аркага, баъзан фермага хос бўлган қоидалардан фойдаланилади. Мухими шундаки, уч шарнирли аркасимон фермалар керкили (распорли) системаларга киради, яъни буларда ҳам вертикал кучлар таъсирида горизонтал реакция кучлари пайдо бўлади (5.15- расм, a). Керки кучларини шарнирли қўзғалмас таянчлар қабул қиласи. Аркасимон ферманинг икки диски кулф шарнири С воситасида бириктирилади. Расмдан кўриниб турибдики, дисклар яхлит эмас панжародор қилиб ферма шаклида ишланган.

5.15- расм, a — да берилган уч шарнирли аркасимон ферманинг ҳисоби билан танишиб чиқамиз.

Берилган системанинг вертикал ва горизонтал реакциялари яхлит арканинг реакциялари каби аниқланади. Масалан, чап таянчдан x масофада

бирлик куч $P = I$ қўйилган бўлса, V_a ва V_b реакциялари қўйидагича топилади:

$$V_a = \frac{l-x}{l}; \quad V_b = \frac{x}{l}.$$

Керки кучи H қўйидаги тенгламадан аниқланади:

$$H = \frac{M_c^0}{f};$$

бу ерда M_c^0 — аркага тенг узунликка эга бўлган оддий балканинг C кесимидағи момент.

V_a , V_b ва H нинг таъсир чизиклари 5.15- расм, b , σ , τ - да тасвириланган.

Уч шарнирли аркасимон ферманинг 1 — 2 стерженидаги зўриқишининг таъсир чизигини қурамиз (5.15- расм, a). Фермани 1 — 1 кесими бўйлаб қирқамиз. Зўриқиши изланаётган стержень (1 — 2) учун K нуқта момент нуқтаси хисобланади. $N_{1,2}$ ни аниқлаш учун K нуқтага нисбатан чап томонда ётган кучлардан моментлар йифиндисини ёзамиз (бунда бирлик куч кесимдан ўнгда деб фараз этамиз):

$$\sum M_k = V_a a_k - H y_k - N_{12} h = 0;$$

бу ердан

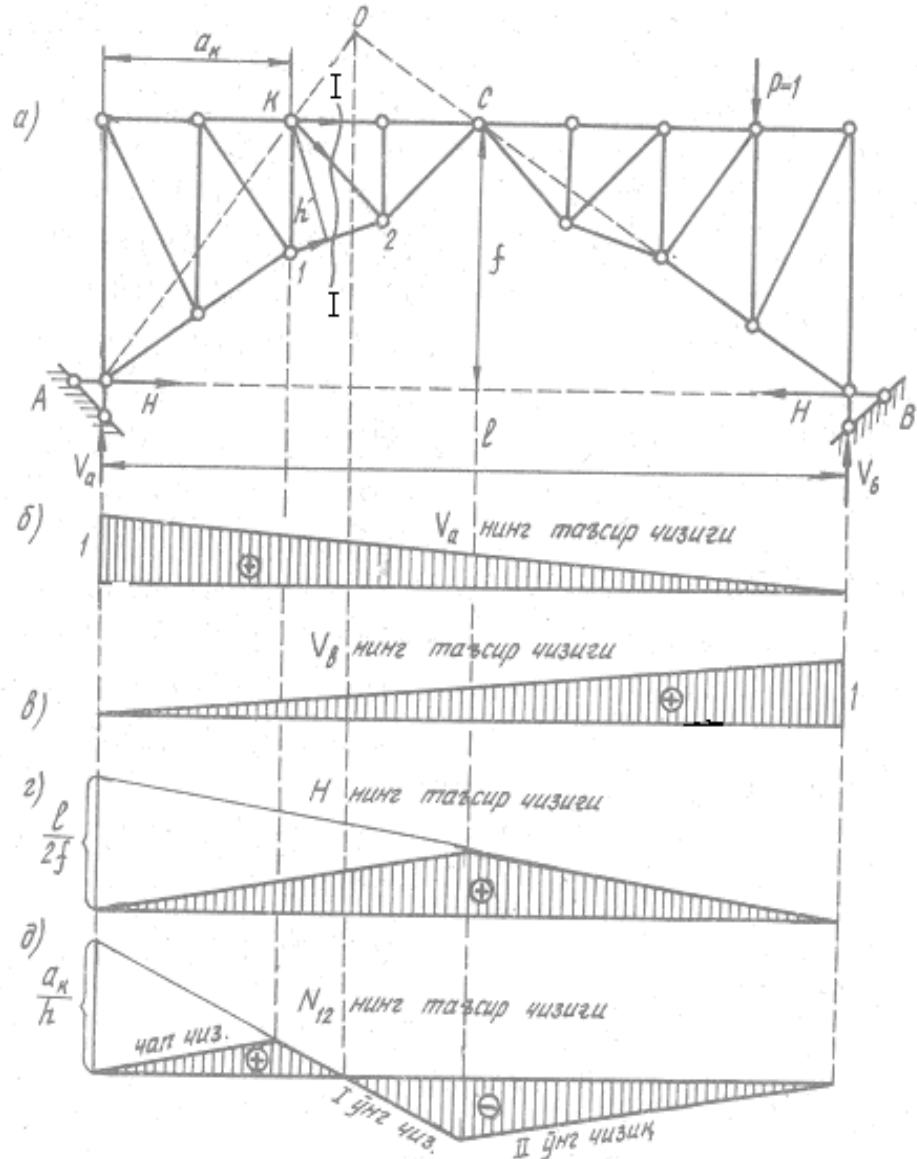
$$N_{12} = \frac{V_a a_k - H y_k}{h}.$$

Агар момент нуқтаси K ни арканинг K кесими деб фараз этсак ҳамда a_k ва y_k ларни шу кесимнинг координаталари деб олсак, касрнинг сурати аркавий момент M_k^{ar} бўлади. У ҳолда зўриқиши

$$N_{12} = \frac{M_k^{ar}}{h}$$

ифодаси билан аниқланади.

Демак, ферма стерженидаги зўриқиши N_{12} нинг таъсир чизигини аркавий момент M_k^{ar} орқали қурса бўлади. Бунинг учун арка моменти таъсир чизикларини h га қисқартирилса кифоя.

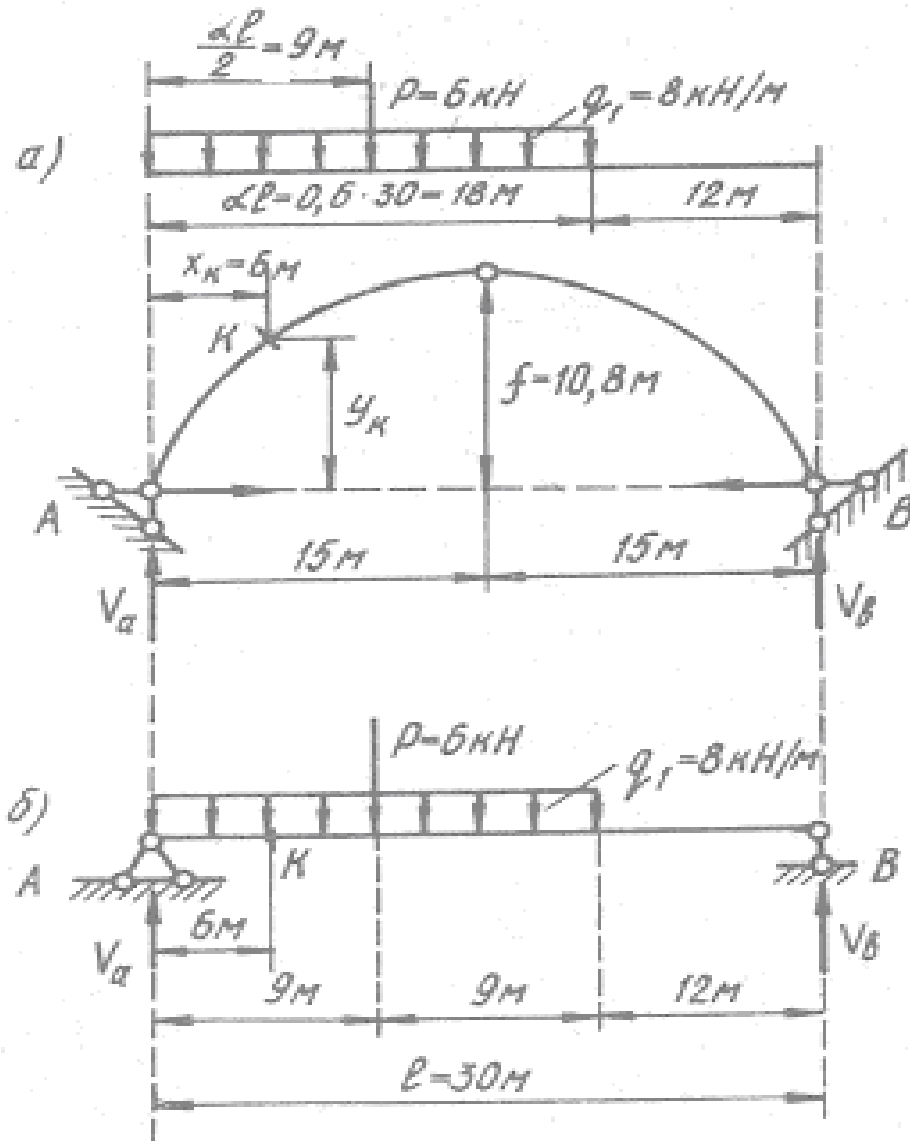


5.15- расм

Арканинг K кесими учун моментнинг таъсир чизигини қуришда A таянчи остига a_K масофани ўлчаб қўйилар эди. Бу сафар шу масофани h маротаба кичрайтириб қўямиз (5.15- расм, d). Қолган ишлар уч шарнирли арқадаги ишлар билан айнан бир хилдир.

Мисол. Уч шарнирли арканинг K кесимидағи эгувчи момент, кўндаланг ва бўйлама кучлар аналитик усулда ҳисоблансин. Айни шу миқдорлар таъсир

чилилдари орқали ҳам аниқланын. Арка ўқи парабола бўлиб, куч ва ўлчамлар шаклда берилган (5.16- расм, а).



5.16- расм

Ечиш. Ҳисобни таянч реакцияларини аниқлашдан бошлаймиз:

$$\sum M_A = -V_B \cdot 30 + q_1 \cdot 18 \cdot 9 + P \cdot 9 = 0;$$

$$\text{бундан } V_B = 45 \text{ kN};$$

$$\sum M_B = V_A \cdot 30 - P \cdot 21 - q_1 \cdot 18 \cdot 21 = 0;$$

$$\text{бундан } V_A = 105 \text{ kN};$$

$$\sum M_c^{chap} = V_A \cdot 15 - P \cdot 6 - q_1 \cdot 15 \cdot 7,5 - H_A f = 0$$

$$\text{бундан } H_A = 59,167 \text{ kN}.$$

Кучлар вертикаль бўлганлиги учун $H_A = H_B = H = 59,167 \text{ kN}$.

Текшириш. $\sum Y = V_A - P - q_1 \cdot 18 + V_B = 105 - 6 - 8 \cdot 18 + 45 = 0$.

Аналитик усулда K кесимидағи ички кучлар (M_k, Q_k, N_k) ни аниқлаймиз.

Эгувчи момент қуйидаги формуладан (5.3) топилади:

$$M_k = M_k^0 - Hy_k.$$

Арканинг ўқи парабола бўлганлиги учун y_k ординатаси қуйидаги тенгламадан топилади:

$$y_k = \frac{4f}{l^2} x_k (l - x_k) = \frac{4 \cdot 10,8}{30^2} \cdot 6(30 - 6) = 6,912 \text{ m}.$$

Оддий балканинг (5.16- расм, б) K кесимидағи момент

$$M_k^0 = V_A \cdot 6 - q_1 \cdot 6 \cdot 3 = 105 \cdot 6 - 8 \cdot 6 \cdot 3 = 486 \text{ kNm}.$$

Уч шарнирли арканинг K кесимидағи момент

$$M_k = 486 - 59,167 \cdot 6,912 = 77,04 \text{ kNm}$$

Кўндаланг кучни аниқлаш формуласи (5.6):

$$Q_k = Q_k^0 \cos \varphi_k - H \sin \varphi_k.$$

Арка ўқининг тенгламасидан фойдаланиб, φ_k бурчакни аниқлаймиз (5.16- расм, а):

$$\operatorname{tg} \varphi_k = \frac{dy_k}{dx_k} = \frac{4f}{l^2} (l - 2x_k) = \frac{4 \cdot 10 \cdot 8}{30^2} (30 - 2 \cdot 6) = 0,864,$$

бундан $\varphi_k = 40^0 50'$; $\sin \varphi_k = 0,6538$; $\cos \varphi_k = 0,7566$.

Оддий балканинг (5.16- расм, δ) K кесимидаги күндаланг куч

$$Q_k^0 = V_A - q_1 \cdot 6 = 105 - 8 \cdot 6 = 57 \text{ kN}$$

Арканинг K кесимидаги күндаланг куч:

$$Q_k = 57 \cdot 0,7566 - 59,167 \cdot 0,6538 = 4,443 \text{ kN}.$$

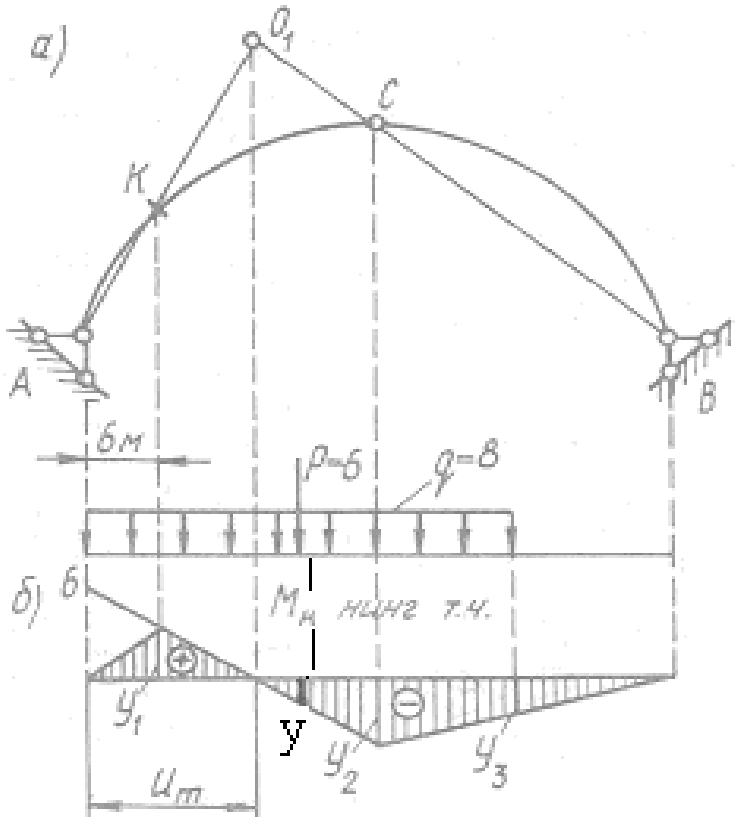
Арканинг K кесимидаги бўйлама кучни аниқлаймиз (5.6):

$$N_k = Q_k^0 \sin \varphi_k + H \cdot \cos \varphi_k = 57 \cdot 0,6538 + 59,167 \cdot 0,7566 = 82,033 \text{ kN}.$$

Шундай қилиб, уч шарнирли арканинг K кесимидаги ички кучларни аналитик усулда аниқладик. Энди шу миқдорларни таъсир чизиқлари ёрдамида аниқлаймиз.

M_k нинг таъсир чизиқларини қуриш

Таъсир чизиғини ноль нуқтаси усулида қурамиз. Бунинг учун A таянч билан K кесим тўғри чизиқ ёрдамида туташтирилади. B таянч C шарнир билан туташтирилади. Икки тўғри чизиқнинг кесишиш нуқтаси (O_1) эгувчи моментнинг ноль нуқтаси бўлади, чунки $P=1$ куч шу нуқтада бўлганда K кесимдаги эгувчи момент нолга teng бўлади (5.17- расм, a).



5.17- pacM

Координата \dot{y} таянч остидаги нүктасидан K кесимигача бўлган масофа (бм) ни ўқдан юқорига масштаб бўйича ўлчаб қўямиз. Бу масофани координата \dot{y} идаги O_1 нүктанинг проекцияси билан туташтириб, C шарнир проекциясигача давом эттирамиз. Бу тўғри чизикка K кесимиининг проекциясини туширамиз ва уни A таянч остидаги координата \dot{y} ининг ноль нүктаси билан туташтирамиз. C шарнир остидаги ординатани B таянч остидаги координата \dot{y} ининг ноль нүктаси билан туташтирилади. Ҳосил бўлган график M_k нинг таъсир чизиги деб аталади (5.17- расм, δ). A таянчдан O_1 нүкта гача бўлган масофани u_M билан белгилаб, уни қуидаги формула ёрдамида аниқлаймиз:

$$u_M = \frac{2f l}{l \cdot \frac{y_e}{x_k} + 2f} = \frac{2 \cdot 10,8 \cdot 30}{30 \cdot \frac{6 \cdot 912}{6} + 2 \cdot 10,8} = \frac{648}{56,16} = 11,538 \text{ M}$$

Таъсир чизиқлари ёрдамида зўриқишларнинг қиймати қуидаги формула орқали ҳисобланади:

$$M = \sum P_i \cdot y_i + \sum q_i \cdot \omega_i.$$

Бизнинг мисол учун формула қуидаги кўринишда ёзилади:

$$M_k = q(\omega - \omega_1 - \omega_2) - P \cdot y.$$

Бу ерда P, q — аркага қўйилган қўзғалмас юклар;

y — таъсир чизигида Р кучи остидаги ордината;

ω — шу таъсир чизигида ёйилган куч остидаги қисмнинг юзаси.

Ташки кучлар остидаги ординаталар, учбурчакларнинг ўхшашлигидан фойдаланиб аниқланади. Масалан,

$$\frac{6}{11,538} = \frac{y_1}{5,538}; \quad \frac{6}{11,538} = \frac{y}{2,538}; \quad \frac{6}{11,538} = \frac{y_2}{3,462}; \quad \frac{y_2}{15} = \frac{y_3}{12};$$

Юзалар:

$$\begin{aligned} \omega &= \frac{y_1 \cdot 11,538}{2} = 16,615; \quad \omega_1 = \frac{y_2 \cdot 3,462}{2} = 3,116; \\ \omega_2 &= \frac{y_2 + y_3}{2} \cdot 3 = 4,860. \end{aligned}$$

Шундай қилиб, К кесимдаги эгувчи момент:

$$M_k = 8(16,615 - 3,116 - 4,860) - 6 \cdot 1,320 = 69,12 - 7,92 = 77,04 \text{ kNm}$$

(Аввалгиси билан таққосланг).

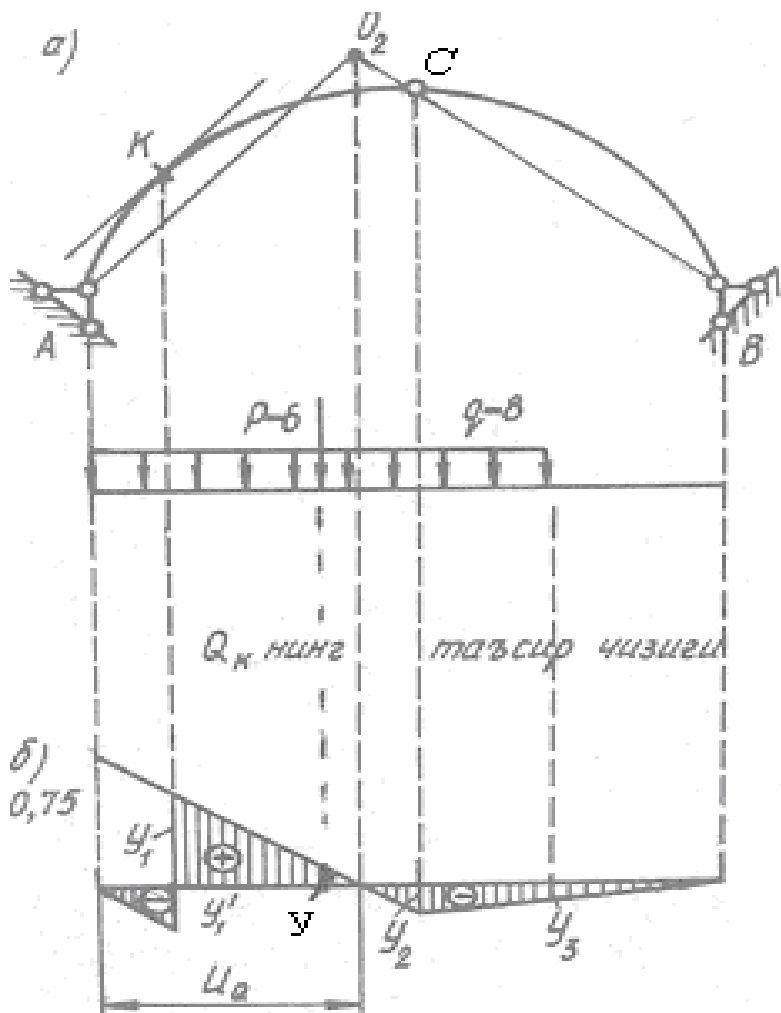
Q_k нинг таъсир чизигини қуриш (5.18- расм, а)

Кўндаланг куч учун ноль нуқтаси ҳолатини аниқлаймиз. Бунинг учун K кесимга уринма ўтказамиз. Бу уринмага параллел қилиб A таянчдан тўғри

чизиқ ўтказамиз ва бу түғри чизиқни B таянч билан C шарнирни туташтирувчи чизиққача давом эттирамиз. Кесишиш нүктаси O_2 күндаланг кучнинг ноль нүктаси бўлади, чунки $P=1$ бирлик куч шу нүктада турганда K кесимдаги кўндаланг куч нолга айланади.

Кўндаланг куч таъсир чизигини қуриш учун ихтиёрий масофада координата ўқи олинади ва бу ўқقا A , B таянчлари, C шарнири ва O_2 нүктасининг проекциялари туширилади. А таянчи остига $\cos \varphi_k = 0,7566$ ни масштаб бўйича ўлчаб қўямиз. Бу масофани ноль нүкта билан түғри чизик ёрдамида туташтирамиз. Координата ўқининг A таянчи остида бу түғри чизиқка параллел түғри чизиқ ўтказамиз ва уни K кесимгача давом эттирамиз. Сўнгра бу икки параллел түғри чизиққа K кесимининг проекцияси туширилади. C шарнир остидаги ордината B таянчининг ноль ординатаси билан туташтирилади. Кейин шаклда кўрсатилгандек штрихланади, ҳосил бўлган график Q_k нинг таъсир чизиги бўлади (5.18- расм, б). Кўндаланг кучнинг ноль нүктасигача бўлган масофа u_Q қўйидаги формула ёрдамида аниқланади:

$$u_Q = \frac{2f l}{2f + l \cdot \operatorname{tg} \varphi_k} = \frac{2 \cdot 10 \cdot 8 \cdot 30}{2 \cdot 10,8 + 30 \cdot 0,864} = \frac{648}{47,52} = 13,636 \text{ m.}$$



5.18- расм

Кўндаланг кучнинг қийматини қўйидаги формула ёрдамида аниқлаймиз:

$$Q_k = +q(\omega - \omega_1 - \omega_2 - \omega_3) + P \cdot y.$$

Зарур ординаталарни учбуручакларнинг ўхшашлигидан фойдаланиб топамиз:

$$\frac{0,7566}{13,636} = \frac{y_1}{7,636}; \quad y_1 = 0,424; \quad y'_1 = 0,7566 - y_1 = 0,3326;$$

$$\frac{0,7566}{13,636} = \frac{y}{4,636}; \quad y = 0,257; \quad \frac{0,7566}{13,636} = \frac{y_2}{1,364}; \quad y_2 = 0,076;$$

$$\frac{y_2}{15} = \frac{y_3}{12}; \quad y_3 = 0,8 \cdot y_2 = 0,061$$

Юзалар:

$$\omega = \frac{y_1 \cdot 7,636}{2} = 1,619; \quad \omega_1 = \frac{y_1 \cdot 6}{2} = 0,938;$$

$$\omega_2 = \frac{y_2 \cdot 1,364}{2} = 0,052; \quad \omega_3 = \frac{y_2 + y_3}{2} \cdot 3 = 0,206$$

Күндаланг куч қиймати

$$Q_k = 8(1,619 - 0,998 - 0,052 - 0,206) + 6 \cdot 0,257 = 4,446 kH.$$

N_k нинг таъсир чизигини қуриш (5.19- расм, а).

Бўйлама кучнинг ноль нуқтасини аниқлаш учун A таянчидан K кесимиға ўтказилган уринмага тик чизиқ ўтказамиз ва уни B таянчи билан C шарнирни туташтирувчи тўғри чизиқ билан кесишгунча давом эттирамиз. Кесишув нуқтаси бўйлама кучнинг ноль нуқтаси (O_3) бўлади.

Ихтиёрий масофада координата ўқи олиниб, унга A , B таянчлари, C шарнири ва O_3 нуқтасининг проекциялари (a , b , c ва d) туширилади. « a » нуқтадан $\sin\varphi_k = 0,6538$ масофа (aa_1) ўлчанади ва бу масофа « d » нуқтаси билан туташтирилади. « a_1d » чизигини « c_1 » нуқтасигача давом эттириб, бу ординатани « b » нуқтаси билан бирлаштирилади. « a » нуқтасидан « dc_1 » чизигига параллел чизиқ ўтқазиб, « ak » тўғри чизигини ҳосил қиласиз. K кесим остида бўйлама куч $\sin\varphi_k = 0,6538$ га teng миқдорда сакрайди. Штрихланган шакл N_k нинг таъсир чизиги бўлади (5.19- расм, б).

Бўйлама кучнинг ноль нуқтасигача бўлган масофа

$$u_N = \frac{l}{\frac{l}{2f} \cdot \operatorname{ctg} \varphi_k - 1} = \frac{30}{\frac{30}{2 \cdot 10,8} \cdot \frac{0,7566}{0,6538} - 1} = \frac{30}{0,6072} = 49,407 m$$

га teng бўлади.

Таъсир чизиги ёрдамида бўйлама кучнинг қийматини аниқлаймиз.

$$N_k = q_1(\omega + \omega_1 + \omega_2) + P \cdot y$$

Керакли ординаталарни аниқлаймиз. Учбурчаклар ўхшашлигидан:

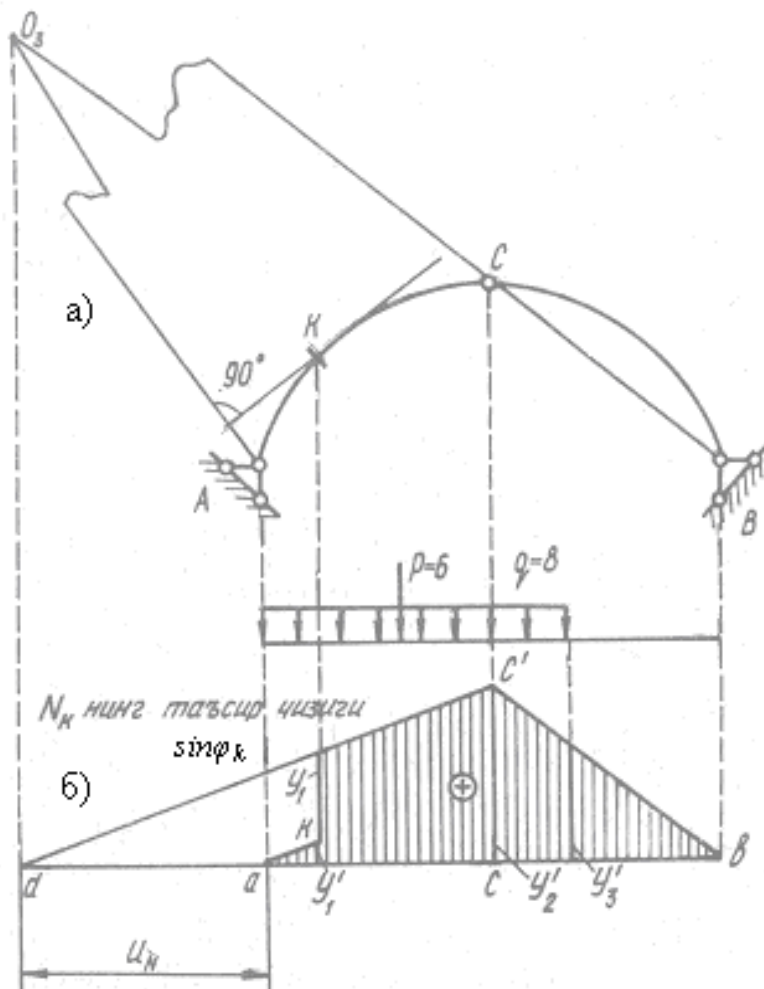
$$\frac{0,6538}{49,407} = \frac{y_2}{64,407}; \quad \frac{0,6538}{49,407} = \frac{y_1}{55,407}; \quad \frac{0,6538}{49,407} = \frac{y}{58,407};$$

$$y_2 = 0,852; \quad y_1 = 0,733; \quad y = 0,773;$$

$$y'_1 = y_1 - 0,6538 = 0,0792; \quad y_3 = 0,8 \cdot y_2 = 0,682.$$

Юзалар:

$$\omega = \frac{y_1 \cdot 6}{2} = 0,238; \quad \omega_1 = \frac{y_1 + y_2}{2} \cdot 9 = 7,133; \quad \omega_2 = \frac{y_2 + y_3}{2} \cdot 3 = 2,301.$$



5.19- расм

Бўйлама кучнинг қиймати

$$N_k = 8(0,238 - 7,133 - 2,301) + 6 \cdot 0,773 = 77,376 - 4,638 = 82,104 \text{ kN}.$$

Шундай қилиб, таъсир чизиқлари ёрдамида ички кучларнинг қуидаги қийматларини аниқладик:

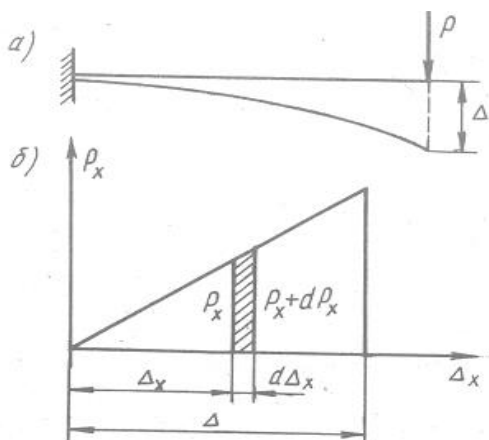
$$M_k = 77,740 \text{ kNm}; Q_k = 4,446 \text{ kN}; N_k = 82,014 \text{ kN}.$$

Ички кучларнинг бу қийматлари аналитик усулда аниқланган қийматлар билан бир хилдир.

6- БОБ КЎЧИШЛАР НАЗАРИЯСИ

6.1. Кўчишлар ва ишлар ҳақида тушунча

Статик ноаниқ системаларни ҳисоблашда мувозанат тенгламаларидан ташқари кўчишлар тенгламаларини тузишга ва ечишга тўғри келади. Бундай тенгламаларни тузиш учун аввало иншоотларнинг деформацияларини аниқлашни билиш зарур. Кўчишларни аниқлаш масаласи фақат статик ноаниқ системаларгагина тааллукли бўлиб қолмай, балки статик аниқ системаларга ҳам алоқадордир. Статик аниқ системалардан ташкил топган қурилиш конструкцияларининг деформацияси меъёридан ортиб кетмаслиги зарур. Бу масала ҳам кўчишлар орқали ҳал этилади. Шундай қилиб, кўчишларни аниқлаш масаласи қурилиш механикасининг муҳим масалаларидан бири ҳисобланади.



6.1- расм

Бирор нуқтанинг кўчииши деганда, иншоотнинг деформацияси жараёнида унинг (нуқтанинг) координаталарининг ўзгариши тушунилади. Кўчишларни биз Гук қонуни чегарасида аниқлаймиз, яъни кўчиши аниқланаётган кесимнинг кучланишлари пропорционаллик чегарасида ётади, деб фараз этамиз.

Кўчишларни аниқлашда кучлар таъсирининг мустақиллиги қоидаси амал қиласди. Бу қоидага кўра бир неча кучларнинг бир йўла қўйилгандаги натижаси ҳар бир кучни алоҳида қўйилгандаги натижалар йигиндисига тенг бўлади.

Ташқи кучлар иши. Кўчишларни аниқлашнинг умумий усули ташқи кучлар иши назариясига асосланади, яъни ишлар орқали кўчишларни аниқласа бўлади.

Эластик системага аста-секин (статик равиша) қўйилган ташқи куч P нинг бажарган ишини аниқлаймиз (6.1- расм, a). Деформациянинг кичик миқдорларида эластик системага кучлар таъсирининг мустақиллиги қоидасини қўллаш мумкин, бинобарин, алоҳида нуқталарнинг кўчишлари уларни вужудга келтирувчи кучларга тўғри пропорционал бўлади. Гук қонунига кўра бу боғланиш қуйидагича ифодаланади:

$$\Delta = \alpha P.$$

Бу ерда Δ — таъсир этувчи куч P йўналишидаги кўчиш;

α — пропорционаллик коэффициенти бўлиб, иншоотнинг материали, схемаси ва ўлчамларига боғлиқ миқдордир.

P кучининг оралиқ қийматини P_x , унга мос бўлган қўчишни Δ_x деб белгилаймиз, (6.1- расм, b).

P кучини чексиз кичик миқдор dP_x га ортирамиз. Натижада кўчиш ҳам $d\Delta_x$ масофага ортади. Бунда ташқи куч қуйидаги элементар ишни бажаради:

$$dA = (P_x + dP_x)d\Delta_x = P_x d\Delta_x.$$

Ташқи куч бажарган тўлиқ иш бу ифодани интеграллаш йўли билан аниқланади.

$$A = \int_0^P P_x d\Delta_x.$$

Гук қонунига биноан $d\Delta_x = \alpha dP_x$ эканлигини ҳисобга олсак,

$$A = \int_0^P \alpha P_x dP_x = \frac{\alpha P^2}{2} = \frac{1}{2} P \Delta$$

келиб чиқади.

Демак, ташқи кучлар (P) бажарган ҳақиқий иш куч билан шу куч вужудга келтирган кўчишнинг кўпайтмасини ярмига тенг экан. Бу *Клапейрон теоремаси* деб аталади. Агар иншоотга бир неча кучлар $P_1, P_2 \dots P$ қўйилган бўлса, ташқи кучлар бажарган тўлиқ иш қўйидагича бўлади:

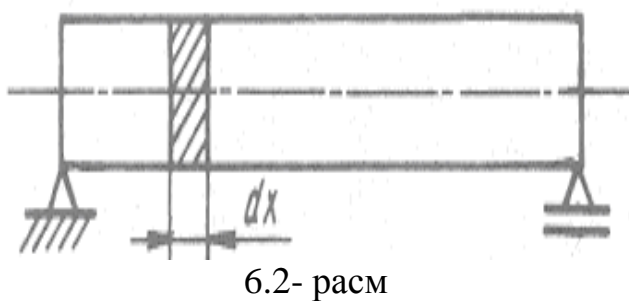
$$A = \frac{1}{2} \sum P_i \Delta_i.$$

Ташқи кучларнинг бу иши иншоотда потенциал энергия тарзида тўпланади.

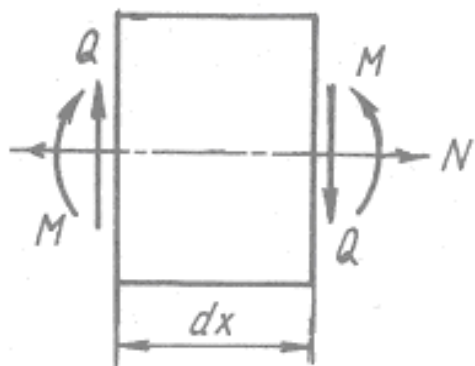
Гарчи Клапейрон теоремаси биргина куч мисолида берилган бўлса-да, аслида унинг қўлланиш чегараси жуда кенг. Ташқи куч деганда биргина йиғиқ куч эмас, балки турли кучлар системаси тушунилади. Кўчишлар ҳам факат чизиқли эмас, балки бурчакли бўлиши ҳам мумкин. Хулоса қилиб айтганда, куч деганда эластик системага таъсир этувчи ҳар қандай кучлар мажмуаси тушунилади ва «умумлашган куч» деб аталади. Бу куч таъсирида вужудга келган кўчиш «умумлашган кўчиши» деб юритилади.

Ички кучлар иши. Кўчишларнинг вужудга келишида ташқи кучлар бажарган ишни ички кучлар орқали ифода этса ҳам бўлади. Ички кучлар деганда конструкция элементларида вужудга келадиган эгувчи момент M , кўндаланг куч Q ва бўйлама куч N тушунилади.

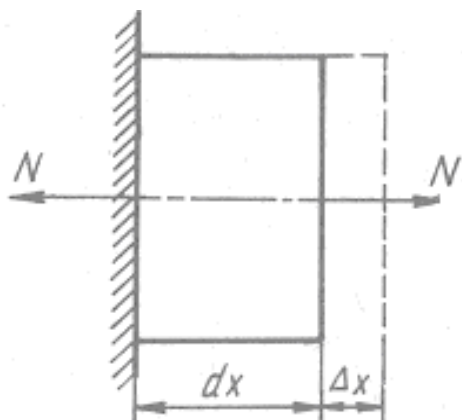
Балкадан (6.2- расм) чексиз кичик dx элементини ажратиб оламиз (6.3-расм). Ажратилган элементга M , Q ва N кучлари таъсир этади. Бу кучлар бутун стерженга нисбатан ички куч, ажратилган элементга нисбатан эса ташқи куч деб қаралади. Буларнинг ҳар бирини dx элементига бўлган таъсирини алоҳида равишда кўриб ўтамиз.



6.2- расм



6.3- расм



6.4- расм

Энг аввал ажратилган элементга бўйлама куч N нинг таъсири билан танишамиз (6.4- расм). Элементнинг чап томондаги кесими қўзгалмас деб фараз этсак, бўйлама куч таъсирида элементнинг ўнг томондаги кесими

$$\Delta x = N d x E F$$

масофага кўчади. Ушбу кўчишни вужудга келишида бўй-лама куч қуидаги ишни бажаради.

$$dA_N = \frac{1}{2} N \Delta_x = N \frac{N dx}{2 E F}$$

Бу ерда $E F$ — стержень кўндаланг кесимининг сиқилиши ёки чўзилишдаги бикирлигидир.

Δ_ϕ бурчакли кўчишнинг ву-жудга келишида аста ортиб борувчи эгувчи момент қуидаги миқдорда иш бажаради (6.5- расм):

$$dA_M = \frac{1}{2} M \Delta_\phi = M \frac{M d_x}{2 E J};$$

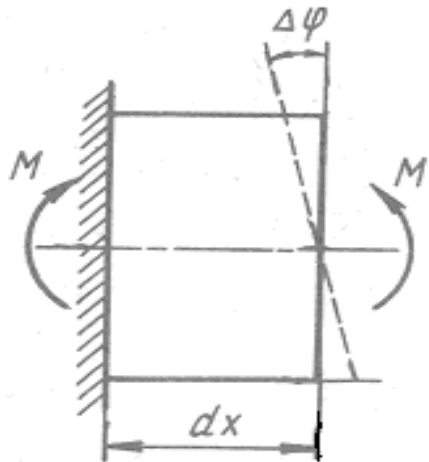
$$\Delta_\phi = \frac{M dx}{E J}.$$

Ниҳоят ажратилган элементга кўндаланг куч Q нинг таъсирини кўриб ўтамиз (6.6- расм). Агар элементнинг чап кесимини маҳкамланган деб қарасак, кўндаланг куч таъсирида унинг ўнг томондаги кесими

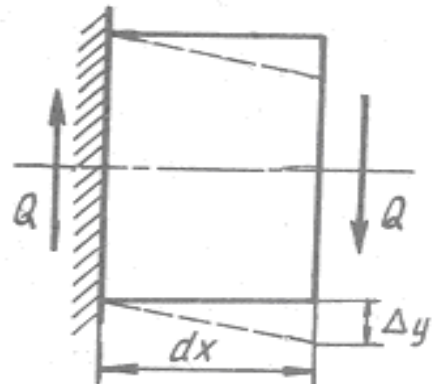
$$\Delta_y = \eta Q d x / G F$$

масофага силжийди. Бу ерда $G F$ — кесимнинг силжишдаги бикирлиги. Δ_y силжишнинг вужудга келишида аста ортиб борувчи кўндаланг куч қуидаги миқдорда иш бажаради

$$dA_Q = \frac{1}{2} Q \Delta_y = Q \frac{Q dx}{2GF} \eta .$$



6.5- расм



6.6- расм

Бу ерда η — стерженниң күндаланг кесими шаклига бояғылған коэффициент бўлиб, қуйидаги формуладан топилади:

$$\eta = \frac{F}{J^2} \int \frac{S^2}{b^2} dF .$$

Тўғри тўртбурчакли кесим учун $\eta = 1,2$. Айлана учун $\eta = 10/9$.

Ажратилган dx элементга учала куч (N, M, Q) бир вақтнинг ўзида таъсир этса, тўлиқ иш қуйидагича топилади:

$$dA = dA_N + dA_M + dA_Q = \frac{1}{2} \left(N \frac{N dx}{EF} + M \frac{M dx}{EJ} + Q \frac{Q dx}{GF} \eta \right) .$$

Стерженларнинг барча участкалари бўйича бажарилган тўлиқ ишни аниқлаш учун юқоридаги ифодани интеграллаймиз:

$$A = \frac{1}{2} \left(\sum_0^l M \frac{M dx}{EJ} + \sum_0^l N \frac{N dx}{EF} + \sum_0^l Q \frac{Q dx}{GF} \eta \right) \quad (6.1)$$

ёки

$$A = \sum_0^l \frac{M^2 dx}{2EJ} + \sum_0^l \frac{N^2 dx}{2EF} + \sum_0^l \frac{Q^2 dx}{2GF} \eta \quad (6.2)$$

Шундай қилиб, кўчишларнинг вужудга келишида ташқи кучлар бажарган ишни ички кучлар орқали ифода этдик.

Эластик системаларда ташқи кучлар бажарган иш деформациянинг потенциал энергияси сифатида тўпланади. Ҳар қандай эластик жисм ташқи кучлар вужудга келтирган энергияни ўзида жамлаш ҳусусиятига эга. Жисмни юқдан бўшатиш жараёнида потенциал энергия иш бажаради, Мана шу ишни жисмдаги ички кучлар (M, Q, N) бажаради. Энергиянинг сакланиш қонунига биноан ташқи кучлар бажарган иш система деформациясининг потенциал энергиясига (демак, ички кучлар бажарган ишга) тенг бўлади.

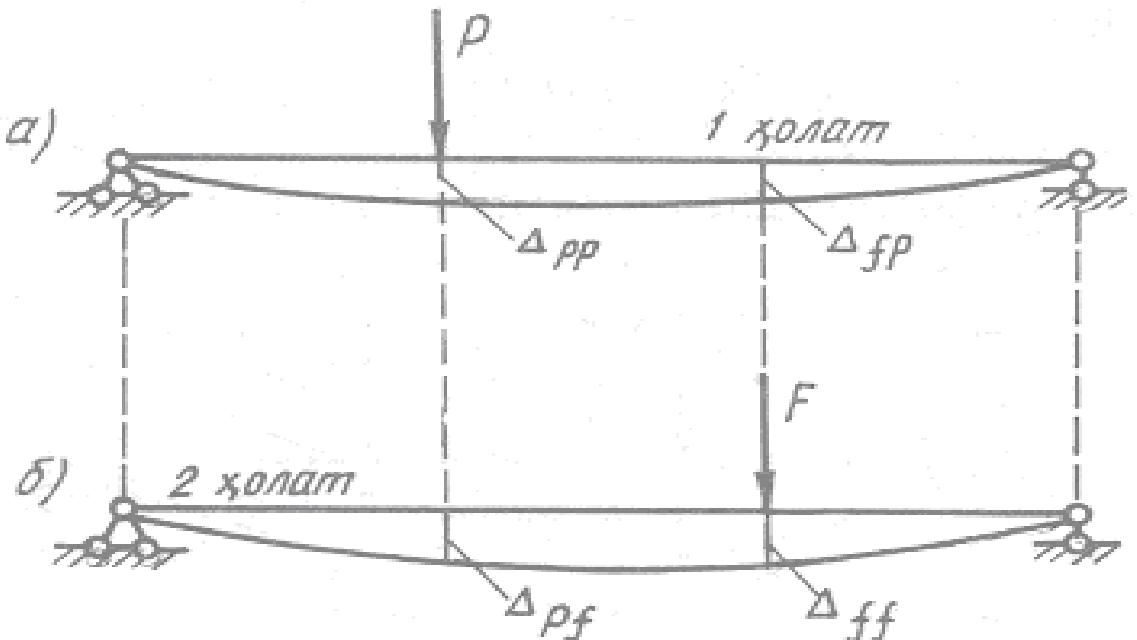
6.2. Ишлар ва кўчишларнинг ўзаро боғланиши ҳақидаги теоремалар

Икки хил куч таъсирида мувозанатда бўлган эластик системанинг икки ҳолатини кўриб ўтамиз. Биринчи ҳолатда системага P кучи, иккинчи ҳолатда F кучи таъсир этади дейлик (6.7- расм).

Системанинг кўчишларини Δ_{pf} тарзида белгилаймиз. Бунда биринчи индекс кўчаётган нуқта ва унинг йўналишини, иккинчи индекс эса кўчишни вужудга келтираётган сабабни англатади. Ўқилиши бундай: P кучи кўйилган нуқтанинг шу куч (яъни P кучи) йўналишида F кучи таъсирида вужудга келган кўчиш.

Δ_{pp} — P кучи йўналишида шу куч таъсирида вужудга келган кучиши дейлик. Бу кўчишнинг вужудга келишида P кучи бажарган иш A_{pp} бўлсин. Ҳудди шунингдек, Δ_{ff} кўчишнинг вужудга келишида F кучи бажарган ишни A_{ff} деб белгилайлик. Агар ҳар иккала куч балкага статик таъсир этса, бу кучлар бажарган ишлар қуйидаги формуулалардан топилади:

$$A_{pp} = \frac{1}{2} P \Delta_{pp} \quad \text{ва} \quad A_{ff} = \frac{1}{2} F \Delta_{ff}$$



6.7- расм

Хар иккала ишни ички кучлар орқали ифодаси қўйидаги қўринишга эга:

$$A_{pp} = \sum \int_0^l \frac{M_p^2 dx}{2EJ} + \sum \int_0^l \frac{N_p^2 dx}{2EF} + \sum \int_0^l \frac{Q_p^2 dx}{2GF} \eta;$$

$$A_{ff} = \sum \int_0^l \frac{M_f^2 dx}{2EJ} + \sum \int_0^l \frac{N_f^2 dx}{2EF} + \sum \int_0^l \frac{Q_f^2 dx}{2GF} \eta.$$

Энди ўша (6.7- расм) системага P ва F кучларининг олдинма-кейин қўйилиш жараёнини кўриб ўтайлик.

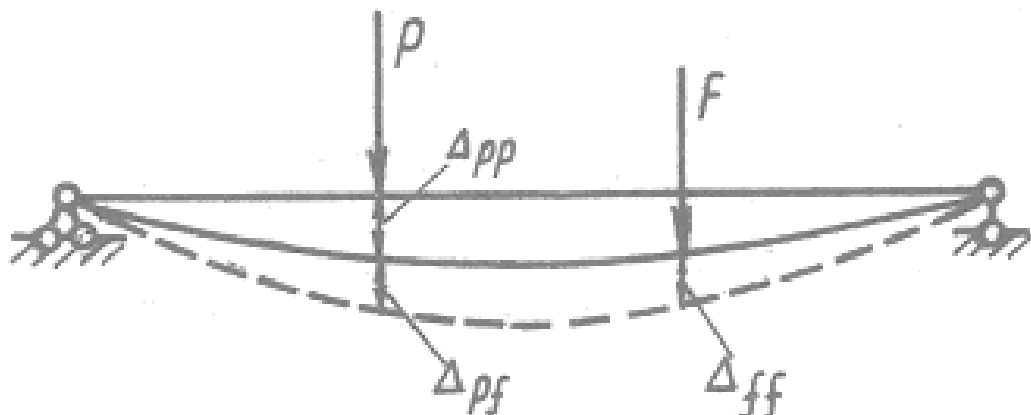
Аввал системага статик ортиб борувчи P кучи қўйилади, дейлик (6.8-расм). P кучи ўзининг тугал қийматига эришганда, система 6.7- расм, a — да кўрсатилгандек вазият вужудга келади, яъни P кучи остида Δ_{pp} кўчиш ҳосил бўлади. Бу кўчишнинг вужудга келишида P кучи $A_{pp} = P\Delta_{pp}/2$ га тенг бўлган иш бажаради. Шундан сўнг солқи система F кучи қўйилади. Бу куч таъсирида система эгилишда давом этиб, 6.7- расм, b . — да кўрсатилган вазият вужудга келади. Бунда P кучи остида Δ_{pf} га тенг бўлган қўшимча солқилик ҳосил бўлади. F кучининг қиймати нолдан ўзининг тугал

қийматига қадар ортиб борганда, P кучининг қиймати ўзгармасдан, $A_{pf} = P\Delta_{pf}$ га тенг бўлган қўшимча иш бажаради. F кучининг ўзи эса $A_{ff} = F\Delta_{ff}/2$ миқдорида иш бажаради. Шундай қилиб, системага кетма-кет равиша P ва F кучлари қўйилса, уларнинг бажарган тўлиқ иши

$$A = A_{pp} + A_{pf} + A_{ff} = \frac{1}{2}P\Delta_{pp} + P\Delta_{pf} + \frac{1}{2}F\Delta_{ff} \quad (a)$$

га тенг бўлади.

Агар кучларнинг қўйилиш тартибини ўзгартирсак, яъни аввал F ва сўнgra P кучларини қўйсак, у ҳолда тўлиқ иш қуидаги кўринишда ифодаланади:



6.8-расм

$$A = \frac{1}{2}F\Delta_{ff} + F\Delta_{fp} + \frac{1}{2}P\Delta_{pp}. \quad (b)$$

Бироқ кучларнинг қўйилиш тартиби ўзгариши билан бажарилган тўлиқ ишнинг миқдори ўзгармайди. Шунга кўра (a) ва (b) ифодаларни тенглаштириб, қуидаги хulosага эга бўламиз:

$$P\Delta_{pf} = F\Delta_{fp}.$$

Бу ерда $P\Delta_{pf}$ биринчи ҳолатдаги P кучининг шу йўналишда, иккинчи ҳолатдаги F кучидан ҳосил бўлган кўчишнинг вужудга келишида бажарган ишидир. $F\Delta_{fp}$ эса иккинчи ҳолатдаги F кучининг шу куч йўналишида,

биринчи ҳолатдаги P кучи таъсирида ҳосил бўлган кўчишнинг вужудга келишида бажарган ишидир (6.7- расм).

Шундай қилиб, биринчи ҳолатдаги кучларнинг шу кучлар йўналишида иккинчи ҳолат кучлари таъсирида ҳосил бўлган кўчишларнинг вужудга келишида бажарган иши иккинчи ҳолатдаги кучларнинг шу кучлар йўналишида биринчи ҳолат кучлари таъсирида ҳосил бўлган кўчишларнинг вужудга келишида бажарган ишига тенгdir.

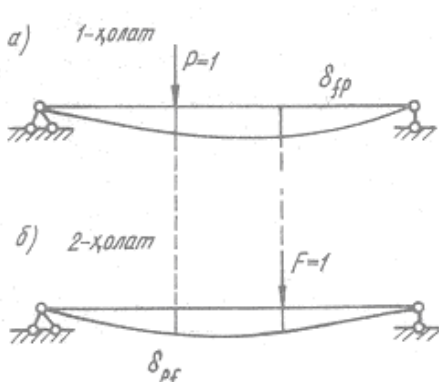
Бу холоса ишларнинг ўзаро боғланиши ҳақидаги теорема ёки унинг муаллифи Италия олими Энрико Бетти (1823 — 1892) теоремаси номи билан машҳурdir.

Энди кўчишларнинг ўзаро боғланиши ҳақидаги теорема билан танишиб чиқамиз.

Бунинг учун яна балканинг икки ҳолатини кўриб ўтамиз. Биринчи ҳолатда балкага $P=1$ кучи, иккинчи ҳолатда эса $F=1$ кучи қўйилган (6.9-расм).

Балкага қўйилган кучларнинг қиймати бирга teng бўлганлиги сабабли балканинг ҳолатини б и р л и к х о л а т деб айтамиз.

Бирлик куч таъсирида ҳосил бўлган кўчишлар δ билан, бирдан фарқли кучлардан ҳосил бўлган кўчишлар эса Δ ҳарфи билан белгиланади. Шунга биноан биринчи ҳолатдаги кўчишни δ_{fp} , иккинчи ҳолатдаги кўчишни эса δ_{pf} тарзида белгиладик. Ҳар иккаласи ҳам бирлик кучлардан ҳосил бўлган бирлик кучишиларdir.



6.9-расм

Бу икки ҳолат учун Бетти теоремаси қўйидагича ёзилади:

$$P\delta_{pf} = F\delta_{fp}$$

Агар $P=F=1$ эканлигини эътиборга олсак,

$$\delta_{fp} = \delta_{pf} \text{ келиб чиқади.} \quad (6.5)$$

боғланиши ҳакидаги теорема ёки Максвелл теоремаси деб аталади.

Мазкур, тенглик $P = F \neq 1$, бўлганда ҳам ўз кучини сақлади ва қуйидагича ифодаланади:

$$\boxed{\Delta_{fp} = \Delta_{pf}} \quad (6.6)$$

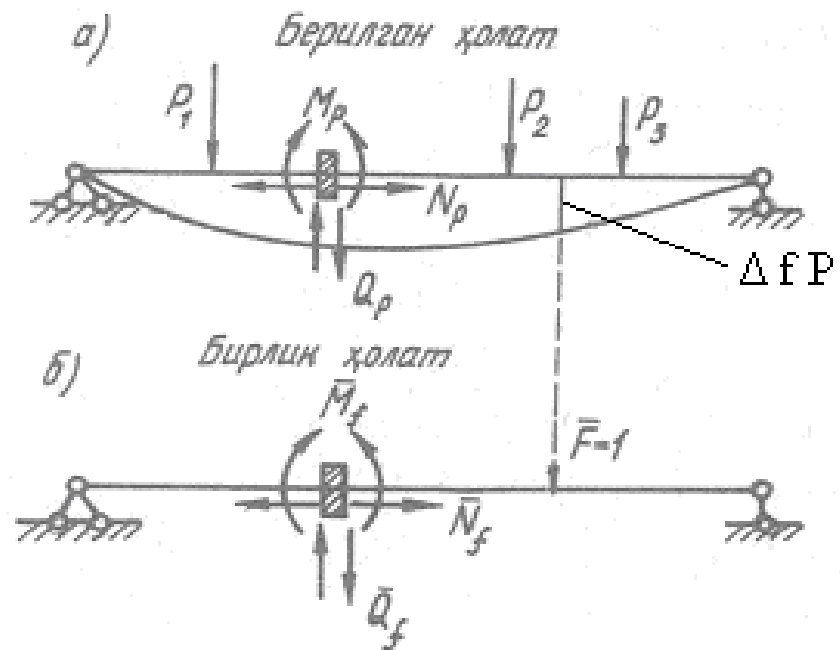
6.3. Кўчишларни аниқлаш учун Мор формуласи ва Верешчагин усули

Кўчишларни аниқлайдиган формулани келтириб чиқаришда бевосита ишлар учун чиқарилган формулалардан фойдаланамиз.

Бирор эластик системанинг, масалан, балканинг икки ҳолатини қўриб чиқамиз. Биринчи, яъни берилган ҳолатда балкага исталганча кучлар қўйилиши мумкин (6.10- расм, а). Иккинчи ҳолатда балкага бирлик куч $\bar{F} = 1$ қўйилади (6.10- расм, б).

Берилган кучлар таъсирида ҳосил бўлган Δ_{pf} кўчишнинг вужудга келишида иккинчи ҳолатдаги $\bar{F} = 1$ кучи қуйидаги ишни бажаради:

$$A_{fp} = \bar{F} \Delta_{fp} = 1 \Delta_{fp} = \Delta_{fp}.$$



6.10- расм

A_{fp} ни ички кучлар орқали ифода этсак,

$$\Delta_{fp} = A_{fp} = \sum \int_0^l \bar{M}_f \frac{M_p dx}{EJ} + \sum \int_0^l \bar{N}_f \frac{N_p dx}{EF} + \sum \int_0^l \bar{Q}_f \frac{Q_p dx}{GF} \eta \quad (6.7)$$

кўринишдаги кўчишларни аниқлаш формуласига, яъни *Mor* формуласига эга бўламиз.

Бу ерда M_p , N_p ва Q_p — берилган кучлардан ҳосил бўлган, \bar{M}_f , \bar{N}_f ва \bar{Q}_f бирлик кучдан ҳосил бўлган ички кучлардир.

Бирлик куч одатда кўчиши аниқланадиган нуқтага қўйилади. Агар чизиқли кўчиш (масалан, бирор нуқтанинг солқилиги) аниқланадиган бўлса, бирлик куч сифатида ўлчамсиз йиғиқ куч қабул қилинади, агар бурчакли кўчиш (масалан, бирор кесимнинг оғиш бурчаги) аниқланадиган бўлса, бирлик куч сифатида ўлчамсиз йиғиқ момент қабул қилинади. Ҳар иккала ҳолда ҳам бирлик куч кўчиши изланадиган нуқтага қўйилади.

Балка ва рамаларнинг кўчишларини аниқлашда бўйлама ва кўндаланг кучлар таъсирини эътиборга олмаса ҳам бўлади:

$$\Delta_{fp} = \sum \int_0^l \frac{\bar{M}_f M_p}{EJ} dx. \quad (6.8)$$

Оддий аркаларнинг кўчишларини аниқлашда эгувчи момент билан бўйлама кучнинг таъсири эътиборга олинса кифоя

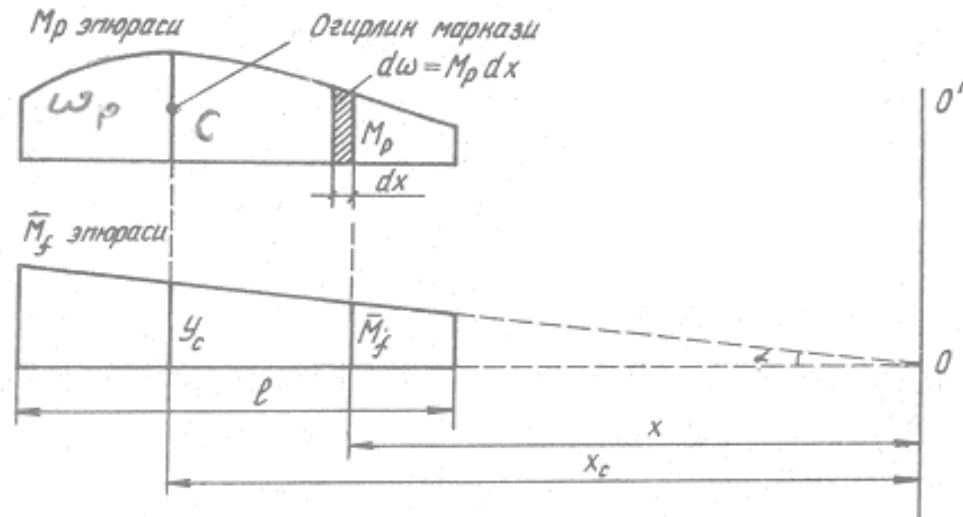
$$\Delta_{fp} = \sum \int_0^l \frac{\bar{M}_f M_p}{EJ} dx + \sum \int_0^l \frac{\bar{N} \cdot N_p}{EF} dx. \quad (6.9)$$

Фермаларнинг кўчишларини аниқлашда бўйлама кучларнинг таъсири эътиборга олинади, ҳолос

$$\Delta_{fp} = \sum \int_0^l \frac{\bar{N}_f N_p}{EF} dx. \quad (6.10)$$

Верешчагин усули. Маълумки, балка ва рамаларнинг кўчишларини аниқлашда Мор формуласининг биринчи хадидан фойдаланилади (6.8):

$$\Delta_{fp} = \int_0^l \frac{\bar{M}_f M_p}{EJ} dx. \quad (a)$$



6.11- расм

Интеграл чегарасида кесим ўзгармас бўлса, эгилишдаги бикирликни интегралдан ташқариға чиқариш мумкин

$$\Delta_{fp} = \frac{1}{EJ} \int_0^l \bar{M}_f M_p dx. \quad (6)$$

Бу ерда M_p ва \bar{M}_f — берилган ва бирлик кучлардан ҳосил бўлган эгувчи моментлар (6.11- расм). Кўпинча икки эпуранинг бири тўғри чизиқли

бўлади. Бундай ҳолларда $\int_0^l \bar{M}_f M_p dx$ интеграли осонгина ечилади; аникроғи

мазкур интегрални интегралсиз ифода билан алмаштириш имкони туғилади.

Шаклдан (6.11- расм):

$$\bar{M}_f = xtg\alpha \text{ ea } d\omega = M_p dx$$

Эканлигини ҳисобга олсак,

$$\int_0^l \bar{M}_f M_p dx = tg\alpha \int_0^l x M_p dx = tg\alpha \int_0^l x d\omega$$

келиб чиқади.

Бу ерда $\int_0^l x d\omega$ интеграли M_p эпюрасининг юзаси ω_p дан $0—0'$ ўкига

нисбатан олинган статик моментдир, яъни

$$\int_0^l x d\omega = \omega_p \cdot x_c .$$

Ўрнига қўямиз

$$\int_0^l \bar{M}_f M_p dx = x_c tg\alpha \cdot \omega_p$$

Бирок $x_c tg\alpha = y_c$ Эканлигини назарда тутсак,

$$\int_0^l \bar{M}_f M_p dx = \omega_p y_c \quad (e)$$

Келиб чиқади, натижада интеграл функция интегралсиз ифода билан алмашади.

(в) ифодасини (б) га қўйсак, куйидаги формула келиб чиқади:

$$\boxed{\Delta_{fp} = \frac{1}{EJ} \sum \omega_p y_c} \quad (e)$$

Бу ерда ар ω_p — эгувчи моментлар эпюрасининг юзаси;

y_c , — биринчи эпюранинг оғирлик марказига мос келган иккинчи эпюрадаги ордината.

Кўчишларни аниқлашнинг бу усулини 1925 йилда Москва темирийўллар транспорти муҳандислари институтининг толиби А. Н. Верешчагин таклиф этган.

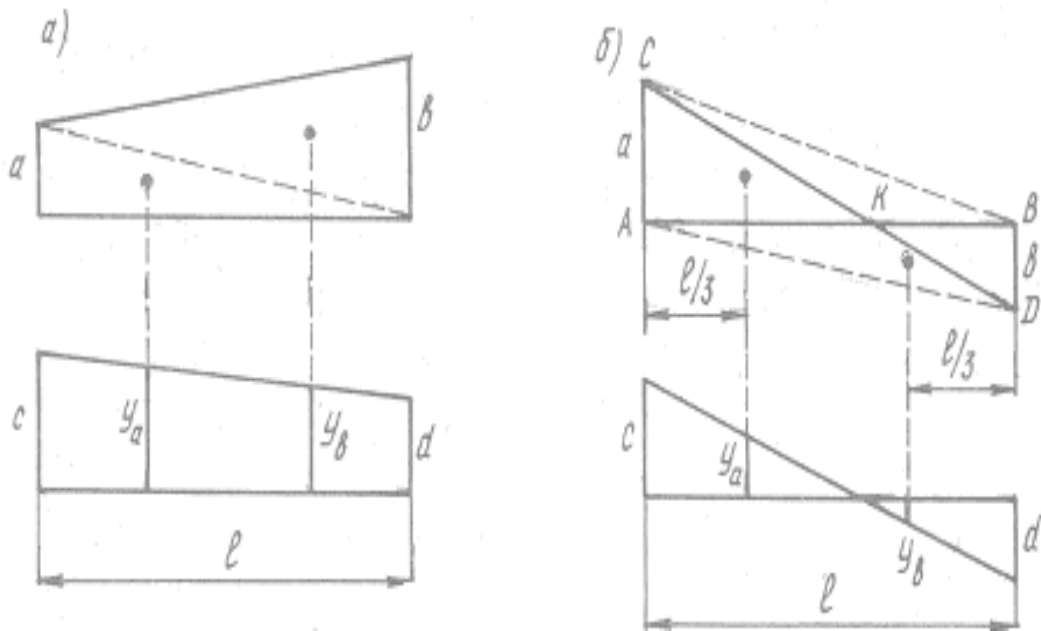
(г) дан кўринадики, ҳар иккала эпюра ўқнинг бир томонида жойлашса, кўчишнинг ишораси мусбат, ўқнинг турли томонларида жойлашса, ишора манфий бўлади. Шуни ҳам қайд этиш лозимки, ус ординатаси албатта тўғри чизиқли эпюрадан олиниши зарур. Агар ҳар иккала эпюра тўғри чизиқли бўлса, у ҳолда ординатани қайси эпюрадан олинишининг фарқи йўқ.

Трапеция шаклли икки эпюра кўпайтириладиган бўлса, улардан бирининг оғирлик марказини топиш ўрнига трапециялардан бирини иккита учбуручакка ажратган қулай. Бунда ажратилган учбуручаклардан юза олиниб, трапециядан шу учбуручакларнинг оғирлик марказларига мос бўлган ординаталар олинади (6.12- расм, а). Бу ҳол учун тайёр формула бор:

$$\frac{al}{2} y_a + \frac{bl}{2} y_b = \frac{l}{6} (2ax + 2bd + ad + bc).$$

Формуланинг чап томонида юза ва ординаталар кўпаймаси, ўнг томонида эса шу кўпайтманинг жавоби берилган.

Қавс ичида қуйидаги миқдорларнинг йиғиндиси берилган: эпюралар чап ординаталари кўпайтмасининг иккилангани, ўнг ординаталар кўпайтмасининг иккилангани, биринчи эпюра чап ординатасини иккинчи эпюра ўнг ординатасига кўпайтмаси, шунингдек биринчи эпюра ўнг ординатасини иккинчи эпюра чап ординатасига кўпайтмаси.



6.12- расм

Кўпайтириладиган эпюралардан бири ёки ҳар иккаласи турли ишорали учбурчаклардан ташкил топса, яна юқоридаги усулдан фойдаланилса бўлади (6.12- расм, б). Бунинг учун эпюралардан бирини АВС ва АВД учбурчакларига тўлдирамиз. Ҳосил бўлган СВК ва АКД учбурчакларининг ординаталари тенг ва ишоралари қарама-қарши бўлганлиги учун ҳисоб натижаларига таъсир этмайди.

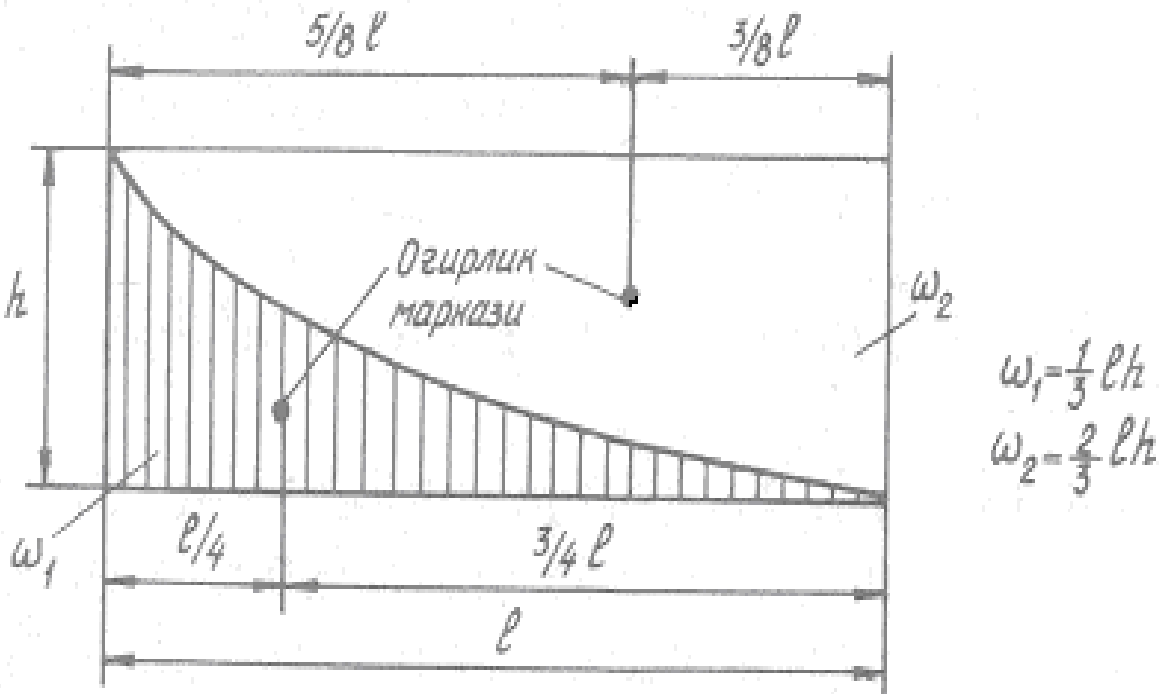
Эпюралар кўпайтмаси (6.12- расм, б) қуидаги формуладан топилади:

$$\frac{al}{2} y_a + \left(-\frac{bl}{2} \right) (-y_b) = \frac{al}{2} y_a + \frac{bl}{2} y_b .$$

Кўчишларни Верешчагин усулида аниқлагандা, турли шаклларнинг юзалари ва оғирлик марказларини топишга тўғри келади.

Оддий геометрик шаклларнинг юза ва оғирлик марказларини аниқлаш ўқувчига ўрта мактабдан маълум.

6.13- расмда параболик эпюранинг юзаси ва оғирлик марказлари берилган.



6.13- расм

Верешчагин усулини бикирлиги ўзгармас бўлган балка ва рамаларда кўллаш мақсадга мувофикдир. Агар бикирлик элементнинг узунлиги бўйлаб ўзгарувчан бўлса, у ҳолда EI ни интегралдан ташқарига чиқариб бўлмайди, шу сабабли Верешчагин формуласидан фойдаланиб бўлмайди. Бундай ҳолларда кўчишлар Мор интегралини бевосита ечиш йўли билан аниқланади.

6.4. Ҳароратнинг ўзгаришидан ва таянчларнинг

чўкишидан ҳосил бўладиган кўчишлар

Статик аниқ системаларда ҳароратнинг ўзгариши стерженда кўчишлар пайдо бўлишига олиб келади. Масалан, ҳарорат таъсирида стержень ўзайиши, қисқариши ва қийшайиши мумкин. Ҳароратнинг ўзгариши статик аниқ системаларда қўшимча зўриқишлиар пайдо қилмайди.

Юқорида кўриб ўтилган Мор формуласини (6.7) ҳарорат таъсирида ҳосил бўлган кўчишларни аниқлаш масаласига татбик этамиз.

Ҳарорат таъсирида бўлган иншоотдан бирор dx бўлакчани ажратиб олайлик. Бўлакчанинг устки толаларининг ҳарорати t_1 пастки толаларининг

ҳарорати эса t_2 бўлсин. Ҳарорат бўлакчанинг кўндаланг кесимида бир текисда тўғри чизик қонуни бўйича тарқалган дейлик (6.14- расм, а).

Ҳарорат таъсиридаги чизикли кенгайиш коэффициенти α бўлса, бўлакчанинг устки толаси $a t_1 dx$ га, пастки толаси эса $a t_2 dx$ масофага узаяди (6.14- расм, б).

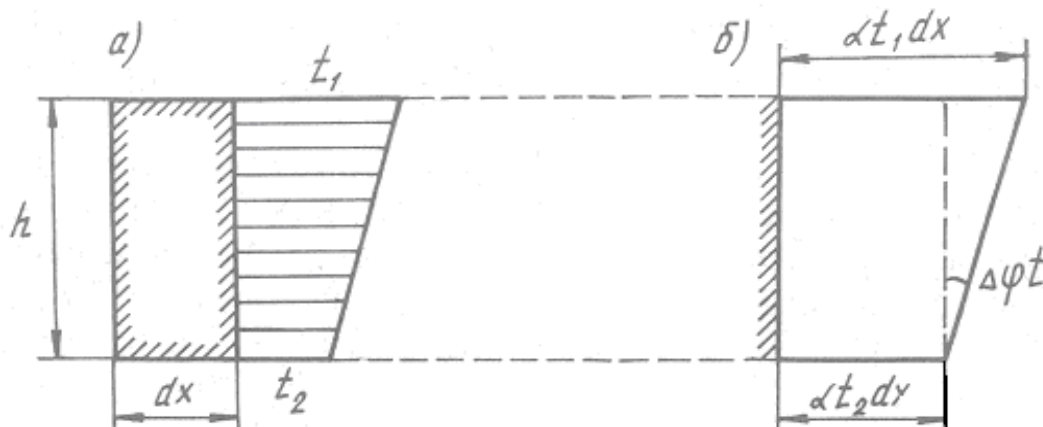
Агар кесим горизонтал ўқка нисбатан симметрик бўлса, у холда бўлакчанинг ҳарорат таъсирида ўртача ўзайиши

$$\Delta_{xt} = \frac{\alpha(t_1 - t_2)}{2} dx \quad \text{бўлади.}$$

Бўлакчанинг кўндаланг кесимлари бир-бирига нисбатан

$$\Delta_{pt} = \frac{\alpha(t_1 - t_2)}{h} dx$$

бурчакка оғади.



6.14- расм

Ҳарорат таъсирида силжиш деформацияси рўй бермайди.

Буларни эътиборга олсак, Мор формуласи (6.7) қуидидаги кўринишга келади:

$$\Delta_{pt} = \sum \alpha \frac{t_1 - t_2}{h} \int_0^l M_p dx + \sum \alpha \frac{t_1 + t_2}{2} \int_0^l N_p dx \quad (6.11)$$

Агар стерженларнинг кўндаланг кесимлари ўзгармас бўлса, интеграллар бирлик эпюраларининг юзалари сифатида ҳисоблаб топилиши мумкин, у ҳолда ҳарорат таъсирида вужудга келган кўчишларни аниқлаш формуласи куидаги содда кўринишни олади:

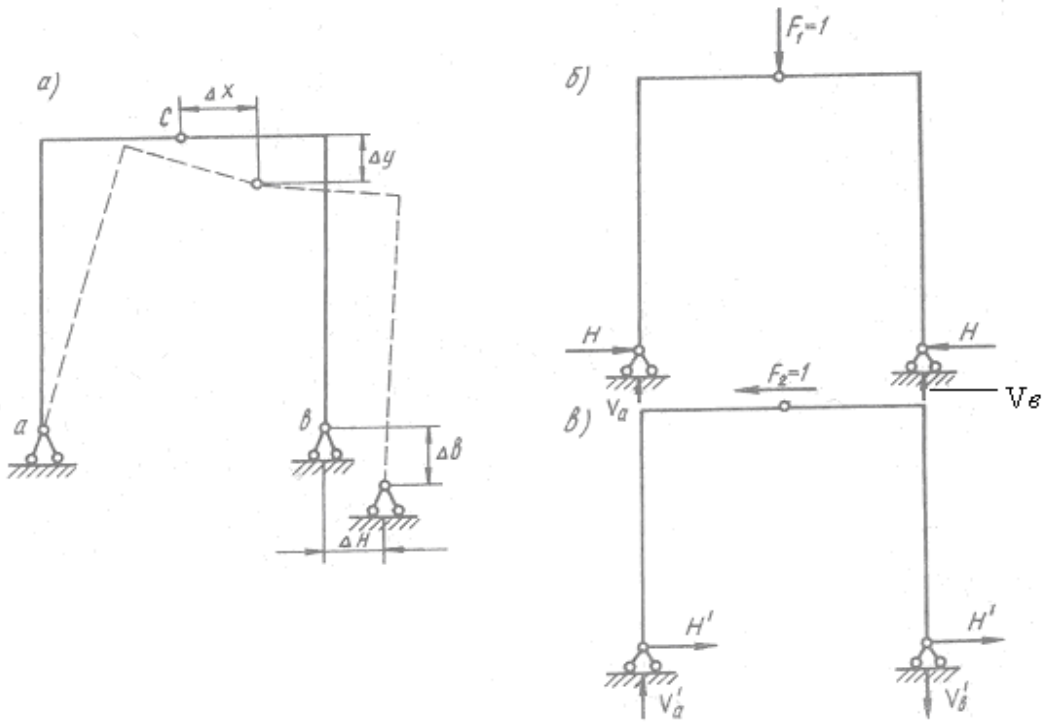
$$\Delta_{pt} = \sum \alpha \frac{t_1 - t_2}{h} \omega_{\bar{M}} + \sum \alpha \frac{t_1 + t_2}{2} \omega_{\bar{N}} \quad (6.12)$$

Бу ерда $\omega_{\bar{M}}$ ва $\omega_{\bar{N}}$ — бирлик эпюралар \bar{M} ва \bar{N} нинг юзалари.

(6.12) формула таркибидаги ҳадларнинг ишораси деформациянинг йўналишига боғлиқ: агар ҳарорат таъсирида вужудга келган кўчишнинг йўналиши бирлик куч таъсирида вужудга келган кўчиш йўналиши билан бир хил бўлса, ишора мусбат, акс ҳолда манфий олинади.

Таянчларнииг чўкишидан ҳосил бўладигаи кўчишлар. Статик аниқ системаларда таянчларнинг чўкиши иншоотда қўшимча зўриқишлиар пайдо қилмайди. Таянчларнинг қўчиши эса тупроқнинг ўтириши, сув босиши ёки силжиши сингари турли сабаблар таъсирида рўй бериши мумкин.

Мисол тариқасида 6.15- расмда тасвирланган уч шарнирли рамани кўриб ўтамиз. Раманинг B таянчи чўқди деб фараз этайлик. Чўкишнинг вертикал Δ_b ва горизонтал Δ_n ташкил этувчилари маълум деб қарайлик. Ўртадаги C шарнирининг ҳолатини аниқлаш талаб этилади (6.15- расм, а). Шарнирнинг вертикал кўчишини Мор формуласи бўйича аниқлаш учун C нуқтасига вертикал йўналишда бирлик куч $F_1=1$ ни қўямиз (6.15- расм, б).



6.15- расм

Бирлик ҳолат кучларининг ҳақиқий ҳолат кўчишларини вужудга келишида бажариши мумкин бўлган ишлари йиғиндиси қуидагича ифодаланади:

$$1\Delta_y - V_b \Delta_b - H \Delta_H = 0.$$

Бу тенгламадан изланаётган кўчиш аниқланади

$$\Delta_y = V_b \Delta_b + H \Delta_H$$

Демак, мазкур кўчиш таянчларнинг чўкишига бевосита боғлиқ экан.

Горизонтал кўчиш Δ_x ни аниқлаш учун C шарнирига $F_2=1$ кучини қўямиз (6.15- расм, в). Мор теоремаси асосида қуидаги ишлар тенгламасини тузамиз:

$$1\Delta_x + V'_b \cdot \Delta_b + H' \Delta_H = 0 ,$$

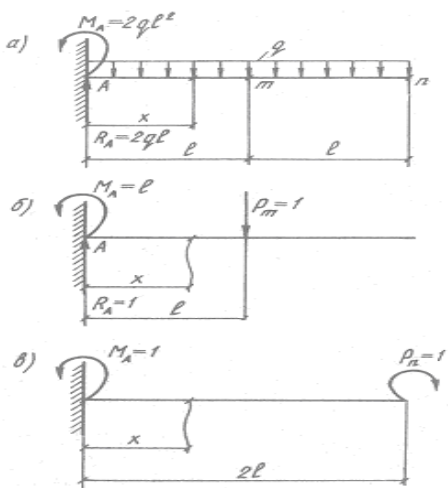
бу ердан

$$\Delta_x = -V'_b \Delta_b - H' \Delta_H$$

келиб чиқади.

Қуида кўчишларни аниқлашга доир мисоллар кўриб ўтамиз.

1- мисол. 6.16 – расм, *a* да берилган балканинг *B* кесими учун бурилиш бурчаги (угол поворота) φ_B аниқлансан. Балканинг бикрлиги EJ ўзгармас.



6.16- расм

Ечиш. Балканинг 1-холати (ҳақиқий холат) 6.16- расм, *a* да тасвиirlанган. Иккинчи холатда балкани берилган кучларсиз тасвиirlаймиз (6.16- расм, *b*) ва бурилиш бурчагини аниқлаш талаб этилган кесимга $M = 1$ моментини қўямиз (агар кўчишни аниқлаш талаб этилганида шунуктага бирлик куч қўйган бўлар эдик). 6.16- расм, *c* да бурилиш бурчаги φ_B кўрсатилган.

Маълумки, эгилган ўққа ўтказилган уринма билан балканинг горизонтал ўқи орасидаги бурчак бурилиш бурчаги, деб аталади. Шу уринмага тик бўлган чизиқ билан вертикал ўқ орасидаги бурчак ҳам бурилиш бурчаги бўлади.

Балканинг 1-холатидаги ихтиёрий кесимда ҳосил бўлган эгувчи момент

$$M_1 = -qx \cdot \frac{x}{2} = -\frac{qx^2}{2}.$$

Иккинчи холатда

$$\bar{M}_2 = -M = -1$$

Буларни Мор формуласининг биринчи ҳадига қўйиб, бурилиш бурчагини аниқлаймиз:

$$\begin{aligned} \Delta_{21} = \varphi_B &= \frac{1}{EJ} \int_0^l M_1 \bar{M}_2 dx = \frac{1}{EJ} \int_0^l (-1) \cdot \left(-\frac{qx^2}{2}\right) dx = \frac{q}{2EJ} \int_0^l x^2 dx = \\ &= \frac{q}{2EI} \left| \frac{x^3}{3} \right|_0^l = \frac{ql^3}{6EI} = \frac{20 \cdot 5^3}{6EI} = \frac{417}{EI}. \end{aligned}$$

2-мисол. 6.17- расм, *a* да берилган балканинг *B* учи солқилиги аниқлансан.

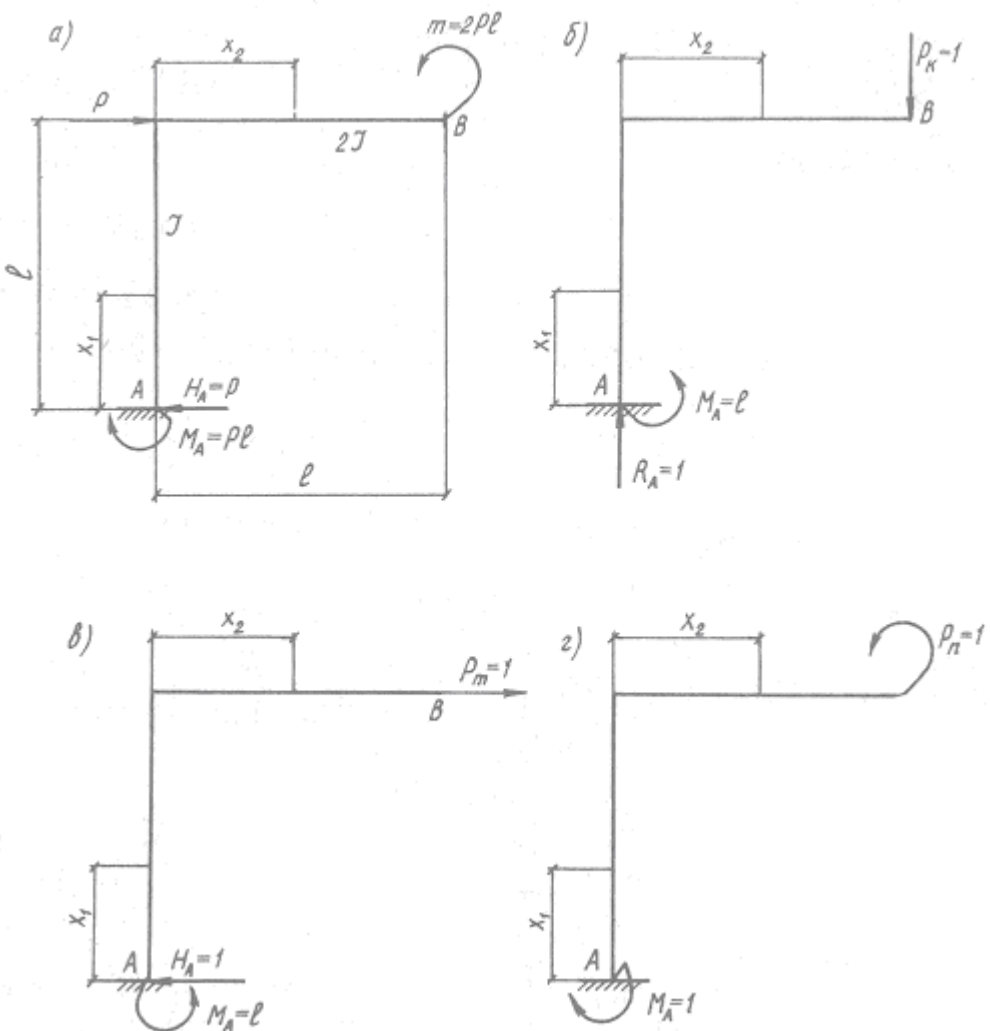
Ечиш. Балканинг 1 – ҳолатида ташқи кучлар, 2 – ҳолатида эса солқилиги (прогиб) аниқланаётган нуқтага бирлик куч ($P=I$) қўйилган.

Ҳақиқий ҳолатда балка иккита участкага эга. CB участкаси учун $M_I = -Px$, AC участкаси учун $M_1 = -Px = P(x-b) = -2Px + Pb$.

Иккинчи ҳолатда ҳар иккала участка учун $\bar{M}_2 = -1 \cdot x = -x$.

Изланаётган кўчиш (солқилик)

$$\begin{aligned} \Delta_{21} = y_B = f &= \frac{1}{EI} \left[b \int_0^l -x(-Px) dx + \int_0^l -x(-2Px + Pb) dx \right] = \frac{1}{EI} \\ &\left(P \int_0^b x^2 \cdot dx + 2P \int_0^l x^2 \cdot dx - Pb \int_0^b x dx \right) = \frac{1}{EI} \left(P \left| \frac{x^3}{3} \right|_0^b + 2P \left| \frac{x^3}{3} \right|_b^l - Pb \right. \\ &\left. \left| \frac{x^2}{2} \right|_b^l \right) = \frac{P}{6EI} (2b^3 + 4l^3 - 4b^3 - 3bl^2 + 3b^3) = \frac{P}{6EI} (b^3 + 4l^3 - 3bl^2) = \\ &= \frac{20}{6EI} (2^3 + 4 \cdot 5^3 - 3 \cdot 2 \cdot 5^2) = \frac{1193,3}{EI}. \end{aligned}$$



6.17- расм

З- мисол. 6.18- расм, а да берилган ферманинг «K» түгүнидаги вертикальва горизонтал күчишлар аниқлансын. Стерженлар бикирлиги ўзаро тенг деб қабул қилинсін.

Ечиш. Мор формуласи

$$\Delta_{ip} = \sum \frac{N_i^0 \cdot \bar{N}_i^k l_i}{EJ}$$

га кўра қуидаги амалларни бажаришимиз зарур:

1. Ташқи кучдан ферма стерженларидаги зўриқишишларни аниқлаймиз. Таянч реакциялари $R_A = P; R_B = P; \text{ ва } H_A = 3P$ қийматларига эга. Ҳисоблаш учун зарур бўладиган ферманинг геометрик параметрлари:

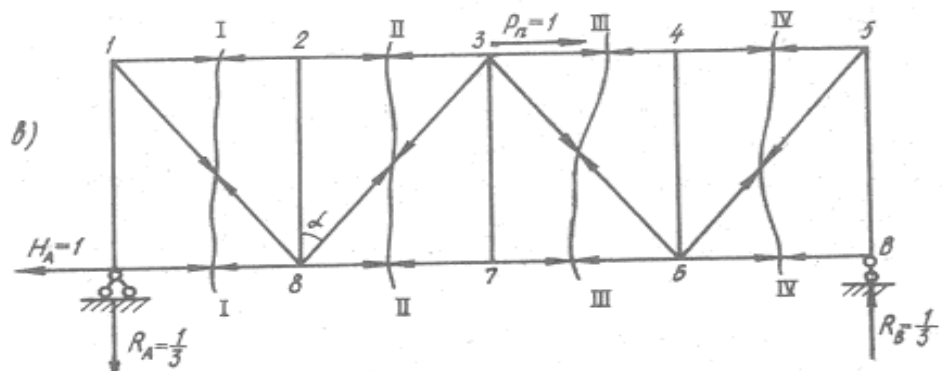
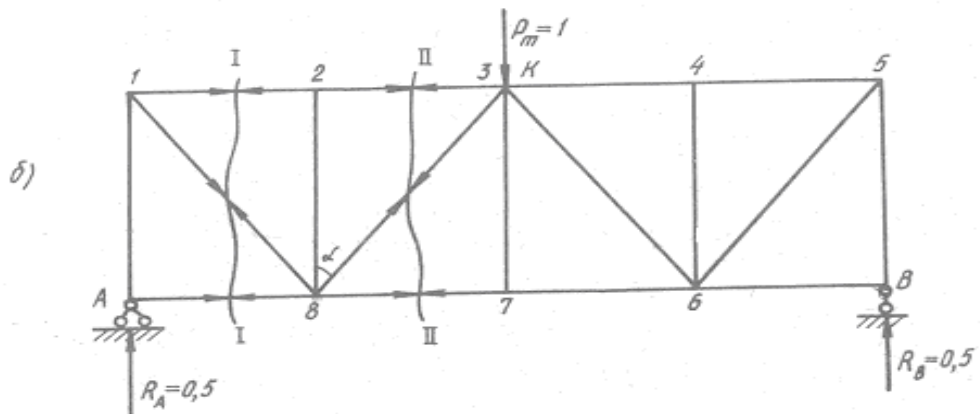
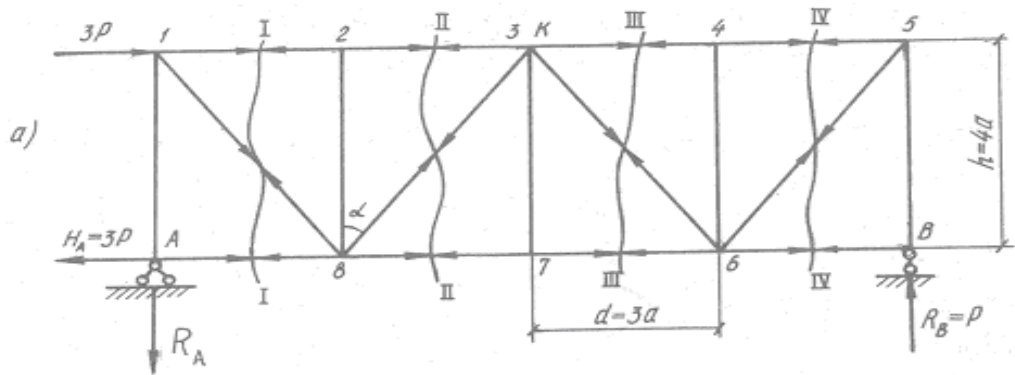
$$l_{18} = l_{38} = l_{36} = l_{56} = \sqrt{h^2 + d^2} = \sqrt{(4a)^2 + (3a)^2} = 5a;$$

$$\cos \alpha = \frac{l_{28}}{l_{38}} = \frac{4a}{5a} = 0,8.$$

A, 2, 7, 4 ва B тугунларнинг мувозанат шартларидан фойдаланиб, қуийдаги зўриқишишлар топилади:

$$N_{1A}=P; N_{8A}=3P; N_{5B}=-P; N_{28}=0; N_{37}=0;$$

$$N_{46}=0; N_{6B}=0; N_{12}=N_{23}; N_{78}=N_{6-7}; N_{34}=N_{45}.$$



6.18- pacM

I – I кесимнинг ўнг қисми мувозанатидан:

$$\sum Y = 0; N_{18} \cdot \cos \alpha + P = 0; \quad N_{18} = -\frac{P}{\cos \alpha} = -\frac{P}{0,8} = -1,25P;$$

$$\sum m_8 = 0; \quad -N_{12} \cdot h - R_b \cdot 3d = 0; \quad N_{12} = \frac{-R_b \cdot 3d}{h} = -\frac{3 \cdot 3a}{4a} P = 2,25P;$$

$$N_{23} = -2,25P.$$

II – II кесимнинг ўнг қисми мувозанатидан:

$$\begin{aligned}\sum \delta &= 0; N_{38} \cdot \cos \alpha - P = 0; \quad N_{38} = -\frac{P}{\cos \alpha} = 1,25P; \\ \sum m_3 &= 0; \quad N_{78} \cdot h - P \cdot 2d = 0; \quad N_{78} = \frac{2Pd}{h} = \frac{2P \cdot 3a}{4a} = 1,5P; \\ N_{78} &= 1,5P; \quad N_{67} = 1,5P.\end{aligned}$$

III – III кесимнинг ўнг қисми мувозанатидан:

$$\begin{aligned}\sum y &= 0; \quad N_{36} \cdot \cos \alpha + P = 0; \quad N_{36} = -\frac{P}{\cos \alpha} = -1,25P; \\ \sum m_6 &= 0; \quad N_{34}h + P \cdot d = 0; \quad N_{34} = -\frac{Pd}{h} = -\frac{P \cdot 3a}{4a} = -0,75P; \\ N_{45} &= -0,75P.\end{aligned}$$

IV – IV кесимнинг ўнг қисми мувозанатидан:

$$\sum y = 0; \quad N_{56} \cdot \cos \alpha - P = 0; \quad N_{56} = \frac{P}{\cos \alpha} = 1,25P.$$

2. Ферманинг K тугунига вертикал йўналишда қўйилган бирлик куч таъсирида стерженларда ҳосил бўладиган зўриқишиларни аниқлаймиз (6.18-расм, б).

Таянч реакциялари $R_A = R_B = \frac{1}{2} = 0,5$; $H_A = 0$ бўлади. Бу ерда ферма ва юкнинг симметриклиги эътиборга олинади. A, 2, 7, 4 тугунлар мувозанатидан фойдаланиб, қўйидаги зўриқишилар аниқланади:

$$\begin{aligned}N_{1A} &= N_{5B} = -0,5; \quad N_{8A} = N_{6B} = 0; \quad N_{28} = 0; \quad N_{37} = 0; \quad N_{46} = 0; \\ N_{12} &= N_{23} = N_{34} = N_{45}; \quad N_{78} = N_{67}; \quad N_{18} = N_{56}; \quad N_{38} = N_{36}.\end{aligned}$$

I – I кесимнинг чап қисми мувозанатидан:

$$\sum y = 0; N_{18} \cdot \cos \alpha - 0,5 = 0; N_{18} = \frac{0,5}{\cos \alpha} = \frac{0,5}{0,8} = 0,625.$$

$$\sum m_8 = 0; N_{12} \cdot h + 0,5 \cdot d = 0; N_{12} = \frac{0,5d}{h} = -\frac{0,53a}{4a} = -0,375;$$

$$N_{23} = N_{34} = N_{45} = N_{12} = -0,375.$$

II – II кесимнинг чап қисми мувозанатидан:

$$\sum y = 0; N_{38} \cdot \cos \alpha + 0,5 = 0; N_{38} = -\frac{0,5}{\cos \alpha} = -0,625; N_{38} = -0,625;$$

$$\sum m_3 = 0; N_{7-8} \cdot h - 0,5 \cdot 2d = 0; N_{78} = \frac{0,5 \cdot 2 \cdot 3a}{4a} = 0,75; N_{76} = 0,75.$$

3. Ферманинг K тугунига горизонтал йўналишда қўйилган бирлик куч таъсирида стерженларда ҳосил бўладиган зўриқишлиарни аниқлаймиз (6.18, в).

Таянч реакциялари:

$$\sum x = 0; H_A - 1 = 0; H_A = 1,$$

$$\sum m_A = 0; R_B \cdot 4d - P_1 \cdot h = 0; R_b = \frac{P_n h}{4d} = \frac{P_n 4a}{4 \cdot 3a} = \frac{P_n}{3} = \frac{1}{3};$$

$$\sum y = 0; R_A - R_B = 0; R_A = R_B = \frac{1}{3}.$$

A, 2, 7, 4, B тугунлар мувозанатидан фойдаланиб қуидагиларни аниқлаймиз:

$$N_{1-A} = R_A = \frac{1}{3}; N_{5-B} = -R_B = -\frac{1}{3}; N_{8-A} = H_A = 1; N_{6-B} = 0.$$

$$N_{28} = 0; N_{3-7} = 0; N_{46} = 0; N_{12} = N_{23}; N_{34} = N_{45}; N_{7-8} = N_{6-7}.$$

I – I кесимнинг чап қисми мувозанатидан:

$$\sum y = 0; N_{18} \cdot \cos \alpha + \frac{1}{3} = 0; N_{18} = -\frac{1}{3 \cos \alpha} = -\frac{1}{3 \cdot 0,8} = -\frac{-1,25}{3} = -\frac{1,25}{3} = -0,417;$$

$$\sum m_8 = 0; N_{12} \cdot h - \frac{1}{3} d = 0; N_{12} = \frac{d}{3h} = \frac{3a}{3 \cdot 4a} = 0,25; N_{23} = 0,25.$$

II – II кесимнинг чап қисми мувозанатидан:

$$\sum y = 0; N_{38} \cdot \cos \alpha - \frac{1}{3} = 0; N_{38} = \frac{1}{3 \cos \alpha} = \frac{1}{3 \cdot 0,8} = \frac{1,25}{3} = 0,417.$$

III – III кесимнинг ўнг қисми мувозанатидан:

$$\sum y = 0; N_{36} \cdot \cos \alpha + \frac{1}{3} = 0; N_{36} = -\frac{1}{3 \cos \alpha} = -\frac{1}{3 \cdot 0,8} = -0,417;$$

$$\sum m_6 = 0; N_{34} \cdot h + \frac{1}{3} d = 0; N_{34} = -\frac{d}{3h} = -\frac{3a}{3 \cdot 4a} = -0,25; N_{45} = -0,25;$$

$$\sum m_3 = 0; N_{67} \cdot h - \frac{1}{3} 2d = 0; N_{67} = \frac{2d}{3h} = \frac{2 \cdot 3a}{3 \cdot 4a} = 0,5; N_{78} = 0,5.$$

IV – IV кесимнинг ўнг қисми мувозанатидан:

$$\sum y = 0; N_{56} \cdot \cos \alpha - \frac{1}{3} = 0; N_{56} = \frac{1}{3 \cos \alpha} = \frac{1}{3 \cdot 0,8} = 0,417;$$

4. Ҳисобнинг давоми 6.1 – жадвалда келтирилган:

6.1 – жадвал

	N _{Pi}	l _i	\bar{N}_m	\bar{N}_n	N _{ip} N _{im} l _i	N _{ip} N _{in} l _i
N ₁₂	- 2,25P	3a	-0,375	0,25	2,53 Pa	-1,69 Pa
N ₂₃	- 2,25P	3a	-0,375	0,25	2,53 Pa	-1,69 Pa
N ₃₄	- 0,75P	3a	-0,375	-0,25	0,84 Pa	0,56 Pa
N ₄₅	- 0,75P	3a	-0,375	-0,25	0,84 Pa	0,56 Pa
N _{8A}	3P	3a	0	1	0	9 Pa
N ₇₈	1,5P	3a	0,75	0,5	3,375 Pa	2,25 Pa
N ₆₇	1,5P	3a	0,75	0,5	3,375 Pa	2,25 Pa
N _{6B}	O	3a	0	0	0	0
N _{1A}	P	4a	-0,5	1/3	-2 Pa	1,33 Pa
N ₂₈	O	4a	0	0	0	0
N ₃₇	O	4a	0	0	0	0
N ₄₆	O	4a	0	0	0	0
N _{5B}	-P	4a	0,5	-1/3	2 Pa	1,33 Pa
N ₁₈	-1,25P	5a	0,625	-0,417	-3,9 Pa	2,6 Pa
N ₃₈	-1,25P	5a	-0,625	0,417	-3,9 Pa	2,6 Pa
N ₃₆	-1,25P	5a	-0,625	-0,417	3,9 Pa	1,6 Pa
N ₅₆	1,25P	5a	0,625	0,417	3,9 Pa	2,6 Pa

					13,49 Pa	24,3 Pa
--	--	--	--	--	----------	---------

Ферма “К” тугуанининг вертикал кўчиши

$$\Delta_{mp} = \sum \frac{N_{pi} N_{ni} l_i}{EF} = \frac{13,49 Pa}{EF}$$

горизонтал кўчиши

$$\Delta_{np} = \sum \frac{N_{pi} N_{ni} b_i}{EF} = \frac{24,3 P_a}{EF} \quad \text{бўлади.}$$

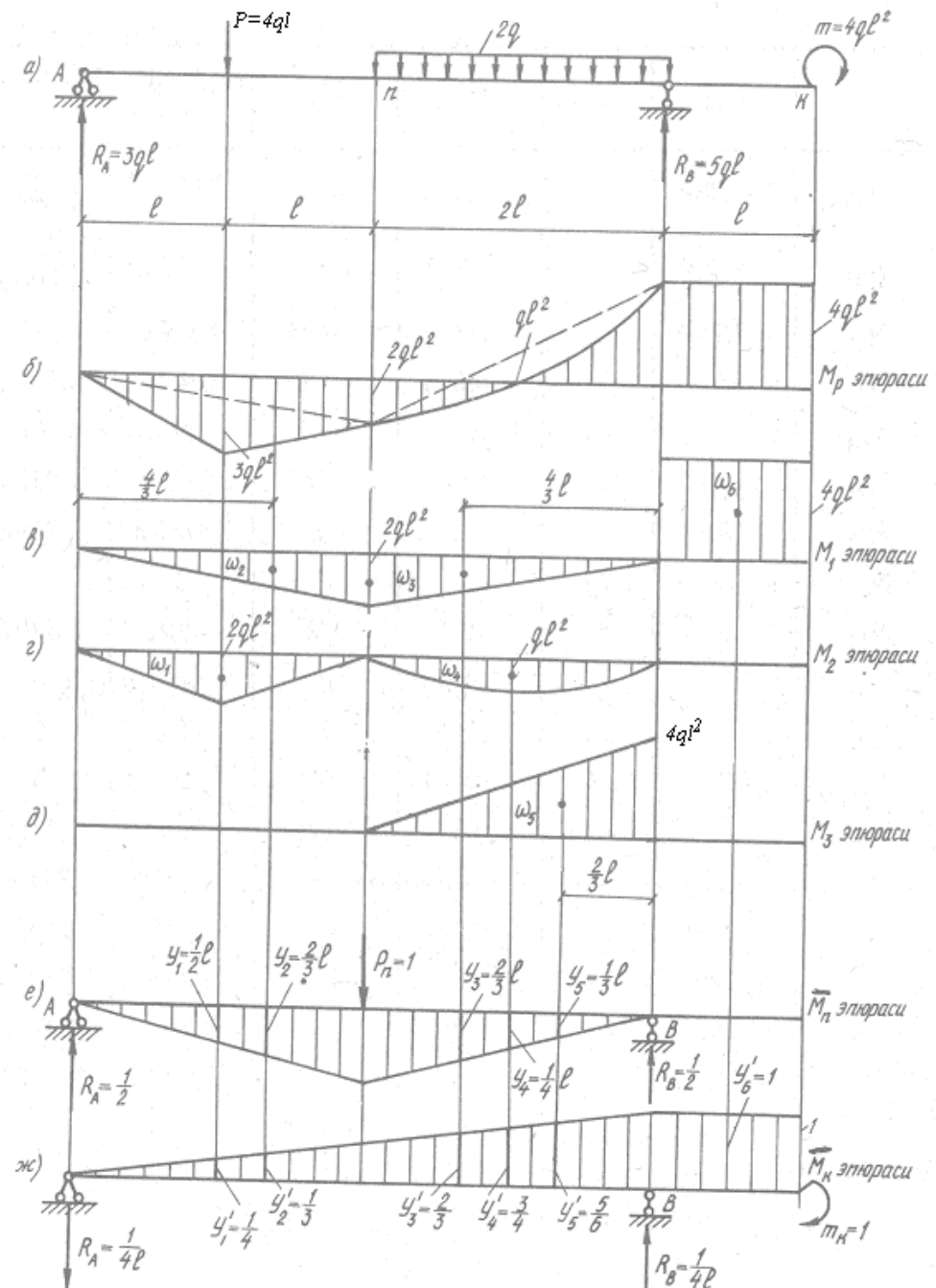
4- мисол. Берилган юклар таъсирида балканинг n кесимини вертикал кўчиши ва К кесимини бурчакли кўчиши Верешчагин усулида аниқлансан. Балканинг бикирлиги унинг бутун узунлиги бўйича ўзгармас (6.19- расм, а).

Ечиш. 1. Берилган юклар таъсирида балканинг эгувчи моментлар эпюрасини, оғирлик маркази аниқ ва юзаларини ҳисоблаш осон бўлган, оддий эпюралар (M_1, M_2, M_3) га ажратамиз (6.19- расм, в, г, д).

2. Юкланмаган балкаларнинг бирига вертикал йўналишда бирлик куч ($P_n = 1$), иккинчисига бирлик момент ($m_k = 1$) қўямиз ҳамда \bar{M}_n ва \bar{M}_k эпюраларини қурамиз. \bar{M}_n ва \bar{M}_k эпюраларидан, юкоридаги оддий юзаларнинг оғирлик марказларига мос келадиган ($y_1, y_2, y_3, y_4, y_5, y_6$ аҳа $y'_1, y'_2, y'_3, y'_4, y'_5, y'_6$) ординаталарни аниқлаймиз (6.19- расм е, ж).

3. Верешчагин қоидасига (6.11) амал қилиб, кўчишларни топамиз. Балканинг n кесимидағи вертикал кўчиш

$$\begin{aligned} \Delta_{np} = \sum \int \frac{M_p \cdot \bar{M}_n}{EJ} dx &= \frac{1}{EJ} \sum \omega_i y_i = \frac{1}{EJ} \left(\frac{1}{2} 2ql^2 \cdot 2l \cdot \frac{1}{2} l \right) + \frac{1}{2} 2ql^2 \cdot 2l \cdot \frac{q}{3} l + \\ &+ \frac{1}{2} 2ql^2 \cdot 2l \cdot \frac{1}{3} l + \frac{2}{3} ql^2 2l \cdot \frac{1}{2} l - \frac{1}{2} 4ql^2 \cdot 2l \cdot \frac{1}{3} l = \frac{ql^4}{EJ} \left(1 + \frac{4}{3} + \frac{4}{3} + \frac{2}{3} - \frac{4}{3} \right) = \frac{3ql^4}{EJ}; \end{aligned}$$



6.19- расм

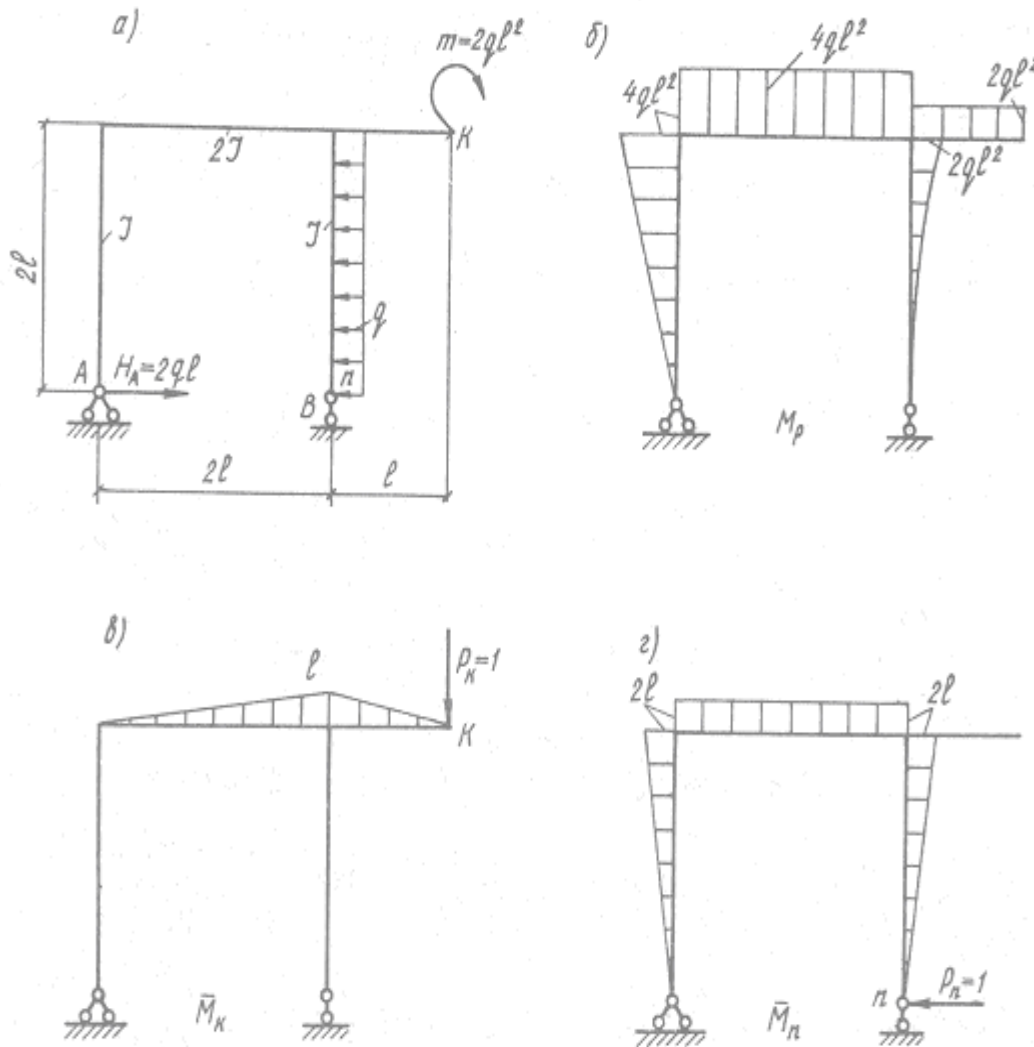
Балканинг K кесимидағи бурчакли қўчиш

$$\Delta_{kp} = \sum \int \frac{M_p \cdot M_k}{EJ} dx = \frac{1}{EJ} \sum \omega_{\omega_i \delta_i} = \frac{1}{EJ} \left(-\frac{1}{2} 2ql^2 \cdot 2l \frac{1}{4} - \frac{1}{2} 2ql^2 \cdot 2l \cdot \frac{1}{3} - \frac{1}{2} 2ql^2 \cdot 2l \frac{2}{3} - \right.$$

$$- \frac{2}{3} ql^2 \cdot 2l \frac{3}{4} + \frac{1}{2} 4ql^2 \cdot 2l \frac{5}{6} + 4ql^2 \cdot l \cdot 1 \left) = \frac{ql^3}{EJ} \left(-\frac{1}{2} - \frac{2}{3} - \frac{4}{3} - 1 + \frac{10}{3} + 4 \right) = \frac{23}{6} \frac{ql^3}{EJ} \right).$$

5- мисол. Раманинг K нуқтасининг вертикал қўчиши ва n нуқтасининг горизонтал қўчиши Верешчагин усулида аниқлансин (6.20- расм, а).

Ечиш. Берилган юклардан эгувчи моментлар эпюраси M_p ни қурамиз (6.20- расм, б). Изланаётган йўналишда бирлик кучлар (P_k, P_n) қўйиб, бирлик эгувчи момент эпюралари \bar{M}_k ва \bar{M}_n ни қурамиз (6.20- расм, в, г).



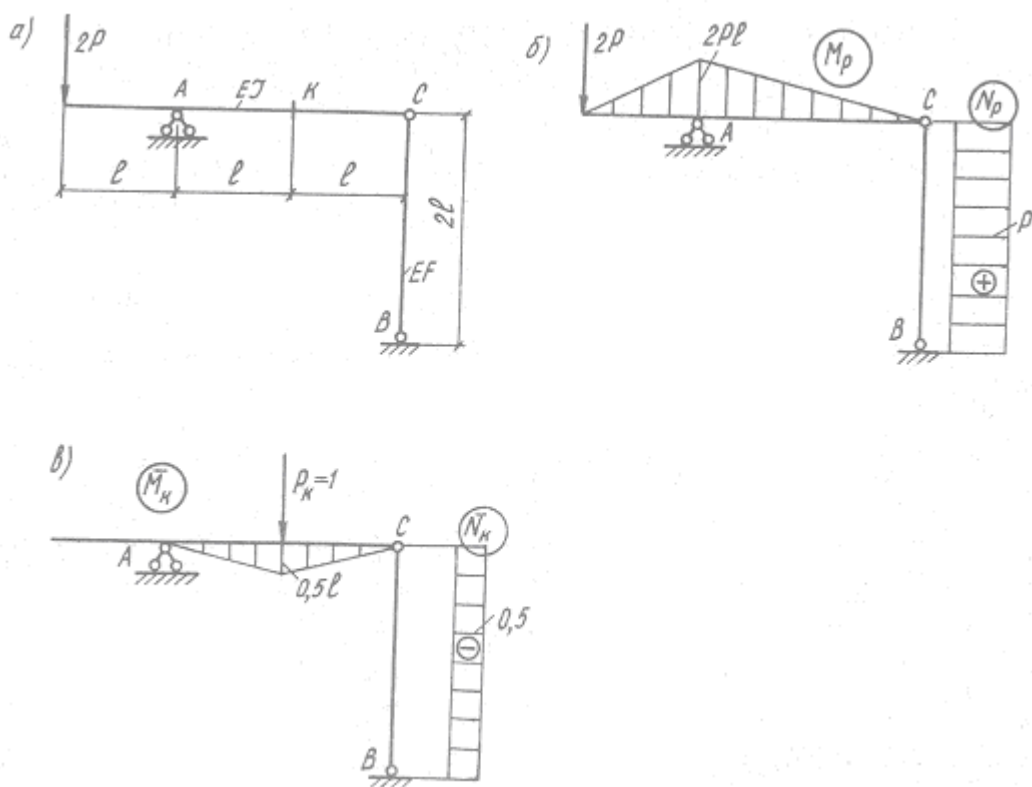
6.20- расм

M_p эпюрасини алоҳида равишда \bar{M}_k ва \bar{M}_n эпюраларига кўпайтириб, изланадиган кўчишларни аниқлаймиз. Вертикал кўчиш:

$$\Delta_{pk} = \sum \int \frac{M_p \bar{M}_k}{EJ} dx = \frac{1}{EJ} \sum \omega_i y_i = \frac{1}{2EJ} 4ql^2 \cdot 2l \cdot \frac{1}{2}l + \frac{1}{2EJ} 2ql^2 \cdot l \cdot \frac{1}{2}l = \frac{2ql^4}{EJ} + \frac{ql^4}{2EJ} = \frac{5}{2} \frac{ql^4}{EJ}$$

Горизонтал кўчиш:

$$\begin{aligned} \Delta_{ip} &= \sum \int \frac{M_p \bar{M}_n}{EJ} dx = \frac{1}{EJ} \sum \omega_i y_i = \frac{1}{EJ} \frac{1}{2} 4ql^2 \cdot 2l \frac{2}{3} 2l + \\ &\quad \frac{1}{2EJ} 4ql^2 \cdot 2l \cdot 2l + \frac{1}{EJ} \frac{2}{3} \cdot 2ql^2 \cdot 2l \frac{3}{4} 2l = \frac{16}{3} \frac{ql^4}{EJ} + \frac{8ql^4}{EJ} + \frac{4ql^4}{EJ} = \frac{52}{3} \frac{ql^4}{EJ} \end{aligned}$$



6.21- расм

6- мисол. «K» нуқтасининг вертикал кўчиши аниқлансин. Балка А нуқтада шарнирли қўзғалмас таянч ва С нуқтада ВС стержень (тортқич) ёрдамида маҳкамланган. Балканинг бикирлиги EI, стерженнинг бикирлиги EF (6.21- расм, а).

Ечиш. Балка эгилишга, стержень эса чўзилишга ишлайди. Кўчишни аниқлашда Мор формуласининг икки ҳадидан фойдаланамиз:

$$\Delta_{kp} = \int_0^{2l} \frac{M_p \bar{M}_k dx}{EJ} + \int_0^l \frac{N_p \bar{N}_k d_x}{EF}$$

Берилган кучдан эгувчи момент (M_p) ва бўйлама кучлар (N_p) эпюраларини кўрамиз (6.21- расм, б, в).

Изланаётган кўчиш йўналишида балкага бирлик куч ($P_k = I$) қўйиб бирлик эгувчи моментлар (\bar{M}_k) ва бирлик бўйлама кучлар (\bar{N}_k) эпюраларини кўрамиз: (6.21- расм, в).

Кўчишни Верешчагин қоидаси ёрдамида аниқлаймиз:

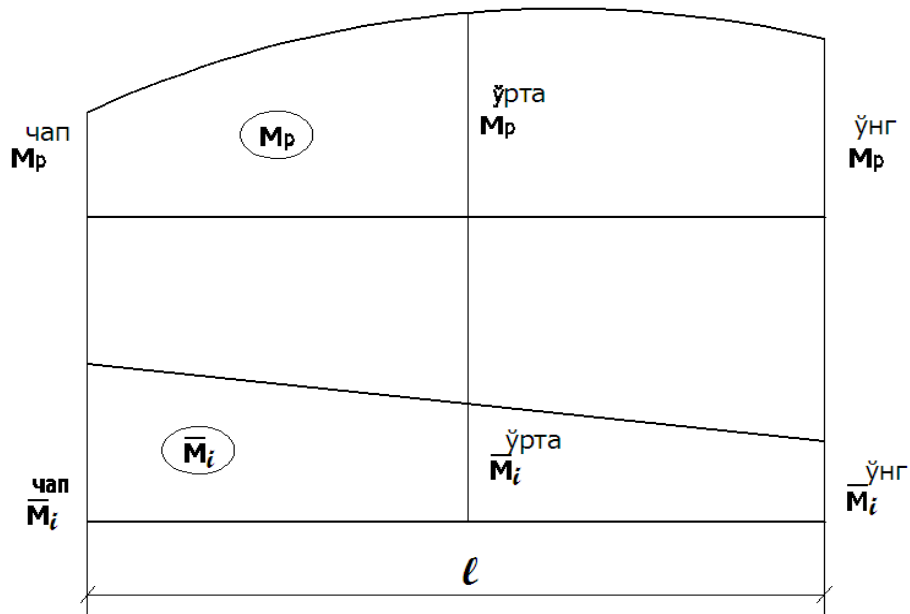
$$\Delta_{kp} = \frac{-1}{EJ} \cdot \frac{1}{2} l \cdot 21 \frac{1}{2} 2Pl - \frac{1}{EF} P \cdot l \cdot \frac{1}{2} = -\frac{1}{2} \frac{Pl^3}{EJ} - \frac{1}{2} \frac{Pl}{EF} = -\frac{1}{2} \left(\frac{Pl^3}{EJ} + \frac{Pl}{EF} \right)$$

Демак, K кесимининг кўчиши икки хил деформациянинг йифиндисидан ташкил топар экан. Буларнинг биринчиси ригелнинг эгилиши (қавсдаги биринчи ҳад), иккинчиси эса устуннинг чўзилиши (қавсдаги иккинчи ҳад).

6.5. Кўчишларни Симпсон усулида аниқлаш

Кўчишларни аниқлашнинг ушбу усули ҳам, Верешчагин усулига ўхшаб, икки хил эпюрани ўзаро кўпайтиришга асосланган. Эпюраларнинг бири-ташқи кучлардан қурилган M_p эпюраси, иккинчиси-бирлик кучдан қурилган \bar{M}_i эпюраси. Аммо Симпсон усулини ўзига хос қулайликлари бор. Масалан, эпюраларни кўпайтириш жараёнида, Верешчагин усулида талаб этилганидек, юзаларни ва оғирлик марказларини албатта эгри чизиқли эпюрадан олиш шарт эмас. Эпюранинг эгри ёки тўғри чизиқлилиги, шунингдек, уларнинг шакли, ҳеч қандай роль ўйнамайди. Изланаётган кўчишнинг қиймати

Эпюраларнинг чап ва ўнг чеккаларидаги ҳамда ўрта кесимдаги моментлар қийматига боғлиқ (6.22-расм).



6.22-расм

Кўчишларни аниқлаш учун Симпсон формуласи қуидаги кўринишга эга:

$$\Delta_{ip} = \frac{\ell}{6EJ} (M_p^{cap} \cdot \bar{M}_i^{cap} + 4M_p^{yprma} \cdot \bar{M}_i^{yprma} + M_p^{yne} \cdot \bar{M}_i^{yne}) \quad (6.13)$$

Бу ерда ℓ - кўрилаётган оралиқ узунлиги;

M_p^{cap} - M_p - Эпюрасида чап кесимдаги эгувчи момент;

M_p^{yne} - M_p - Эпюрасида ўнг кесимдаги эгувчи момент;

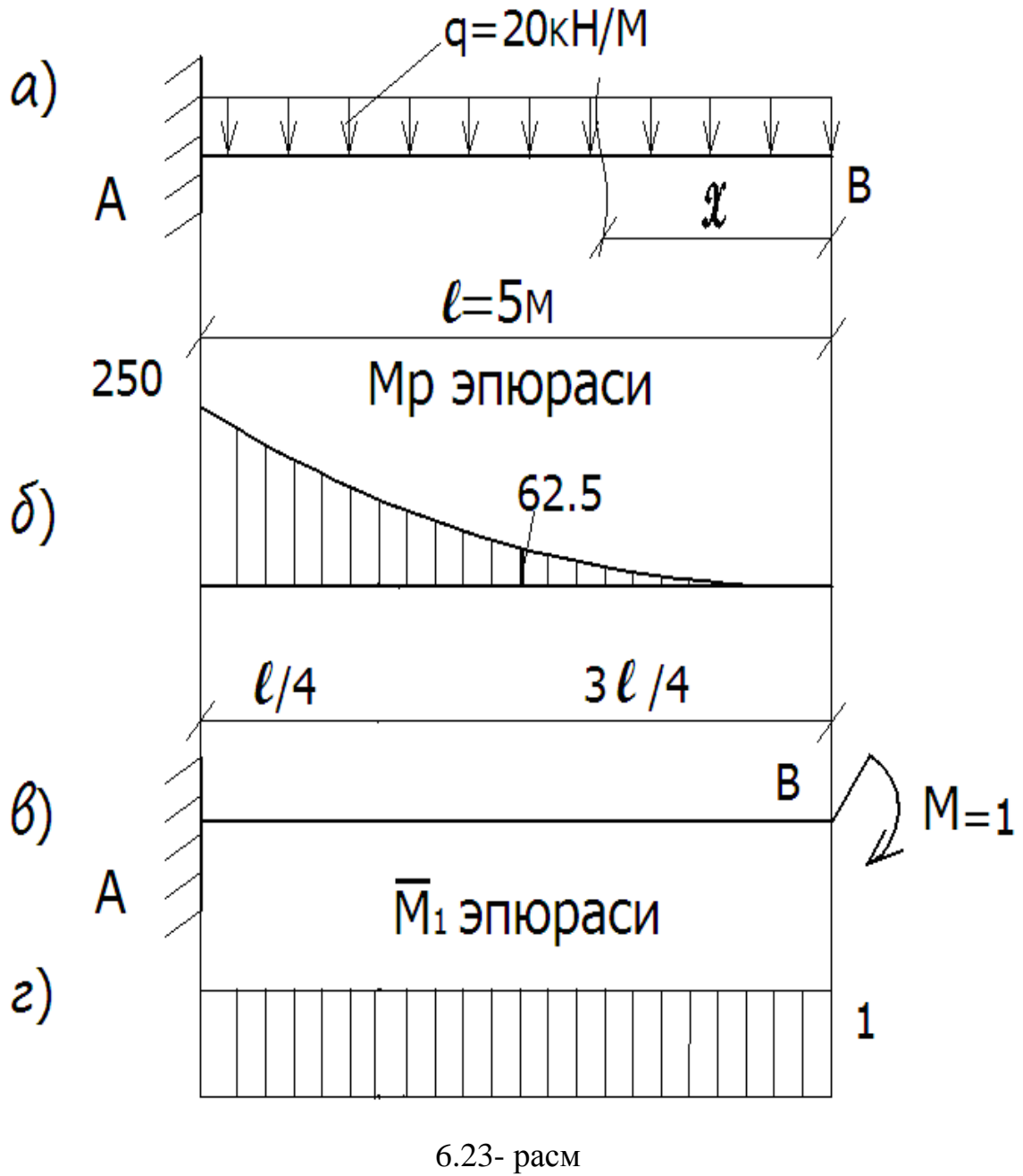
M_p^{yprma} - M_p - Эпюрасида ўрта кесимдаги эгувчи момент;

\bar{M}_i^{cap} , \bar{M}_i^{yne} , \bar{M}_i^{yprma} - бирлик Эпюранинг чап, ўнг ва ўрта кесимларидағи

эгувчи моментлар.

7-мисол. 6.23 – расмда берилган балканинг B учидаги бурилиш бурчаги фв аниқлансин. Балканинг бикрлиги ўзгармас.

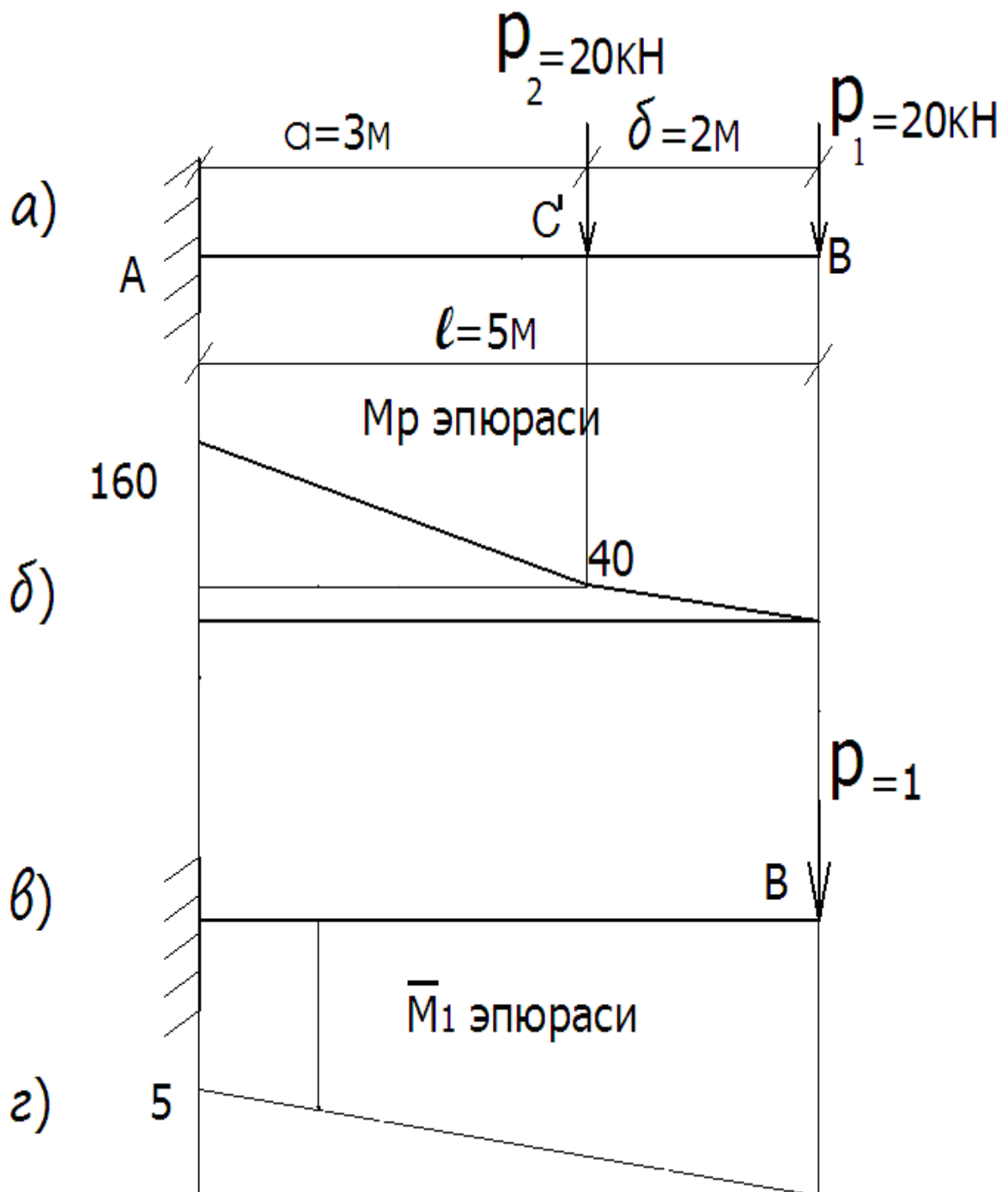
Ечиш. Ташқи кучдан қурилган M_p ва бирлик кучдан қурилған \bar{M}_1 эпюралари 6.23-расм, δ ва γ да берилған.



(6.13) формуладан фойдаланиб, изланаётган бурчакли күчишни аниклаймиз:

$$\Delta_{ip} = \varphi_B = \frac{5}{6EJ} (250 \cdot 1 + 4 \cdot 62,5 \cdot 1 + 0 \cdot 1) = \frac{416,67}{EJ}.$$

8-мисол. 6.24-расм, а да берилган балканинг эркин учи солқилиги аниқлансан. Балканинг бикирлиги ўзгармас.



6.24 – расм

Ечиш. Балканинг M_p ва \bar{M}_1 эпюралари 6.24-расм б ва г да тасвирланган. Берилган балка икки участкадан иборат. Симпсон формуласини ҳар бир участкага алоҳида равища қўллаймиз. M_p ва \bar{M}_1 эпюраларидаги чекка

моментлар маълум. Бироқ ўрта кесимлардаги моментлар номаълум.

Шуларни топамиз: M_p – эпюраси бўйича

$$\text{I – участка учун: } M_p^{\text{жем}} = - P_1 \cdot 1 = - 20 \text{ кНм};$$

$$\text{II - участка учун: } M_p^{\text{жем}} = - P_1 \cdot 3,5 - P_2 \cdot 1,5 = - 100 \text{ кНм};$$

\bar{M}_1 эпюраси бўйича

$$\text{I – участка учун: } \bar{M}_i^{\text{жем}} = - P \cdot 1 = - 1 \text{ м};$$

$$\text{II - участка учун: } \bar{M}_i^{\text{жем}} = - P \cdot 3,5 = - 3,5 \text{ м};$$

(6.13) формуладан фойдаланиб, излангаётган кўчишни аниқлаймиз:

$$\Delta_{IP} = \frac{2}{6EJ} (40 \cdot 2 + 4 \cdot 20 \cdot 1 + 0 \cdot 0) + \frac{3}{6EJ} (160 \cdot 5 + 4 \cdot 100 \cdot 3,5 + 40 \cdot 2) = \frac{53,33}{EJ} + \frac{1140}{EJ} = \frac{1193}{EJ}.$$

7- БОБ

СТАТИК НОАНИҚ РАМАЛАРНИ КУЧЛАР УСУЛИДА ҲИСОБЛАШ

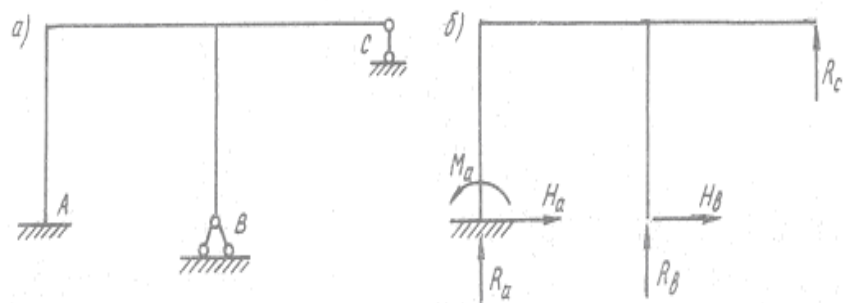
7.1. Статик ноаниқ системалар ҳақида тушунча

Бинокорликда шундай конструкциялар учрайдики, уларни ҳисоблаш учун, яъни ички кучларини аниқлаш учун статиканинг мувозанат тенгламалари кифоя қилмайди. Чунки уларда ортиқча боғланишлар мавжуд бўлиб, ҳар бир боғланишда номаълум реакциялар вужудга келади. Номаълумлар, сонини тенгламалар сонига, тенглаштириш учун қўшимча тенгламалар тузиш талаб этилади. Ана шундай системалар *статик ноаниқ системалар* деб аталади.

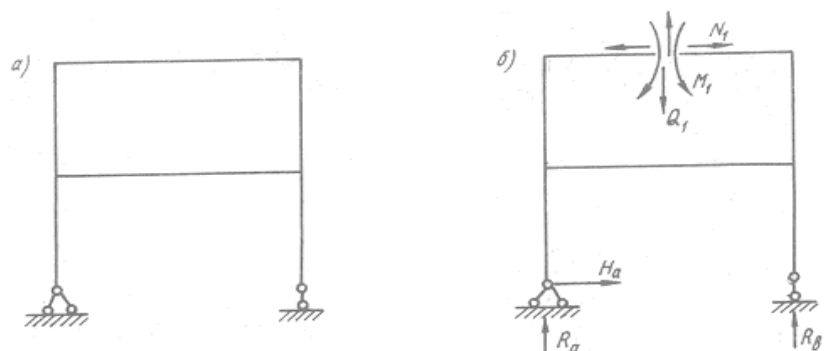
Боғланиш деганда нуқталар ва кесимларнинг ўзаро қўзғалишига қаршилик кўрсатувчи ҳар қандай тўсиқ тушунилади. «Ортиқча» боғланиш атамаси боғланишнинг «кераксизлигини» эмас, балки «керағидан ортиқча»

еканлигини англаради. Агар статик ноаниқ системадаги ортиқча боғланишлар ташлаб юборилса, у ҳолда статик аниқ, геометрик ўзгармас система ҳосил бўлади. Демак, ортиқча боғланишлар сони системанинг *статик ноаниқлик дараҷасини* белгилар экан.

Системалар шартли равишда ташқи ва ички статик ноаниқ системаларга ажратилади. 7.1- расмда ташқи, 7.2- расмда ички статик ноаниқ рама тасвиранган. Буларнинг фарқига етиш учун ҳар иккала раманинг номаълум реакцияларини таҳлил этамиз. 7.1- расм, б-да олтита номаълум таянч реакциялари кўрсатилган. Шулардан учтаси статиканинг мувозанат тенгламаларидан топилса, ҳолган учтаси статика учун «ортиқча» бўлиб қолади. Раманинг B ва C таянчларини ортиқча боғланиш деб қабул қилиб, уларни ташлаб юборилиши раманинг геометрик ўзгармаслигига путур етказмайди, айни пайтда статик аниқ система ҳосил бўлади. Ортиқча боғланишлар ўрнига реакция кучлари (H_b , R_b , R_c) ни қўямиз. Бу номаълум реакция кучларини аниқлаш учун қўшимча тенгламалар тузиш тақозо этилади. Хуллас бу раманинг статик ноаниқлиги ташқаридан кўзга ташланиб турибди.



7.1- расм



7.2- расм

7.2- расмдаги раманинг статик ноаниқлиги кўзга яққол ташланмайди. Бир қарашда статик аниқ рамадай туюлади. Аслида бу рама ҳам статик ноаниқдир.

Геометрик ўзгармас, статик аниқ система ҳосил қилиш учун берилган раманинг бирор еридан қирқамиз (яъни ортиқча боғланишларни ташлаб юборамиз). Қирқимга тушган кесимнинг қўзғалмаслнгнни таъминлаш учун шу кесимда Ҳосил бўладиган ички кучларни ташқи реакция кучлари кўринишида тасвирлаймиз (7.2- расм, б). Бу учала куч (M_1, Q_1, N_1) ҳам номаълум. Номаълум таянч реакциялари (H_a, R_a, R_a) статика тенгламаларидан топилса, номаълум ички кучлар қўшимча тенгламалардан топилади. Демак, шарнирларга эга бўлмаган ҳар бир ёпик контур уч марта статик ноаниқ бўлар экан.

Рамаларнинг статик ноаниқлик даражаси куйидаги формуладан аниқланади:

$$C_H = 3K - W$$

бунда K — ёпик контурлар сони;

W — оддий шарнирлар сони.

Оддий шарнирлар сони дисклар, яъни стерженлар сонидан битта кам бўлади. Қуйида рамаларнинг статик ноаниқлик даражасини аниқлашга доир бир неча мисол кўриб ўтамиз.

1- мисол. 7.1- расм, а-да берилган раманинг статик ноаниқлик даражаси аниқлансин.

Контурлар сонини белгилашда A, B, C таянchlари ҳаёлан туташтирилади. У ҳолда $K=2$ бўлади.

Шарнирлар сонини белгилашда шарнирли қўзғалмас таянчда $W=1$ деб, қўзғалувчи таянчда эса, $W=2$ деб олинади:

$$C_H = 3 \cdot 2 - 3 = 3.$$

Демак, мазкур рама уч марта статик ноаниқ экан.

2- мисол. 7.2- расм, *a*-да тасвиirlанган раманинг статик ноаниқлик даражаси аниқлансин.

Ёпиқ контурлар сони $K=2$; оддий шарнирлар сони $III = 2+1 = 3$; $C_H = 3 \cdot 2 - 3 = 3$.

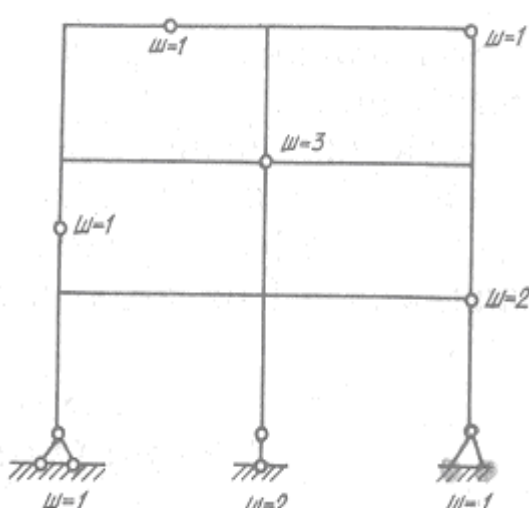
Демак, бу рама ҳам уч марта статик ноаниқ экан.

3- мисол. 7.3- расмда кўрсатилган раманинг статик ноаниқлик даражаси аниқлансин.

Ёпиқ контурлар сони $K=6$, оддий шарнирлар сони (шаклда кўрсатилган) $III=12$;

$$C_H = 3 \cdot 6 - 12 = 6.$$

Демак, рама олти марта статик ноаниқ экан.



7.3- расм

Статик ноаниқ системалар қуйидаги хоссаларга эгадир:

1. Статик ноаниқ системалар таркибида ортиқча боғланишларнинг мавжудлиги туфайли ўзига мос статик аниқ системага нисбатан бикирлиги юқориоқ бўлади.

2. Статик ноаниқ системалар ўзига мос статик аниқ системаларга нисбатан тежамлироқ бўлади.

3. Статик ноаниқ системаларда бирор ортиқча боғланишининг шикастланиши иншоотнинг бутунлай ишдан чиқишига олиб келмайди. Статик аниқ системаларда бирорта боғланиш бу-зилса, иншоот бутунлай ишдан чиқади.

4. Статик ноаниқ системаларда ҳароратнинг ўзгариши ва таянчларнинг чўкиши натижасида қўшимча зўриқишлиар пайдо бўлади. Система

элементларининг узунлигидаги фарқлари, элементларни йиғишида йўл қўйилган баъзи ноаниқликлар ҳам системада қўшимча зўриқишлиар уйғотади.

Статик ноаниқ системаларни ҳисоблашни кучлар усулидан бошлаймиз. Бу усул қадимий ва пухта ишланган усуллардан бири бўлиб, қамровининг кенглиги, ўзлашувининг осонлиги билан бошқа усуллардан ажралиб туради.

7. 2. Кучлар усулининг асосий системасини танлаш

Ҳар қандай статик ноаниқ системанинг ҳисоби унинг ноаниқлик даражасини аниқлашдан бошланади. Шундан сўнг асосий система танланади. Берилган системанинг асосий системалари бир нечта бўлиши мумкин.

Ҳисоблаш учун шуларнинг ичидан энг қулайи танлаб олинади. Кейинги ҳисоблар ана шу танланган система устида олиб борилади.

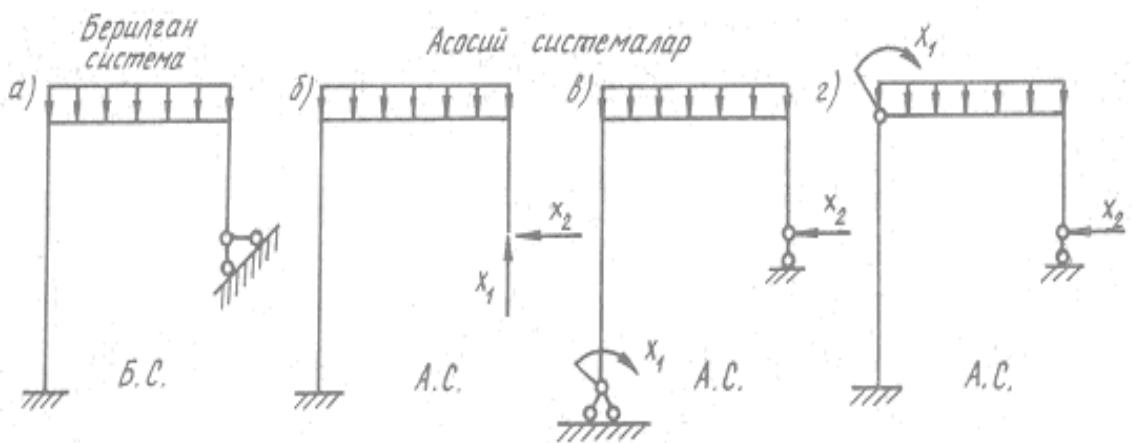
Хўш, асосий системанинг ўзи нима ва у қандай ҳосил қилинади?

Асосий система статик аниқ ва геометрик ўзгармас бўлиб, у берилган системадаги ортиқча боғланишларни ташлаб юбориш йўли билан ҳосил қилинади.

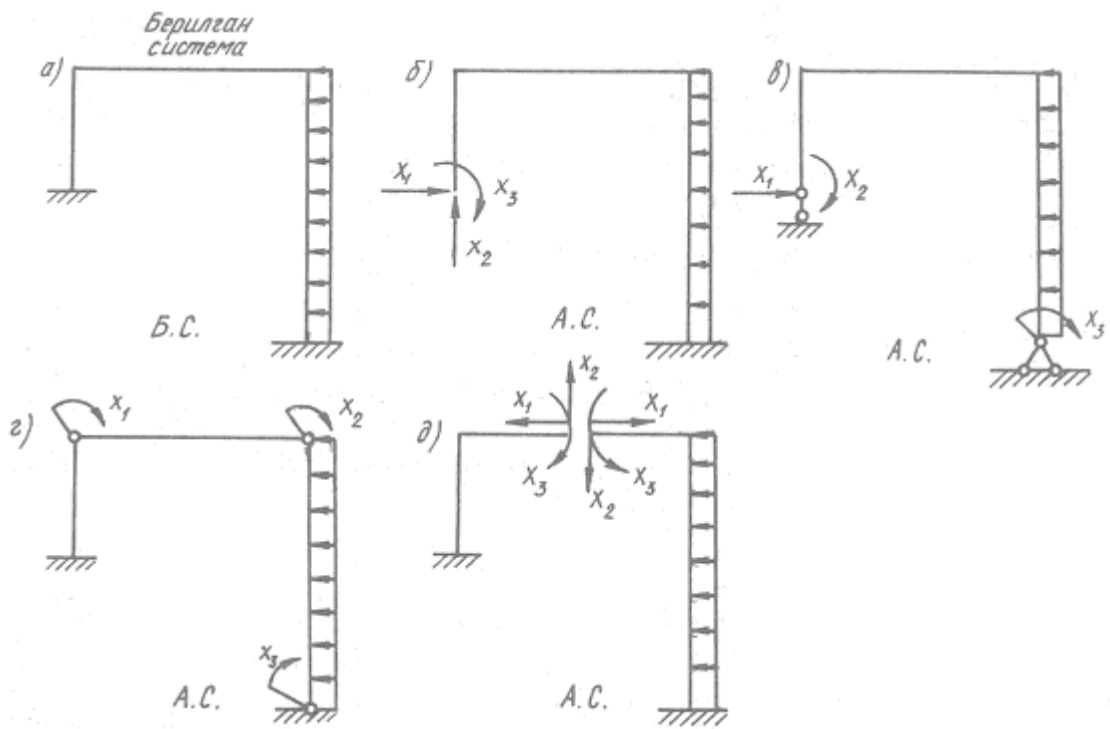
Асосий система ҳосил қилишнинг уч хил йўли бор:

- а) ортиқча деб қабул қилинган таянчлар ёки таянч стерженлари ташлаб юборилади;
- б) берилган системага шарнирлар киритилади;
- в) берилган системанинг бирор кесими қирқилади.

Ҳар учала ҳолда ҳам амалда ортиқча боғланишлар ташлаб юборилган деб ҳисобланади. Шундан сўнг, берилган системанинг дастлабки мувозанат ҳолатини тиклаш мақсадида йўқотилган боғланишлар ўрнига уларнинг вазифасини бажарувчи номаълум кучлар (X_1, X_2, X_3 ва х.к.) қўйилади. 7.4-расмда икки номаълумли, 7.5-расмда уч номаълумли. раманинг турли, асосий системалари акс эттирилган.



7.4-расм



7.5-расм

Расмларга изоҳ берамиз. 7.4- расм, б, в, г-да 7.4- расм, а-да берилган раманинг уч хил асосий системаси тасвирланган. Расм б - да шарнирли қўзғалмас таянч ташлаб юборилиб, унинг ўрнига таянч реакциялари X_1 ва X_2 қўйилган. Расм в-да чапдаги шарнирсиз таянч шарнирли қўзғалмас таянч билан, ўнгдагиси эса шарнирли қўзғалувчи таянч билан алмаштирилган. Инкор этилган боғланишлар ўрнига реакция кучлари тасвирланган. Расм г-да раманинг чапки бикир тугунига шарнир киритилган ва шарнир туфайли

йўқотилган боғланиш ўрнига момент X_1 қўйилган. Раманинг ўнг таянчидағи горизонтал стержень ташлаб юборилиб, ўрнига реакция кучи X_2 қўйилган.

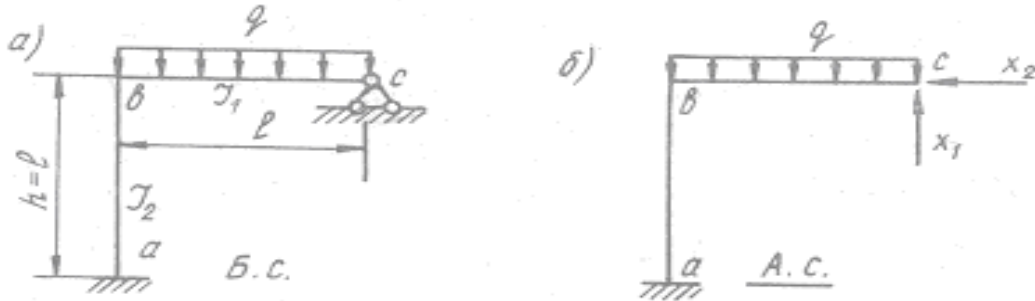
Учала асосий система ҳам геометрик ўзгармас, статик аниқдир. Ҳисоб ишлари учун улар ичидан исталган системани танлаб олиш мумкин. Учала ҳолда ҳам ҳисоб натижалари бир хил чиқаверади. Бироқ, 7.4- расм, *б* - да тасвиrlанган асосий система бўлар ичida энг мақбулидир. Чунки бундай системанинг M эпюраларини қуриш ва кўчишларини аниқлаш бошқаларига нисбатан бирмунча қулай.

7.5- расмда уч номаълумли раманинг тўрт хил асосий системаси тасвиrlанган. Буларнинг дастлабки учтаси (7.5- расм, *б*, *в*, *г*) аввалги раманикига ўхшашиб. Оҳиргиси (7.5- расм, *д*) қирқиши усулида ҳосил қилинган. Қирқилган кесимга ташқи кучлар таъсирида шу кесимда ҳосил бўладиган ички кучлар — бўйлама куч X_1 , кўндаланг куч X_2 ва эгувчи момент X_3 лар қўйилган. Бу тўрт асосий системанинг биринчиси ва - оҳиргиси ҳисоблаш учун қулайдир.

7.3. Кучлар усулининг каноник тенгламалари

Асосий системаларда ортиқча боғланишлар номаълум кучлар билан алмаштирилишини олдинги параграфда кўриб ўтдик. Эндиgi вазифа ана шу номаълум кучларни аниқлашдан иборат. Бунинг учун статика тенгламаларига қўшимча равишда *каноник*¹ деб аталувчи тенгламалар тузамиз. Каноник тенгламаларни тузиш тартибини икки номаълумли рама мисолида кўриб ўтамиз. Берилган раманинг (7.6- расм, *а*) асосий системасини синиқ консол кўринишида (7.6- расм, *б*) танлаймиз.

Ташлаб юборилган таянч ўрнига номаълум кучлар қўямиз, сўнгра куч усулининг каноник тенгламаларини тузамиз.



7.6-расм

Берилган рамада шарнирли қўзғалмас таянчнинг маркази С вертикал ва горизонтал йўналишларда қўзғалмасдир, яъни унинг шу йўналишлардаги кўчишлари нолга tengdir.

¹ Канон — қонун, коида, каноник тенглама — маълум конуният асосида тузилган тенглама.

Бундай шарт асосий системада, ҳам сақланиб қолиши лозим, яъни С нуқтасининг вертикал ва горизонтал кўчишлари нолга тенг бўлиши зарур. Бу шартни қисқа кўринишда қуидагича ифодалаш, мумкин:

$$\Delta_{x_1} = 0; \Delta_{x_2} = 0; \quad (7.1)$$

бу ерда Δ_{x_1} -стержень учи С нинг X_1 куч йўналишидаги кўчиши;

Δ_{x_2} -шу нуқтанинг X_2 кучи йўналишидаги кўчиши.

Ҳар иккала кўчиш x_1 ва x_2 кучлари ҳамда ташқи юклар таъсирида вужудга келади. Кучлар таъсирининг мустақиллиги қоидасидан фойдаланиб, (7.1)ни алоҳида кўчишлар йигиндиси сифатида ифодалаймиз.

$$\begin{aligned} \Delta_{x_1 x_1} + \Delta_{x_1 x_2} + \Delta_{x_1 P} &= 0; \\ \Delta_{x_2 x_1} + \Delta_{x_2 x_2} + \Delta_{x_2 P} &= 0. \end{aligned} \quad (7.2)$$

Бу ерда кўчишларга қўйилган биринчи индекслар кўчишнинг йўналишини, иккинчи индекслар эса шу кўчишни юзага келтирувчи сабабни билдиради.

Энди x_1 ва x_2 кучлари таъсирида ҳосил бўлган кўчишларни Гук қонунига асосан бирлик кўчишлар орқали ифода этамиз.

$$\Delta_{x_1 x_1} = x_1 \delta_{11}; \Delta_{x_1 x_2} = x_2 \delta_{12}; \Delta_{x_2 x_1} = x_1 \delta_{21}; \Delta_{x_2 x_2} = x_2 \delta_{22}$$

Буларни (7.2) тенгламага қўйсак, икки номаълумли система учун кучлар усулининг каноник тенгламалари келиб чиқади;

$$\begin{aligned} x_1 \delta_{11} + x_2 \delta_{12} + \Delta_{1P} &= 0; \\ x_1 \delta_{21} + x_2 \delta_{22} + \Delta_{2P} &= 0; \end{aligned} \quad (7.3)$$

Бу ерда $\delta_{11} - x_1$ кучи қўйилган нуқтанинг шу куч йўналишида $x_1=1$ кучи таъсирида ҳосил бўлган кўчиши;

$\delta_{12} - x_1$ кучи қўйилган нуқтанинг шу куч йўналишида $x_1=1$ кучи таъсирида ҳосил бўлган кўчиши;

$\Delta_{1P} - x_1$ кучи йўналишида, $\Delta_{2P} - x_2$ кучи йўналишида ташки кучлар таъсирида ҳосил бўлган кўчишлар.

Агар (7.3) да ифодаланган каноник тенгламаларнинг тузилишига жиддий эътибор берсак, унинг ёзилишида маълум қонуният борлигини пайқаш қийин эмас. Шу қонуниятдан фойдаланиб системанинг статик ноаниқлик даражасига қараб, каноник тенгламаларни керагича туза оламиз. Бинобарин, система (масалан, рама) неча номаълумли бўлса, тенгламалар сони ўшанча бўлади. Масалан, уч номаълумли рама учун каноник тенгламалар қўйидаги кўринишга эга:

$$\begin{aligned} X_1 \delta_{11} + X_2 \delta_{12} + X_3 \delta_{13} + \Delta_{1P} &= 0 \\ X_1 \delta_{21} + X_2 \delta_{22} + X_3 \delta_{23} + \Delta_{2P} &= 0 \\ X_1 \delta_{31} + X_2 \delta_{32} + X_3 \delta_{33} + \Delta_{3P} &= 0 \text{ ва } \chi.k. \end{aligned} \quad (7.4)$$

(7.3) ва (7.4) да ифодаланган каноник тенгламаларда номаълум сифатида кучлар ($X_1, X_2, X_3\dots$) турибди. Мазкур усулининг «кучлар» усули деб

аталишининг сабаби ҳам айнан ана шунда. Ушбу тенгламалардаги бирлик кўчишлар (δ_{ik}) — коэффициент, ташқи кучлардан ҳосил бўлган кўчишлар (Δ_{ip}) эса озод хад вазифасини ўтайди. Кўчишларнинг ўзаро муносабати ҳақидаги Максвел теоремасига биноан $\delta_{ik}=\delta_{ki}$ бўлади.

Бир хил индексли бирлик кўчишлар (δ_{11}, δ_{22}) ннинг ишоралари ҳамиша мусбат бўлади. Шу сабабли улар ҳеч қачон нолга айланмайди ва ҳамма вақт тенглама таркибида иштирок этади. Шу сабабли улар *боши кўчишлар* деб аталади.

Турли индексли кўчишлар ($\delta_{12}, \delta_{13\dots}$) эса мусбат ва манфий ишораларга эга бўлиши ва демак, ноль бўлиши ҳам мумкин. Шунинг учун булар *иккинчи даражали* кўчишлар деб аталади.

7.4. Каноник тенглама коэффициентлари ва озод ҳадларини аниқлаш

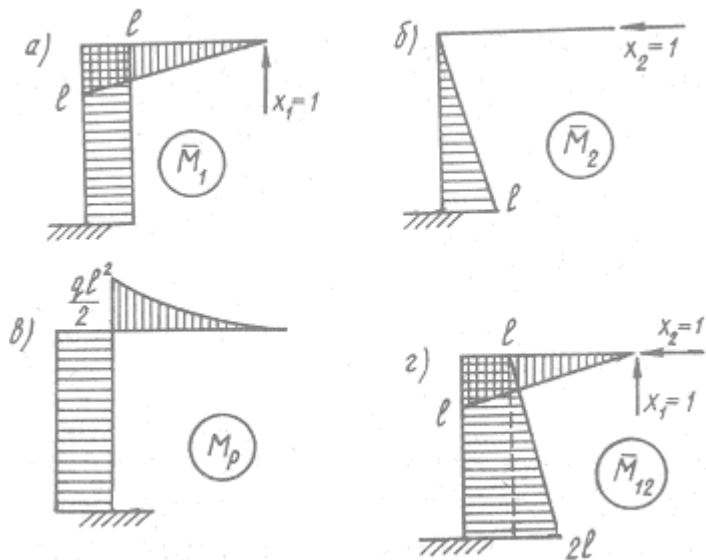
Кучлар усулининг каноник тенгламаларини ечиш учун, яъни улардаги номаълум кучлар ва моментларни аниқлаш учун аввал тенгламаларнинг коэффициентлари ва озод ҳадлари топилади.

Маълумки, каноник тенгламаларнинг коэффициент ва озод ҳадлари кўчишлардир. Шунинг учун уларни аниқлашда 6-бобда баён этилган кўчишлар назариясидан фойдаланамиз.

7.6- расмдаги раманинг кўчишларини аниқлаймиз. Бунинг учун бирлик кучлар таъсирида эгувчи моментларнинг бирлик эпюраларини (7.7- расм, *a*, *b*) қуриб оламиз. Ташқи кучлар таъсиридаги M_p эпюраси 7.7- расм, *c*-да акс эттирилган.

Бирлик кўчишлар қўйидаги формулалардан топилади:

$$\begin{aligned}\delta_{11} &= \sum_n \int_0^l \frac{\bar{M}_1^2}{EJ} dx; \quad \delta_{12} = \delta_{21} = \sum_n \int_0^l \frac{\bar{M}_1 \bar{M}_2}{EJ} dx; \\ \delta_{22} &= \sum_n \int_0^l \frac{\bar{M}_2^2}{EJ} dx.\end{aligned}\tag{7.5}$$



7.7- расм

Бу ерда \bar{M}_1 — асосий системанинг исталган кесимда бирлик куч $x_1=1$ дан ҳосил бўлган момент; \bar{M}_2 — ўша кесимда $x_2=1$ кучидан ҳосил бўлган момент; n — рама стерженлари сони.

Ташқи юклардан ҳосил бўлган кўчишлар қуйидаги формулалардан топилади:

$$\Delta_{1P} = \sum_n \int_0^l \frac{\bar{M}_1 M_P}{EJ} dx; \quad \Delta_{2P} = \sum_n \int_0^l \frac{\bar{M}_2 M_P}{EJ} dx; \quad (7.6)$$

Верешчагин формуласидан фойдаланиб, эгувчи момент эпюраларидан (7.7- расм, а, б) қуйидагиларни аниклаймиз:

$$\begin{aligned} \delta_{11} &= \frac{4l^3}{3EJ}; \quad \delta_{12} = \frac{l^3}{2EJ}; \quad \delta_{22} = \frac{l^3}{3EJ}; \\ \Delta_{1P} &= -\frac{5ql^4}{8EJ}; \quad \Delta_{2P} = -\frac{ql^4}{4EJ}. \end{aligned}$$

Бу ерда $J_1=J_2=J$ деб олинган.

Түғри ечимга эга бўлиш учун кўчишлар түғри топилган бўлиши керак. Буларнинг түғри ёки нотўғри топилганлигини текшириб кўрса бўлади. Икки хил текшириш бор: қаторма-қатор текшириш ва ялпн текшириш.

Текшириш учун бирлик эпюраларни қўшиб, йифинди эпюра (\bar{M}_{12}) қурилади (7.7- расм, г). *Қаторма-қатор текшириши* қўйидаги формула асосида амалга оширилади:

$$(\delta_{11} + \delta_{12}) = \sum_n \int_0^l \frac{\bar{M}_1 \bar{M}_{12}}{EJ} dx; \quad (7.7)$$

яъни каноник тенгламанинг биринчи қатордаги коэффициентлар йифиндиси \bar{M}_1 ва \bar{M}_{12} эпюраларининг қўпайтмасига тенг чиқса, у ҳолда бу кўчишлар түғри топилган бўлади.

Худди шунингдек, тенгламанинг иккинчи қатори қўйидагича текширилади:

$$(\delta_{21} + \delta_{22}) = \sum_n \int_0^l \frac{\bar{M}_2 \bar{M}_{12}}{EJ} dx \quad (7.8)$$

яъни кўчишлар түғри топилган бўлса, уларнинг йифиндиси \bar{M}_2 ва \bar{M}_{12} эпюраларининг қўпайтмасига тенг бўлади.

Ялпи текширишида барча коэффициентлар йифиндиси, $\bar{M}_{12} \bullet \bar{M}_{12}$ қўпайтмасига тенг бўлиши зарур, яъни

$$(\delta_{11} + \delta_{12}) + (\delta_{21} + \delta_{22}) = \sum_n \int_0^l \frac{\bar{M}_{12}^2}{EJ} dx \quad (7.9)$$

Топилган коэффициентларни тўлиқ текширамиз:

$$\sum_n \int_0^l \frac{\bar{M}_{12}^2}{EJ} dx = \frac{1}{EJ} \left(\frac{l^2}{2} \frac{2}{3} l + l^3 \frac{3}{2} l + \frac{l^2}{2} \frac{5}{3} l \right) = \frac{8l^3}{3EJ}.$$

Бирлик кўчишлар йифиндисини ҳисоблаймиз:

$$\delta_{11} + 2\delta_{12} + \delta_{22} = \frac{1}{EJ} \left(\frac{4}{3} l^3 + \frac{1}{3} l^3 + l^3 \right) = \frac{8l^3}{3EJ}.$$

Кўпайтма йигиндига тенг чиқди. Демак, кўчишлар тўғри топилган. Энди биринчи қатор коэффициентларини текширамиз:

$$\delta_{11} + \delta_{12} = \frac{11l^3}{6EJ}$$

\bar{M}_1 ва \bar{M}_{12} эпюраларининг қўпайтмасини ҳисоблаймиз:

$$\sum_n \int_0^l \frac{\bar{M}_1 \bar{M}_{12}}{EJ} dx = \frac{1}{EJ} \left(\frac{l^2}{2} \cdot \frac{2}{3} l + \frac{3l^2}{2} l \right) = \frac{11l^3}{6EJ}.$$

Бу ерда ҳам йигинди қўпайтмага тенг чиқди. Шундай бўлиши ҳам керак Эди.

Нихоят озод хадларни текширамиз:

$$\Delta_{1P} + \Delta_{2P} = \sum_n \int_0^l \frac{M_p \bar{M}_{12}}{EJ} dx; \quad (7.10)$$

яъни озод хадлар йигиндиси \bar{M}_{12} эпюраси билан M_p эпюрасининг қўпайтмаснга тенг бўлиши керак. Бу шартнинг бажарилиши озод хадларнинг тўғри топилганлигини англатади.

Кўчишлар, яъни коэффициент ва озод хадлар тўғри топилганига ишонч ҳосил килингач, уларни каноник тенгламаларга қўямиз. Тенгламаларни биргаликда ечиб, номаълум кучларни аниқлаймиз:

$$X_1 \cdot \frac{4l^3}{3} + X_2 \frac{l^3}{2} - \frac{5ql^4}{8} = 0;$$

$$X_1 \cdot \frac{l^3}{2} + X_2 \frac{l^3}{3} - \frac{ql^4}{4} = 0.$$

Бу ердан

$$X_1 = \frac{3ql}{7} \text{ ҳа́вада́ } X_2 = \frac{3ql}{28}$$

келиб чиқади.

7.5. Статик ноаниқ рамаларнинг M , Q ва N эпюраларини қуриш

Каноник тенгламалардан ортиқча номаълумлар ($X_1, X_2 \dots$) аниқланғаң, раманинг. натижавий, яъни тугал M эпюраси қурилади. Исталған кесимдаги моментнинг қиймати қўшиш усулида аниқланади:

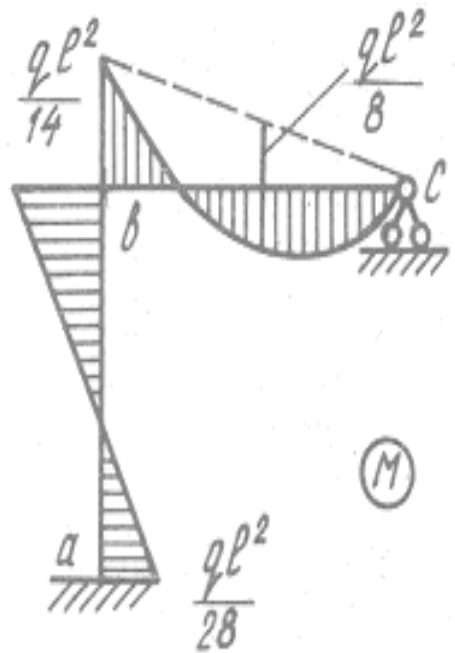
$$M = M_p + X_1 \bar{M}_1 + X_2 \bar{M}_2 + \dots + X_n \bar{M}_n \quad (7.11)$$

Бу ерда M_p — статик аниқ асосий системада ташқи юклардан ҳосил бўлган момент; \bar{M}_1 — асосий системада $X_1 = 1$ кучидан ҳосил бўлган момент.

X_1 қучининг ҳақиқий қиймати таъсирида ҳосил бўлган моментни топиш учун \bar{M}_1 моментини X_1 га кўпайтирамиз, яъни X_1 таъсиридаги ҳақиқий момент $X_1 \bar{M}_1$ бўлади. Бу қоида бошқа номаълумлар (X_2, X_3, \dots, X_n) га ҳам тегишлидир,

7.6- расмда берилган икки номаълумли раманинг мазкур усулда қурилган M эпюраси
 7.8- расмда акс этган. Расмда ригелнинг ўртасидаги момент ҳам кўрсатилган.
 Раманинг эгувчи моментлар эпюраси ҳамма вақт стерженинг толалари чўзилган томонга чизилишини эслатиб ўтамиз.

Статик ноаниқ раманинг якунловчи M эпюрасини қуриб бўлдик. Бу билан ҳисобнинг энг муҳим ва мураккаб қисми тугади. Энди кўндаланг ва бўйлама кучлар эпюраларини қуришга киришсак бўлади.

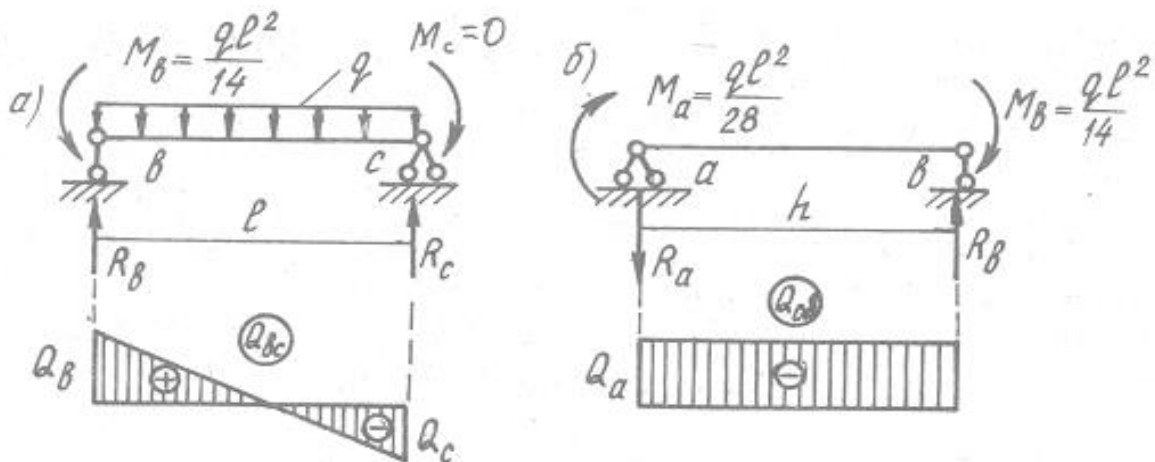


7.8-расм

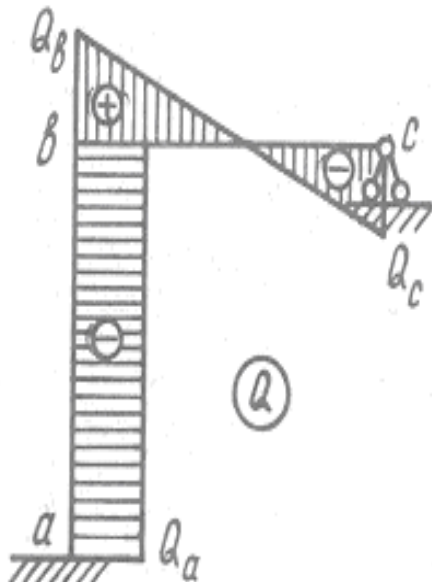
Нега деганда M эпюраси асосида Q эпюраси, Q эпюраси асосида N эпюраси қурилади.

Q эпюрасини қуриш учун раманинг стерженларини алоҳида бўлакларга ажратамиз ва уларни бир оралиқли статик аниқ балкалар сифатида

хисоблаймиз. Бунда балкаларга ташқи кучлардан ташқари раманинг M эпюрасидан олинган тугун моментлари ҳам қўйилади. 7.9- расмда 7.6- расм, a -да берилган раманинг алоҳида балкаларга ажратилиши ва тегишли эпюралари тасвирланган. 7.9- расм, a -да bc ригели, 7.9- расм, b -да ab устуни балка қўринишида акс эттирилган ҳамда ташқи куч ва тугун моментлари кўрсатилган.



7.9-расм



7.10- расм

Оддий балканинг Q эпюраси материаллар қаршилиги курсида баён этилган қоидалар асосида қурилади. Ишнинг охирида алоҳида балкалар учун қурилган Q эпюраси рама ўқига тўпланади (7.10- расм).

Энди Q эпюраси асосида N эпюрасини қурамиз. Бунда ригелга қўйилган кўндаланг кучлар устун учун бўйлама куч, устунга қўйилган кўндаланг кучлар эса ригел учун бўйлама куч бўлади деган қоидага асосланамиз.

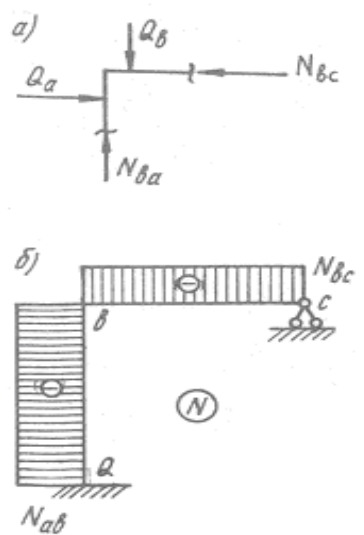
Бўйлама куч стерженни чўзса — мусбат, сиқса — манфий ишора олинади.

Биз текшираётган раманинг (7.6- расм) бўйлама кучлар эпюрасини қуриш учун унинг Q эпюрасидан b тугунни қирқиб оламиз (7.11- расм, а) ва мувозанат шартларини ёзамиз:

$$\begin{aligned}\sum X &= Q_a - N_{bc} = 0; \text{ бу ердан } N_{bc} = Q_a; \\ \sum Y &= N_{ba} - Q_b = 0; \text{ бу ердан } N_{ba} = Q_b.\end{aligned}$$

Аниқланган қийматлар бўйича раманинг N эпюраси қурилади (7.11- расм, б)

Текшириш. Рамаларнинг статик ноаниқлик даражаси ортган сари ҳисоблаш ишлари мураккаблашиб бораверади. Бундай ҳолларда ҳисоб натижаларини текшириш муҳим аҳамият касб этади. Олдинги параграфда каноник тенглама коэффициентлари ва озод ҳадларини текширишни ўрганган эдик. Бу сафар тугал M , Q ва N эпюраларини текширишни ўрганамиз. M , Q , N эпюраларини текширишнинг икки усули бор: статик текшириш ва деформацион текшириш.



7.11-расм

Эпюраларни *статик* текширганда, яхлит рама ёки унинг айрим қисмлари ва тугунлари учун мувозанат шартлари тузилади. Бунда раманинг барча таянч реакцияларини вертикал ўқка бўлган проекциялари йифиндиси ташқи юкларнинг вертикал проекциялари билан мувозанатда бўлиши лозим.

Бирор нуқтага нисбатан таянч реакцияларидан олинган моментлар йигиндисига шу нуқтага нисбатан ташқи кучлардан олинган моментлар тигиндисига тенг бўлиши зарур.

Раманинг ҳар бир тугуни эгувчи моментлар таъсирида мувозанатда ётиши керак, бунинг учун бир тугунга туташган ригель ва устундаги ординаталар ўзаро тенг, бўлиши лозим. Тугунлардаги кўндаланг ва бўйлама кучлар алоҳида қаралганда, мувозанатда бўлмайди, бироқ биргаликда қаралганда тугун мувозанатда ётиши зарур. M , Q ва N эпюраларини статик текшириш уларнинг тўғри қурилганига кафолат бўлаолмайди, чунки статик

мувозанат шартлари номаълумлар хато топилган тақдирда ҳам бажарилаверади. Бунинг сабаби шундаки, раманинг тугал M эпюраси статик аниқ асосий система учун қурилган. Агар ташқи юк ва аниқланган номаълумлар таъсирида эпюра тўғри курилса, у ҳолда номаълумларнинг исталган қийматида рама статик мувозанат ҳолатида бўлаверади. Натижада номаълумларни аниқлашда йўл қўйилган хато очилмай қолаверади.

Деформацион текшириш ортиқча номаълумларни аниқлашда йўл қўйилган хатоларни пайқаш имконини беради. Ҳисоб натижаларини деформацион текширишда асосий системаларга қурилган бирлик эпюралар (\bar{M}_1 , \bar{M}_2) раманинг тугал M эпюраси билан навбатма-навбат кўпайтирилади. Агар ортиқча номаълумлар тўғри аниқланиб, эпюралар тўғри қурилган бўлса, бундай кўпайтма нолга тенг чиқади.

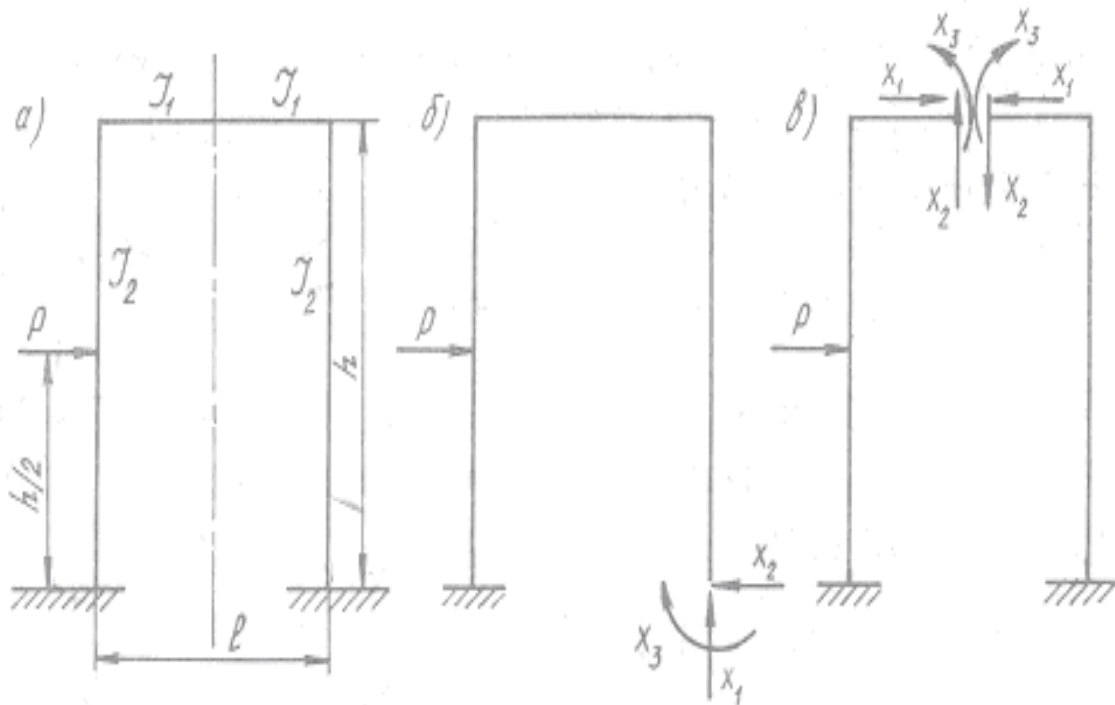
7.6. Статик ноаниқ рамаларни ҳисоблашда соддалаштириш усуллари

Каноник tenglamalarni soni sistemadagi ortikcha nomalumlar soniga teng bouldishini ilgari aytib utgan edik. Demak, sistemaniнg statik noaniqlik daражаси ortgani sari kanonik tenglamalarni ham ortib boradi, ularni birgaliqda echiш учун tobora kўпроқ vaqt va mehnat talab etiladi. Aniq usullarda berilgan sistemadagi nomalumlar sonini kamaytiриб bўlmайди, biroq hisoblaш ishlarini birmuncha osonlashтириш imkoninи beradigan soddalashтиriш usullari mavjuddir. Kuyida ana shu usullarning baъzilari bilan taniшиб chikamiz.

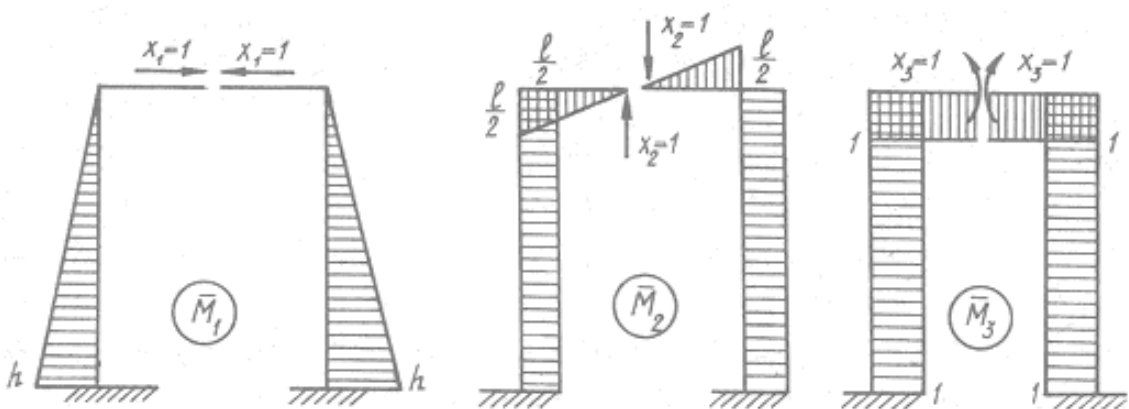
Системаларнинг симметриклигидан фойдаланиш

Симметрик рамалар фақат геометрик шаклига кўра эмас, балки таянчлари ва бикирликлари бўйича ҳам симметрик бўлиши лозим. Шунда ularning simmetrikligidan foydalaniб баъзи soddalashтиришlararga erishiш mumkin. 7.12- расм, *a*-da simmetrik statik noaniқ rama tasvirланган. Rama bitta vertikal simmetriя ўқига эга. Ramанинг chap va ўнг

таянчлари бир хил. Раманинг ҳар иккала устуни, шунингдек ригелнинг чап ва ўнг қисмлари бир хил инерция моментига эга, бу ҳар иккала устун бир хил бикирликка эга, ригелнинг чап ва ўнг қисмлари бикирликлари ўзаро тенг демакдир.



7.12-расм



7.13-расм

Агар раманинг асосий системасини 7.12- расм, β -да кўрсатилгандек олсак, ҳисоб жараёнида ҳеч қандай соддалашувга эришмаймиз, уч номаълумли учта каноник тенгламалар системаси ўзгаришсиз қолаверади:

$$X_1\delta_{11}+X_2\delta_{12}+X_3\delta_{13}+\Delta_{IP}=0;$$

$$\begin{aligned} X_1\delta_{21}+X_2\delta_{22}+X_3\delta_{23}+\Delta_{2P}&=0; \\ X_1\delta_{31}+X_2\delta_{32}+X_3\delta_{33}+\Delta_{3P}&=0. \end{aligned} \quad (7.12)$$

Агар раманинг асосий системасини 7.12- расм, в-даги кўринишда олсак, каноник тенгламалар системаси анча ихчамлашади. Раманинг асосий системасини ҳосил қилишда уни симметрия ўқи ўтган кесимдан қирқдик. Бу асосий системанинг бирлик эпюраларини курсак, симметрик (\bar{M}_1, \bar{M}_3) ва тескари симметрик (\bar{M}_2), эпюралар ҳосил бўлади (7.13-расм).

Тўғри ва тескари симметрик эпюраларнинг кўпайтмаси нолга тенг бўлади. Бу қоида каноник тенглама коэффициентларини аниқлашда жуда қўл келади. Чунончи, δ_{12} коэффициентини аниқлашда \bar{M}_1 ва \bar{M}_2 эпюралар Верешчагин формуласи бўйича ўзаро кўпайтирилиши керак. Бироқ эпюраларнинг бири симметрик, иккинчиси тескари симметрик бўлгани учун кўпайтма ноль чиқишинини олдиндан биламиз. Шундай қилиб,

$$\delta_{12} = \delta_{21} = 0.$$

\bar{M}_2 ва \bar{M}_3 эпюраларининг кўпайтмасидан $\delta_{23} = \delta_{32} = 0$ келиб чиқади. Бунинг оқибатида каноник тенгламалар системаси қуйидаги кўринишга келади:

$$X_1\delta_{11}+X_3\delta_{13}+\Delta_{1P}=0;$$

$$X_2\delta_{22}+\Delta_{2P}=0;$$

$$X_1\delta_{31}+X_3\delta_{33}+\Delta_{3P}=0;$$

яъни яхлит тенгламалар системаси (7.12) иккита мустақил тенгламалар системасига ажралиб кетди:

булардан бири

$$X_1\delta_{11}+X_3\delta_{13}+\Delta_{1P}=0;$$

$$X_1\delta_{31}+X_3\delta_{33}+\Delta_{3P}=0; \quad (7.13)$$

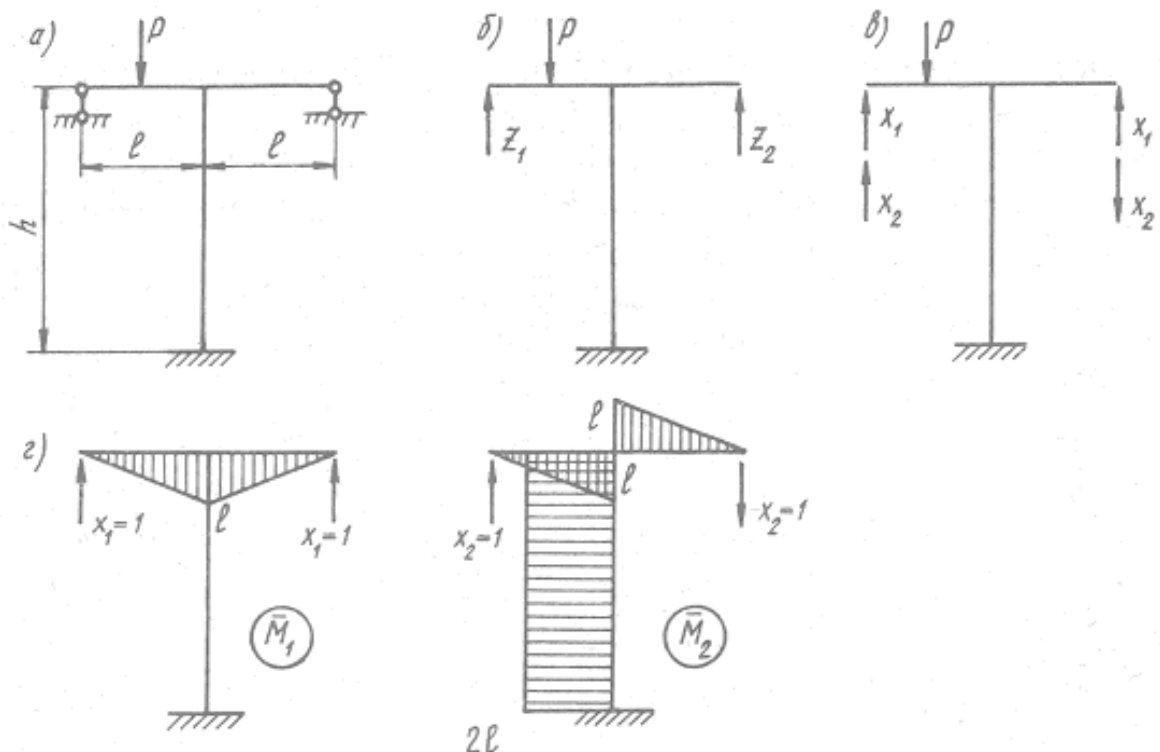
иккинчиси

$$X_2\delta_{22}+\Delta_{2P}=0. \quad (7.14)$$

Шундай қилиб, асосий система танлаш жараёнида раманинг симметриклик хусусиятларидан фойдаланиб, уч номаълумли яхлит тенгламалар системасини иккита мустақил тенгламалар системасига ажратдик, буларнинг бири икки номаълумли иккита тенглама, иккинчиси бир номаълумли битта тенглама. Натижада ҳисоб ишларини анча қисқартириш имкониятига эга бўлдик.

Номаълумларни гуруҳлаш

Кўп оралиқли симметрик рамаларни ҳисоблашда тўғри ва тескари симметрик бўлган эпюралар ҳосил қилиш учун номаълумлар сифатида алоҳида кучлар эмас, балки кучлар гурухи қабул қилинади. Икки номаълумли рама мисолида усулнинг моҳиятини баён этамиз (7.14- расм, а).



7.14- расм

Берилган рама икки оралиқли бўлиб, шарнирли қўзғалувчан таянчлар устунга нисбатан симметрик жойлашган. Раманинг асосий системасини таянчларни ташлаб юбориш йўли билан ҳосил қиласиз. Йўқотилган боғланишлар ўрнига номаълум реакция кучларини қўямиз (7.14- расм, б). Бироқ асосий системани бундай олиниши ҳисоб ишларини соддалаштиришга олиб келмайди, каноник тенгламалар системаси яхлитлигича қолаверади:

$$Z_1\delta_{11}+Z_2\delta_{12}+\Delta_{1P}=0;$$

$$Z_1\delta_{21}+Z_2\delta_{22}+\Delta_{2P}=0;$$

Ҳисоб жараёнида маълум даражада соддалашувга эришиш мақсадида Z_1 реакциясини X_1 ва X_2 номаълумларининг йигиндиси билан, Z_2 реакция кучини эса X_1 ва X_2 номаълумларининг айирмаси билан алмаштирамиз (7.14-расм, в). Натижада якка кучлар кучлар гуруҳи билан алмашади. Бунинг оқибатида тўғри \bar{M}_1 ва тескари \bar{M}_2 симметрик эпюраларга эга бўламиз (7.14-расм, г). Маълумки, бундай эпюралар кўпайтмаси нолга teng бўлади, Шунга кўра $\delta_{12}=0$. Каноник тенгламалар системаси эса алоҳида иккита мустақил тенгламаларга ажралиб кетади:

$$X_1\delta_{11}+\Delta_{1P}=0; \quad X_2\delta_{22}+\Delta_{2P}=0.$$

Мазкур тенгламалардан X_1 ва X_2 номаълумлари аниқланади, сўнгра якунловчи M эпюраси қурилади.

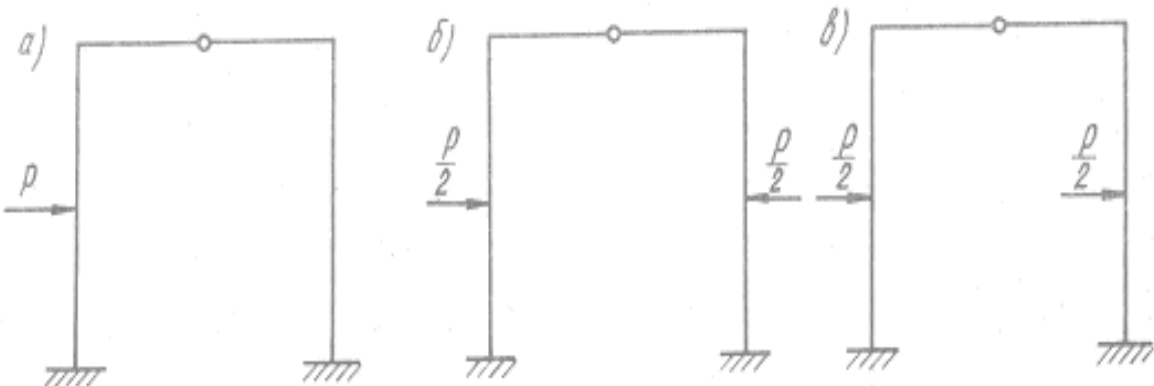
$$M = M_p + X_1\bar{M}_1 + X_2\bar{M}_2.$$

Носимметрик юкларни тўғри ва тескари симметрик юкларга ажратиш

Агар статик ноаниқ симметрик рамаларга қўйилган юклар носимметрик бўлса, уларни тўғри ва тескари симметрик юкларга ажратиш йўли билан ҳисоб ишларини бир мунча соддалаштирса бўлади.

Симметрик рамага носимметрик P кучи қўйилган бўлсин (7.15- расм, *а*).

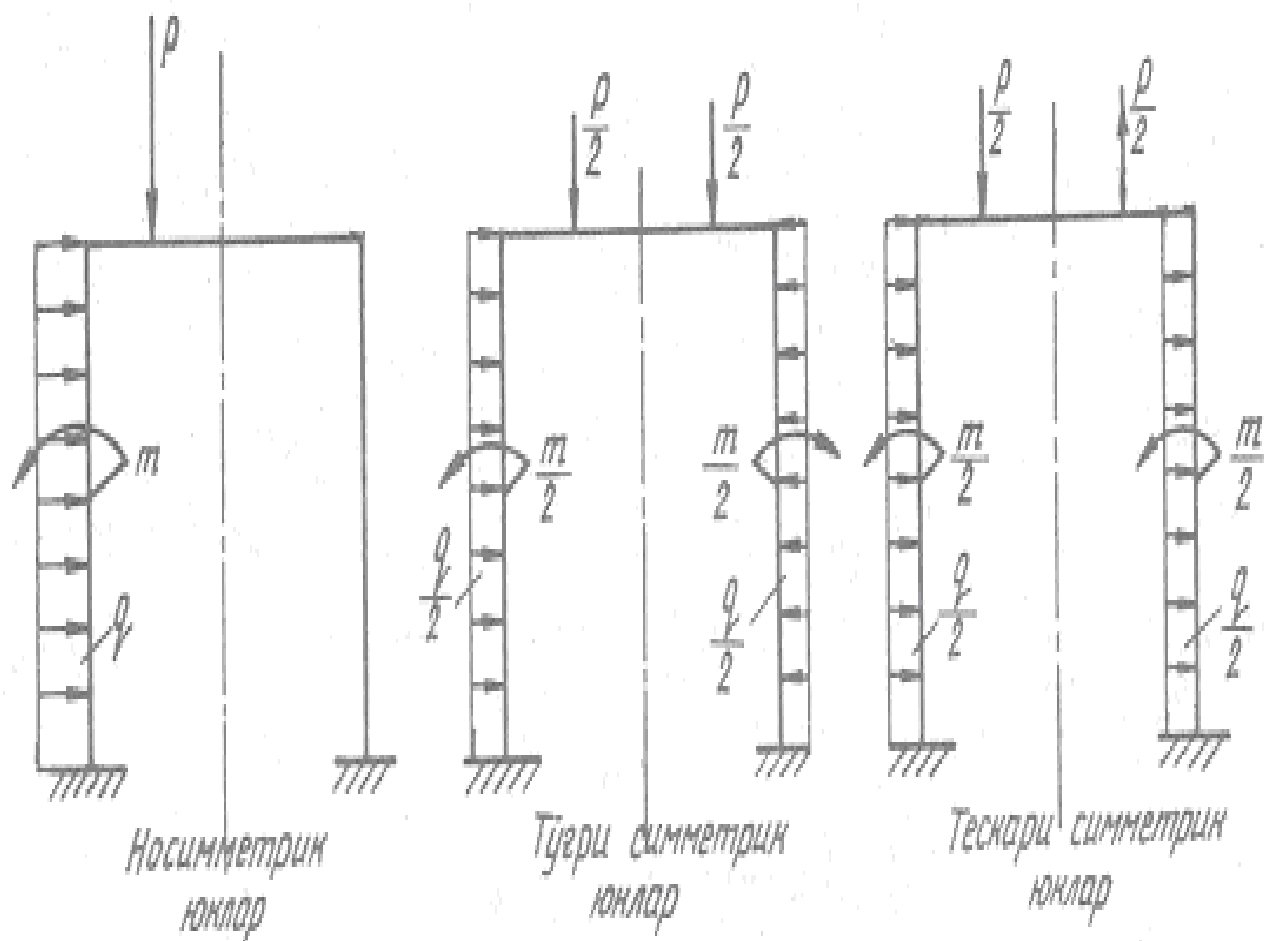
Шу кучни иккига бўлиб, тўғри ва тескари симметрик кучларга ажратамиз (7.15- расм, *б*, *в*). Кучлар шундай ажратилиши керакки, уларни қайтадан қўшганда, дастлабки куч ҳолати келиб чиксин. Масалан, раманинг чап устунига (расм, *б*, *в*) бир йўналишда миқдори $P/2$ бўлган иккита куч қўйилган, буларнинг йиғиндиси P га тенг бўлади. Раманинг ўнг устунига эса ўша кучлар қарама-қарши йўналишда қўйилган, бу кучларнинг йиғиндиси нолга тенг бўлади, натижада дастлабки куч ҳолати келиб чиқади.



7.15- расм

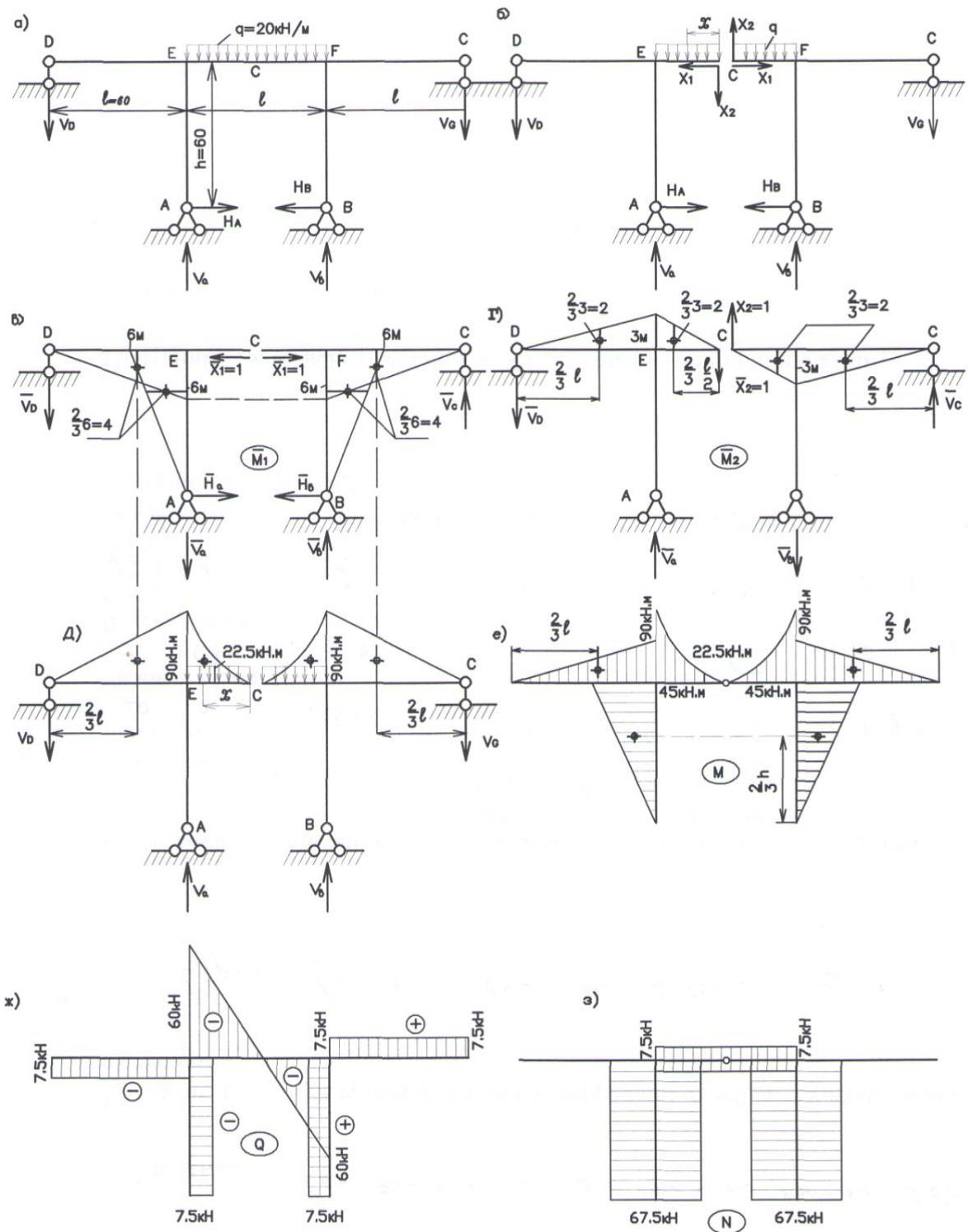
Шундай қилиб, тўғри ва тескари симметрик кучлар қўйилган иккита рамага эга бўлдик (7.15- расм, *б*, *в*). Энди бу рамалар алоҳида равища ҳисобланади, тўғри симметрик кучлардан M_{mye} эпюраси, тескари симметрик кучлардан M_{mec} эпюраси қурилади. Раманинг берилган кучдан ҳосил бўладиган ҳақиқкий M эпюраси тўғри ва тескари симметрик эпюралар йиғиндисидан иборат бўлади.

Носимметрик равища жойлашган турли хил ташқи кучларни тўғри ва тескари симметрик юкларга ажратиш йўли 7.16- расмда кўрсатилган.



7.16- расм

7.1 - мисол. 7.17 -расм, а да берилган рама учун M , Q , ва N эпюралари курилсин. Якуний эгувчи моментлар эпюрасининг тўғрилиги текширилсин. Раманинг барча элементлари бикирлиги ўзгармас.



7.17- расм

Ечиш.

Раманинг статик ноаниқлик даражасини аниқлаймиз.

$$C_n = 3K - III = 3 \cdot 3 - 7 = 2,$$

демак, рама икки марта статик ноаниқ.

Раманинг асосий системасини ҳосил қилиш учун ўртадаги C шарнирини олиб ташлаймиз ва ўрнига номаълум ички кучлар X_1 ва X_2 ни қўямиз (7.17-расм, б). Асосий системани мана шундай танлаш йўли билан ҳисобда айрим енгилликларга эришамиз. Масалан, δ_{12} , δ_{21} ва Δ_{2p} кўчишлар нолга айланади.

Шарнир олиб ташлангач, ёндош кесимларда вертикал ва горизантал йўналишларда ўзаро кўчиш имконияти пайдо бўлади. Аслида берилган системада шарнир туфайли ҳеч қандай кўчиш вужудга келмайди. Ана шу ҳолатни таъминлаш учун кесим учларига қарама-қарши йўналишларда иккитадан номаълум кучлар (X_1 ва X_2) қўямиз. Бу кучлар ёндош кесимларнинг ўзаро силжишига чек қўяди.

X_1 ва X_2 номаълум кучлар каноник тенгламалардан топилади:

$$\delta_{11}X_1 + \delta_{12}X_2 + \Delta_{1p} = 0;$$

$$\delta_{21}X_1 + \delta_{22}X_2 + \Delta_{2p} = 0.$$

\bar{M}_1 эпюрасини қуриш учун асосий системадаги барча кучлар олиб ташланиб, иккита қара-қарши йўналган горизантал куч $\bar{X}_1 = 1$ қўйилади (7.17-расм, в), кейин чап томондаги кесимлар учун эгувчи моментлар аниқланади. Аввал таянч реакцияларини аниқлаймиз:

$$\sum M_A = \bar{V}_d \ell - \bar{X}_1 h = 0, \quad \text{бундан} \quad \bar{V}_d = \frac{\bar{X}_1 h}{\ell} = \frac{1 \cdot 6}{6} = 1;$$

$$\sum Y = \bar{V}_d - \bar{V}_a = 0, \quad \text{бундан} \quad \bar{V}_a = \bar{V}_d = 1;$$

$$\sum X = \bar{H}_a - \bar{X}_1 = 0, \quad \text{бундан} \quad \bar{H}_a = \bar{X}_1 = 1.$$

DC элементининг характерли кесимларидағи әгувчи моментлар:

$$\bar{M}_D = 0; \quad \bar{M}_E^{\text{чап}} = \bar{V}_d \cdot \ell = 1 \cdot 6 = 6 \text{ м};$$

$$\bar{M}_E^{\text{үңг}} = \bar{M}_E^{\text{чап}} - \bar{H}_a h = 6 - 1 \cdot 6 = 0; \quad \bar{M}_C = 0.$$

AE элементи кесимларидағи әгувчи моментлар:

$$\bar{M}_A = 0; \quad \bar{M}_E = -\bar{H}_a h = -1 \cdot 6 = -6 \text{ м}.$$

\bar{M}_2 эпюрасини қуриш учун асосий системага фақат иккита вертикал күч $\bar{X}_2 = 1$ қўямиз (7.17- расм, ε) ва керакли кесимлардаги әгувчи моментларни ҳисоблаймиз. Таянч реакцияларини аниқлаймиз:

$$\sum M_A = -\bar{V}_d \cdot \ell + \bar{X}_2 \frac{\ell}{2} = 0, \quad \text{бундан} \quad \bar{V}_d = \frac{\bar{X}_2}{2} = \frac{1}{2} = 0,5;$$

$$\sum Y = -\bar{V}_d + \bar{V}_a - \bar{X}_2 = 0, \quad \text{бундан} \quad \bar{V}_a = \bar{V}_d + \bar{X}_2 = 0,5 + 1 = 1,5.$$

Горизантал кучлар бўлмаганлиги сабабли $\bar{H}_a = 0$.

DC элементининг характерли кесимларидағи әгувчи моментлар:

$$\bar{M}_D = 0;$$

$$\bar{M}_E^{\text{чап}} = \bar{M}_E^{\text{үңг}} = -\bar{V}_d \cdot \ell = -0,5 \cdot 6 = -3 \text{ м};$$

$$\left(\text{ёки} \quad -\bar{X}_2 \cdot \frac{\ell}{2} = -1 \cdot \frac{6}{2} = -3 \text{ м} \right); \quad \bar{M}_C = 0.$$

AE элементининг кесимларидағи әгувчи моментлар нолга тенг, чунки бу элементга таъсир этувчи ягона күч \bar{V}_a элементнинг оғирлик марказидан ўтиб, момент ҳосил қилмайди.

Энди рама асосий системасининг чап ярмига фақат берилган кучлар таъсирини қўриб ўтамиз (7.17- расм, δ). Таянч реакцияларини аниқлаймиз.

$$\sum M_A = -V_d \cdot \ell + q \frac{\ell}{2} \cdot \frac{\ell}{4} = 0, \quad \text{бундан} \quad V_d = \frac{q\ell}{8} = \frac{20 \cdot 6}{8} = 15 \text{ кН};$$

$$\sum Y = -V_d + V_a - q \frac{\ell}{2} = 0,$$

$$\text{бундан } V_a = V_d + q \frac{\ell}{2} = 15 + \frac{20 \cdot 6}{2} = 75 \text{ кН;}$$

горизантал реакция $H_a = 0$.

$\mathcal{D}C$ элементининг кесимларидағи әгувчи моментлар:

$$M_D = 0; \quad M_E^{\text{чап}} = M_E^{\text{үңг}} = -V_d \ell = -15 \cdot 6 = -90 \text{ кНм};$$

$$M_{x=1,5 \text{ м}} = -q \frac{x^2}{2} = -20 \cdot \frac{1,5^2}{2} = -22,5 \text{ кНм}; \quad M_C = 0.$$

AE элементининг кесимларидағи әгувчи моментлар нолга тең.

Топилган қийматлар асосида асосий системанинг чап қисми учун \bar{M}_1 , \bar{M}_2 ва M_p эпюраларини қурамиз (7.17- расм, в, г, д).

Асосий системанинг ўнг ва чап қисмлари, шунингдек $\bar{X}_1 = 1$ кучлари, вертикал ўққа нисбатан симметрик бўлганлиги сабабли, \bar{M}_1 эпюрасининг ўнг қисми ҳам чап қисмiga симметрик бўлади (7.17- расм, в). Шунга ўхшаб, M_p эпюраси ҳам вертикал ўққа нисбатан симметрик. Симметрик асосий системага қўйилган $\bar{X}_2 = 1$ кучлари тескари кўринишга эга, шу боисдан \bar{M}_2 эпюраси тескари симметрик эпюра бўлади. Ушбу мулоҳазалар асосида \bar{M}_1 , \bar{M}_2 ва M_p эпюраларини тўлдирамиз, яъни асосий системанинг ўнг қисмини (ҳисобсиз равишда) чизиб қўямиз.

Юқорида берилган каноник тенгламалар тартибига кирувчи кўчишларни аниқлашга ўтамиз.

δ_{11} кўчишни аниқлаш учун \bar{M}_1 эпюрасини \bar{M}_1 эпюрага кўпайтирамиз, яъни юза ω ни ҳам, ордината у ни ҳам шу эпюранинг ўзидан оламиз:

$$\delta_{11} = \frac{2}{EI} \left(\frac{6 \cdot 6}{2} 4 + \frac{6 \cdot 6}{2} 4 \right) = \frac{288}{EI}.$$

δ_{12} кўчишни аниқлаш учун \bar{M}_1 эпюорани \bar{M}_2 эпюрага кўпайтирилади.

Уларнинг биринчиси вертикал ўққа нисбатан симметрик, иккинчиси ригелнинг DC қисмида тескари симметрик, AE ва BF элементларида эпюра умуман йўқ. Бироқ кўпайтирилаётган эпюраларнинг бири симметрик, иккинчиси тескари симметрик бўлса, изланадиган кўчиш нолга тенг бўлади, чунки эпюраларнинг чап қисмини кўпайтирганда маълум миқдорли бир сон чиқади, ўнг қисмини кўпайтирганда ўша сон тескари ишора билан чиқади. Натижада, $\delta_{12} = 0$ бўлади.

Δ_{1p} кўчишни аниқлашда M_p эпюраси \bar{M}_1 эпюрага кўпайтирилади:

$$\Delta_{1p} = - \frac{1}{EI} \left(\frac{6 \cdot 90}{2} 4 + \frac{6 \cdot 90}{2} 4 \right) = - \frac{2}{EI} \left(\frac{6 \cdot 90}{2} 4 \right) = - \frac{2160}{EI}.$$

Максвел теоремасига кўра $\delta_{12} = \delta_{21}$. Бироқ $\delta_{12} = 0$ бўлганлиги сабабли $\delta_{21} = 0$.

δ_{22} кўчишни аниқлаш учун \bar{M}_2 эпюорани ўзини ўзига кўпайтирамиз:

$$\delta_{22} = \frac{1}{EI} \left(\frac{6 \cdot 3}{2} + \frac{3 \cdot 3}{2} 2 + \frac{3 \cdot 3}{2} 2 + \frac{6 \cdot 3}{2} 2 \right) = \frac{2}{EI} \left(\frac{6 \cdot 3}{2} 2 + \frac{3 \cdot 3}{2} 2 \right) = \frac{54}{EI}.$$

Δ_{2p} ни аниқлаш учун \bar{M}_2 ва M_p эпюралари кўпайтирилади. Бироқ булардан бири симметрик, иккинчиси тескари симметрик бўлганлиги сабабли, изланадиган кўчиш $\Delta_{2p} = 0$ бўлади. Шундай қилиб асосий системанинг симметриклиги δ_{12} , δ_{21} ва Δ_{2p} кўчишларни нолга тенглаштириш имконини берди.

Кўчишларнинг аниқланган қийматларини каноник тенгламаларга қўямиз:

$$288X_1 + 0 \cdot X_2 - 2160 = 0;$$

$$0 \cdot X_1 + 54X_2 + 0 = 0.$$

Бир бирига боғлиқ бўлмаган икки тенгламага эга бўлдик.

Уларнинг биридан X_1 ни топамиз:

$$X_1 = \frac{2160}{288} = 7,5 \text{ кН.}$$

Иккинчи тенгламадан $X_2 = 0$ эканлиги маълум бўлади.

Демак, симметрик системаларга симметрик юклар қўйилган бўлса, тескари симметрик ноъмалумлар нолга тенг бўлар экан.

Эндиgi навбатда характерли кесимлардаги якуний (йифинди) эгувчи моментларнинг қийматдарини аниқлаймиз. Бунинг учун M_p эпюраси ординаталари билан \bar{M}_1 эпюраси ординаталарнинг $X_1 = 7,5 \text{ кН}$ га қўпайтирилган ординаталари алгебраик йифиндисини оламиз. Қўшилаётган эпюралар симметрик бўлганлиги сабабли, йифинди эпюра ҳам симметрик бўлади. Шу боисдан раманинг факат чап қисмини ҳисоблаймиз:

AE элементи

$$M_A = 0; \quad M_E = 0 - 6 \cdot 7,5 = -45 \text{ кНм}.$$

DC элементи

$$M_D = 0; \quad M_E^{\text{чап}} = -90 + 6 \cdot 7,5 = -45 \text{ кНм}; \quad M_C = 0;$$

$$M_E^{\text{ўнг}} = -90 + 0 = -90 \text{ кНм}; \quad M_{x=1,5 \text{ м}} = -22,5 + 0 = -22,5 \text{ кНм}.$$

Топилган қийматлар бўйича эгувчи моментлар эпюрасининг чап қисмини қурамиз, кейин шунга симметрик равишда ўнг қисмини чизамиз. (7.17- расм, e).

M эпюраси тўғри қурилганлигини текшириш учун C шарнири қўйилган нуқтанинг горизантал ва вертикал кўчишларини аниқлаймиз. Бунинг учун M эпюрасини навбатма навбат \bar{M}_1 ва \bar{M}_2 эпюралари билан қўпайтирамиз. Агар қўпайтма натижалари ноль чиқса, M эпюраси тўғри қурилган бўлади.

M ва \bar{M}_1 эпюраларини қўпайтирамиз:

$$\Delta_{\text{роп}} = \frac{1}{EI} \left(-\frac{6 \cdot 45}{2} 4 + \frac{6 \cdot 45}{2} 4 - \frac{6 \cdot 45}{2} 4 + \frac{6 \cdot 45}{2} 4 \right) = 0.$$

Симметрик ва тескари симметрик эпюралар қўпайтмаси ҳамма вақт ноль бўлишини биламиз. Бизнинг ҳолда M симметрик, \bar{M}_2 эса тескари симметрик эпюра, шу сабабга қўра $\Delta_{\text{септ}} = 0$.

Раманинг Q ва N эпюраларини қуриш учун унинг таянч реакцияларини аниқлаймиз.

Асосий системанинг чап қисмидаги таянч реакцияларини аниқлаймиз (7.17- расм, б):

$$\sum M_A = -V_d \ell + q \frac{\ell}{2} \cdot \frac{\ell}{4} - X_1 h = 0,$$

$$\text{бундан } V_d = \frac{\frac{q\ell^2}{8} - X_1 h}{\ell} = \frac{\frac{20 \cdot 6^2}{8} - 7,5 \cdot 6}{6} = 7,5 \text{ кН;}$$

$$\sum Y = -V_d + V_a - q \frac{\ell}{2} = 0,$$

$$\text{бундан } V_a = V_d + q \frac{\ell}{2} = 7,5 + 20 \cdot \frac{6}{2} = 67,5 \text{ кН;}$$

$$\sum X = H_a - X_1 = 0, \quad \text{бундан } H_a = X_1 = 7,5 \text{ кН.}$$

$X_2 = 0$ бўлганлиги сабабли юқоридаги тенгламалар таркибига киритилмади.

Асосий системанинг чап ва ўнг қисмлари юклар билан бирга симметрик бўлганлиги сабабли, ўнг қисм таянч реакциялари қўйидагича бўлади:

$$V_g = V_d = 7,5 \text{ кН}; \quad V_b = V_a = 67,5 \text{ кН}; \quad H_b = H_a = 7,5 \text{ кН}.$$

Асосий система учун топилган реакциялар берилган система учун ҳам реакция ҳисобланади. Бу реакцияларни берилган системага күчириб, характерли кесимлар учун күндаланг кучларни ҳисоблаймиз:

DG элементи

$$Q_D = -V_d = -7,5 \text{ кН}; \quad Q_E^{\text{чап}} = Q_d = -7,5 \text{ кН};$$

$$Q_E^{\text{ýнг}} = Q_E^{\text{чап}} + V_a = -7,5 + 67,5 = 60 \text{ кН};$$

$$Q_F^{\text{чап}} = Q_E^{\text{ýнг}} - q\ell = 60 - 20 \cdot 6 = -60 \text{ кН};$$

$$Q_G = Q_F^{\text{ýнг}} = 7,5 \text{ кН}.$$

AE элементи

$$Q_A = -H_a = -7,5 \text{ кН}; \quad Q_E = Q_A = -7,5 \text{ кН}.$$

BF элементи

$$Q_B = H_a = 7,5 \text{ кН}; \quad Q_F = Q_B = 7,5 \text{ кН}.$$

Q эпюраси 7.17- расм, жс да келтирилган.

Бўйлама кучларни ҳисоблаймиз ва *N* эпюрасини қурамиз (7.17- расм, з):

$$N_{DE} = 0; \quad N_{EF} = -H_a (\ёки -H_b) = -7,5 \text{ кН}; \quad N_{FG} = 0;$$

$$N_{AE} = -V_a = -67,5 \text{ кН}; \quad N_{BF} = -V_b = -67,5.$$

8- БОБ

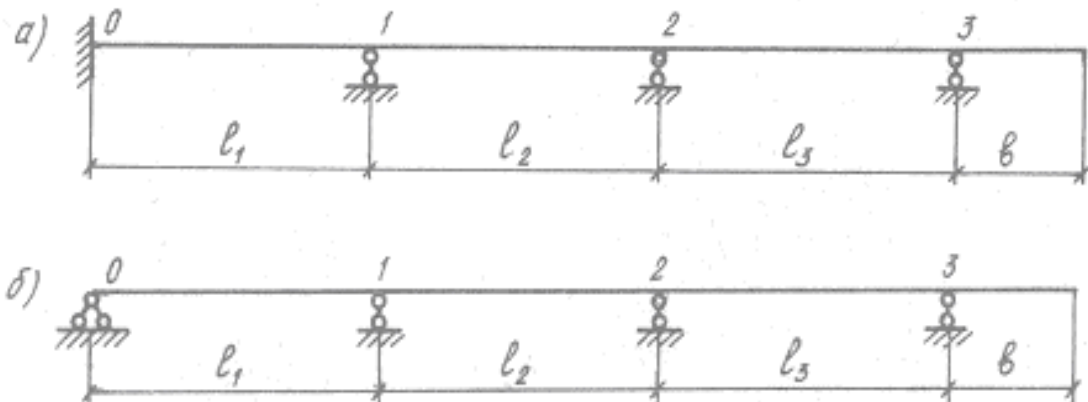
**КУЧЛАР УСУЛИНИ СТАТИК НОАНИҚ БАЛКА,
ФЕРМА ВА АРКАЛАР ҲИСОБИГА ТАДБИҚИ**

8.1. Узлуксиз балкаларни ҳисоблаш

Бир неча оралиқлардан ташкил топган ва чекка таянчлардан бири шарнирли қўзгалмас ёки бикир бўлган балка — узлуксиз балка деб аталади (8.1- расм.)

Мазкур параграфда узлуксиз балкалар ҳисобига кучлар усулиниң тадбиқини кўриб ўтамиш. Иш узлуксиз балкаларнинг статик ноаниқлик даражасини аниқлашдан бошланади:

$$n=2III + C_T - 3D$$



8.1-расм

Бу ерда III — дискларни туташтирувчи оддий шарнирлар сони;

C_T — таянч стерженлари сони.

Узлуксиз балка яхлит балкадан ташкил топганлиги сабабли $D=1$; $III=0$ бўлади. У ҳолда юқоридаги формула қўйидаги кўринишга келади

$$n=C_T-3 \quad (8.1)$$

8.1- расмда кўрсатилган балкалар статик аниқмасдир, чунки уларнинг ҳар бири учун номаълум таянч реакцияларининг сони статиканинг мувозанат тенгламалари сонидан ортиқ.

Расмдаги балкаларнинг статик ноаниқлик даражасини (8.1) формула ёрдамида аниқлаймиз:

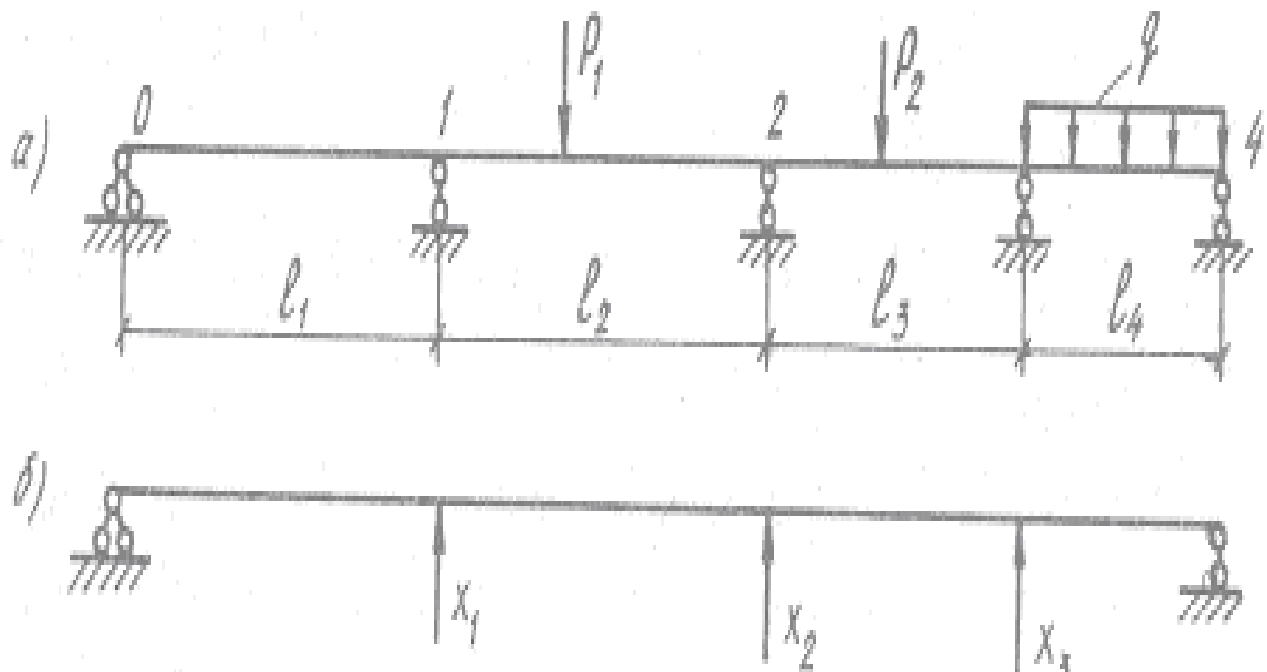
$$n = 6 - 3 = 3, \quad n = 5 - 3 = 2$$

Демак, *a*- расмдаги балка уч марта, *b*- расмдагиси эса икки марта статик ноаниқ экан.

Узлуксиз балканинг статик ноаниқлик даражаси аниқланганидан сўнг унинг асосий системаси танланади.

8.2- расм, *b*-да тавсия этилган асосий система ташқи таянчларига қўра, 8.2- расм, *a*-да тавсия этилган асосий система эса ички боғланишларга қўра ҳосил қилинган.

Ҳар иккала асосий система талабга тўлиқ жавоб беради, чунки ҳар иккаласи ҳам геометрик ўзгармас ва статик аниқдир.



8.2- расм

Узлуксиз балкаларни ҳар иккала асосий система бўйича хисобласа бўлади.

Умуман асосий системани шундай танлаш керакки, каноник тенгламанинг айрим ёрдамчи коэффициентлари нолга айлансин ва танланган асосий система ҳар томонлама қулай бўлсин. Чунки асосий система ҳар томонлама қулай танланса, кейинги ҳисоб ишлари анча соддалашади. Шу нуқтаи назардан юқоридаги икки асосий системани таҳлил қилиб қўрайлик.

Биринчи вариантда ифодаланган асосий системада номаълумларнинг йўналиши бўйича мавжуд бўладиган чизиқли кўчишлар нолга тенг бўлмайди, шу сабабли каноник тенгламанинг коэффициент ва озод хадлари ҳам нолга айланмайди.

Иккинчи вариант асосида танланган асосий система мустақил оддий статик аниқ балкалардан иборат бўлиб, айрим бурчакли кўчишлар нолга тенг бўлиши туфайли каноник тенгламанинг айрим ёрдамчи коэффициентлари нолга тенг бўлишига олиб келади.

Таҳлиллар узлуксиз балкаларни ҳисоблашда иккинчи вариант мақсадга мувофик эканлигини кўрсатади.

Уч моментлар тенгламаси

Узлуксиз балканинг асосий системасини оддий бир оралиқли балкаларнинг йигиндиси сифатида қабул қиласиз (8.3- расм, а).

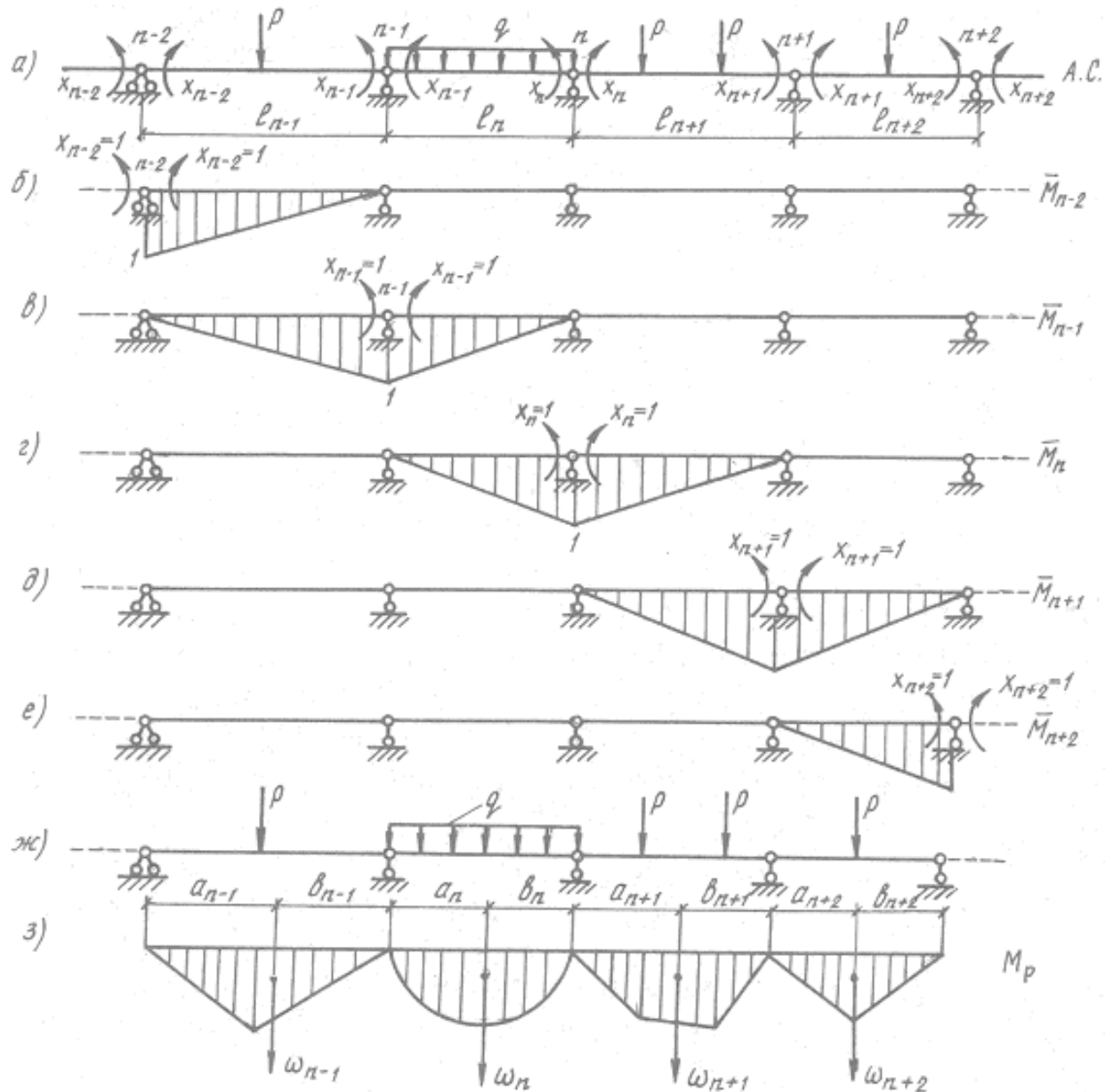
Бу асосий системада номаълумлар сифатида таянч кесимларида вужудга келадиган эгувчи моментлар ($X_{n-2}, X_{n-1}, X_n, X_{n+1}, X_{n+2}$) қабул қилинади. Номаълумларнинг йўналишини олдиндан айтиш қийин. Шу сабабли уларни пастки толачаларни чўзади деб шартли равишда қабул қиласиз. Номаълумларнинг ҳақиқий йўналиши тенгламанинг ечими натижасида ҳал этилади.

Каноник тенглама системасидан бирор қаторини ёзамиш:

$$\dots + \delta_{n,n-2} \cdot X_{n-2} + \delta_{n,n-1} \cdot X_{n-1} + \delta_{n,n} X_n + \delta_{n,n+1} X_{n+1} + \delta_{n,n+2} X_{n+2} + \dots + \Delta_{np} = O.$$

Бу ерда $\delta_{n,n}X_n$ — таянч кесимининг бурчакли кўчиши.

Каноник тенгламанинг коэффициент ва озод хадларини аниқлаш учун асосий системани бирлик ва ташқи кучлар билан юклаймиз. Бирлик ва ташқи кучлар таъсирида эгувчи момент эюпраклари қурилади (8.3- расм, б, в, г, д, е, жс, з).



8.3- расм

Эпюралардан фойдаланиб, каноник тенгламанинг айrim коэффициентлари (масалан, $\delta_{n,n-2}$, $\delta_{n,n+2}$) нолга тенг эканлигини билиб оламиз.

У ҳолда n — таянч учун каноник тенглама қыйидаги күришишга эга бўлади:

$$\delta_{n,n-1} X_{n-1} + \delta_{n,n} X_n + \delta_{n,n+1} X_{n+1} + \Delta_{np} = O.$$

Каноник тентламанинг коэффициенти ва озод ҳадларини Мор интегрални, Верешчагин ёки Симпсон усулида аниқлаймиз.

$$\begin{aligned}\delta_{n,n-1} &= \sum \int \frac{\bar{M}_n \bar{M}_{n-1}}{EJ} dx = \frac{1}{EJ} \left[\frac{1}{2} l_n \cdot \frac{1}{3} \right] = \frac{l_n}{6EJ} \\ \delta_{n,n} &= \sum \int \frac{\bar{M}_n \bar{M}_n}{EJ} dx = \frac{1}{EJ} \left[\frac{1}{2} l_n \cdot \frac{2}{3} + \frac{1}{2} l_{n+1} \cdot \frac{2}{3} \right] = \\ &= \frac{1}{EJ} \left[\frac{2l_n}{6} + \frac{2l_{n+1}}{6} \right] = \frac{2}{6EJ} [l_n + l_{n+1}] \\ \delta_{n,n+1} &= \sum \int \frac{\bar{M}_n \bar{M}_{n+1}}{EJ} dx = \frac{1}{EJ} \left(\frac{1}{2} l_{n+1} \cdot \frac{1}{3} \right) = \frac{l_{n+1}}{6EJ}; \\ \Delta_{\partial} &= \sum \int \frac{\bar{M}_p \bar{M}_n}{EJ} dx = \frac{1}{EJ} [\omega_n \cdot y_c + \omega_{n+1} \cdot y_c] = \frac{1}{EJ} \\ &\quad \left[\omega_n \cdot \frac{a_n}{l_n} + \omega_{n+1} \cdot \frac{a_{n+1}}{l_{n+1}} \right].\end{aligned}$$

Топилган озод ҳад ва коэффициентларни тенгламага қўйиб ихчамлаштирасак, у қыйидаги күришишга келади:

$$X_{n-1} \cdot l_n + 2X_n(l_n + l_{n+1}) + X_{n+1} = -6 \left(\frac{\omega_n a_n}{l_n} + \frac{\omega_{n+1} b_{n+1}}{l_{n+1}} \right).$$

Агар $X_{n-1}=M_{n-1}$, $X_n=M_n$, $X_{n+1}=M_{n+1}$ билан алмаштирилса, қыйидаги тенглама ҳосил бўлади:

$$M_{n-1} \cdot l_n + 2M_n(l_n + l_{n+1}) + M_{n+1}l_{n+1} = -6 \left(\frac{\omega_n a_n}{l_n} + \frac{\omega_{n+1} b_{n+1}}{l_{n+1}} \right). \quad (8.2)$$

(8.2) ифода уч моментлар тенгламаси деб аталиб, ҳар бир оралиқ таянчи учун алоҳида равишда тузилади. Тузиладиган тенгламалар сони узлуксиз балканинг статик ноаниқлик даражасига тенг бўлади.

Уч моментлар тенгламасининг ўнг қисмини қуидаги кўринишда ёзиш мумкин:

$$M_{n-1} \cdot l_n + 2M_n(l_n + l_{n+1}) + M_{n+1}l_{n+1} = -6R_n^\Phi \quad (8.3)$$

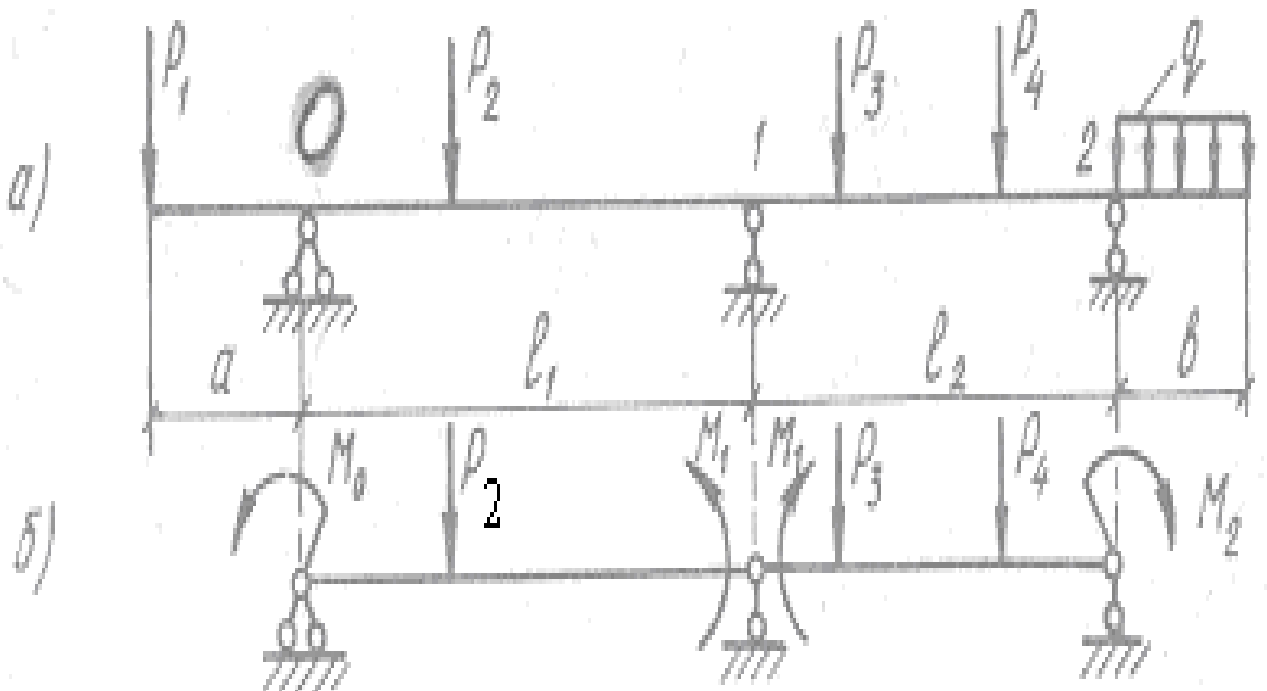
Бу ерда $R_n^\Phi = A_n^\Phi + B_n^\Phi$,

$$A_n^\Phi = \frac{\omega_n a_n}{l_n}, \quad B_n^\Phi = \frac{\omega_{n+1} b_{n+1}}{l_{n+1}};$$

деб олинган.

Хусусий ҳоллар

- Агар берилган узлуксиз балканинг консол қисми бўлса, у ҳолда консол таянч моментлари билан алмаштирилади.



8.4- расм

Масалан, 8.4- расм, *a*- да берилган бир номаълумли узлуксиз балка учун уч моментлар тенгламаси қуидаги кўринишга эга бўлади:

$$M_o \cdot l_1 + 2M_1(l_1 + l_2) + M_2 \cdot l_2 = -6R_1 \hat{O}.$$

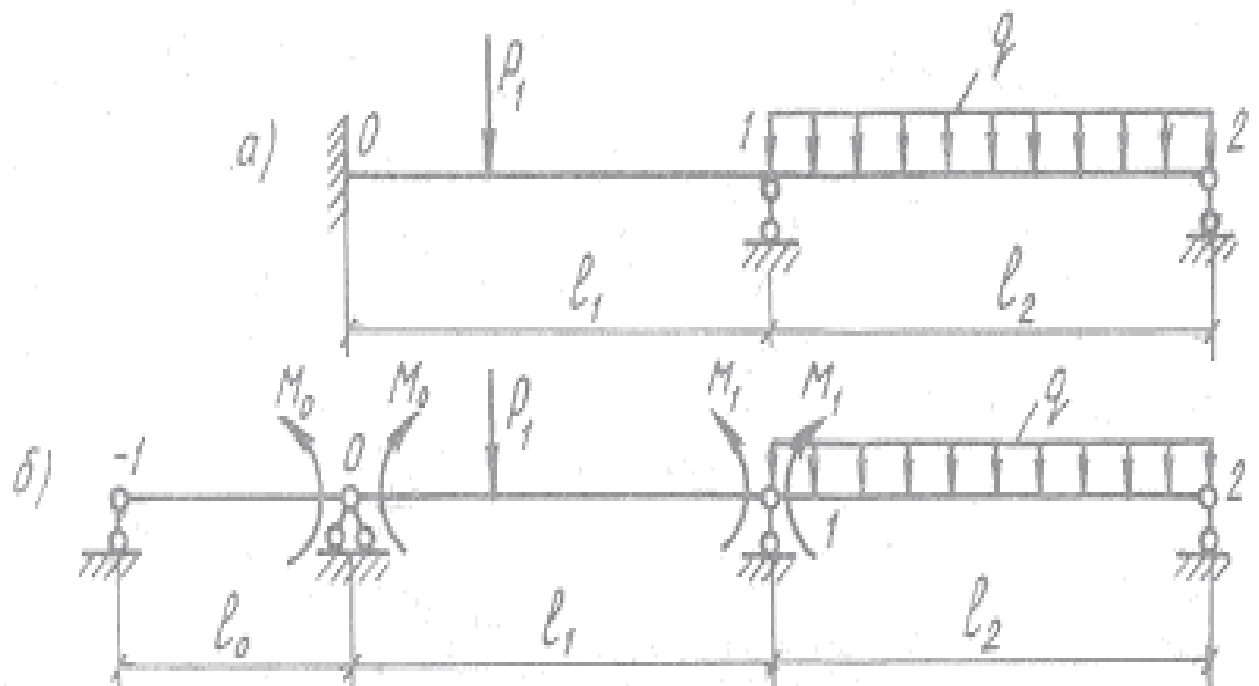
Шаклдан: $M_o = -P_1 \cdot a$;

$$M_2 = -\frac{qb^2}{2}$$

Эканлиги күриши турбиди.

Узлуксиз балканинг асосий системаси 8.4- расм, б-да тасвирланган.

2. Агар берилган балканинг чекка таянчларидан бири шарнирсиз бикир бўлса, (8.5- расм, а), у ҳолда шу бикир таянч шарнирли таянч билан алмаштирилиб, орасига қўшимча сохта оралиқ қўшилади. Бу оралиқнинг узунлиги нолга тент ва бикирлиги чексиз деб қабул қилинади (8.5- расм, б).



8.5- расм

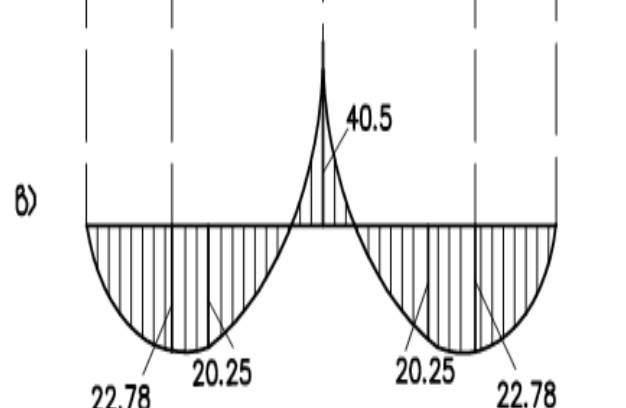
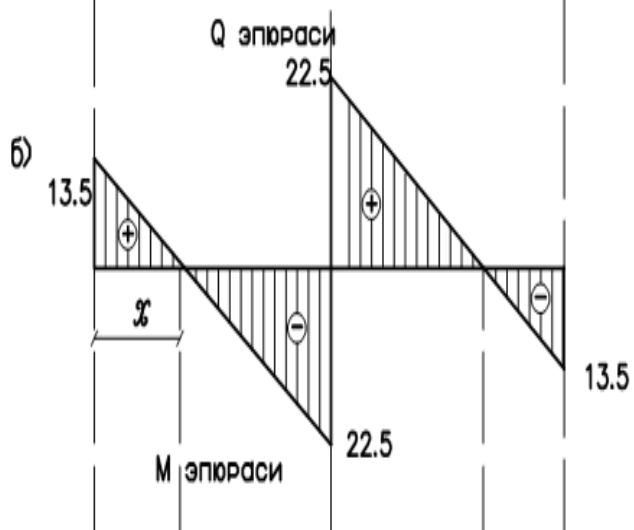
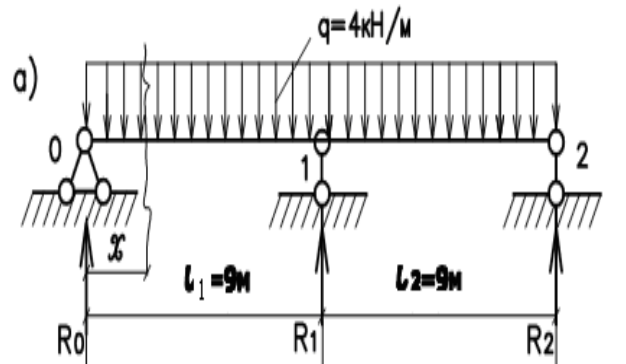
Уч моментлар тенгламасидан номаълум таянч моментлари аниқлангандан сўнг берилган балканинг эгувчи момент ва қирқувчи куч эпюралари қурилади.

Эпюраларни қуриш учун асосий системадан ҳар бир оддий балка ажратиб олинади, ажратилган балкалар ташқи куч ва аниқланган таянч

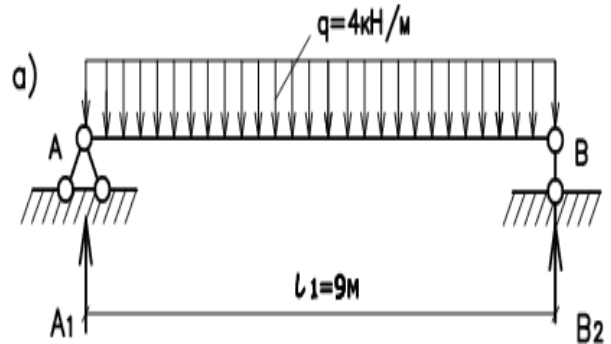
моментлари билан юкланды, сүнгра эгувчи момент ва кўндаланг куч эпюралари қурилади.

Алоҳида қурилган эпюралар ягона ўқ устига жойлаштирилади. Натижада узлуксиз балканинг эгувчи момент ва кўндаланг куч эпюралари ҳосил бўлади.

8.1 – мисол. 8.6 – расм, а да берилган узлуксиз балканинг Q ва M эпюралари қурилсин.



8.6 - расм



8.7 - расм

Ечиш.

1. Статик ноаниклик даражасини аниклаймиз:

$$n = C_r - 3 = 4 - 3 = 1.$$

Балка бир марта статик ноаниқ, шу боисдан уч моментлар тенгламаси факат битта тузилади.

2. Балканинг ҳар бир оралиғини мустақил балка сифатида ажратиб олиб, ҳар бири учун ҳақиқий (A^0 ва B^0) ҳамда фаразий (A^Φ ва B^Φ) таянч реакцияларини аниқтаймиз.

1-оралиқ (8.7 – расм)

$$A_1^0 = B_1^0 = \frac{q\ell_1}{2} = \frac{4 \cdot 9}{2} = 18 \text{ кН}$$

Фаразий таянч реакциялари

$$A_1^\Phi = B_1^\Phi = \frac{q\ell_1^3}{24} = \frac{4 \cdot 9^3}{24} = 121,5 \text{ кН}\cdot\text{м}^2$$

2 – оралиқ

Ушбу оралиқ биринчи оралиқ билан бир хил бўлганлиги сабабли, тегишли таянч реакциялари ҳам бир хил бўлади, яъни:

$$A_2^0 = B_2^0 = 18 \text{ кН}; \quad A_2^\Phi = B_2^\Phi = 121,5 \text{ кН}\cdot\text{м}^2.$$

3. Ўртадаги таянч учун уч моментлар тенгламасини тузамиз:

$$M_0\ell_1 + 2M_1(\ell_1 + \ell_2) + M_2\ell_2 = -6(B_1^\Phi + A_2^\Phi)$$

Шаклга кўра $M_0 = 0$ ва $M_2 = 0$ бўлгани учун тенглама қўйидаги тусни олади:

$$2M_1(\ell_1 + \ell_2) = -6(B_1^\Phi + A_2^\Phi).$$

2 га қисқартириб, маълум қийматларни ўз ўрнига қўядиз:

$$M_1(9+9) = -3(121,5+121,5);$$

$$18M_1 = -729,$$

бундан

$$M_1 = -\frac{729}{18} = -40,5 \text{ кН}\cdot\text{м}$$

4. Бизга маълум формуладан фойдаланиб узлуксиз балканинг таянч реакцияларини аниқтаймиз:

$$R_0 = A_1^0 - \frac{M_0 - M_1}{\ell_1} = 18 - \frac{0 - (-40,5)}{9} = 13,5 \text{ кН};$$

$$R_1 = B_1^0 + A_2^0 - \frac{M_1 - M_0}{\ell_1} - \frac{M_1 - M_2}{\ell_2} = 18 + 18 - 40,5 - 09 - \frac{-40,5 - 0}{9} = \\ = 45 \text{ кН};$$

$$R_2 = B_2^0 - \frac{M_2 - M_1}{\ell_2} = 18 - \frac{0 - (-40,5)}{9} = 13,5 \text{ кН.}$$

Текшириш:

$$\sum Y = R_0 - q(\ell_1 + \ell_2) + R_1 + R_2 = 13,5 - 4(9+9) + 45 + 13,5 = 0.$$

5. Характерли кесимлардаги күндаланг кучларни анықтаймиз ва Q эпюрасини қурамиз (8.6 – расм, б):

$$Q_0 = R_0 = 13,5 \text{ кН}; \quad Q^{\text{чап}}_1 = Q_0 - q \cdot \ell_1 = 13,5 - 4 \cdot 9 = 22,5 \text{ кН};$$

$$Q^{\text{ыңғ}}_1 = Q^{\text{чап}}_1 + R_1 = -22,5 + 45 = 22,5 \text{ кН};$$

$$Q_2 = Q^{\text{ыңғ}}_1 - q \cdot \ell_2 = 22,5 - 4 \cdot 9 = -13,5 \text{ кН};$$

6. Эгувчи моментларни ҳисоблаймиз.

0 – таянчдан x масофада ётган кесим учун эгувчи момент ифодаси:

$$M_x = R_0 x - \frac{qx^2}{2} = 13,5x - \frac{0,4x^2}{2} = 13,5x - 2x^2.$$

Бу ерда $x = 0 \div \ell_1$ оралиғида үзгаради:

$x = 0$ бўлганда $M_0 = 0$;

$$x = \frac{\ell_1}{2} = 4,5 \text{ м} \quad \text{бўлганда } M_x = 13,5 \cdot 4,5 - 2 \cdot 4,5^2 = 20,25 \text{ кН} \cdot \text{м};$$

$$x = \ell_1 = 9 \text{ м} \quad \text{бўлганда } M_1 = 13,5 \cdot 9 - 2 \cdot 9^2 = -40,5 \text{ кН} \cdot \text{м.}$$

Күндаланг кучнинг қиймати ноль бўлган абцисса x_0 ни топамиз:

$$Q_x = R_0 - q \cdot x_0 = 0, \quad \text{бундан } x_0 = \frac{R_0}{q} = \frac{13,5}{4} = 3,375 \text{ м.}$$

Ушбу кесимда эчувчи момент максимал қийматга эга бўлади:

$$M_{\max} = 13,5 \cdot 3,375 - 2 \cdot 3,375^2 = 22,78 \text{ кН} \cdot \text{м.}$$

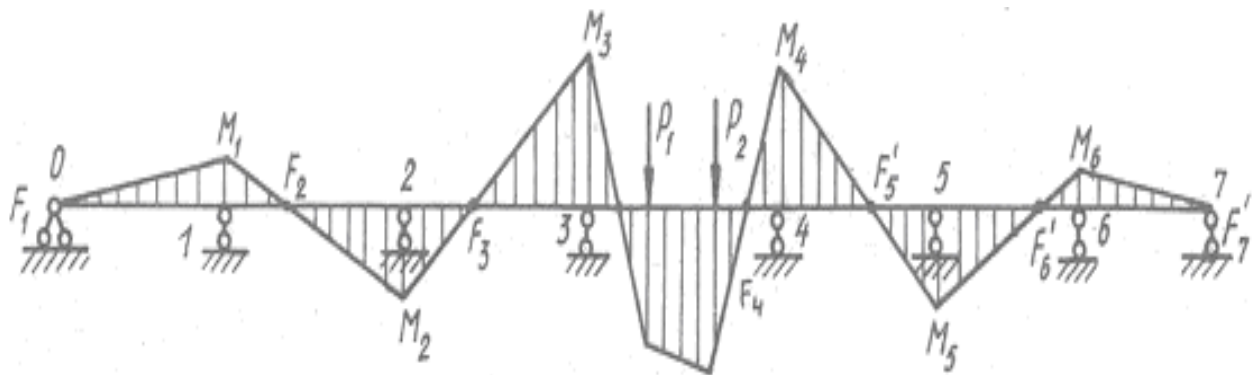
Эгувчи моментларнинг аниқланган қийматлари асосида биринчи оралиқ учун M эпюрасини кўрамиз (8.6 – расм, в).

Балка ва унга қўйилган юк симметрик бўлганлиги сабабли M эпюраси ҳам симметрик бўлади. Шу боисдан иккинчи оралиқ учун эгувчи моментларни ҳисоблашнинг ҳожати йўқ.

8.2. Узлуксиз балкаларни момент фокуслари усулида ҳисоблаш

Оралиqlари сони уч ва ундан ортиқ бўлиб, айrim оралиqlари ташқи кучлар билан юклangan бўлса, узлуксиз балкаларни момент фокуслари усулида ҳисоблаш анча қулай бўлади.

Бу усулнинг моҳиятини англаш учун уч моментлар тенгламасидан фойдаланиб, эгувчи момент эпюрасини кўрамиз (8.8- расм).



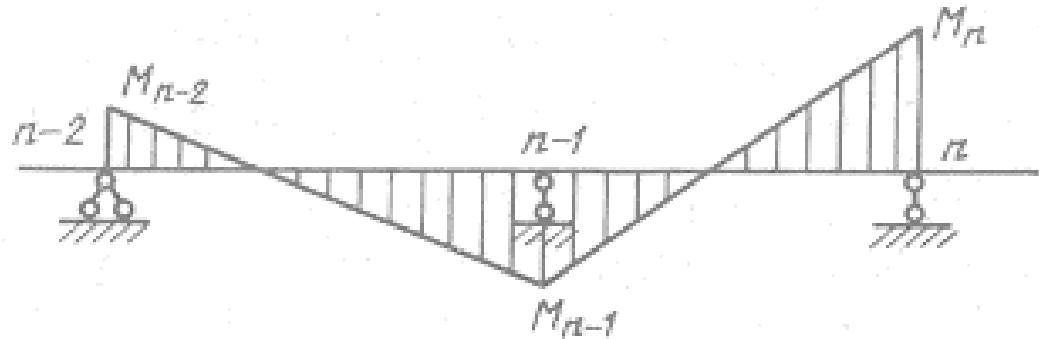
8.8- расм

Бу эпюра таҳлили асосида қуйидаги хulosага келиш мумкин: юк қўйилмаган оралиqlарда эгувчи момент оғма чизиқлардан иборат бўлиб, балканинг ўқини кесиб ўтади ва ноль нуқталар ҳосил қиласди. Бу нуқталар *момент фокуслари* деб аталади.

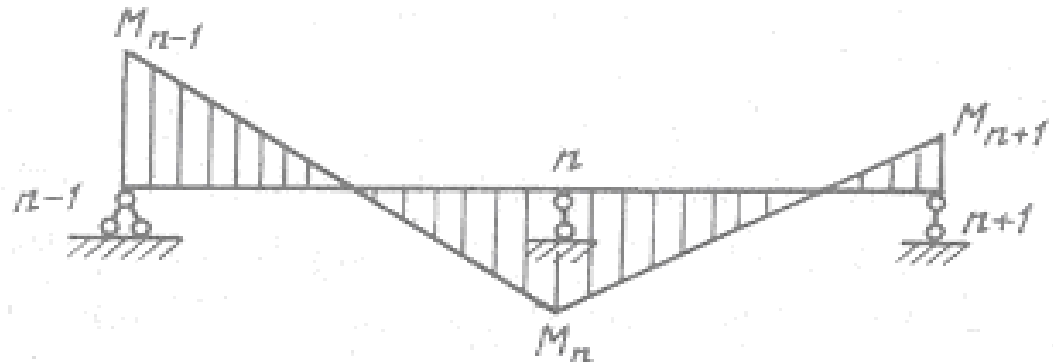
Агар ноль нуқталар юк қўйилган оралиқка нисбатан чап томонда жойлашган бўлса — *чап момент фокуси* деб аталади ва $F_1, F_2, F_3 \dots F_n$ деб белгиланади.

Агар ноль нүқталар юк қўйилган оралиқнинг ўнг томонида жойлашган бўлса — ўнг момент фокуси деб аталади ва $F_1^1, F_2^1, F_3^1 \dots F_n^1$ билан белгиланади.

Узлуксиз балканинг юкланмаган оралиғидаги таянч моментларининг абсолют қийматлари нисбати — фокуслар нисбати деб аталади.



8.9- расм



8.10- расм

Юк қўйилган оралиқларда фокусларнинг ҳолати фокуслар нисбатлари орқали аниқланади. Фокус нисбатлари ўз навбатида чап ва ўнг нисбатларга бўлинади.

Масалан, 8.8- расмда тасвирланган эгувчи момент эпюрасидан чап ва ўнг фокус нисбатлари қўйидагича аниқланади:

Чап фокус нисбатлари,

$$\frac{M_1}{M_0} = -K_1, \quad \frac{M_2}{M_1} = -K_2, \quad \frac{M_3}{M_2} = -K_3 \quad \text{бўлади.}$$

Ўнг фокус нисбатлари:

$$\frac{M_4}{M_5} = -K_5^1, \quad \frac{M_5}{M_6} = -K_6^1, \quad \frac{M_6}{M_7} = -K_7^1 \quad \text{бўлади.}$$

Таянч моментлари ҳар хил ишорали бўлгани учун фокус нисбатлари манфий ишорага эга.

Шунга ўхшаш узлуксиз балканинг юкланмаган n - оралиғи учун *чап фокус нисбати* қуидагича аниқланади (8.9- расм):

$$\frac{M_n}{M_{n-1}} = -K_n \quad (8.4)$$

Агар узлуксиз балканинг юкланмаган « n » оралиғи юк қўйилган оралиқка нисбатан ўнг томонда бўлса, у ҳолда шу оралик учун ўнг *фокус нисбати* қуидагича ифодаланади (8.10- расм):

$$\frac{M_{n-1}}{M_n} = -K_n^1 \quad (8.5)$$

Агар юкланмаган оралик юк қўйилган n — оралиқнинг чап томонида жойлашган бўлса, у ҳолда эгувчи моментлар эпюрасининг чизиги чап фокусдан ўтади: юкланмаган оралиқнинг таянч моментлари эса қуидагича ҳисобланади:

$$M_{n-1} = -\frac{M_{n-1}}{K_{n-1}}. \quad (8.6)$$

Агар юкланмаган оралик юк қўйилган оралиқнинг ўнг томонида жойлашган бўлса, у ҳолда эгувчи моментлар эпюрасининг чизиги ўнг фокусдан ўтади ва номаълум таянч моментлари қуидаги ифодадан аниқланади:

$$M_{n+1} = -\frac{M_n}{K_{n+1}}. \quad (8.7)$$

Демак, узлуксиз балкаларни момент фокуслари усулида ҳисоблаш учун биринчи навбатда, фокус нисбатлари ва юк қўйилган оралиқдаги таянч моментлари аниқланган бўлиши керак.

Чап фокус нисбатларини аниқлаш учун юк қўйилган оралиқдан чап томонда жойлашган оралиқлар учун уч моментлар тенгламасини тузамиз. Узлуксиз балканинг биринчи таянчи учун уч моментлар тенгламаси қўйидаги кўринишида ёзилади:

$$M_o l_1 + 2M_1(l_1 + l_2) + M_2 l_2 = 0$$

Шаклдан $M_o=0$ ва тенгламанинг ўнг қисми ноль эканлиги кўриниб турибди. У ҳолда:

$$\frac{M_2}{M_1} = -\frac{2(l_1 + l_2)}{l_2} = -2\left(1 + \frac{l_1}{l_2}\right)$$

(8.4) формулага асосан $\frac{M_2}{M_1} = -K_2$ деб белгиласак,

$$K_2 = 2\left(1 + \frac{l_1}{l_2}\right) \quad (8.8) \text{ келиб чиқади.}$$

Энди иккинчи таянч учун ($n=2$) уч моментлар тенгламасини ёзамиз:

$$M_1 l_2 + 2M_2(l_2 + l_3) + M_3 l_3 = 0$$

Тенгламанинг барча хадларини M_2 га бўлсак,

$$\frac{M_1}{M_2} \cdot l_2 + 2(l_2 + l_3) + \frac{M_3}{M_2} \cdot l_3 = 0$$

келиб чиқади.

Бу тенгламадаги таянч моменти нисбатларини (8.6) формулага асосан чап фокус нисбатлари орқали ифодалаймиз:

$$-\frac{1}{K_1} \cdot l_2 + 2(l_2 + l_3) - K_2 l_3 = 0$$

Бу тенгламадан иккинчи оралиқ учун чап фокус нисбати аниқланади:

$$K_2 = 2 + \frac{l_2}{l_3} \left(2 - \frac{1}{K_1} \right) \quad (8.9)$$

Буларни умумлаштириб, n — нчи оралиқ учун чап фокуслар нисбати K_n ни қуидаги кўринишда ёза оламиз:

$$K_n = 2 + \frac{l_{n-1}}{l_n} \left(2 - \frac{1}{K_{n-1}} \right) \quad (8.10)$$

Шу тартибда ўнг фокуслар нисбатлари аниқланади:

$$K_n^1 = 2 + \frac{l_{n+1}}{l_n} \left(2 - \frac{1}{K_{n+1}^1} \right) \quad (8.11)$$

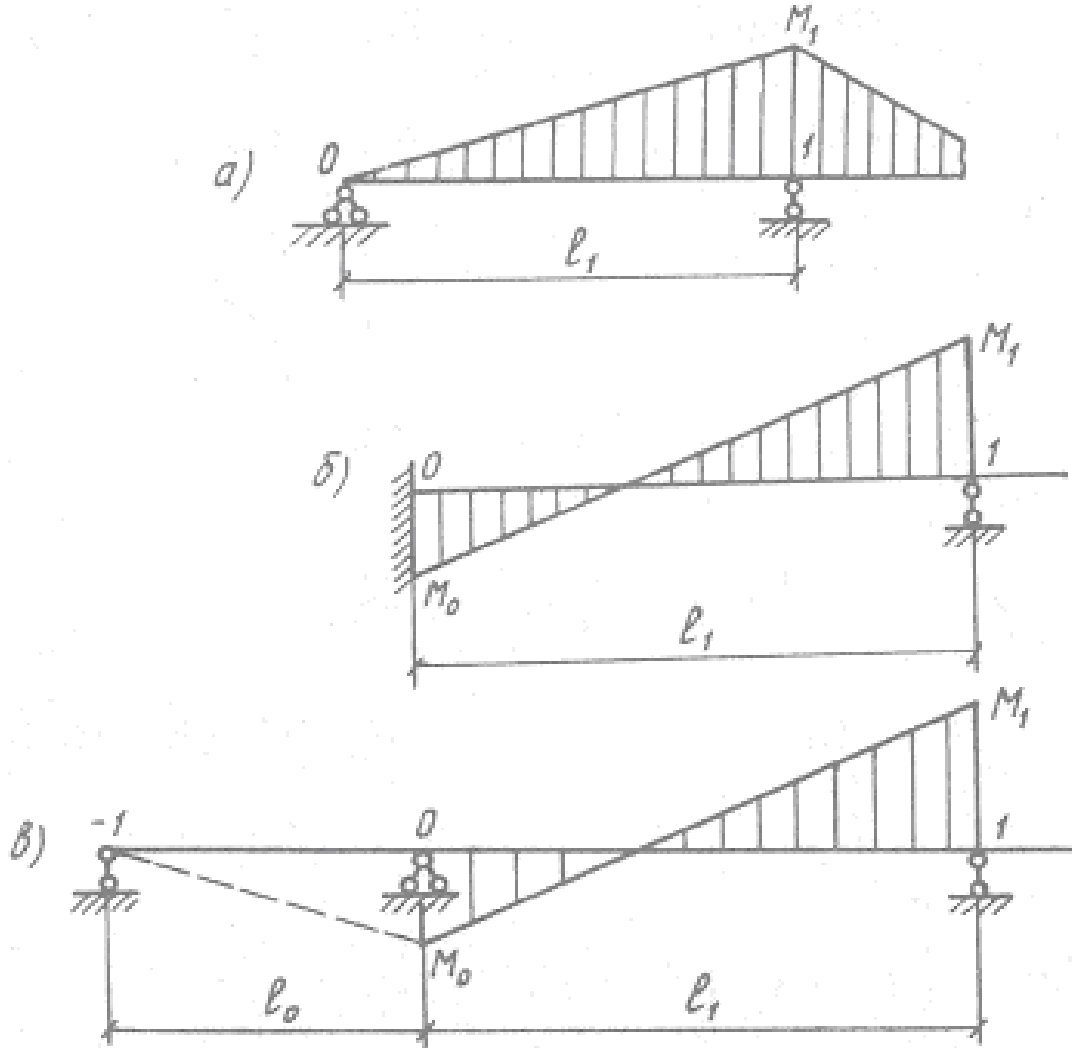
Чап фокус нисбатларини аниқлаш узлуксиз балканинг биринчи оралиғидан, ўнг фокус нисбатларини ҳисоблаш эса оҳирги оралиғидан бошланади.

Биринчи ва сўнгги оралиқларнинг фокус нисбатлари танячлар хилига боғлиқ ҳолда аниқланади.

Агар балканинг биринчи таянчи шарнирли бўлса, у ҳолда биринчи оралиқ учун чап фокуслар нисбати қуидаги кўринишга эга бўлади (8.11-расм, а):

$$K_1 = -\frac{M_1}{M_0} = -\frac{M_1}{0} = \infty$$

Шаклдан $M_0=0$ эканлиги күриниб турибди.



8.11- расм

Агар берилган балканинг биринчи таянчи шарнирсиз бикир бўлса, (8.11-расм, β) у холда шу бикир таянч шарнирли таянч билан алмаштирилиб, орасига қўшимча соҳта оралиқ қўшилади (8.11- расм, γ) ва шу оралиқ учун чап фокуслар нисбати қўйидаги кўринишда аниқланади:

$$K_0 = -\frac{M_0}{M_1} = -\frac{M_0}{0} = \infty$$

(8.10) формулага кўра биринчи оралиқ учун фокуслар нисбати $K_1 = 2 + l_0/l_1 \left(2 - \frac{1}{K_0} \right)$ бўлгани учун $K_1 = 2$ бўлади. Бу ерда $l_0=0$ ва $K_0 = \infty$.

Демак, балканинг биринчи таянчи шарнирли қўзғалмас бўлса, биринчи оралиқ учун чап фокуслар нисбати $K_1 = \infty$, шарнирсиз бикир бўлса, $K_1 = 2$ га тенг бўлади.

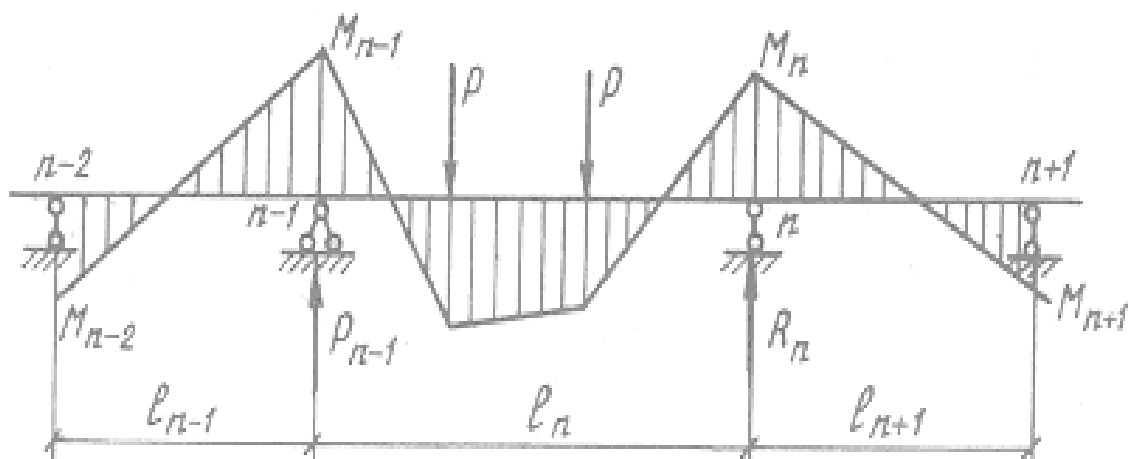
Узлуксиз балканинг чап ва ўнг фокус нисбатлари аниқлангандан сўнг юк қўйилган оралиқдаги таянч моментлари аниқланади.

Узлуксиз балканинг « n » оралиғига ташқи кучлар қўйилган деб фараз қиласиз (8.12- расм).

Юк қўйилган оралиқдаги таянч моментлари M_{n-1} , M_n ларни аниқлаш учун балканинг $n - 1$ ва n — нчи таянчларига тегишли уч моментлар тенгламасини ёзамиз (8.12- расм):

$$M_{n-2}l_{n-1} + 2M_{n-1}(l_{n-1} + l_n) + M_nl_n = -6R_{n-1};$$

$$M_{n-1}l_n + 2M_n(l_n + l_{n+1}) + M_{n+1}l_{n+1} = -6R_n. \quad (8.12).$$



8.12- расм

Тузилган тенгламалар қаторида тўртта таянч моментлари M_{n-2} , M_{n-1} , M_n , M_{n+1} мавжуддир. Булардан иккитаси (M_{n-1} , M_n) изланаётган моментлар, қолган иккитаси (M_{n-2} , M_{n+1}) фокуслар нисбати орқали аниқланадиган таянч моментлариидир.

$$(8.6) \text{ формулага асосан } M_{n-2} = -\frac{M_{n-1}}{K_{n-1}};$$

$$(8.7) \text{ формулага асосан } M_{n+1} = -\frac{M_n}{K_{n+1}^1}.$$

Уч моментлар тенгламасининг ўнг қисмидаги соҳта таянч реакциялари қўйидаги кўринишга келтирилади:

$$R_{n-1}^f = A_n^f, R_n^f = B_n^f$$

Чунки бу ерда 8.12- расмга асосан $B_{n-1}^f = 0$, $A_{n+1}^f = 0$ тенгдир. M_{n-2} , M_{n+1} ва R_{n-1} , R_n ларнинг қийматларини (8.12) тенгламага қўямиз:

$$-\frac{M_{n-1}}{K_{n-1}} \cdot l_{n-1} + 2M_{n-1}(l_{n-1} + l_n) + M_n l_n = -6A_n^f.$$

$$M_{n-1} l_n + 2M_n(l_n + l_{n+1}) - \frac{M_n}{K_{n+1}^1} \cdot l_n = -6B_n^f.$$

Бу тенгламаларнинг барча ҳадларини l_n га бўлиб юборсак,

$$M_{n-1} = \left[2 + \frac{l_{n-1}}{l_n} \left(2 - \frac{1}{K_{n-1}} \right) \right] + M_n = -\frac{6A_n^f}{l_n};$$

$$M_{n-1} + M_n = \left[2 + \frac{l_{n+1}}{l_n} \left(2 - \frac{1}{K_{n+1}^1} \right) \right] + M_n = -\frac{6B_n^f}{l_n};$$

келиб чиқади.

(8.10) ва (8.11) формулаларга асосан тенгламалар қўйидаги кўринишга келади:

$$M_{n-1} K_n + M_n = -\frac{6A_n^f}{l_n};$$

$$M_n + M_{n+1} K_n^1 = -\frac{6B_n^f}{l_n}.$$

Бу тенгламалардан, юк қўйилган оралиқдаги таянч моментларини аниқлайдиган формула келиб чиқади:

$$M_{n-1} = -\frac{6}{l_n} \cdot \frac{(A_n^f \cdot K_n^l - B_n^f)}{(K_n K_n^1 - 1)};$$

$$M_n = -\frac{6}{l_n} \cdot \frac{\left(B_n^f \cdot K_n - A_n^f\right)}{\left(K_n \cdot K_n^1 - 1\right)}. \quad (8.13)$$

Шундай қилиб, узлуксиз балкаларни момент фокуслари усулида ҳисоблаш қуйидаги тартибда бажарилади:

1. Ҳар бир оралиқ учун чап ва ўнг фокус нисбатлари (8.10) ва (8.11) формулаларга асосан топилади.
2. Юк қўйилган оралиқдаги таянч моментлари (8.13) формула бўйича аниқланади.
3. Юк қўйилмаган оралиқлардаги таянч моментлари (8.6) ва (8.7) формулалар ёрдамида аниқланади.

Агар узлуксиз балканинг бир неча оралиғи ташки юклар таъсирида бўлса, у ҳолда ҳар бир юк қўйилган оралиқ учун балка алоҳида равишда ҳисобланади, сўнгра таянч моментларининг алгебраик йифиндилиари бўйича умумий эпюра қурилади.

8.2- мисол. 8.13– расмда тасвирланган беш оралиқли узлуксиз балка учун М эпюраси момент фокуслари усулида қурилсан. Берилган: $J=\text{const}$; $\ell_1 = \ell_2 = 5\text{м}$; $\ell_3 = \ell_4 = \ell_5 = 4\text{м}$; $q=15\text{kN/m}$.

Ечиш. Фокус нисбатларини аниқлаймиз.

Чап фокус нисбатлари:

$$\begin{aligned} K_1 &= 2 ; \quad K_2 = 2 + \frac{\ell_1}{\ell_2} \left(2 - \frac{1}{2} \right) = 3,5 ; \quad K_3 = 2 + \frac{\ell_2}{\ell_3} \left(2 - \frac{1}{3,5} \right) = 4,14 ; \\ K_4 &= 2 + \frac{\ell_3}{\ell_4} \left(2 + \frac{1}{4,14} \right) = 3,76 ; \quad K_5 = 2 + \frac{\ell_4}{\ell_5} \left(2 - \frac{1}{3,76} \right) = 3,73. \end{aligned}$$

Ўнг фокус нисбатлари:

$$\begin{aligned} K'_5 &= \infty ; \quad K'_4 = 2 + \frac{\ell_5}{\ell_4} \left(2 - \frac{1}{\infty} \right) = 4 ; \quad K'_3 = 2 + \frac{\ell_4}{\ell_3} \left(2 - \frac{1}{4} \right) = 3,75 ; \\ K'_2 &= 2 + \frac{\ell_3}{\ell_2} \left(2 - \frac{1}{3,75} \right) = 3,39 ; \quad K'_1 = 2 + \frac{\ell_2}{\ell_1} \left(2 - \frac{1}{3,39} \right) = 3,70. \end{aligned}$$

Куч қўйилган оралиқдаги таянч моментларини (8.15) формуладан аниқлаймиз:

$$M_2 = -\frac{K_3^B K_3' - K_3^A}{K_3 K_3' - 1} = \frac{60 \cdot 3,75 - 60}{4,14 \cdot 3,75 - 1} = -\frac{165}{14,525} = -11,4 \text{ кН.м};$$

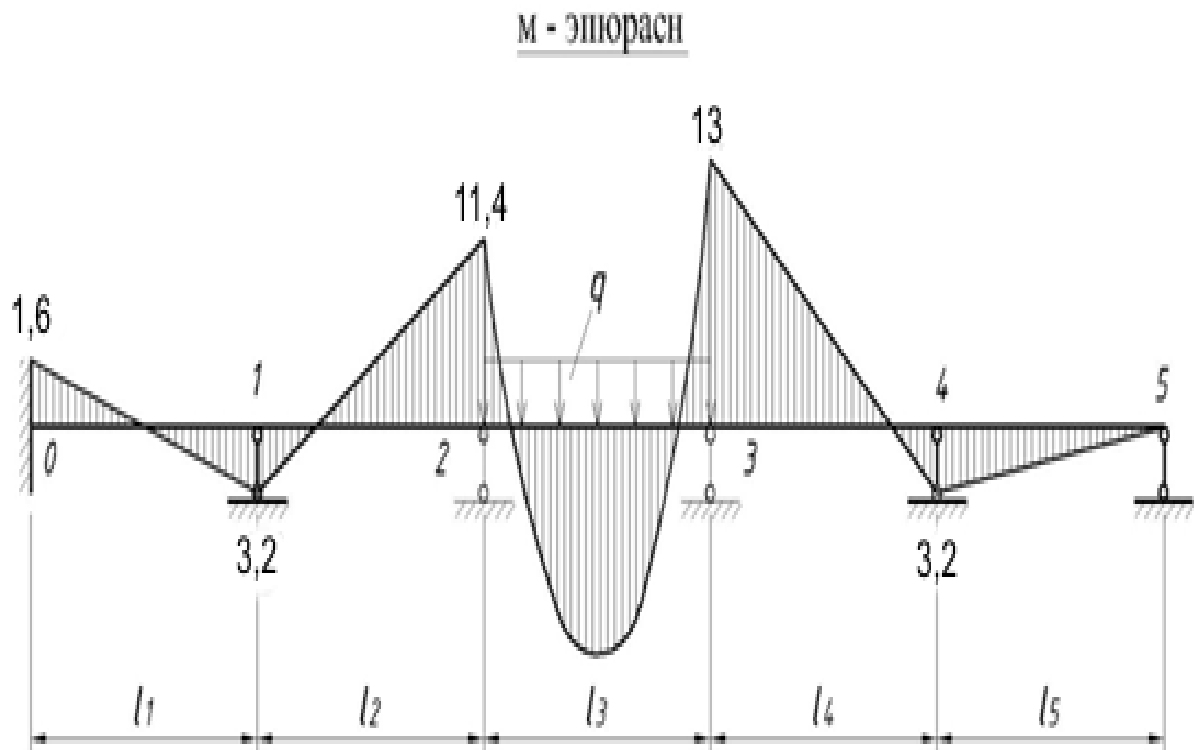
бүрдада $K^B_3 = \frac{60 \cdot 4}{4} = 60$; $K^A_3 = \frac{60 \cdot 4}{4} = 60$.

$$M_3 = -\frac{K_3^A K_3 - K_3^B}{K_3 K_3' - 1} = -\frac{60 \cdot 4,14 - 60}{4,14 \cdot 3,75 - 1} = -\frac{18,84}{14,525} = -13,0 \text{ кН.м};$$

Күч күйилмаган оралиқлардаги таянч моментлари:

$$M_1 = -\frac{M_2}{3,5} = 3,2 \text{ кН.м}; \quad M_0 = -\frac{M_1}{2} = -1,6 \text{ кН.м}; \quad M_4 = -\frac{M_3}{4} = 3,25 \text{ кН.м}.$$

Аниқланган қийматлар бүйінша қурилған M эпюраси 8.13 – расмда тасвирланған.



8.13 – расм

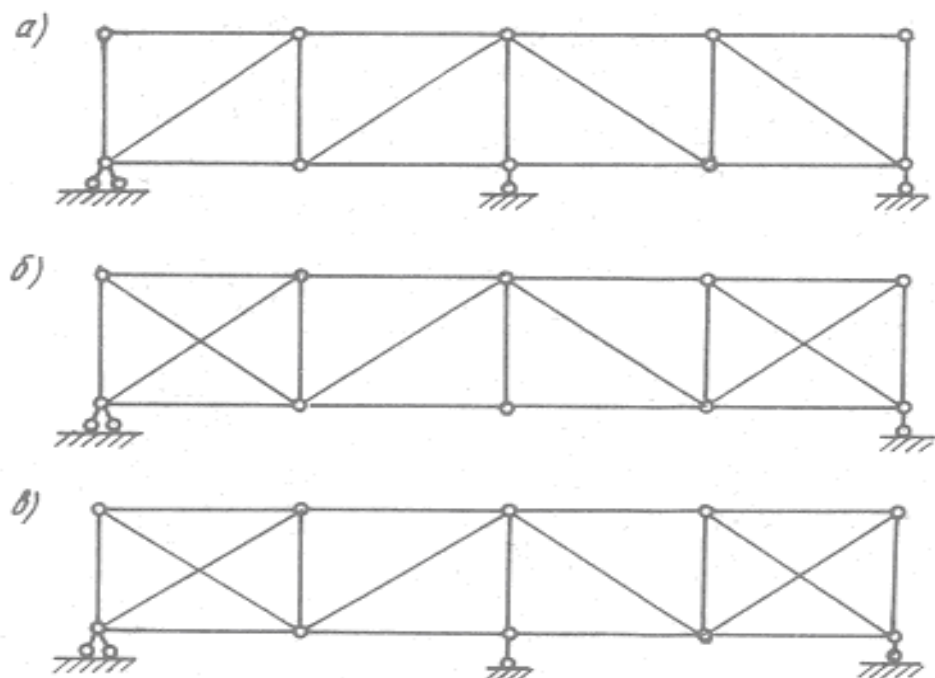
Агар $\frac{6A_n^\phi}{\ell_n} = K^B_n$ ва $\frac{6B_n^\phi}{\ell_n} = K^A_n$ деб олсак, (8.13) формула янада

ихчамлашади:

$$M_{n-1} = -\frac{K_n^B K_n' - K_n^A}{K_n K_n' - 1}, \quad M_n = -\frac{K_n^A K_n - K_n^B}{K_n K_n' - 1}. \quad (8.14)$$

8.3. Статик ноаниқ фермаларни ҳисоблаш

Статик ноаниқ фермаларни ҳисоблашда ҳам статик аниқ фермаларни ҳисоблашда қабул қилинган айрим чекланишлардан фойдаланилади. Масалан, қўзғалмас юклар ферма тугунларига қўйилган, стерженлар фақат сиқилиш ёки чўзилишга ишлайди, деб қаралади.



8.14- расм

Статик ноаниқ фермаларни асосан уч гурухга ажратиш мумкин:

1. Таянч реакциялари сонига кўра статик ноаниқ фермалар (8.14- расм, а).
2. Ферма стерженларидаги зўриқишиларга кўра статик ноаниқ фермалар (8.14-расм,б).
3. Таянч реакциялари сони ва стерженлардаги зўриқишиларга кўра статик ноаниқ фермалар (8.14- расм, в).

Фермаларнинг статик ноаниқлик даражаси қўйидаги формула ёрдамида аникланади:

$$n = C + C_o - 2Y. \quad (8.16)$$

Бу ерда n — ферманинг статик ноаниқлик даражаси;

C — фермани ташкил этувчи стерженлар сони;

C_0 — таянч стерженлари сони;

Y — тугунлар сони.

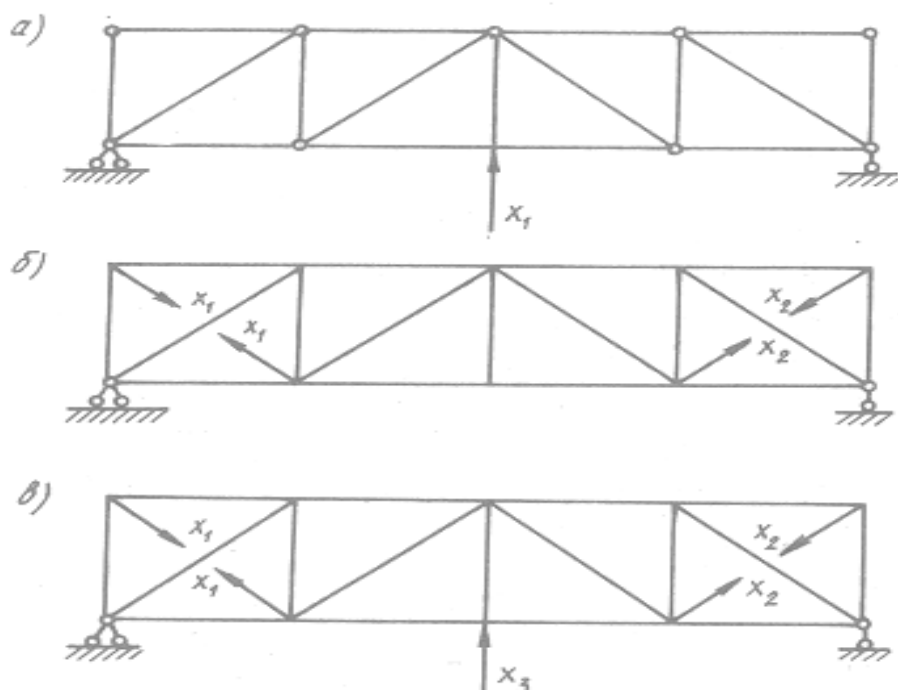
Статик ноаниқ фермаларни ҳисоблаш тартиби статик ноаниқ рамаларни ҳисоблашдан кам фарқ қиласа. Бу ерда ҳам биринчи навбатда, (8.14- расм) фермаларнинг статик ноаниқлик даражаси аниқланади ва ундан сўнг асосий система қабул қилинади. Бунинг учун ортиқча боғланишлар ташлаб юборилади. Ташлаб юборилган ортиқча боғланишлар номаълум зўриқишилар билан алмаштирилади (8.15- расм, a , b , c). Сўнгра каноник тенгламалар тузилади. Каноник тенгламалар сони берилган ферманинг статик ноаниқлик даражаси сонига тенг бўлади. 8.15- расм, a -да ифодаланган асосий система учун кучлар усулининг каноник тенгламаси қўйидагича ёзилади

$$\delta_{11} \cdot X_1 + \Delta_{1p} = 0.$$

8.15- расм, b -да ифодаланган асосий система учун кучлар усулининг каноник тенгламалари иккита тузилади:

$$\delta_{11} \cdot X_1 + \delta_{12} \cdot X_2 + \Delta_{1p} = 0;$$

$$\delta_{21} \cdot X_1 + \delta_{22} \cdot X_2 + \Delta_{2p} = 0;$$



8.15- расм

8.15- расм, σ -да ифодаланган асосий система учун кучлар усулининг каноник тенгламалари қўйидаги қўринишга эга бўлади:

$$\begin{aligned}\delta_{11} \cdot X_1 + \delta_{12} \cdot X_2 + \delta_{13} \cdot X_3 + \Delta_{1p} &= 0; \\ \delta_{21} \cdot X_1 + \delta_{22} \cdot X_2 + \delta_{23} \cdot X_3 + \Delta_{2p} &= 0; \\ \delta_{31} \cdot X_1 + \delta_{32} \cdot X_2 + \delta_{33} \cdot X_3 + \Delta_{3p} &= 0.\end{aligned}$$

Тенгламаларнинг ҳар бири ўз навбатида, асосий системада ташқи юк ва номаълум зўриқишилар таъсирида ҳосил бўладиган қўчишларнинг йигиндиси нолга тенг бўлишини ифодалайди.

Каноник тенгламанинг коэффициенти ва озод ҳадлари қўйидаги формулалар ёрдамида аниқланади:

$$\begin{aligned}\delta_{ki} &= \sum \frac{\bar{N}_k \bar{N}_i}{EF} \cdot S = \frac{1}{E} \sum \frac{\bar{N}_k \bar{N}_i}{F} S; \\ \delta_{kk} &= \sum \frac{\bar{N}_k^2}{EF} S = \frac{1}{E} \sum \frac{\bar{N}_k^2}{F} S; \\ \delta_{kp} &= \sum \frac{\bar{N}_k N_p}{EF} S = \frac{1}{E} \sum \frac{\bar{N}_k N_p}{F} S.\end{aligned}\tag{8.17}$$

Бу ерда:

\bar{N}_i — ферма стерженларида $X_i=1$ бирлик куч таъсирида ҳосил бўладиган зўриқишилар;

\bar{N}_k — ферма стерженларида $X_k=1$ бирлик куч таъсирида ҳосил бўладиган зўриқишилар;

N_p — ташқи кучлар таъсирида асосий системада ҳосил бўладиган зўриқишилар;

S — ферма стерженининг узунлиги;

E — ферма материалининг эластиклик модули;

F — ферма стерженининг кўндаланг кесим юзаси.

Зўриқишилар N_p, \bar{N}_k ва \bar{N}_i ларнинг қийматлари аналитик ёки график усуллар орқали аниқланади.

Каноник тенгламанинг коэффициенти ва озод ҳадларини жадвал ёрдамида аниқлаш тавсия этилади.

Номаълумлар (X_1, X_2, X_3) топилгандан кейин ферма стерженларидағи зўриқишиларнинг якунловчи қийматлари, осонлик билан топилади:

$$N = N_p + \bar{N}_1 \cdot X_1 + \bar{N}_2 \cdot X_2 + \dots + \bar{N}_n \cdot X_n$$

Бу ерда N_p — ташқи кучлар таъсирида ферма стерженларида ҳосил бўладиган зўриқишиларнинг якунловчи қийматлари, осонлик билан топилади:

$\bar{N}_1, \bar{N}_2, \dots, \bar{N}_n$ — бирлик кучларнинг таъсирида ($X_1=1; X_2=1; \dots; X_n=1$) шу элементларда мавжуд бўладиган зўриқишилар.

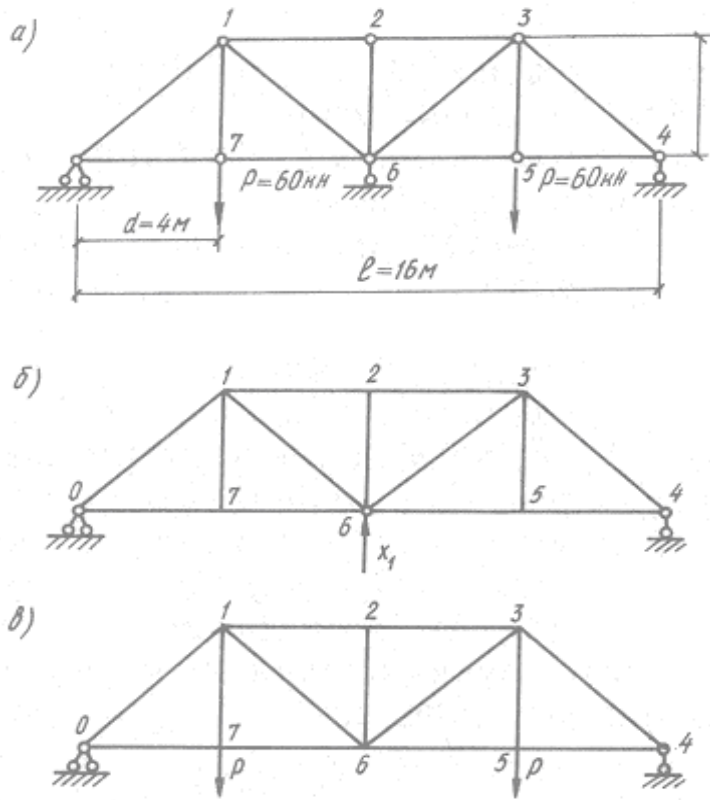
8.3-мисол. 8.16- расмда берилган статик ноаниқ ферманинг стерженларидағи зўриқишилар аниқлансан. Ферма стерженларининг бикирлиги EF ўзгармас.

Ечиш. Ферманинг статик ноаниқлик даражасини (8.17) формулага асосан белгилаб оламиз. У бир марта статик ноаниқ бўлиб, битта ортиқча таянч боғланишига эга.

Ферманинг ўртадаги таянчини ташлаб юбориб, асосий системани танлаймиз (8.16- расм, б). Номаълум таянч реакциясини аниқлаш учун кучлар усулининг каноник тенгламасини тузамиз.

$$\delta_{11} \cdot X_1 + \Delta_{1p} = 0.$$

Бу тенгламадаги δ_{11} ва Δ_{1p} кўчишлар (8.17) формула ёрдамида аниқланади. Ферма стерженларида бирлик куч $X_1=1$ ва ташқи юклар таъсирида ҳосил бўладиган зўриқишилар 4- бобда баён этилган усуллардан фойдаланиб аниқланади (8.16- расм, в).



8.16- расм

Ферма ва унга қўйилган юклар симметрик бўлганлиги сабабли ферманинг ярмини ҳисоблаш кифоя, чунки, 0 — 7 стержендаги зўриқиши 5 — 4 стержендаги зўриқишига тенг ($N_{70}=N_{45}$), шунга ўхшаш, $N_{12}=N_{23}$, $N_{10}=N_{34}$, $N_{76}=N_{65}$, $N_{16}=N_{63}$ бўлади. Фермани ҳисоблаш натижалари 8.1- жадвалда келтирилган.

8. 1- жадвал

Старженлар	Стержень узунлиги l_K (см)	Зўриқиши	$\frac{N_1^2}{EF} 1$	N_P кн	$\frac{N_1 N_P}{EF} 1$	N кн	$\frac{N_1 N 1}{EF}$ текшириш
1	2	3	4	5	6	7	8
01	500	0,825	1,74	-100	-208	-39,8	-82,3
1 — 2	400	1,333	3,56	-80	-213	16,2	43
0 — 7	400	-0,667	0,89	80	-107	31,8	-42,5
7 — 6	400	-0,667	0,89	80	-107	31,8	-42,5
1 — 6	500	-0,825	1,74	0	0	-60,1	124
1 — 7	300	0,00	0	60	60	60	0
		$\delta_{11} = 8,82$		$\Delta_{1P} = -635$		$167 - 167,3 = 0$	

Топилган күчишларни каноник тенгламаларга қўйиб, номаълум реакция кучи X_1 ни аниқлаймиз:

$$X_1 = -\frac{\Delta_{1P}}{\delta_{11}} = \frac{635}{8,82} = 72,2 \text{ kN}$$

Ташқи юк ва аниқланган таянч реакцияси X_1 таъсирида статик ноаниқ ферманинг стерженларида ҳосил бўлган зўриқишлиар (8.4) формула ёрдамида хисобланади.

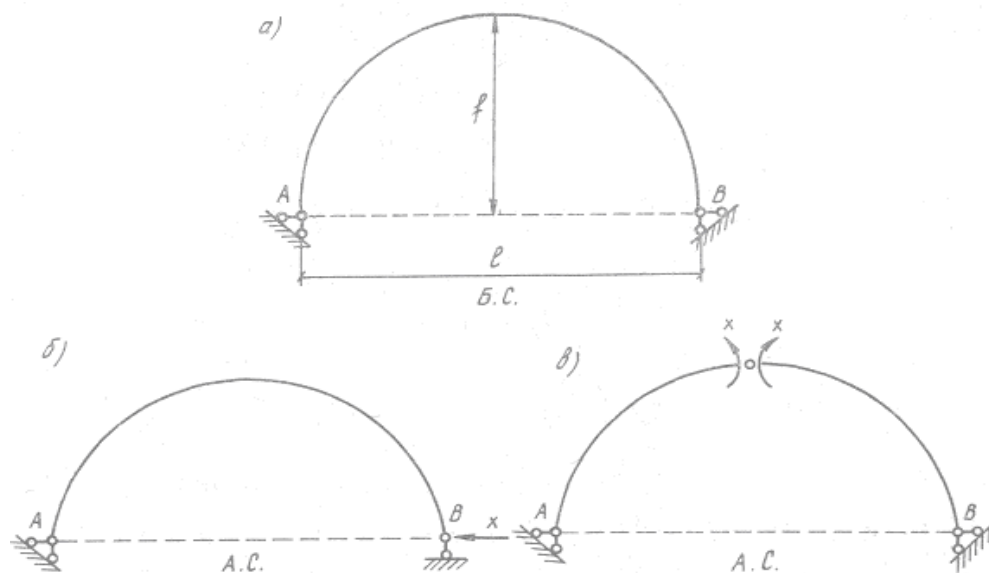
$$N_{01} = N_p + \bar{N}_{01} \cdot X_1 = -100 + 0,825 \cdot 72,2 = -40,44 \text{ kN};$$

$$N_{12} = N_p + \bar{N}_{12} \cdot X_1 = -80 + 1,33 \cdot 72,2 = 16,24 \text{ kN}.$$

8.4. Икки шарнирли аркаларни хисоблаш

Икки шарнирли аркалар асосан кўприк конструкцияларида ва иморатлар томини ёпишда ишлатилади.

Икки шарнирли арка (8.17- расм, а) бир марта статик ноаниқдир. Асосий система танлашда унинг битта ортиқча боғланиши ташлаб юборилади. 8.17- расм, б, в-да асосий система икки хил нусхада тавсия этилган. Асосий системанинг бирида В таянчининг горизонтал стержени номаълум реакция кучи X билан алмаштирилган. Иккинчи асосий система эса қўшимча шарнир киритиш йўли билан ҳосил қилинган.



8.17- расм

Номаълум X_1 ни аниқлаш учун куч усулининг каноник тенгламасини тузамиз

$$\delta_{11} \cdot X_1 + \Delta_{1P} = 0; X_1 = -\frac{\Delta_{1P}}{\delta_{11}}.$$

Бу ерда δ_{11} — бирлик куч йўналиши бўйича ва шу бирлик куч ($P=1$) таъсиридан ҳосил бўлган бирлик кўчиш;

Δ_{1P} — асосий системага қўйилган ташки юклардан ҳосил бўладиган горизонтал кўчиш.

Кўчишлар қуидаги формулалардан фойдаланиб топилади:

$$\begin{aligned}\Delta_{1P} &= \int \frac{\bar{M}_1 M_P}{EJ} ds + \int \frac{\bar{N}_1 N_P}{EF} ds + \int \eta \frac{\bar{Q}_1 Q_P}{GF} ds; \\ \delta_{11} &= \int \frac{\bar{M}_1^2}{EJ} ds + \int \frac{\bar{N}_1^2}{EF} ds + \int \eta \frac{\bar{Q}_1^2}{GF} ds.\end{aligned}$$

Киёсий ҳисоблар қуидаги хulosага келиш имконини беради: а) агар $f < \frac{1}{3} l$ бўлса, δ_{11} ни аниқлашда кўндаланг кучни, Δ_{1P} ни аниқлашда эса бўйлама ва кўндаланг кучларни инобатга олмаса бўлади, яъни

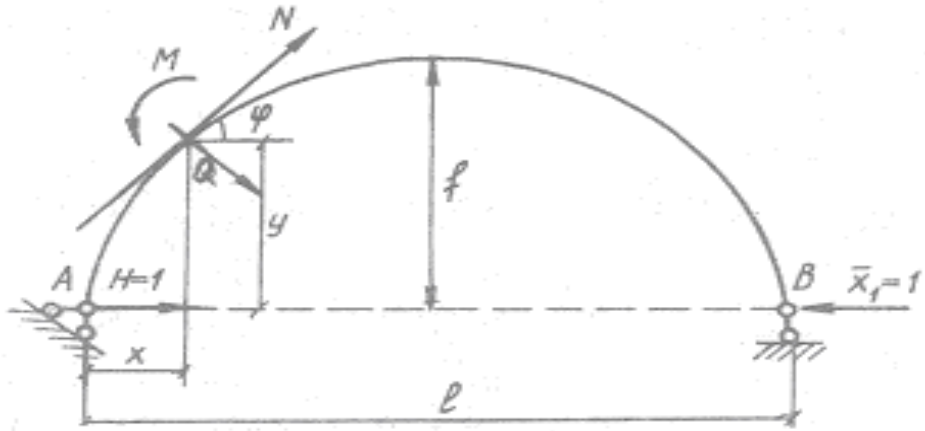
$$\begin{aligned}\Delta_{1P} &= \int \frac{\bar{M}_1 M_P}{EJ} ds; \\ \delta_{11} &= \int \frac{\bar{M}_1^2}{EJ} ds + \int \frac{\bar{N}_1^2}{EF} ds.\end{aligned}$$

8.18- расмдан

$$\bar{M} = -Y, \bar{N}_1 = -\cos \varphi.$$

Буларни кўчишлар формуласига қўямиз:

$$\Delta_{1P} = - \int_A^B \frac{YM_P ds}{EJ} = - \frac{1}{EJ} \int_0^B Y \cdot M_P \cdot \frac{J_0}{J} ds.$$



8.18- расм

Бу ерда J_0 — күндаланг кесимнинг энг кичик инерция моменти:

$$\delta_{11} = \int_A^B \frac{y^2 ds}{EJ} + \int_A^B \frac{\cos^2 \varphi}{EJ} ds = \frac{1}{EJ_0} \left[\int_A^B y^2 \cdot \frac{J_0}{J} ds + \int_A^B \cos^2 \varphi \cdot \frac{J_0}{F} ds \right];$$

$$X_1 = \frac{\int_A^B Y \cdot M_p \cdot \frac{J_0}{J} ds}{\int_A^B y^2 \cdot \frac{J_0}{J} ds + \int_A^B \cos^2 \varphi \cdot \frac{J_0}{F} ds};$$

б) агар $\frac{1}{3}l > f > \frac{1}{5}l$ бўлса, δ_{11} ни аниқлашда күндаланг ва бўйлама кучлар инобатга олинмайди:

$$X_1 = \frac{\int_A^B Y \cdot M_p \cdot \frac{J_0}{J} ds}{\int_A^B y^2 \cdot \frac{J_0}{J} ds}.$$

Горизонтал реакция кучи X_1 аниқлангандан сўнг арканинг иҳтиёрий К кесимида зўриқишилар қуйидаги формуулалар ёрдамида топилади:

$$M_K = M_K^0 - H \cdot y_K;$$

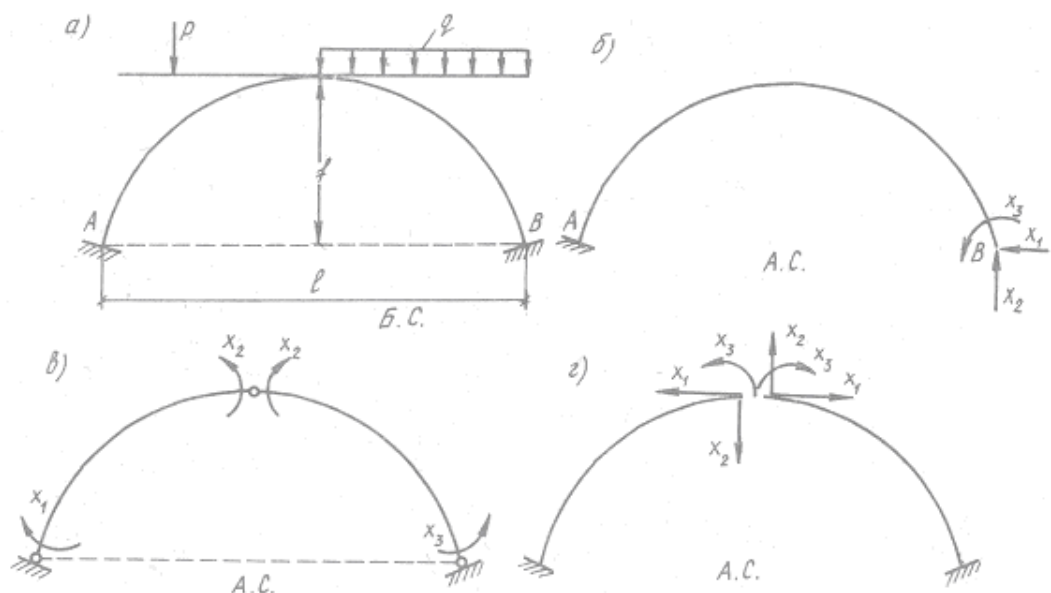
$$Q_K = Q_K^0 \cos \varphi - H \cdot \sin \varphi;$$

$$N_K = Q_K^0 \sin \varphi + H \cdot \cos \varphi.$$

Бу формулаларда H — керки кучи бўлиб, унинг қиймати горизонтал реакция кучи X_1 га тенгдир.

8.5. Шарнирсиз аркаларни ҳисоблаш

Шарнирсиз аркалар асосан кўприк конструкциялари хамда бинокорликда катта оралиқларни ёпишда ишлатилади. Шарнирсиз аркалар (8.19-расм) уч марта статик ноаниқ бўлади. Асосий система ҳосил қилиш учун аркадан учта ортиқча боғланиш олиб ташланади. Асосий системанинг бир неча нусхаси



8.19- расм

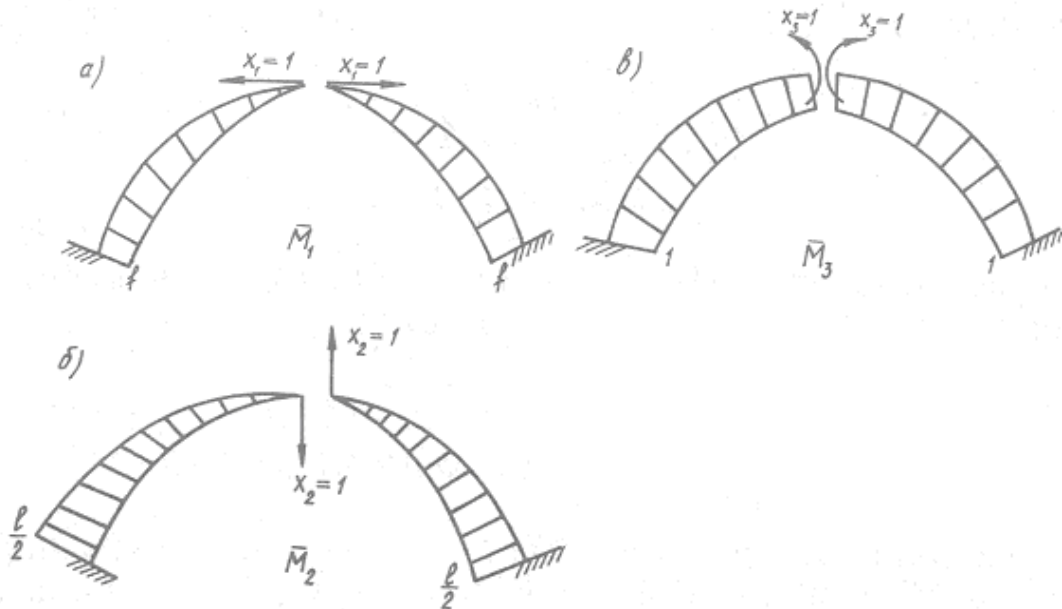
8.19- расм, b , c , d - да тасвирланган. Аркани ҳисоблаш учун тавсия этилган нусҳалардан бири танлаб олинади. Маълумки, асосий система қулай танланса, каноник тенгламанинг баъзи ёрдамчи коэффициентлари нолга айланади. 8.19- расм, d - да тавсия этилган асосий система бу талабга тўлиқ жавоб беради, чунки бу асосий система айрим коэффициентларнинг нолга тенг бўлишини таъминлайди.

Асосий системадаги номаълум ички кучлар (X_1 , X_2 , X_3) куч усулининг каноник тенгламаларидан топилади:

$$\delta_{11} \cdot X_1 + \delta_{12} \cdot X_2 + \delta_{13} \cdot X_3 + \Delta_{Ip} = 0;$$

$$\delta_{21} \cdot X_1 + \delta_{22} \cdot X_2 + \delta_{23} \cdot X_3 + \Delta_{2P} = 0;$$

$$\delta_{31} \cdot X_1 + \delta_{32} \cdot X_2 + \delta_{33} \cdot X_3 + \Delta_{3P} = 0.$$



8.20- расм

Каноник тенгламанинг коэффициенти ва озод ҳадларини аниқлаш учун бирлик кучлардан эгувчи момент эпюралари қурилади (8.20- расм).

Бу ерда \bar{M}_1 , \bar{M}_3 симметрик, \bar{M}_2 эса тескари симметрик эпюрадир (8.20- расм, *a*, *b*, *c*), Шунинг учун $\delta_{12}=\delta_{21}=0$ ва $\delta_{23}=\delta_{32}=0$ бўлади. У ҳолда кучлар усулининг каноник тенгламалари икки мустақил тизимга ажралиб, қуйидаги кўринишга эга бўлади:

$$\left. \begin{aligned} \delta_{11} \cdot X_1 + \delta_{13} \cdot X_3 + \Delta_{1P} &= 0 \\ \delta_{31} \cdot X_1 + \delta_{33} \cdot X_3 + \Delta_{3P} &= 0 \\ \delta_{22} \cdot X_2 + \Delta_{2P} &= 0. \end{aligned} \right\}$$

Каноник тенгламаларнинг биринчи гуруҳида симметрик номаълумлар (X_1 , X_3), иккинчи гуруҳида эса тескари симметрик номаълум (X_2) иштирок этади.

Каноник тенгламанинг коэффициенти ва озод ҳадлари Мор формуласи ёрдамида аниқланади:

$$\delta_{kn} = \sum \int \frac{M_K M_n}{EJ} ds + \sum \int \frac{N_K N_n}{EF} ds + \sum \int \frac{Q_K Q_n}{GF} ds.$$

Коэффициент ва озод ҳадлар топилгач, каноник тенгламалар ечилади ва номаълум ички кучлар (X_1, X_2, X_3) аниқланади.

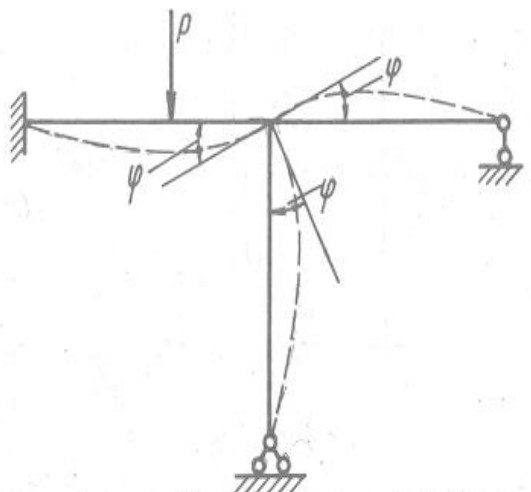
9- БОБ

СТАТИК НОАНИҚ РАМАЛАРНИ КҮЧИШЛАР УСУЛИДА ҲИСОБЛАШ

9.1. Усулнинг моҳияти

Маълумки, статик ноаниқ рамаларни кучлар усулида ҳисоблаганда, номаълумлар сифатида ортиқча боғланишлардаги зўриқиши кучлари қабул қилинган эди.

Ортиқча боғланишлардаги зўриқиши кучлари аниқлангандан сўнг ички кучларнинг қийматлари (M, Q, N) ва кўчишлар осонлик билан аниқланади.



9.1- расм

Статик ноаниқ рамаларни куч усулида ҳисоблашда аввал зўриқиши кучлари аниқланади, ундан сўнг кўчишлар аниқланади.

Бу масалани бошқа йўл билан ҳам ечиш мумкин. Бунда аввал статик ноаниқ рамалардаги кўчишлар топилади, ундан сўнг ихтиёрий кесимдаги ички кучлар аниқланади.

Статик ноаниқ рамаларни кўчиш усулида ҳисоблаганда, айнан шундай қилинади.

Бу усулга кўра номаълумлар сифатида рама тугунларидаги чизиқли ва бурчакли эластик қўчишлар қабул қилинади.

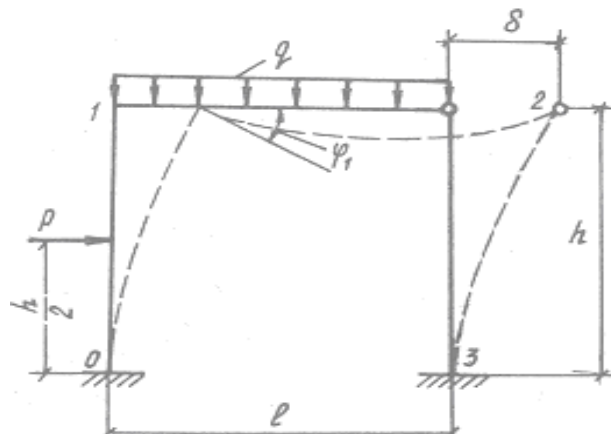
Кўчиш усули қўйидаги фаразларга асосланади:

1. Икки ва ундан ортиқ стерженлар келиб туташган раманинг бикир тугуни бир хил бурчакка бурилади (9.1- расм).
2. Рама деформацияларини ҳисоблашда Q ва N нинг таъсири ҳисобга олинмайди.

3. Деформация натижасида тугунлар орасидаги масофа ўзгаришсиз қолади.

4. Бурчак кичик бўлганлиги сабабли унинг тангенсини бурчакнинг ўзига тенг деб оламиз, яъни

$$\operatorname{tg}\varphi = \varphi.$$



9.2- расм

Кўчишлар усулида номаълум сифатида рама тугунларининг чизиқли (δ) ва бурчакли (φ_1) эластик кўчишлари қабул қилинади.

Кўчишлар усулида рамаларнинг кинематик ноаниқлик даражаси куйидаги формуладан топилади:

$$n = n_b + n_{ch}$$

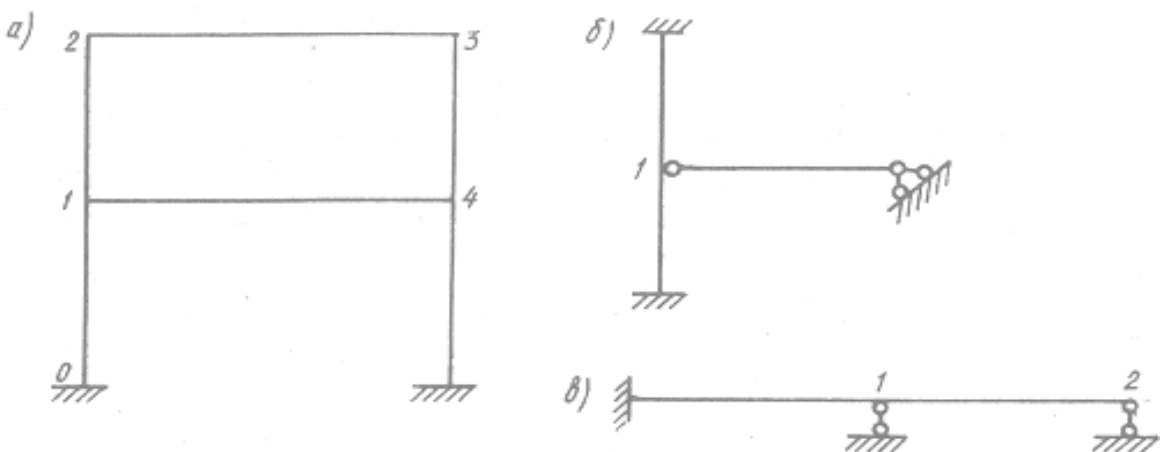
Бу ерда:

n_b — бикир тугунлар сони ёки бикир тугунларнинг бурчакли кўчишлари сони;

n_{ch} — рама тугунларининг чизиқли кўчишлари сони.

9.2- расмда тасвирланган рама ташки кучлар таъсирида деформацияланиб, унинг тугунлари бурчакли ва чизиқли кўчишлар олади.

Раманинг 1 тугуни φ бурчакка бурилади ва горизонтал йўналишда δ масофага кўчади.



9.3- расм

Номаълум деб қабул қилинган бурчакли кўчишлар сони $\langle n_b \rangle$, раманинг таркибидаги бикир тугунлар сонига teng деб қабул қилинади. Икки ва ундан ортиқ стерженларнинг мустаҳкам туташган жойи *бикир тугун* деб аталади.

Мисол: 9.3- расм, а — да 1, 2, 3, 4 — тугунлар, 9.3- расм, б — да 1-тугун, 9.3- расм, в — да 1— тугунлар бикир тугунлар саналади.

Чизиқли кўчишлар сонини аниқлаш учун берилган раманинг бикир тугунларига ва таянчларига шарнирлар киритиб, геометрик ўзгарувчан система ҳосил қилинади. Бу ҳосил бўлган шарнирли системанинг эркинлик даражаси — раманинг чизиқли кўчишлари сонига teng бўлади.

Шарнирли системани геометрик ўзгармас системага айланиши учун керакли бўлган кинематик боғланишлар сони раманинг чизиқли кўчишлар сонини ифодалайди.

Чизиқли кўчишлар сони қўйидаги формулалар ёрдамида ҳам аниқланади:

$$n_{ch} = 2III - C - C_T;$$

ёки

$$n_{ch} = 2T - C.$$

Бу ерда:

III — шарнирлар сони;

C — рама стерженлари сони;

C_T — таянч стерженлари сони;

T — тугунлар сони.

Мисол. 9.4- расм, a — да ифодаланган раманинг кинематик ноаниқлик даражаси аниқлансан.

Ечиш. Раманинг бурчакли кўчишлар сони $n_b=2$. Рама тугунларининг чизиқли кўчишлари сонини аниқлаш учун унинг бикир тугунларига шарнир киритиб, геометрик ўзгарувчан шарнирли системага келтирилади (9.4- расм, б) ва шу схеманинг эркинлик даражаси аниқланади. Бу схеманинг эркинлик даражаси $n_{ch}=1$, чунки унинг геометрик ўзгармас бўлиши учун унга битта қўшимча стержень — боғловчи киритилса кифоя (9.4- расм, в).

Берилган раманинг жами номаълумлари сони

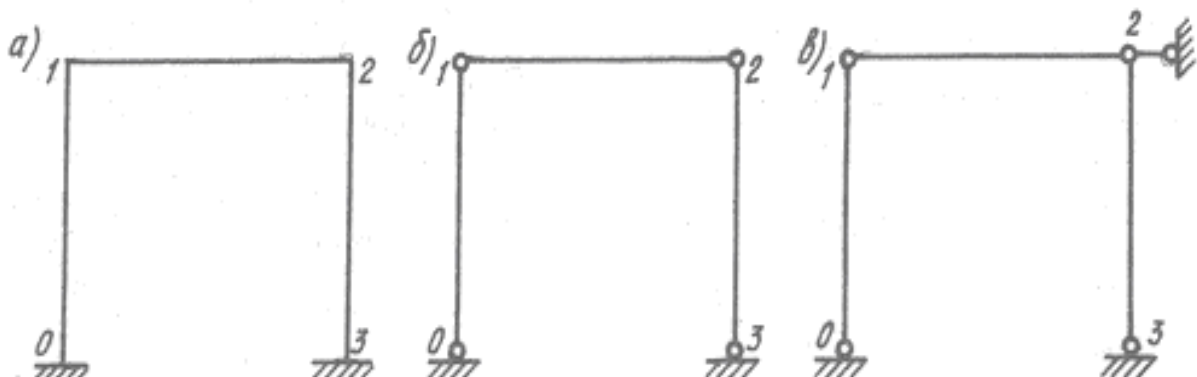
$$n = n_b + n_{ch} = 2 + 1 = 3.$$

Демак, раманинг кинематик ноаниқлик даражаси учга teng экан.

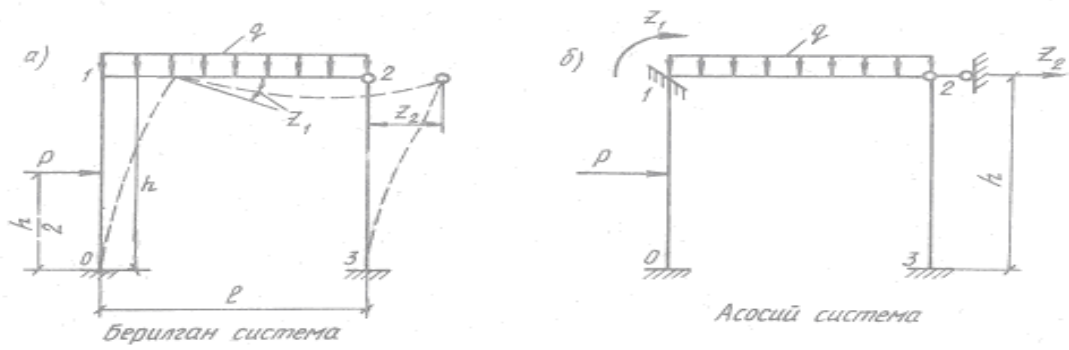
9.2. Кўчишлар усулининг асосий системаси ва каноник тенгламалари

Куч усулининг асосий системаси берилган системадаги ортиқча боғланишларни ташлаб юбориш йўли билан ҳосил қилинар эди. Асосий система — статик аниқ ва геометрик ўзгармас бўларди.

Кўчишлар усулида асосий система, аксинча, рамага қўшимча боғланишлар киритиш йўли билан ҳосил қилинади. Қўшимча боғланишлар икки хил (бурчакли ва чизиқли) бўлади.



9. 4 - расм



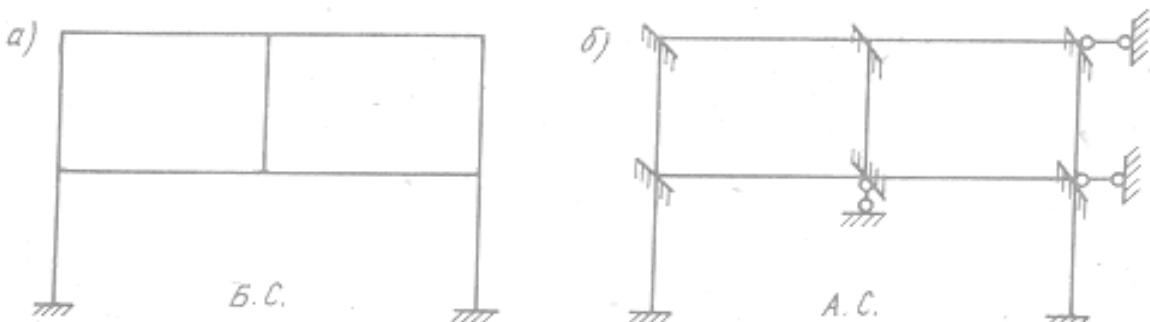
9.5 - расм

Рама тугунларининг бурчакли кўчишларига қаршилик кўрсатувчи боғланишлар — *бурчакли* боғланишлар деб аталади. Рама тугунларини чизиқли кўчишларига қаршилик кўрсатувчи боғланишлар — *чизиқли* боғланишлар деб аталади.

Рамага қўшимча боғланишлар киритилиши натижасида рама алоҳида бир ораликли статик ноаниқ балкаларнинг йифиндисига айланиб қолади.

9.5- расм, *a* — да тасвирланган раманинг кинематик ноаниқлик даражаси 2 га teng. У битта бурчакли (Z_1), битта чизиқли (Z_2) кўчишга эга. Бу кўчишларга чек қўйиш учун рамага битта бурчакли боғланиш (биринчи тугун) ҳамда битта чизиқли боғланиш (иккинчи тугун) киритилади. Бу раманинг асосий системаси 9.5- расм, *b* — да берилган. 9 марта кинематик ноаниқ раманинг (9.6- расм, *a*) асосий системаси 9.6- расм, *b* да тасвирланган. Раманинг бурчакли кўчишлари сони олтига teng ($n_b=6$), чизиқли кўчишлари сони эса учга teng ($n_{ch}=3$).

Кўчишлар усулиннинг каноник тенгламалари. Каноник тенгламалар тизимини тузиш қоидаси берилган система билан асосий система орасидаги фарқни йўқотишга асосланган.



9.6- расм

Асосий системалар берилган системадан қўшимча боғланишлари борлиги билан фарқ қиласи. Маълумки, бурчакли боғланишларда реактив момент, чизиқли боғланишларда эса реактив кучлар ҳосил бўлади.

Реактив момент ва кучларни нолга тенглаш мумкин. Бунинг учун қўшимча боғланишларга берилган системада вужудга келадиган миқдорда чизиқли ва бурчакли кўчишлар берамиз.

Бурчакли ва чизиқли боғланишлардаги реактив момент ва кучларни инкор этиш кўчиш усули каноник тенгламасининг асосини ташкил этади.

Умумий кўринишда кўчиш усулининг каноник тенгламалари қўйидагича ёзилади (9.7- расм);

$$R_1 = 0; \quad R_2 = 0$$

Бу ерда R_1 ва R_2 — қўшимча боғланишларда ташқи кучлар ҳамда боғланишларнинг бурчакли ва чизиқли кўчишлари натижасида ҳосил бўладиган реактив момент ва реактив кучларнинг алгебраик йифиндисидир.

Тузиладиган тенгламалар сони берилган раманинг кинематик ноаниқлик даражасига тенг бўлади.

Каноник тенгламалар системасини тузиш тартибини 9.7- расмда тасвирланган рама мисолида қўриб ўтамиш.

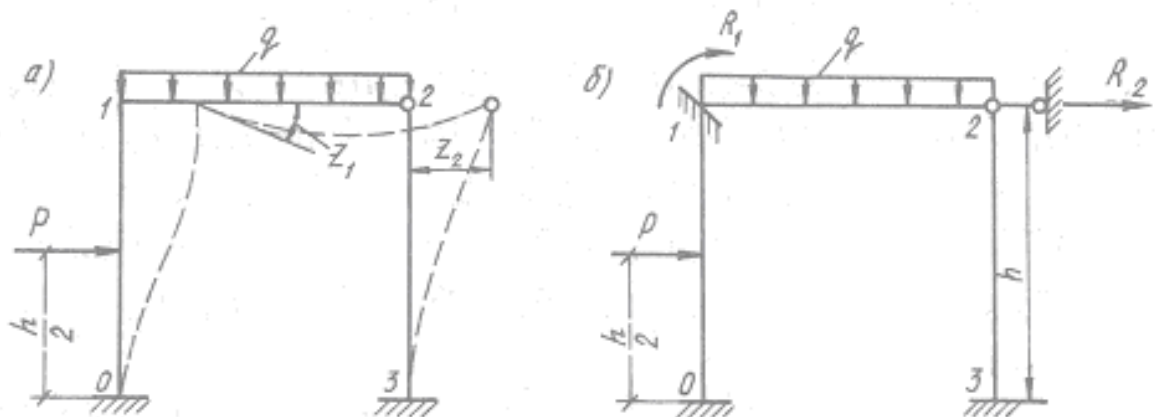
Биринчи тугунга киритилган қўшимча боғланишда вужудга келадиган тўлиқ момент R_1 қўйидаги хадлардан ташкил топади:

$$R_1 = R_{1p} + R_{1I} + R_{12}.$$

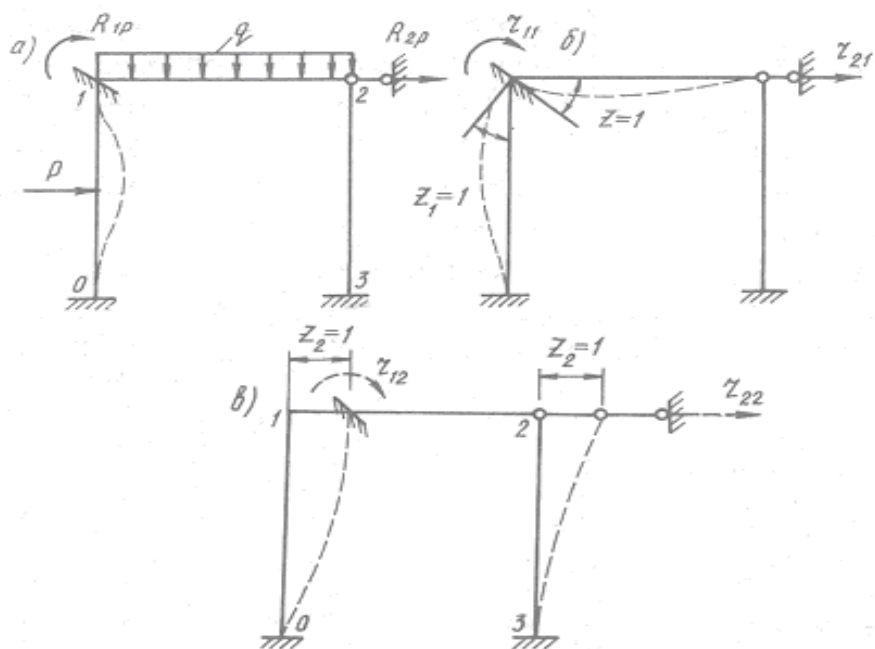
Бу ерда R_{1p} — қўшимча боғланишда ташқи юклар таъсирида вужудга келадиган реактив момент (9.8- расм, a);

R_{1I} — биринчи боғланишни Z_1 бурчакка бурилиши натижасида шу боғланишда ҳосил бўладиган реактив момент;

R_{12} — раманинг 1,2 — түгунларини Z_2 масофага күчиши натижасида биринчи боғланишда ҳосил бўладиган реактив момент.



9.7- расм



9.8- расм

R_{11} ва R_{12} реактив моментларни бирлик күчиш натижасида вужудга келадиган реактив моментлар орқали ифодалаймиз:

$$R_{11} = r_{11} \cdot Z_1 \text{ ва } R_{12} = r_{12} \cdot Z_2.$$

Бу ерда: r_{11} — биринчи боғланишни бир бирликка ($Z_1=1$) бурганимизда шу боғланишда ҳосил бўладиган реактив момент (9.8- расм, б); r_{12} —

иккинчи боғланишни $Z_2= 1$ масофага силжитганимизда биринчи боғланишда ҳосил бўладиган реактив момент (9.8- расм, в);

У ҳолда дастлабки тенглама қуйидаги кўринишга эга бўлади:

$$r_{11} \cdot Z_l + r_{12} \cdot Z_2 + R_{1p} = 0. \quad (9.4)$$

Шу тарзда иккинчи тенгламани ҳам тузса бўлади:

$$r_{21} \cdot Z_l + r_{22} \cdot Z_2 + R_{2p} = 0. \quad (9.4)$$

Бу ерда r_{21} — биринчи боғланишни $Z_1= 1$ бурчакка бирилиши натижасида иккинчи боғланишда ҳосил бўладиган реактив куч (9.8- расм, б); r_{22} — иккинчи боғланишни $Z_2= 1$ масофага кўчиши натижасида шу боғланишда ҳосил бўладиган реактив куч (9.8= расм, в);

R_{2p} — ташқи кучлар таъсирида иккинчи боғланишда вужудга келадиган реактив куч (9.8- расм, а).

Шундай қилиб, биринчи тенглама биринчи тугунга киритилган қўшимча боғланишда реактив моментнинг нолга тенглигини, иккинчи тенглама эса иккинчи боғланишдаги реактив кучларнинг нолга тенглигини ифодалайди. Ҳар икки тенглама кўчиш усулининг *каноник тенгламаси* деб аталади.

Агар система тўрт маротаба кинематик ноаниқ бўлса, у ҳолда юқорида баён этилган тартиб асосида тўртта каноник тенглама тузилади ва у қуйидаги кўринишга эга бўлади:

$$r_{11} \cdot Z_1 + r_{12} \cdot Z_2 + r_{13} \cdot Z_3 + r_{14} \cdot Z_4 + R_{1p} = 0;$$

$$r_{21} \cdot Z_1 + r_{22} \cdot Z_2 + r_{23} \cdot Z_3 + r_{24} \cdot Z_4 + R_{2p} = 0;$$

$$r_{31} \cdot Z_1 + r_{32} \cdot Z_2 + r_{33} \cdot Z_3 + r_{34} \cdot Z_4 + R_{3p} = 0;$$

$$r_{41} \cdot Z_1 + r_{42} \cdot Z_2 + r_{43} \cdot Z_3 + r_{44} \cdot Z_4 + R_{4p} = 0.$$

Бош диагонал бўйича жойлашган коэффициентлар ($r_{11}, r_{22}, r_{33}, r_{44}$) бош коэффициентлар, қолганлари ёрдамчи коэффициентлар деб аталади; озод ҳадлар $R_{1p}, R_{2p}, R_{3p}, R_{4p}$ — юк реакциялари деб аталади.

Бу тенгламаларда ҳам куч усулидаги сингари бош диагоналга нисбатан симметрик равишда жойлашган коэффициентлар ўзаро тенг бўлади, яъни $r_{12} = r_{21}, = r_{13} = r_{31}$.

Бош коэффициентлар ҳамма вакт нолдан катта бўлади $r_{nn} > 0$.

Ёрдамчи коэффициентлар эса $r_{ki} \geq 0$ бўлиши мумкин.

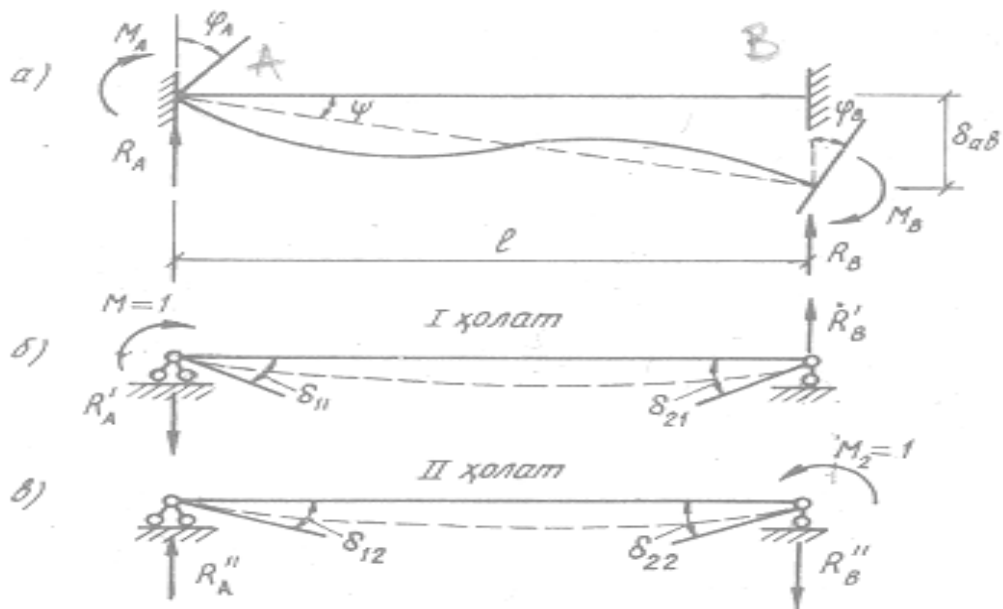
Куч усулининг каноник тенгламалари кўчишларнинг нолга тенглигини ифодалайди. Кўчиш усулининг каноник тенгламалари эса рама тугунларига киритилган кўшимча боғланишлардаги реактив момент ва реактив кучларнинг нолга тенглигини ифодалайди.

9.3. Реакциялар ва кўчишлар орасидаги боғланиш ҳақида теорема

Тўғри стерженлардан ташкил топган рамаларни кўчишлар усулида ҳисоблашда киритилган кўшимча боғланишлардаги реакциялар бир оралиқли статик ноаниқ балкалар учун берилган формулалардан фойдаланиб аниқланади.

Бир оралиқли бикир таянчли статик ноаниқ балкани мисол тариқасида кўриб чиқамиз (9.9- расм).

Фараз қиласиз, чекка кесимлар φ_A ва φ_B бурчакларга бурилган бўлсин. АВ тўғри чизик ψ бурчакка бурилган дейлик.



9.9- расм

9.9- расм, а — да қўрсатилган M_A , M_B , φ_A , φ_B , R_A , R_B ларнинг йўналишлари мусбат ишорага мос келади деб қабул килайлик. M_A ва M_B таянч моментларини аниқлаш учун куч усули бўйича асосий системалар қурилади (9.9- расм, б, в), сўнгра ишлар ҳақидаги Бетти теоремасидан фойдаланиб, куйидаги тенгламалар ёзилади:

$$\left. \begin{aligned} M_A \cdot \delta_{11} - X_2 \delta_{21} &= 1 \cdot \varphi_A - \frac{1}{l} \delta_{ab} \\ M_B \cdot \delta_{12} - X_2 \delta_{22} &= -1 \cdot \varphi_B + \frac{1}{l} \delta_{ab} \end{aligned} \right\} \quad (9.4)$$

Берилган система ва ҳар икки бирлик ҳолат бўйича аниқланган кўчиш ва зўриқишиларнинг қийматлари 9.1- жадвалда ифодаланган.

9.1- жадвал

Ҳолат	Моментлар	Кучлар	Кўчишлар	
			Бурилиш бурчаклари	Оғишиш бурчаги
Берилган	M_A , M_B	R_A , R_B	φ_A , φ_B	0 ; δ
I ҳолат	$M_1 = 1$, $M_2 = 0$	$R_A^1 = \frac{1}{\ell}$, $R_B^1 = \frac{1}{\ell}$	δ_{11} , $-\delta_{21}$	0 ; 0
II ҳолат	$M_1 = 0$, $M_2 = 1$	$R_A^1 = \frac{1}{\ell}$, $R_B^1 = \frac{1}{\ell}$	δ_{12} , $-\delta_{22}$	0 ; 0

Бирлик кўчишларни аниқлаймиз

$$\delta_{12} = \delta_{21} = \frac{M_1 \cdot l}{6EJ} = \frac{l}{6EJ}; \quad (9.5.)$$

$$\delta_{22} = \delta_{11} = \frac{M_2 \cdot l}{3EJ} = \frac{l}{3EJ}; \quad (9.6.)$$

Бу қийматларни (9.4) га қўйиб, қуйидагиларга эга бўламиз:

$$\begin{aligned} M_A \cdot \frac{l}{3EJ} - M_1 \cdot \frac{l}{6EJ} &= \varphi_A - \psi; \\ M_A \cdot \frac{l}{6EJ} - \frac{l}{3EJ} &= -\varphi_B + \psi. \end{aligned} \quad (9.7.)$$

Бундан

$$\begin{aligned} M_A &= 2 \cdot \frac{EJ}{l} (2\varphi_A + \varphi_B - 3\psi); \\ M_B &= 2 \cdot \frac{EJ}{l} (\varphi_A + 2\varphi_B - 3\psi). \end{aligned} \quad (9.8)$$

Агар $\frac{EJ}{l} = i$ деб белгиласак, у ҳолда

$$\begin{aligned} M_A &= 2i(2\varphi_A + \varphi_B - 3\psi); \\ M_B &= 2i(\varphi_A + 2\varphi_B - 3\psi). \end{aligned} \quad (9.10)$$

бўлади. Бу ерда i — стерженning нисбий бирлиги.

Хусусий ҳоллар:

Агар $\varphi_A + \varphi_B = 0$ бўлса, (9.10) формула қуйидаги кўринишга эга бўлади:

$$M_B = M_A = -6i\psi \quad (9.11)$$

Агар $\varphi_A = \psi = 0$ бўлса,

$$M_A = 2i\varphi_A;$$

$$M_B = 4i \cdot \varphi_B$$

бўлади. (9.12)

Агар $\varphi_B = \psi = 0$ бўлса, у ҳолда формула қўйидаги кўринишга эга бўлади:

$$M_A = 4i\varphi_A, \quad M_B = 2i\varphi_B. \quad (9.13)$$

Турли хил таъсирлар остида бўлган стерженларнинг чекка кесимларидағи таянч моментлари ва реакцияларини аниқлаш формулалари 9.2- жадвалда берилган.

9.2-жадвал

Балка ва унга таъсир қилувчи омил	Эгувчи момент эпюраси	Таянч реактив моментлари	Таянч реакциялари
		$M_{ab} = 4i_{ab}$ $M_{ba} = 2i_{ba}$	$R_{ab} = -\frac{6i_{ab}}{l}$ $R_{ba} = -R_{ab}$
		$M_{ab} = -\frac{6i_{ab}}{l}$ $M_{ba} = -\frac{6i_{ba}}{l}$	$R_{ab} = \frac{12i_{ab}}{l}$ $R_{ba} = -R_{ab}$
		$M_{ab} = -\frac{qL^2}{12}$ $M_{ba} = -\frac{qL^2}{12}$	$R_{ab} = \frac{qL}{2}$ $R_{ba} = \frac{qL}{2}$
		$M_{ab} = -\frac{Pab^2}{l^2}(1 + \frac{2a}{l})$ $M_{ba} = -\frac{Pab^2}{l^2}(1 + \frac{2b}{l})$	$R_{ab} = \frac{Pb^2}{l^2}(1 + \frac{2a}{l})$ $R_{ba} = \frac{Pa^2}{l^2}(1 + \frac{2b}{l})$
		$M_{ab} = \frac{M_b}{l^2}(2l - 3b)$ $M_{ba} = \frac{M_a}{l^2}(2l - 3a)$	$R_{ab} = -\frac{6ab}{l^3} \cdot M$ $R_{ba} = \frac{6ab}{l^3} \cdot M$

		$M_{ab} = \frac{3}{2}l_{ab}$	$R_{ab} = -\frac{3l_{ab}}{l_{ab}}$ $R_{ba} = \frac{3l_{ab}}{l_{ab}}$
		$M_{ab} = -\frac{3l_{ab}}{l}$	$R_{ab} = -R_{ba} = \frac{3l_{ab}}{l^2}$
		$M_{ab} = -\frac{q l^2}{8}$	$R_{ab} = \frac{5}{8}q l$ $R_{ba} = \frac{3}{8}q l$
		$M_{ab} = -\frac{Pb(l^2-b^2)}{2l^3}$	$R_{ab} = \frac{Pb(l^2-b^2)}{2l^3}$ $R_{ba} = \frac{Pa^2(3l-a)}{2l^3}$
		$M_{ab} = \frac{M(l^2-3b^2)}{2l^3}$	$R_{ab} = -\frac{3M(l^2-b^2)}{2l^3}$ $R_{ba} = \frac{3M(l^2-b^2)}{2l^3}$

9.4. Каноник тенглама коэффициентлари

ва озод ҳадларини аниқлаш.

Статик усул

Каноник тенгламанинг коэффициентлари ва озод ҳадларини аниқлаш учун асосий системада бирлик күчишлар ва ташқи кучлар таъсиридан ҳосил бўладиган момент эпюралари қурилади.

Эгувчи момент эпюраларини қуриш ва каноник тенгламаларнинг коэффициентларини аниқлаш тартибини 9.10- расмда тасвирланган рама мисолида кўриб ўтамиш.

Берилган раманинг кинематик ноаниқлик даражаси $n=2$ бўлгани учун иккита каноник тенглама тузилади:

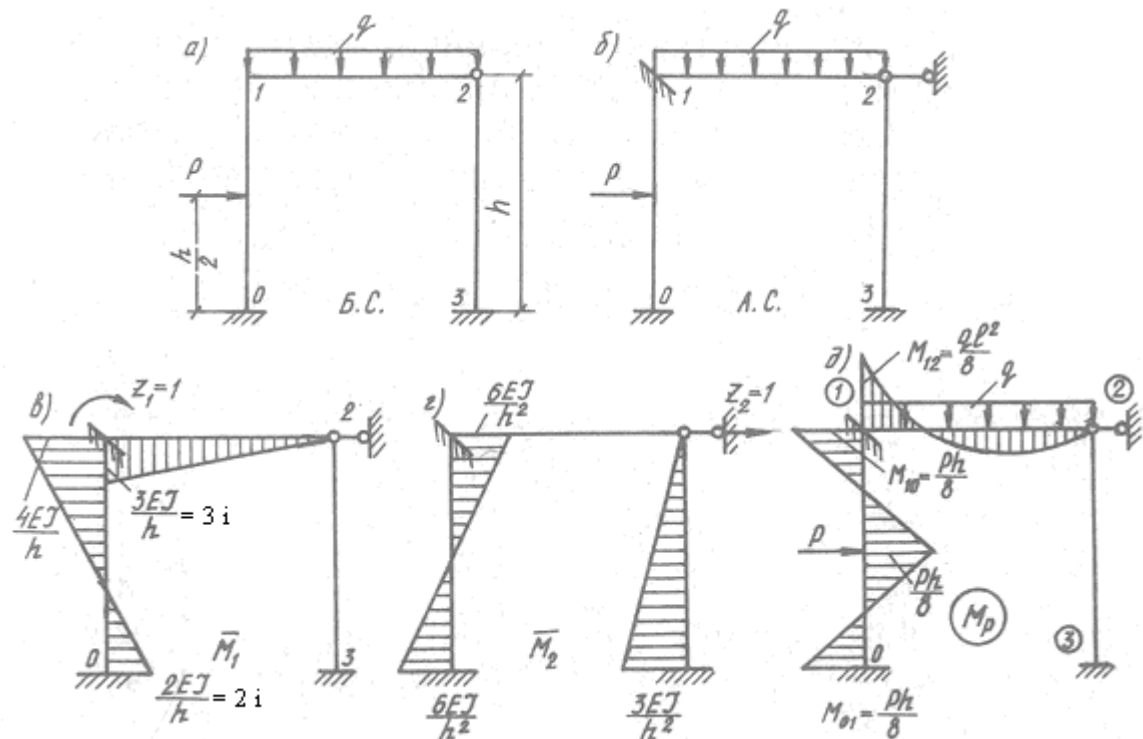
$$r_{11} \cdot Z_1 + r_{12} \cdot Z_2 + R_{1p} = 0;$$

$$r_{21} \cdot Z_1 + r_{22} \cdot Z_2 + R_{2p} = 0 \quad (9.14)$$

Каноник тенгламани ечиш учун аввал унинг коэффициентлари ва озод ҳадларини топиб олишимиз керак.

\bar{M}_1 эпюрасини ҳосил қилиш учун биринчи тугунга киритилган боғланишни $Z_1=1$ бурчакка бурамиз (9.10- расм, в). Шаклда келтирилган моментларнинг қиймати 9.2-жадвалдан олинади.

\bar{M}_2 эпюраси иккинчи боғланишни $Z_2=1$ масофага күчишидан ҳосил бўлган (9.10- расм, г). Бу ерда ҳам стержень учларидаги моментларнинг қиймати 9.2- жадвалдан олинган.



9.10- расм

M_p эпюраси ташқи кучлардан қурилган (9.10- расм, д). Табиийки, бу эпюрада ҳам моментларнинг қийматлари ўша жадвалдан олинган.

Эгувчи момент эпюралари қурилгандан сўнг каноник тенгламаларнинг коэффициентлари ва озод ҳадларини аниқлашга ўтилади.

Каноник тенгламаларнинг коэффициент ва озод ҳадлари иккита гурухга бўлинади:

- 1) қўшимча боғланишларда вужудга келадиган реактив моментлар;
- 2) қўшимча боғланишларда вужудга келадиган реактив кучлар.

Аниқланаётган коэффициент ёки озод ҳад реактив момент бўлса, у ҳолда асосий системадан тегишли қўшимча боғланиш кесиб олинади ҳамда мувозанат тенгламалари тузилади:

$$\Sigma M = 0.$$

Агар аниқланаётган коэффициент ва озод ҳадлар реактив куч бўлса, у ҳолда асосий системанинг устунлари ва иккинчи боғланиш орқали кесим ўтказилади. Шундан сўнг проэкциялар тенгламаси тузилади:

$$\Sigma T = O.$$

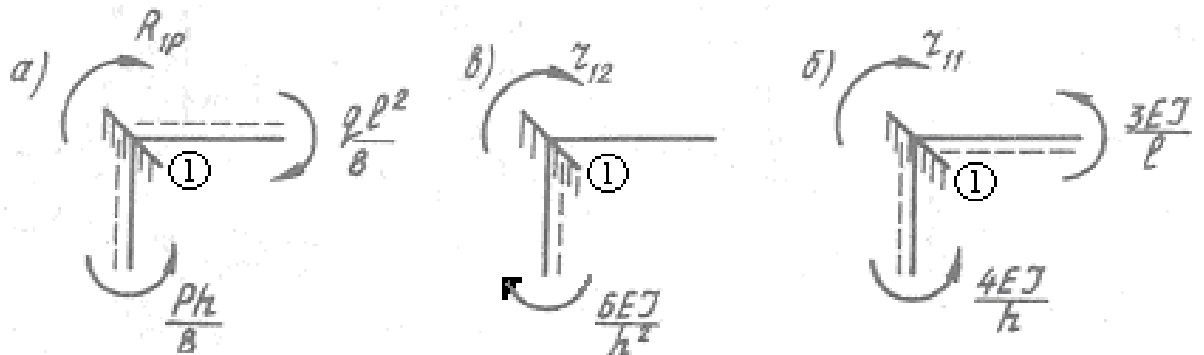
T — ўқнинг йўналиши тенгламалар тузишга қулай ҳолатда ўтказилади.

Каноник тенгламанинг биринчи қатордаги озод ҳад ва коэффициентларни аниқлайлик.

R_{1p} нинг қийматини аниқлаш учун « M_p » эпюрасидан биринчи тугунни кесиб олиб, мувозанат тенгламасини ёзамиз (9.11- расм, а):

$$\sum M_1 = R_{1p} + \frac{ql^2}{8} - \frac{ph}{8} = 0.$$

$$\text{Бундан } R_{1p} = \frac{ph}{8} - \frac{ql^2}{8}.$$



9.11-расм

r_{11}, r_{12} ларни аниқлаш учун \bar{M}_1 ва \bar{M}_2 бирлик эгувчи момент эпюраларидан 1- тугунни кесиб олиб, мувозанат тенгламаси ёзилади (9.11-расм, в, б):

$$\sum M_1 = r_{11} - \frac{3EJ}{l} - \frac{4EJ}{h} = 0; \quad \sum M_1 = r_{12} - \frac{6EJ}{l} - \frac{4EJ}{h^2} = 0;$$

$$r_{11} = \frac{3EJ}{l} + \frac{4EJ}{h}; \quad r_{12} = \frac{6EJ}{h^2}.$$

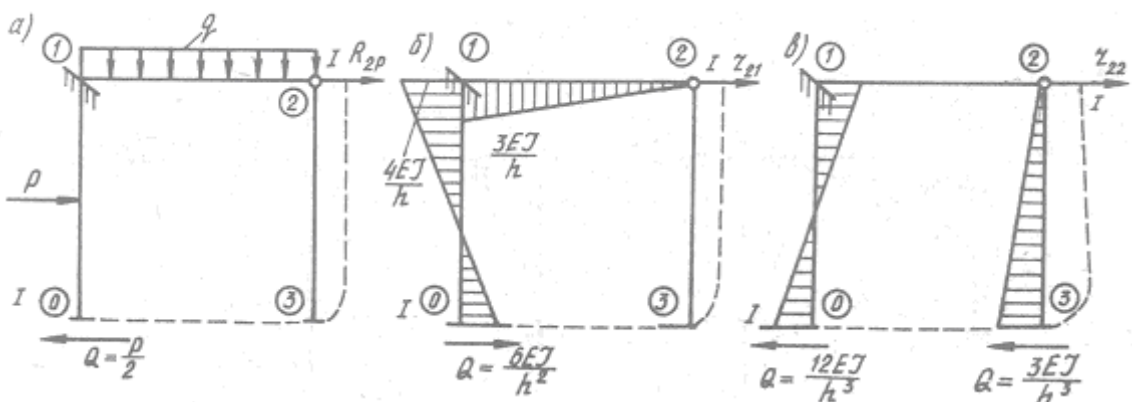
Каноник тенгламанинг иккинчи қатордаги r_{21} , r_{22} , R_{2p} лар реактив кучлардан иборатдир.

Иккинчи боғланишдаги реактив куч. R_{2p} ни аниқлаш учун асосий системанинг устунларини 1 — 1 кесим бўйича кесиб, ригель ва иккинчи боғланиш ажратиб олинади (9.12- расм, а). Бу ажратилган бўлак учун статиканинг мувозанат тенгламасини ёзамиз:

$$\sum X = P + P_{2p} - \frac{P}{2} = 0,$$

бундан

$$R_{2p} = -\frac{P}{2}.$$



9.12-расм

r_{21} ни аниқлаш учун асосий системанинг устунларини 1 — 1 кесим бўйича кесиб, ригелни ва иккинчи боғланишни ажратамиз ҳамда унинг мувозанатини текширамиз (9.12- расм, б):

$$\sum X = \frac{6EJ}{h^2} + r_{21} = 0 ;$$

бундан

$$r_{21} = -\frac{6EJ}{h^2}$$

r_{22} ни аниқлаш учун ҳам асосий системанинг устунларини 1 — 1 кесим бўйича кесиб, ригел ва иккинчи боғланишни ажратамиз ҳамда унинг мувозанатини текширамиз (9.12- расм, в);

$$\sum X = r_{22} - \frac{12EJ}{h^3} - \frac{3EJ}{h^3} = 0;$$

бундан

$$r_{22} = \frac{15EJ}{h^3}.$$

Эпюраларни кўпайтириш усули

Агар берилган раманинг устунлари ўзаро параллел бўлмаса, у ҳолда статик усул анча мураккаб тус олади. Чунки оғма устунли раманинг асосий системаси учун мувозанат тенгламаси тузилганда, унинг горизонтал ўқига кўндаланг кучлар билан биргаликда бўйлама кучлар ҳам проекцияланади.

Бу усул билан коэффициентлар ва озод ҳадларни ҳисоблаш мураккаблашади. Бундай ҳолларда эпюраларни кўпайтириш усулидан фойдаланилади. Бу усул ташқи ва ички кучларнинг бажариши мумкин бўлган ишлар ҳақидаги Бетти теоремасига асосланади:

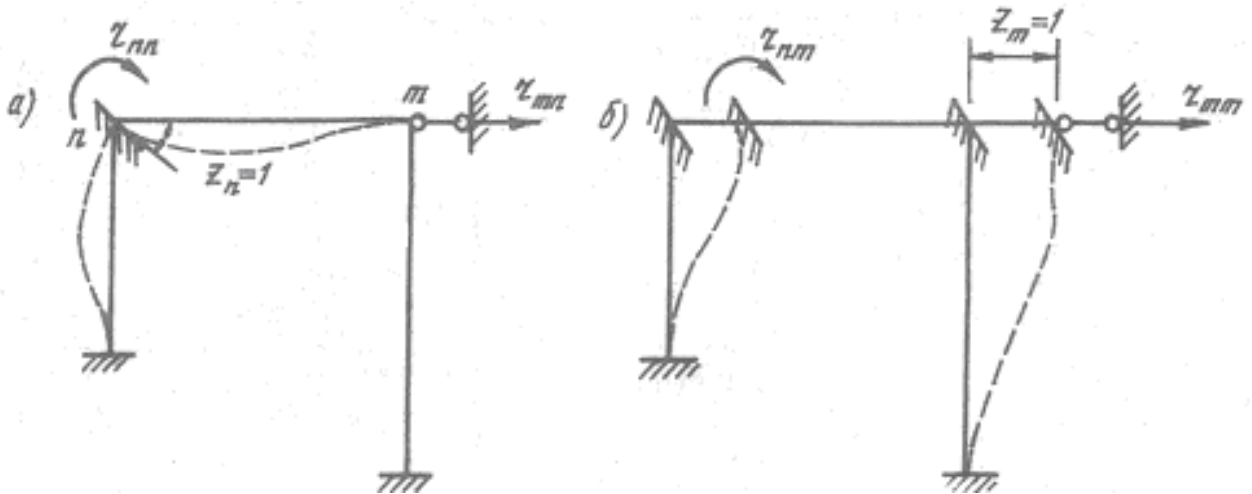
$$T_{nm} = U_{mm}. \quad (\text{a})$$

T_{nm} , « m » ҳолатдаги ташқи кучларнинг бажариши мумкин бўлган иши;

U_{nm} « n » ҳолатдаги ички кучларнинг бажариши мумкин бўлган иши.

Статик ноаниқ рамани икки ҳолатда тасвирлаймиз: биринчи ҳолатда « n » тугунни $Z_n=1$ бурчакка бурамиз (9.13- расм, а) иккинчи ҳолатда « m » тугунни $Z_m=1$ масофага кўчирамиз (9.13- расм, б). Шакллардан фойдаланиб, ташқи кучлар бажариши мумкин бўлган иш ифодасини ёзамиз:

$$T_{nm} = r_{mn} \cdot I. \quad (\text{б})$$



9.13- расм

Маълумки, ички кучлар бажариши мумкин бўлган иш қуидаги формуладан аниқланади:

$$r_{mn} = \sum \frac{\bar{M}_m \bar{M}_n}{EJ} dx, \quad (\text{в})$$

(а) ифодага кўра

$$r_{mn} = \sum \int \frac{\bar{M}_m \bar{M}_n}{EJ} dx. \quad (\text{г})$$

Демак, кўчиш усули каноник тенгламаларининг коэффициентларини аниқлаш учун куч усулидаги сингари иккита бирлик эпюорани бир-бирига кўпайтирилса кифоя экан.

Кўчиш усули каноник тенгламаларининг озод ҳадларини ҳам эпюораларни кўпайтириш усулида топса бўлади. Бунинг учун қуидаги формуладан фойдаланилади:

$$R_{np} = - \sum \int \frac{\bar{M}_n M'_p}{EJ} dx.$$

Бу ерда \bar{M}_n — бирлик эгувчи момент эпюраси;

M'_p — статик аниқ системада ташқи кучлардан хосил бўлган M эпюраси.

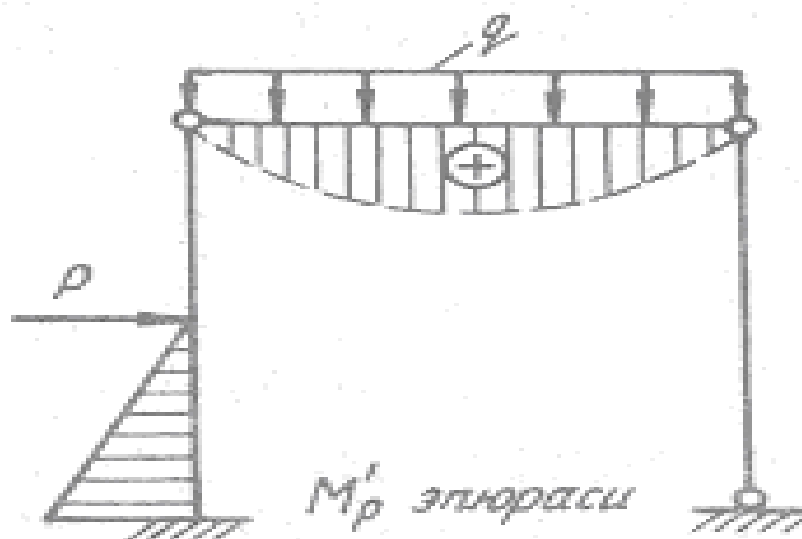
Масалан, 9.10- расм, *a*—да берилган статик ноаниқ рама учун M'_p эпюраси 9.14- расмда кўрсатилгандек бўлади. \bar{M}_1 ва \bar{M}_2 бирлик эпюоралари

ўзгаришсиз қолади (9.10- расм, в, г). R_{1p} ни аниқлаш учун M'_p билан \bar{M}_1 эпюраси, R_{2p} ни аниқлаш учун эса M'_p билан \bar{M}_2 эпюралари кўпайтирилади. Кўпайтириш ишлари Верешчагин қоидаси бўйича амалга оширилади.

Кўчиш усули каноник тенгламалари системасининг коэффициентлари ва озод хадлари куч усулидаги каби текширилади.

Бунинг учун аввал \bar{M}_s йиғинди эпюраси чизиб олинади:

$$\bar{M}_s = \bar{M}_1 + \bar{M}_2 + \dots + \bar{M}_n,$$



9.14- расм

Бу эпюра билан истаган бирлик эпюранинг кўпайтмаси, куч усулидаги сингари, тегишли қатор коэффициентларининг йиғиндисига тенг бўлади:

$$r_{ls} = \sum \int \frac{\bar{M}_1 \bar{M}_s}{EJ} dx = \sum \int \frac{\bar{M}_1 (\bar{M}_1 + \bar{M}_2 + \dots + \bar{M}_n)}{EJ} dx = \\ \sum \frac{\bar{M}_1^2 dx}{EJ} + \sum \int \frac{\bar{M}_1 \bar{M}_2 dx}{EJ} + \dots + \sum \int \frac{\bar{M}_1 \bar{M}_n dx}{EJ} = r_{11} + r_{12} + \dots + r_{1n}.$$

Каноник тенгламанинг озод хадлари қуйидагида текширилади:

$$\sum \int \frac{\bar{M}_s M_p}{EJ} dx = - \sum \int \frac{(\bar{M}_1 + \bar{M}_2 + \dots + \bar{M}_n) M_p}{EJ} dx = \\ \left(\sum \int \frac{\bar{M}_1 M'_p dx}{EJ} + \sum \int \frac{\bar{M}_2 M'_p dx}{EJ} + \dots + \sum \int \frac{\bar{M}_n M'_p dx}{EJ} \right) = R_{1p} + R_{2p} + \dots + R_{np}.$$

Демак, озод ҳадлар түғри топилган бўлса, уларнинг йифиндиси икки эпюранинг (\bar{M}_s аҳа M_p^1 эпюраларининг) кўпайтмасига тенг бўлади.

9.5. Раманинг M, Q ва N эпюраларини қуриш

Каноник тенглама коэффициентлари түғри топилганига ишонч ҳосил килганимиздан сўнг коэффициентларни тенгламага қўйиб, ундағи номаълумлар ($z_1, z_2, z_3, \dots, z_n$) ни аниқлаймиз ва ундан сўнг « M » эпюрасини қуришга ўтамиш. Эпюра қуидаги қоида асосида қурилади:

$$M = M_p + \bar{M}_1 \cdot Z_1 + \bar{M}_2 \cdot Z_2 + \dots + \bar{M}_n \cdot Z_n ,$$

бу ерда M — статик ноаниқ раманинг исталган кесимидағи эгувчи момент;

M_p — асосий системада ташқи кучдан қурилган M эпюрасининг ординатаси;

\bar{M}_1, \bar{M}_2 — бирлик эпюраларнинг ординаталари;

Z_1, Z_2 — каноник тенгламалардан топилган бурчакли ёки чизиқли кўчишлар.

Якунловчи M эпюраси қурилгандан сўнг шу эпюра асосида « Q » ва « N » эпюралари қурилади.

9.6. Кўчишлар усулида соддалаштиришлар

Симметрик рамаларнн кўчиш усулида ҳисоблаганда хам куч усулидаги сингари номаълумларни гурухлаш йўлидан фойдаланса бўлади.

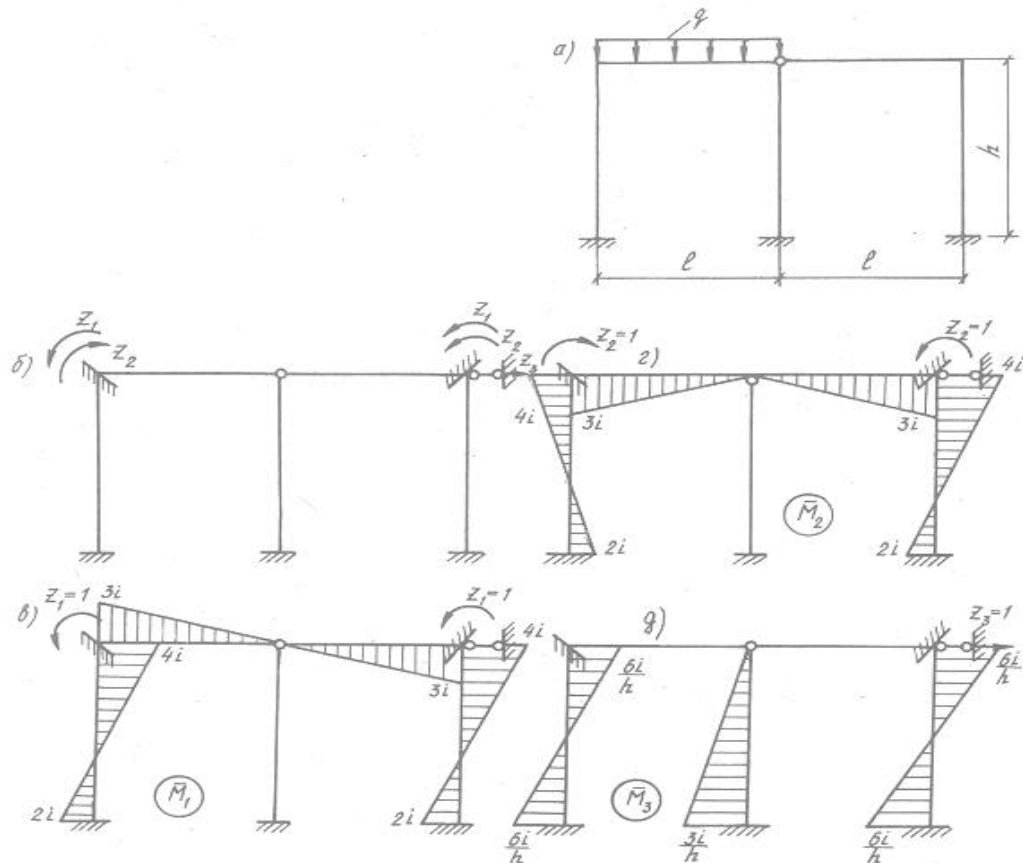
Мисол тариқасида 9.15- расм, a — да таевирланган рамани кўриб ўтамиш. Рама иккита бурчакли ва битта чизиқли кўчишга эга, яъни унинг кинематик ноаниқлик даражаси $n=3$. Раманинг тўлиқ каноник тенгламаси қуидаги кўринишга эга:

$$r_{11} \cdot Z_1 + r_{12} \cdot Z_2 + r_{13} \cdot Z_3 + R_{1p} = 0;$$

$$r_{21} \cdot Z_1 + r_{22} \cdot Z_2 + r_{23} \cdot Z_3 + R_{2p} = 0;$$

$$r_{31} \cdot Z_1 + r_{32} \cdot Z_2 + r_{33} \cdot Z_3 + R_{3p} = 0;$$

Берилган рама симметрия ўқига эга бўлганлиги сабабли номаълумларни гурухлаш йўли билан каноник тенгламанинг айрим коэффициентларини нолга тенглаштириш мумкин.



9.15- расм

Номаълумларни гурухлаш натижасида икки хил: тўғри симметрик ва тескари симметрик эпюралар ҳосил бўлади. Маълумки, бундай эпюралар кўпайтмаси 0 га тенг бўлади. Натижада каноник тенглама иккита системага ажралиб кетади. Бу эса ҳисоблаш ишларини анча енгиллаштиради.

Номаълумларни гурухлаш 9.15- расм, б — да кўрсатилган шаклда амалга оширилади. Бирлик M эпюралари 9.15- расм, σ , τ , δ — да тасвиранган. Бу ерда \bar{M}_1 тескари, \bar{M}_2 эса тўғри симметрик эпюра бўлиб, буларнинг кўпайтмасидан топиладиган $r_{12}=r_{21}=0$ бўлади, Шунингдек $r_{23}=r_{32}$ ҳам нолга тенгdir. У ҳолда юқоридаги каноник тенглама қуйидаги қўринишга келади:

$$\left. \begin{array}{l} r_{11} \cdot Z_1 + r_{13} + Z_3 + R_{1q} \\ r_{31} \cdot Z_1 + r_{33} + Z_3 + R_{3q} \end{array} \right\} \text{тескари симметрик тенглама}$$

$$r_{22} \cdot Z_2 + R_{2q} = 0 \text{ симметрик тенглама}$$

9.7. Статик ноаниқ рамаларни аралаш ва комбинация усулларида ҳисоблаш

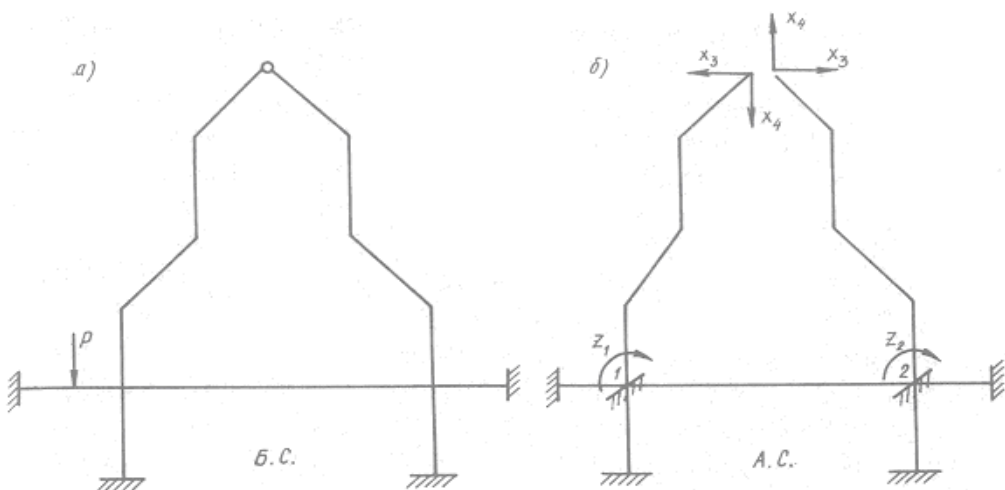
Бинокорлиқда шундай рамалар учрайдики, уларни ҳар қанча соддалаштирганда хам умумий ечими муракаблигича қолаверади. Бундай рамаларнинг ечилишини соддалаштириш мақсадида күч ва күчиш усулларидан бир йўла фойдаланиш тавсия этилади. Бунда раманинг бир қисми кучлар усулида, иккинчи қисми эса күчишлар усулида ҳисобланади. Бундай ҳисоблаш усули *аралаши* усул деб аталади. Аралаш усулга доир мисол кўриб ўтамиз (9.16- расм);

Қаватлар	Статик ноаниқлик даражаси	Кинематик ноаниқлик даражаси
Биринчи	9	2
Иккинчи	2	12
Жами	11	14

Берилган раманинг статик ва кинематик ноаниқлик даражалари қуидаги жадвалда берилган:
Жадвалдан кўринадики, агар рамани күч усулида ишласак, у 11 номаълумли, күчиш усулида эса 14 номаълумли бўлади. 11 ёки 14 номаълумли тенгламаларни ечиш осон масала эмаслиги ҳаммага аён.

Агар раманинг биринчи қаватини күчиш, иккинчи қаватини кучлар усулида ечилса, ҳисоб анча енгиллашади. Демак, рамани аралаш усулда ҳисоблаш мақсадга мувофикдир. Бу усулга кўра номаълумлар сони 4 га тенг бўлади.

Аралаш усулнинг асосий системаси 9.16- расм, б — да тасвирланган.



9.16- расм

Аралаш усулнинг каноник тенгламалари қўйидаги кўринишга эга:

$$r_{11} \cdot Z_1 + r_{12} \cdot Z_2 + r_{13} \cdot X_3 + r_{14} \cdot X_4 + R_{1p} = 0;$$

$$r_{21} \cdot Z_1 + r_{22} \cdot Z_2 + r_{23} \cdot X_3 + r_{24} \cdot X_4 + R_{2p} = 0;$$

$$\delta_{31} \cdot Z_1 + \delta_{32} \cdot Z_2 + \delta_{33} \cdot X_3 + \delta_{34} \cdot X_4 + \Delta_{3p} = 0;$$

$$\delta_{41} \cdot Z_1 + \delta_{42} \cdot Z_2 + \delta_{43} \cdot X_3 + \delta_{44} \cdot X_4 + \Delta_{4p} = 0.$$

Каноник тенгламалар системасининг 1—2 қаторлари асосий системанинг биринчи ва иккинчи кўшимча боғланишларида ташқи юк ва номаълумлардан ҳосил бўлган реакцияларнинг йифиндиси нолга тенглигини ифодалайди. 3 — 4 тенгламалар эса асосий системада ташқи юк ва номаълумлардан X_3 ва X_4 йўналишлари бўйича кўчишларнинг йифиндиси нолга тенглигини ифодалайди.

Шундай қилиб, аралаш усул каноник тенгламаларининг бир қисми кўчишлар усулига, иккинчи қисми эса кучлар усулига тегишли шартларни ифодалайди.

Аралаш усулнинг каноник тенгламалари системасидаги коэффициентлар тўрт гурухга бўлинади:

1. Асосий системада бирлик кўчишлар ($Z_1=1, Z_2=1$) дан ҳосил бўлган реакцияларни ифодаловчи коэффициентлар $r_{11}, r_{12}, r_{21}, r_{22}$.

2. Асосий системанинг кўшимча боғланишларида бирлик кучлар ($X_3=1, X_4=1$) дан ҳосил бўлган реакцияларни ифодаловчи коэффициентлар r_{24}, r_{23}, r_{14} .

3. Асосий системада номаълум зўриқишилар йўналишида бирлик кўчишлардан ҳосил бўлган кўчишларни ифодаловчи коэффициентлар $\delta_{31}, \delta_{32}, \delta_{33}, \delta_{34}$.

4. Асосий системада номаълум куч (X_3 ва X_4) лар йўналишларида бирлик кучлардан ҳосил бўлган кўчишлар: $\delta_{41}, \delta_{42}, \delta_{43}, \delta_{44}$.

Каноник тенгламаларнинг коэффициентлари ва озод хадлари куч ва кўчиш усулларида баён этилган қоидалар асосида топилади.

Аралаш усулда ҳам қуидаги теоремалар амал қиласди:

$$r_{mn} = r_{nm}$$

$$\delta_{mn} = \delta_{nm}$$

$$r_{mp} = -\delta_{np}$$

Аралаш усулнинг каноник тенгламалари биргаликда ечилади ва z_1, z_2, x_3 ва x_4 номаълумлар аниқланади. Эгувчи моментлар эпюрасини қуриш учун қуидаги формулалардан фойдаланамиз:

$$M = M_p + \bar{M}_1 \cdot Z_1 + \bar{M}_2 \cdot Z_2 + \bar{M}_3 \cdot X_3 + \bar{M}_4 \cdot X_4$$

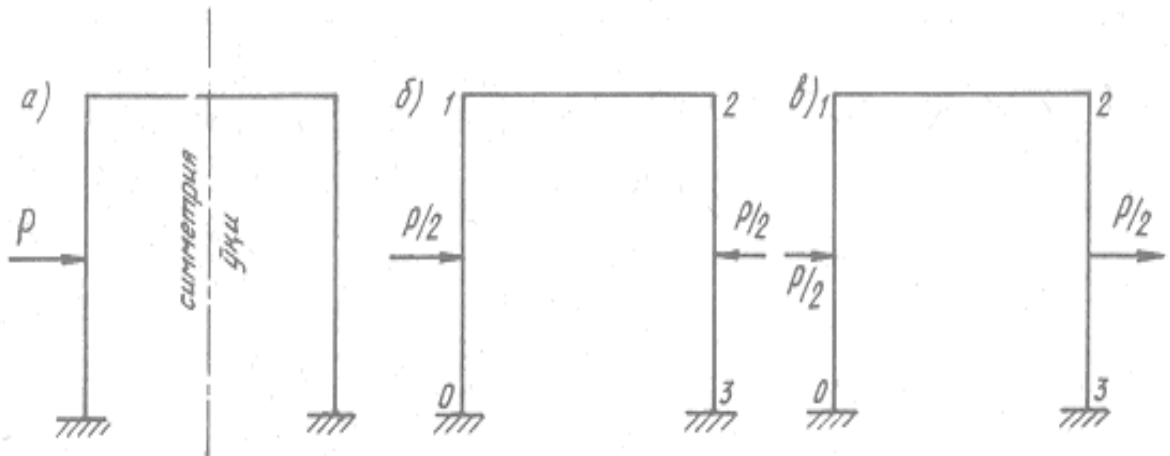
Статик ноаниқ рамаларни *комбинация* усулида ҳисоблаш ҳам симметрик рамалар ҳисобини осонлаштириш мақсадини кўзда тутади. Бу усулга кўра рамага қўйилган юклар тўғри ва тескари симметрик юкларга ажратилади.

Симметрик юклangan рамаларни кўчишлар усулида ҳисоблаш тавсия этилади, чунки бунда симметрик тугунларнинг бурилиш бурчаклари ўзаро тенг бўлиб, ишоралари тескари бўлади, уларнинг чизиқли кўчишлари эса нолга тенг бўлади.

Тескари симметрик юклangan рамаларни куч усулида ҳисоблаш тавсия этилади, чунки куч усулининг асосий системасида симметрик номаълумлар нолга тенг бўлади. Симметрик рамаларни ҳисоблашда уларга қўйилган ташқи юкларни симметрик ва тескари симметрик юкларга ажратилади (9.17- расм, б, в). 9.18- расмда симметрик юклangan раманинг кўчиш (а) ва куч (б) усули бўйича танланган асосий системалари тасвирланган. 9.19- расмда худди шунинг ўзи тескари симметрик юклangan рама учун бажарилган.

Хар иккала ҳол учун раманинг статик ва кинематик ноаниқлик даражаси, яъни номаълумлар сони аниқланиб, у 9.2 a — жадвалда акс эттирилган. Шу жадвалнинг охирги устунида қабул қилинган усул кўрсатилган.

Жадвалга кўра симметрик юкланган рама — кўчиш, тескари симметрик юкланган рама — куч усулида ишланиши мақсаддага мувофик экан.



9.17- расм

9.2 a — жадвал

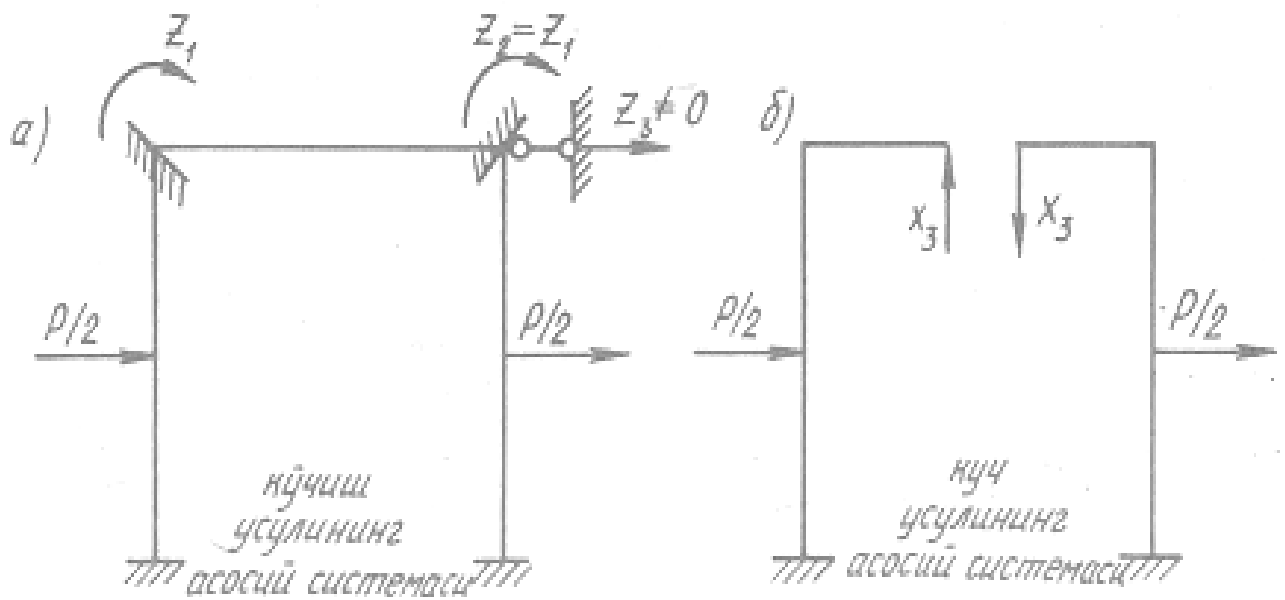
Юкланиш тартиби	Номаълумлар сони		Қабул қилинадиган усул
	Куч усули	Кўчиш усули	
Симметрик	2	1	Кўчиш усули
Носимметрик	1	2	Куч усули

Рамаларни ҳисоблашнинг бу йўли *комбинация усули* деб ном олган.

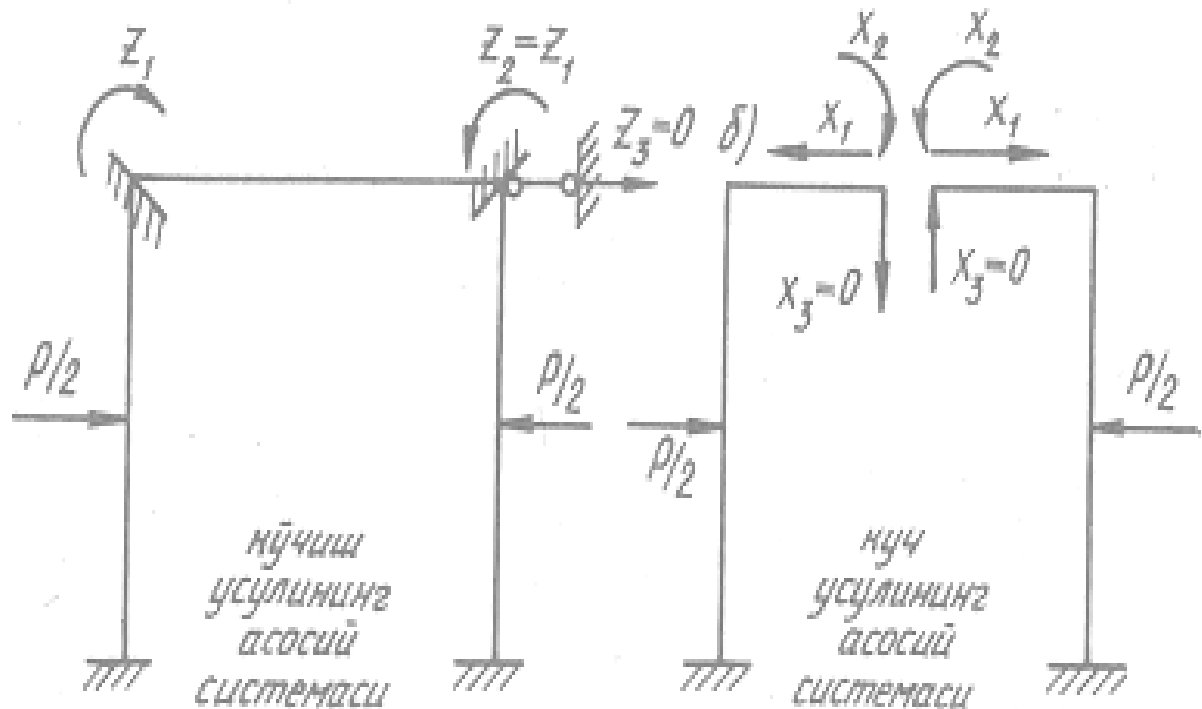
Мисол.

Энди статик ноаниқ рамани кўчиш усулида ҳисоблашга доир бир мисол ечамиз. Раманинг юкланиши ва ўлчамлари 9.20- расм, a — да кўрсатилган.

Рама қуйидаги тартибда ҳисобланади:



9.18- расм



9.19- расм

1. Раманинг кинематик ноаниқлик даражаси аниқланади:

$$n = n_b + n_u;$$

n_b — рама тугуларининг бурчакли кўчишлари сони;

n_u — рама тугуларининг чизиқли кўчишлари сони; (бу сон бикир тугуларни шарнир билан алмаштирилганда раманинг эркинлик даражасига тенг бўлади);

$$n_4 = 1$$

Раманинг кинематик ноаниқлик даражаси

$$n = 1 + 1 = 2,$$

2. Асосий система тузилади (9.20- расм, б) ва рама элементларининг нисбий бикирликлари аниқланади:

$$i_{13} = \frac{EJ}{2l} = 0,5 \frac{EJ}{l} = 0,5i; \quad \frac{EJ}{l} = i;$$

$$i_{34} = \frac{EJ}{l} = i;$$

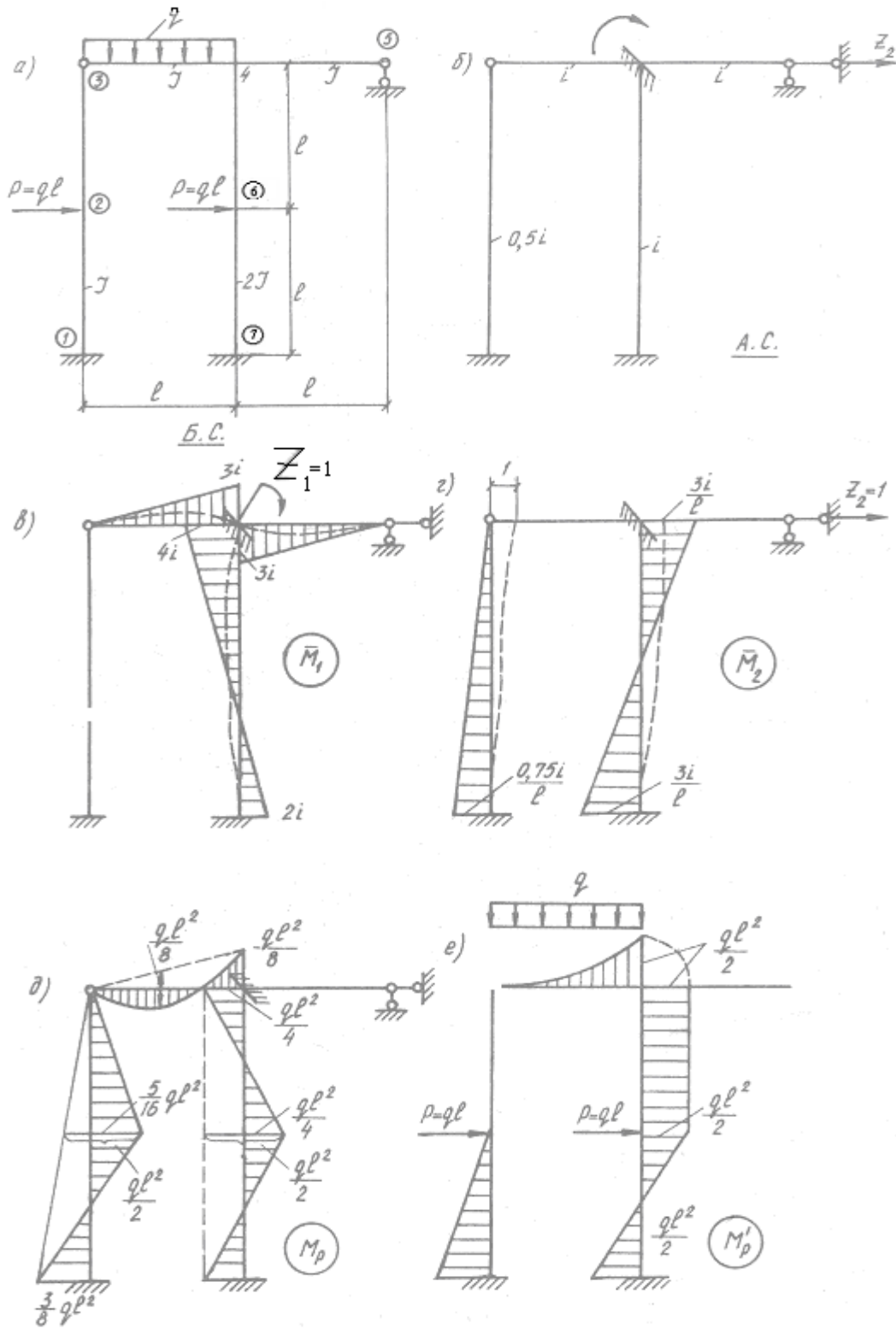
$$i_{47} = \frac{2EJ}{2l} = i.$$

3. Каноник тенгламалар системаси тузилади:

$$r_{11} \cdot Z_1 + r_{12} \cdot Z_2 + R_{1p} = 0;$$

$$r_{21} \cdot Z_1 + r_{22} \cdot Z_2 + R_{2p} = 0.$$

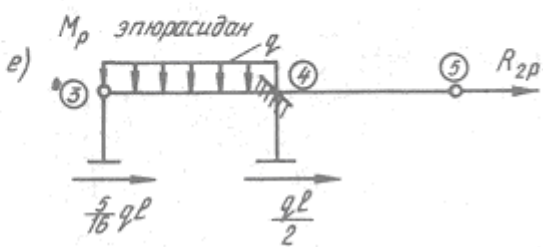
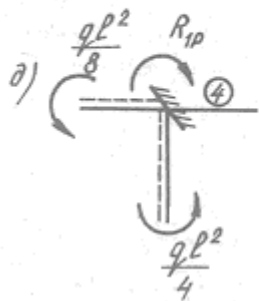
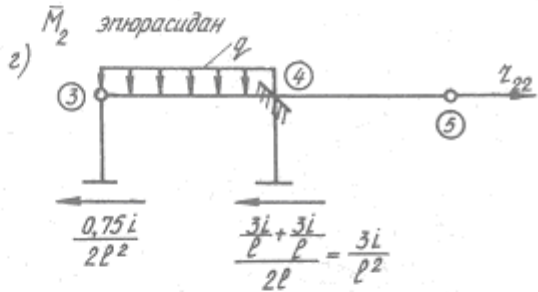
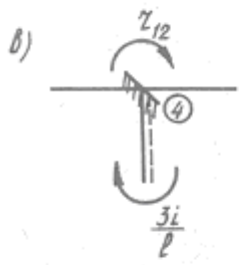
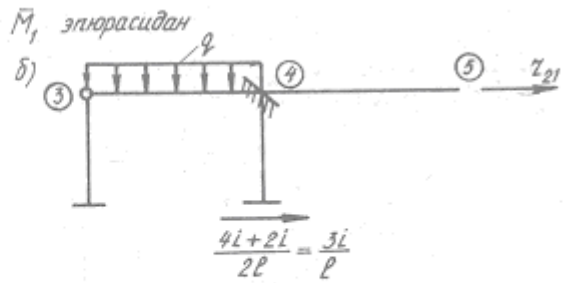
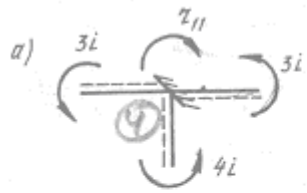
4. Асосий системада ташқи кучлардан ва бирлик кўчишлардан алоҳида-алоҳида эгувчи моментлар эпюралари қурилади (9.20- расм, в, г, д).



9.20- расм

Эпюраларни қуришда махсус жадвалдан фойдаланилади (9.2- жадвал).

5. Каноник тенгламалар тизими коэффициентлари ва озод хадлари аникланади.



9.21- расм

Статик усул

а) 4 — түгун мувозанатидан қыйдагилар топилади: (9.21- расм).

\bar{M}_1 эпюрасидан (9.21- расм, а): $r_{11} - 2(3i) - 4i = 0; r_{11} = 10i. r_{11} = 10i.$

\bar{M}_2 эпюрасидан (9.21- расм, в): $r_{12} + \frac{3i}{l} = 0; r = -\frac{3i}{l};$

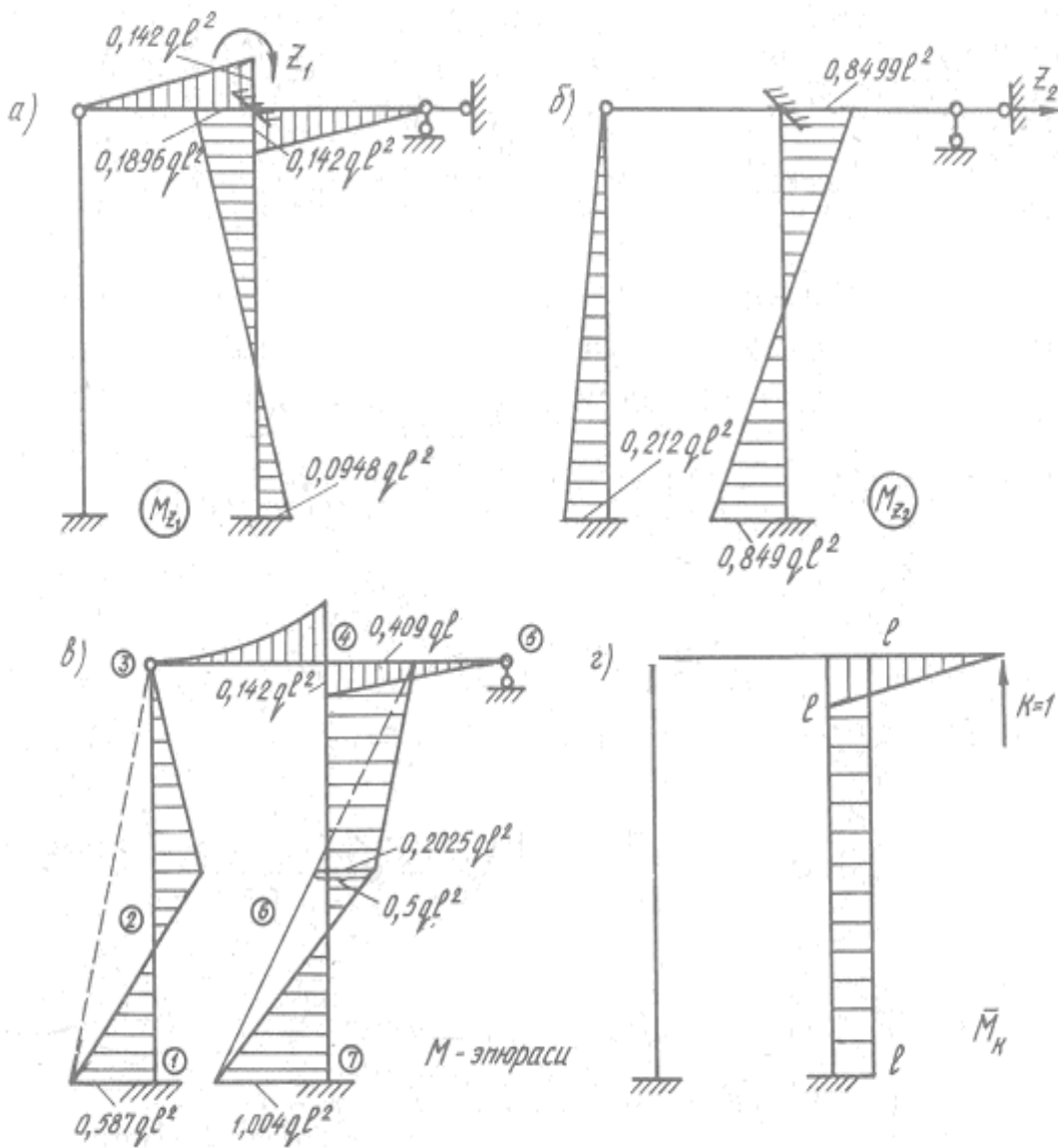
M_p эпюрасидан (9.21- расм, д): $R_{1p} - \frac{ql^2}{4} - \frac{ql^2}{8} = 0; R_{1p} = 0,375ql^2.$

б) раманинг юқори қисми мувозанатидан қыйдагилар топилади:

\bar{M}_1 эпюрасидан (9.21- расм, б) $r_{21} + \frac{3i}{l} = 0; r_{21} = -\frac{3i}{l};$

\bar{M}_2 эпюрасидан (9.21- расм, г) $r_{22} - \frac{0,75i}{2l^2} - \frac{3i}{l^2} = 0$; $r_{22} = \frac{3,375i}{l^2}$;

M_p эпюрасидан (9.21- расм, е) $R_{2p} + \frac{5}{16}ql + \frac{ql}{2} = 0$; $R_{2p} = -\frac{13ql}{16} = -0,81ql$.



9.22- расм

Эпюраларини кўпайтириш усули

Статик усулда топилган коэффициент ва озод хадларни эпюраларни кўпайтириш усулида топса ҳам бўлади. Кўпайтириш амаллари Верешчагин усулида (9.22- расм) амалга оширилади:

$$\begin{aligned}
r_{11} &= (\bar{M}_1 \cdot \bar{M}_1) = \frac{1}{EJ} \frac{1}{2} 3i \cdot l \cdot \frac{2}{3} 3i \cdot 2 + \frac{1}{2EJ} \frac{1}{2} \cdot 4i \cdot 2l \left(\frac{2}{3} \cdot 4i \cdot \frac{1}{3} 2i \right) + \frac{1}{2EJ} \frac{1}{2} \cdot 2i \cdot 2l \left(\frac{2}{3} \cdot 2i - \frac{1}{3} \cdot 4i \right) = \\
&= \frac{l \cdot l^2}{EJ} (6 + 2 + 2) = 10i; \\
r_{22} &= (\bar{M}_2 \cdot \bar{M}_2) = \frac{1}{EJ} \cdot \frac{1}{2} \cdot \frac{0,75i}{l} \cdot 2l \cdot \frac{2}{3} \cdot \frac{0,75i}{l} + \frac{1}{2EJ} \cdot \frac{1}{2} \cdot 2 \cdot \frac{3i}{l} \cdot \frac{l}{3} \cdot \frac{3i}{l} \cdot 2 = \frac{i^2}{EJ \cdot l} (0,375 + 3) = \\
&= \frac{3,375i^2}{i \cdot EJ} = \frac{3,375i \frac{EJ}{l}}{l \cdot EJ} = \frac{3,375i}{l^2}; \\
r_{21} = r_{12} &= \bar{M}_1 \bar{M}_2 = -\frac{1}{2EJ} \cdot \frac{1}{2} \cdot 4i \cdot 2l \cdot \frac{1}{3} \cdot \frac{3i}{l} - \frac{1}{2EJ} \frac{1}{2} \cdot 2i \cdot 2l \cdot \frac{1}{3} \frac{3i}{l} = -\frac{3i^2}{EJ} = -\frac{3i \cdot EJ}{EJ \cdot l} = -\frac{3i}{l};
\end{aligned}$$

Озод хадларни аниклаш учун берилган системадан статик аниқ система ҳосил қилинади ва ташқи кучлардан эгувчи моментлар эпюраси қурилади (9.20- расм, е):

$$\begin{aligned}
R_{ip} &= -[M'_p \bar{M}_1] = -\frac{1}{EJ} \frac{1}{3} \frac{ql^2}{2} \cdot l \cdot \frac{3}{4} \cdot 3i + \frac{1}{2EJ} \frac{1}{2} 4i \cdot 2l \cdot \frac{1}{3} \frac{ql^2}{2} + \frac{1}{2EJ} \frac{1}{2} 2i \cdot 2l \cdot \frac{1}{3} \frac{ql^2}{2} + \\
&+ \frac{1}{2EJ} \cdot \frac{1}{2} \frac{ql^2}{2} \cdot 2l \cdot \frac{1}{2} (4i - 2i) = \frac{ql^2}{EJ} \cdot I \left[-0,375 + \frac{1}{3} + \frac{1}{6} + 0,25 \right] = 0,375 \cdot \frac{ql^3}{EJ} \cdot i = 0,375ql^2. \\
R_{2p} &= -[M'_p \cdot \bar{M}_2] = -\frac{1}{EJ} \frac{1}{2} ql^2 \cdot l \cdot \frac{5}{6} \cdot \frac{0,75}{l} i - \frac{1}{2EJ} \cdot \frac{1}{2} \frac{ql^2}{2} \cdot l \frac{2}{3} \cdot \frac{3i}{l} \cdot 2 + \\
&+ \frac{1}{2EJ} \cdot \frac{1}{2} \frac{ql^2}{2} \cdot 2l \cdot 0 = -\frac{ql^2}{EJ} \cdot i \left[\frac{5}{16} + \frac{1}{2} \right] = -\frac{13}{16} ql = -0,8125ql.
\end{aligned}$$

Хар иккала усулда топилган коэффициент ва озод хадлар мос равища бир- бирiga тенг чиқди.

6. Номаълумлар аникланади. Бунинг учун топилган коэффициент ва озод хадлар каноник тенгламага қўйилади:

$$\begin{aligned}
10i \cdot Z_1 - \frac{3i}{l} \cdot Z_2 + 0,375ql^2 &= 0 \\
-\frac{3i}{l} \cdot Z_1 + \frac{3,375i}{l^2} \cdot Z_2 - 0,8125ql &= 0
\end{aligned}$$

Тенгламалар биргаликда ечилиб, номаълум бурчакли ва чизиқли кўчишлар аникланади:

$$Z_1 = 0,0474 \frac{ql^2}{i}; \quad Z_2 = 0,283 \cdot \frac{ql^3}{i};$$

7. Қуидаги формула асосида тузатилган эпюралар қурилади (9.22- расм, а, б):

$$M_{z_1} = \bar{M}_1 \cdot Z_1; M_{z_2} = \bar{M}_2 \cdot Z_2$$

8. Натижавий әгувчи моментлар эпюраси қуидаги формула асосида қурилади (9.22- расм, в):

$$M = M_p + M_{z_1} + M_{z_2}$$

9. Натижавий M эпюраси текширилади. Бунинг учун статик аниқ системага бирлик кучдан \bar{M}_k эпюраси қурилади (9.22- расм, г) ва шу эпюра натижавий M эпюраси билан қўпайтирилади:

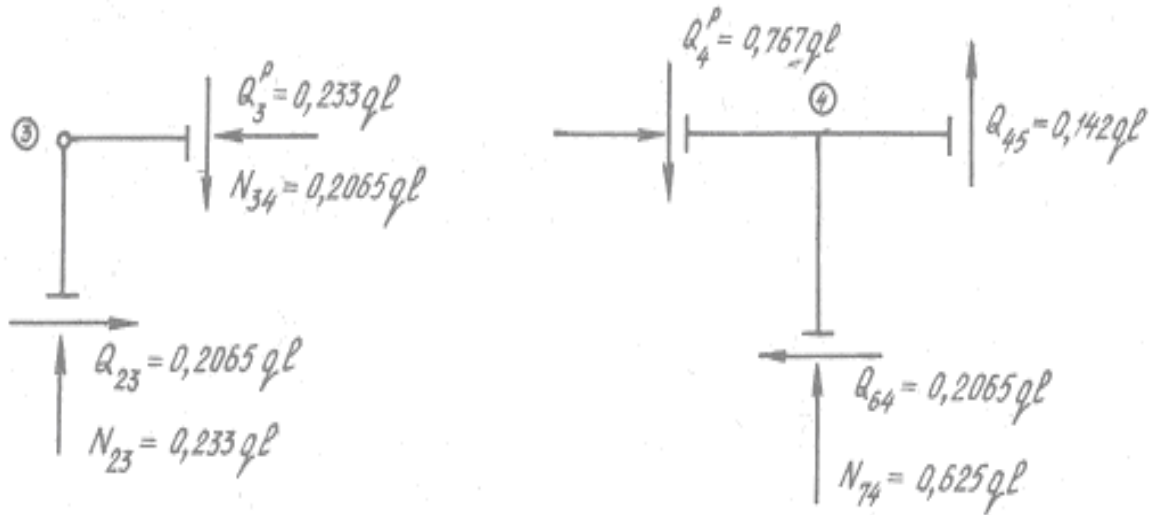
$$\begin{aligned} \Delta_{kp} &= \frac{1}{EJ} \cdot \frac{1}{2} \cdot 0,142ql^2 \cdot l \cdot \frac{2}{3}l + \frac{1}{2EJ} \cdot \frac{1}{2} \cdot 0,409ql^2 \cdot 2l \cdot l + \\ &+ \frac{1}{2EJ} \cdot \frac{1}{2} \cdot 0,5ql^2 \cdot 2l \cdot l - \frac{1}{2EJ} \cdot \frac{1}{2} \cdot 1,004ql^2 \cdot 2l \cdot l = \\ &= \frac{ql^4}{EJ} [0,0473 + 0,2045 + 0,25 - 0,502] = \frac{ql^4}{EJ} [0,5018 - 0,502] = -\frac{0,0002}{EJ} ql^4 \end{aligned}$$

$$\text{Хатоси } \delta\% = \frac{0,0002 \cdot 100}{0,502} = 0,04 \% < 1 \%$$

Рухсат этилган чегарада.

10. Кўндаланг кучлар эпюраси Q қурилади. Бунинг учун қуидаги формуладан фойдаланилади:

$$\begin{aligned} Q_x &= Q_x^0 + \frac{M_{ong} - M_{chap}}{l}, \\ Q_{12} &= \frac{0,2065ql^2 - (+0,582ql^2)}{l} = 0,7935ql; \\ Q_3 &= \frac{ql}{2} + \frac{-0,267ql^2 - 0}{l} = 0,233ql; \\ Q_4 &= -\frac{ql}{2} + \frac{-0,267ql^2 - 0}{l} = -0,767ql; \\ Q_{45} &= \frac{0 - 0,142ql^2}{l} = -0,142ql; \\ Q_{64} &= \frac{0,409ql^2 - 0,2025ql^2}{l} = 0,2065ql; \\ Q_{76} &= \frac{0,2025ql^2 - (-1,004ql^2)}{l} = 1,2065ql. \end{aligned}$$



9.23 - расм

11. Бўйлама кучлар эпюраси N қурилади. Бунинг учун раманинг 3 ва 4 тугунлари мувозанати кўриб чиқилади (9.23- расм). 3 тугун мувозанатидан:

$$\Sigma_x = 0; \quad N_{34} - Q_{23} = 0; \quad N_{13} = Q_{23} = 0,2065$$

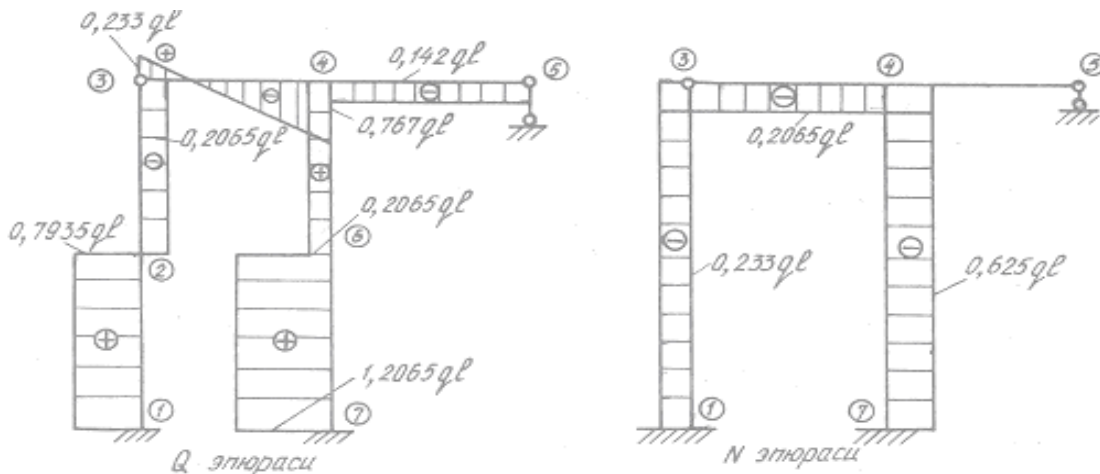
$$\Sigma_y = 0; \quad N_{13} - Q_{31}^p = 0; \quad N_{13} = Q_{31}^p = 0,233ql.$$

4 тугун мувозанатидан:

$$\Sigma_y = 0; \quad N_{74} - Q_4^p + Q_{45} = 0;$$

$$N_{74} = Q_4^p - Q_{45} = 0,767ql - 0,142ql = 0,625ql.$$

Топилган ординаталар бўйича кўндаланг ва бўйлама кучлар эпюраси қурилади (9.24- расм).



9.24- расм

10-БОБ

СТАТИК НОАНИҚ РАМАЛАРНИ ҲИСОБЛАШНИНГ ТАҚРИБИЙ УСУЛЛАРИ

10.1. Тақрибий усуллар ҳақида тушунча

Ҳисоблаш усулларини аниқ ва тақрибий усулларга бўлишнинг ўзи шартлидир. Негаки, «аниқ» усулларда ҳам айрим фаразларга. йўл қўйилади. Масалан, материални идеал эластик ва бир жинсли деб қаралади, бунда раманинг фазовой иши ҳамда таянчларининг қайишқоқлиги эътиборга олинмайди ва х.к. Тақрибий усулларда эса ҳисобни енгиллаштирадиган фараз ва соддалаштиришга кўпроқ ўрин берилади.

Статик ноаниқ рамаларни ҳисоблашда тақрибий усуллар кенг қўлланилади. Маълумки, қурилиш конструкцияларининг ҳисоби уларнинг кўндаланг кесимини дастлабки танловдан бошланади. Бу ишларни тез ва соз амалга оширишда муҳандисга тақрибий усуллар жуда қўл келади.

Тақрибий усулларнинг қўшимча фаразлари иншоотнинг ҳисоблаш схемасини янада соддалаштиришга, ички кучлар тақсимотига, берилган юкларни соддароқ юклар билан алмаштиришга ва шунинг сингари қатор амалларга асосланади.

Бу борада ҳисоблаш схемасини янада соддалаштириш асосий йўллардан бири ҳисобланади. Агар ҳисоблаш схемаси кўпол фаразларга асосланса, у ҳолда ҳисоб натижалари биринчи яқинлашув учун тугри деб қабул қилинади, танланган кесим эса дастлабки нусха сифатида қаралади, зарурат туғилса, кейинчалик аниқрок схема бўйича қайта ҳисобланади.

Масалан, рама ригелининг кўндаланг кесими ўлчамларини дастлабки танлашда уни оддий балка кўринишида олиш мумкин: бунда ригель моменти балка моменти M_o нинг 0,6—0,7 улушкини ташкил этади:

$$M = (0,6 — 0,7) M_o$$

Рама устунларининг кесимини танлашда ригеллар устунга шарнирли бириккан деб фараз этилади ва шу асосда устунга таъсир этувчи бўйлама

кучлар аниқланади. Буни ҳисобга олиб, ҳисобий қаршиликлар 20 — 50 фоизга камайтирилади.

Аниқроқ ҳисоблаш схемалари бўйича бажарилган ҳисоб дастлабки танланган кесимни ойдинлаштириш имконини беради. Баъзан қайта аниқланган кесим кейинги аниқ ҳисобларга асос қилиб олинади.

Амалий ишларда тақрибий усулларнинг аҳамияти бенихоя каттадир.

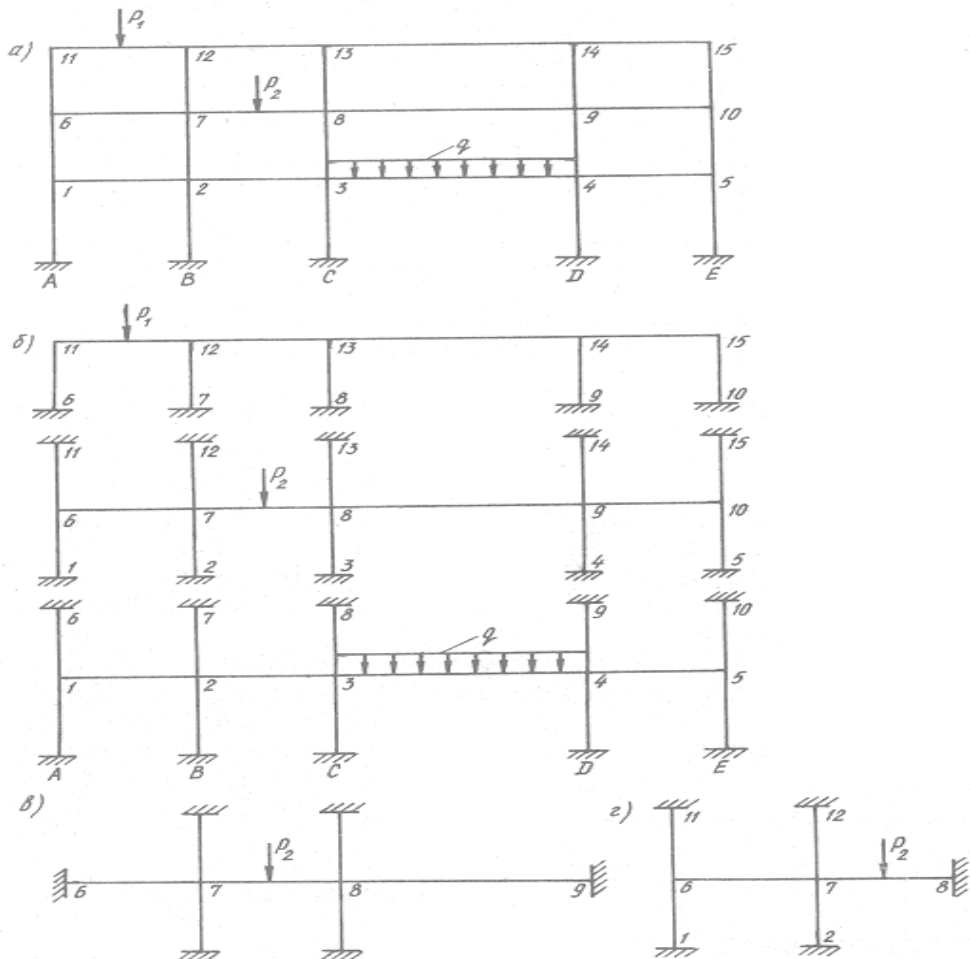
10.2. Рамаларни вертикал юклар таъсирига тақрибий ҳисоблаш

Аниқ ҳисобларнинг далолат беришича, бирор қаватнинг ригелига кўйилган юк бошқа қават ригелларида вужудга келадиган эгувчи моментларга айтарли таъсир этмайди. Бу ҳол 10.1- расм, *a* — да берилган рамани 10.1- расм, *b* — да кўрсатилган тарзда алоҳида рамаларга ажратиш имконини беради. Раманинг ҳар бир қисми мустақил рама сифатида кўрилади. Алоҳида эпюралар раманинг дастлабки схемасига устма-уст жойлаштирилади, сўнгра кўндаланг ва бўйлама кучлар ҳисобланади. Ҳисоб тақрибий бўлганлиги сабабли рама тугунлари тўлиқ мувозанатга эга бўлмайди.

Ҳисобни бундан ҳам соддалаштиrsa бўлади. Бунинг учун раманинг уч ригелдан иборат бўлган бўлаги ажратиб олинади (10.1- расм, *v*) ва мустақил равища ҳисобланади. Раманинг чекка қисми 10.1- расм, *z* — да кўрсатилган тарзда ажратилади.

Бинокорликда оралиқлари teng ҳамда бир хил юклangan кўп қаватли рамалар кўп учрайди. Бундай рамаларни вертикал юклар таъсирига ҳисоблаганде янада соддароқ схемалар танлаш мумкин. Масалан, 10.2- расм, *a* — да тасвиrlangan кўп қаватли кўп оралиқли рамалар ҳисоби, 10.2- расм, *b* — да кўрсатилганидек учта уч оралиқли рамалар ҳисобига келтирилиши мумкин, яъни берилган раманинг ички кучлари хақида тақрибий маълумотга эга булиш учун юқори, ўрта ва биринчи қават рамалари ҳисобланса кифоя. Рама устунчасининг баландлиги қават баландлигининг ярмига teng бўлиб,

учлари шарнирли деб қабул қилинади. Бунга сабаб шуки, горизонтал күчишлар йўқ деб фараз этилса, бир ўқ устида жойлашган тугунлар деярли бир хил бурчакка бурилади. Бинобарин, устунларнинг тугундаги моментлари ҳам ўзаро teng бўлади, натижада ноль нуқталар устуннинг ўрталарида ҳосил бўлади.

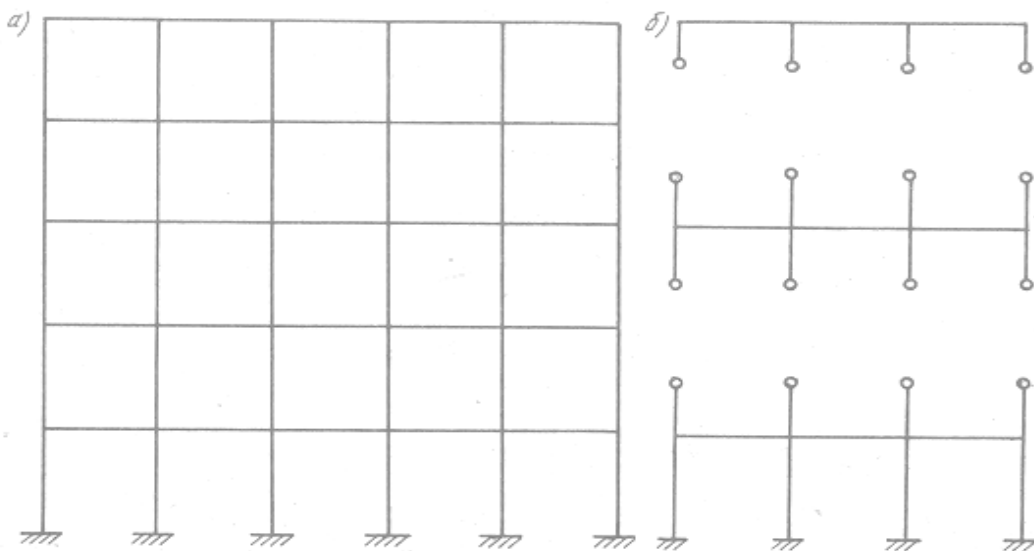


10.1- расм

10.3. Рамаларни горизонтал юклар таъсирига тақрибий ҳисоблаш

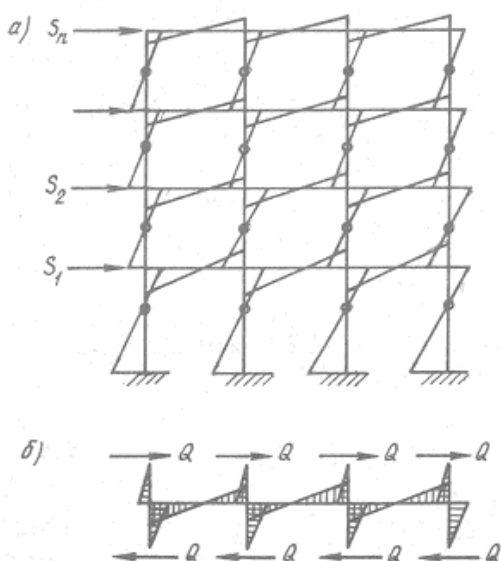
Рамаларни горизонтал юклар (шамол ва сейсмик кучлар) таъсирига тақрибий ҳисоблаганда, юклар йиғиқ куч сифатида тугунларга қўйилган деб қаралади. Аниқ ҳисобларнинг кўрсатишича, юклар тугунларга қўйилса, эгувчи моментларнинг ноль қийматлари устуннинг ўрта қисмида, биринчи қаватда эса устун баландлигининг тахминан учдан икки қисмида жойлашади

(10.3- расм, а). Шунга кўра, ноль нуқталарга шарнирлар киритиш воситасида раманинг статик ноаниқлик даражасини пасайтирса бўлади.



10.2- расм

Қават учун аниқланган умумий қўндаланг куч Q рама устунларига маълум тартибда тақсимланади. Ҳар бир устунга таъсир этувчи қўндаланг куч топилгач, эгувчи моментларни аниқлаш ва M эпюрасини қуриш учун рамадан бир бўлаги ажратиб олинади (10.3- расм, б). Устун учларига Q кучларини қўйиб, устун учун M эпюраси қурилади. Тугундаги мувозанатлашмаган момент ригелдаги момент билан мувозанатлаштирилади. M эпюраси асосида Q ва N эпюралари қурилади.



10.3- расм

Қаватлар қўндаланг кучлари қўйидаги тартибда аниқланади: биринчи қават учун

$$Q_1 = S_1 + S_2 + S_3 + \dots + S_n$$

иккинчи қават учун

$$Q_2 = S_2 + S_3 + \dots + S_n \quad (10.1)$$

Маълум қават чегарасида устунларнинг қўндаланг кесимлари бир хил бўлса, у ҳолда қўндаланг куч устунларга қўйидаги тартибда тақсимланади:

қаватнинг ўртадаги устунлари учун

$$Q_{o'r} = \frac{Q}{m - 2(1 - \beta)}; \quad (10.2)$$

қаватнинг четки устунлари учун

$$Q_{chet} = \beta Q_{o'r} \quad (10.3)$$

бу ерда m — битта қаватдаги устунлар сони;

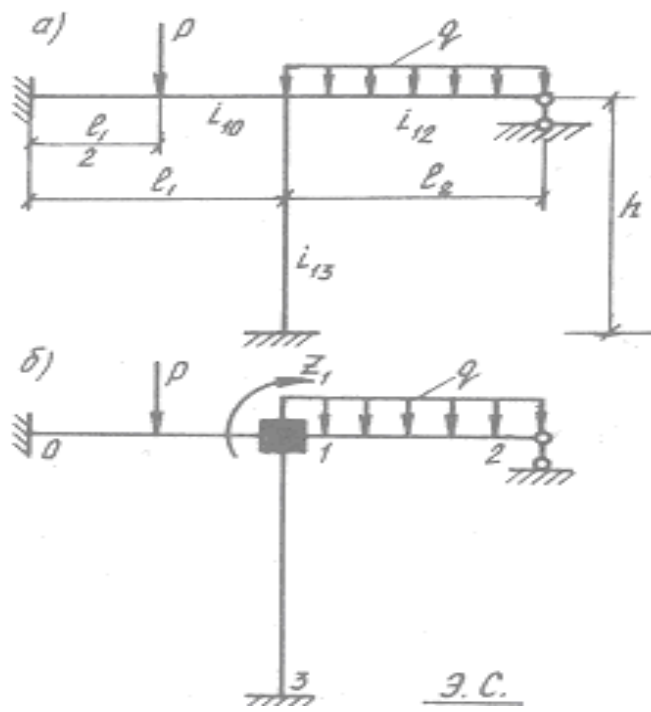
β — четки устунлар бикирлигини камайтириш коэффициенти; биринчи қават учун $\beta = 0,9$; қолган қаватлар учун $\beta = 0,54...0,79$.

10.4. Тугуларни мувозанатлаш усули

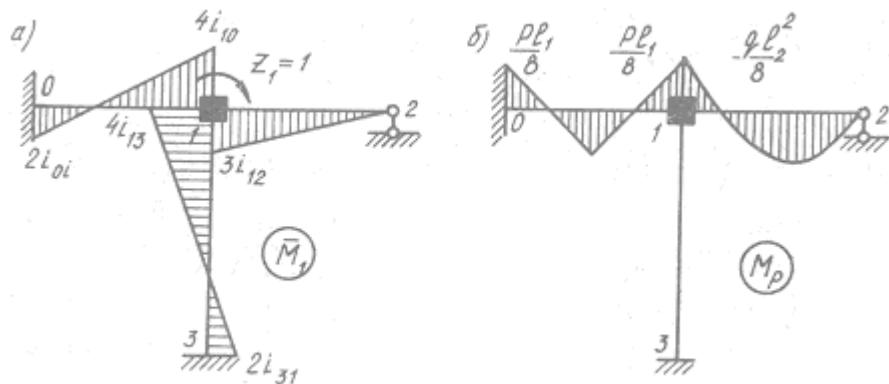
Мазкур усулнинг замирида кўчиш усули ётади. Бироқ бунда каноник тенгламалар тузилмай, оддий арифметик ҳисоблар амалга оширилади. Усул тақрибий бўлишига қарамай, ҳисоб ишлари керакли аниқликкача олиб борилиши мумкин. Мазкур усулни айрим муаллифлар моментларни тақсимлаш усули ёки кетма-кет яқинлаштириш усули деб атайдилар.

Тугуларни мувозанатлаш усули 1929 йилда Тошкентлик муҳандис Н. М. Бернадский томонидан ишлаб чиқилган. Шунга ўхшаш усулни 1930 йилда америка олимси Ҳарди Кросс ҳам таклиф этган.

Тугуларни мувозанатлаш усулида рамалар озод ва озодмас рамаларга ажратилади. Чизиқли кўчиш имкониятига эга бўлган рамалар озод, эга бўлмаганлари озодмас рамалар деб аталади.



10.4- расм



10.5- расм

Усулнинг моҳияти билан 10.4- расм, a — да тасвирланган озодмас рама мисолида танишиб ўтамиш. Берилган рамага эквивалент бўлган система кўчиш усулида 10.4- расм, b — да кўрсатилган. Кўчиш усулининг каноник тенгламаси эса қуидаги кўринишга эга:

$$Z_I r_{II} + R_{Ip} = 0 \quad (10.4)$$

Бу тенгламадан номаълум бурчакли кўчиш Z_I аниқланади:

$$Z_I = - R_{Ip} : r_{II} \quad (10.5)$$

Раманинг биринчи тугунида ҳосил бўладиган реактив моментлар r_{11} ва R_{Ip} бирлик кўчиш ва ташқи кучлардан ҳосил бўлган эгувчи момент эпюралари \bar{M}_1 ва M_p дан топилади (10.5-расм, а, б):

$$r_{11} = 4 \left(i_{10} + i_{13} + \frac{3}{4} i_{12} \right); \quad i_{12}^1 = \frac{3}{4} i_{12} \quad \text{деб олсак}; \\ r_{11} = 4(i_{10} + i_{13} + i'_{12}); \quad (10.6)$$

$$R_{Ip} = \frac{pl}{8} - \frac{pl_2^3}{8} \quad \text{бўлади}. \quad (10.7)$$

Бу ерда R_{Ip} раманинг биринчи тугунига киритилган қўшимча боғланишдаги мувозанатлашмаган момент бўлиб, уни M_1^{hyp} деб белгилаймиз, яъни $R_{Ip} = M_1^{hyp}$ («неур» — неуровновешанный — мувозанатлашмаган сўзидан олинган). Буни инобатга олсак, (10.5) ифода қуйидаги кўринишни олади:

$$Z_1 = -\frac{M_1^{hyp}}{r_{11}} \quad (10.8)$$

Бурчакли кўчиш Z_1 аниқлангач, қуйидаги формуладан фойдаланиб, стержень учларидаги моментлар аниқланади:

$$M_{ki} = M_{ki}^p + \bar{M}_{ki} Z_1 \quad (10.9)$$

Раманинг 0 — 1 стерженини чап учидағи момент

$$M_{01} = -\frac{Pl_1}{8} + 2i_{01} \left(-\frac{M_1^{hyp}}{r_{11}} \right) = \frac{pl_1}{8} - \frac{2i_{10} \cdot M_1^{hyp}}{4(i_1 + i_{13} + i_{12})} = \frac{pl_1}{8} - \frac{1}{2} K_{01} \cdot M_1^{hyp}$$

бўлади. Шу стерженнинг ўнг учидағи момент қуйидагича ифодаланади:

$$M_{10} = \frac{Pl_1}{8} + 4i_{10} \left(-\frac{M_1^{hyp}}{r_{11}} \right) = \frac{pl_1}{8} - \frac{4i_{10} \cdot M_1^{hyp}}{4(i_{10} + i_{13} + i_{12})} = \frac{pl_1}{8} K_{10} \cdot M_1^{hyp}$$

Бу ерда қуйидаги белгилаш қабул қилинган:

$$K_a = K_{10} = \frac{i_{10}}{(i_1 + i_{13} + i_{12})}$$

ва унга тақсимлаш коэффициенти деб ном берилган. Тақсимлаш коэффициенти умумий күринишида

$$K_{ki} = \frac{i_{ki}}{\sum_{i=1}^n i_{ki}} \quad (10.10)$$

тарзida ифодаланади.

Қолған стерженлардаги моментлар ҳам шу тариқа аниқланади:

$$M_{12} = -\frac{ql_2^2}{8} - K_{12} - M_1^{hyp} ;$$

$$M_{13} = 0 - K_{13} \cdot M_1^{hyp} ;$$

$$M_{31} = 0 - \frac{1}{2} K_{13} \cdot M_1^{hyp} ; \quad M_{21} = 0 .$$

Бир тугунда учрашувчи стерженларнинг тақсимлаш коэффициентлари йиғиндиси бирга тенг бўлади.

$$K_{10} + K_{12} + K_{13} = 1 . \quad (10.11)$$

Биринчи тугуннинг мувозанатини текширамиз. Бунинг учун шу тугундаги моментлар йиғиндисини ёзамиш:

$$M_{10} + M_{12} + M_{13} = \left(\frac{Pl_1}{8} - K_{01} M_1^{hyp} \right) + \left(-\frac{ql_2^2}{8} - K_{01} M_1^{hyp} \right) + \left(-K_{13} M_1^{hyp} \right) .$$

Қавсларни очиб, гурухлаймиз

$$M_{10} + M_{12} + M_{13} = \left(\frac{Pl_1}{8} - \frac{ql_2^2}{8} \right) - (K_{10} + K_{12} + K_{13}) M_1^{hyp} . \quad (10.12)$$

Биринчи қавсдаги ифода M_1^{hyp} га, иккинчи қавс эса бирга тенг эканлигини ҳисобга олсак, тугуннинг мувозанатини белгиловчи тенгламага эга бўламиш:

$$M_{10} + M_{12} + M_{13} = 0 . \quad (10.13)$$

(10.12) тенгламадаги биринчи қавснинг ўрнига M_1^{hyp} ни қўйиб иккинчи қавсни очиб ёзамиш:

$$M_{10} + M_{12} + M_{13} = M_1^{hyp} + (-K_{12} M_1^{hyp}) = M_1^{hyp} + M_{10}^{yp} + M_{12}^{yp} + M_{13}^{yp} = 0 .$$

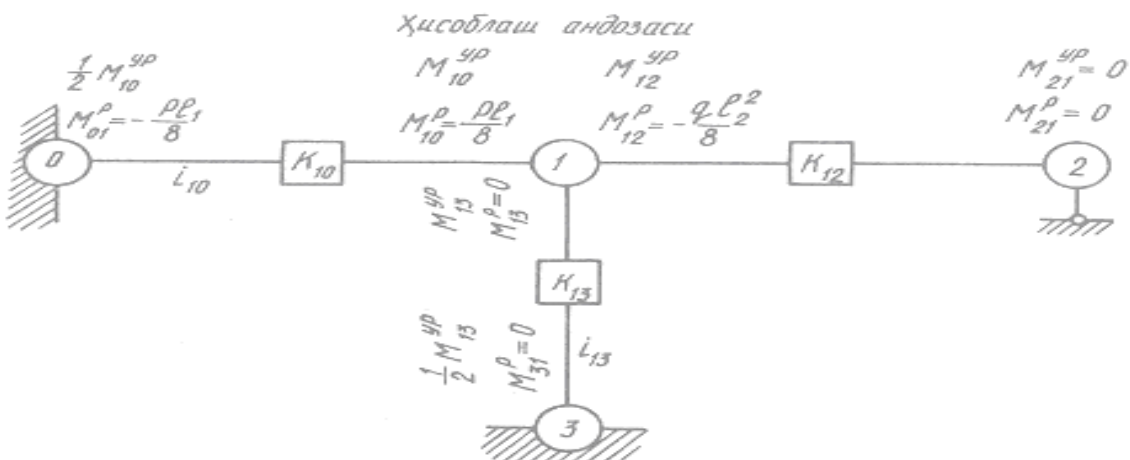
Бу ерда қўйидаги белгилаш қабул қилинди:

$$M_{ki}^{yp} = -K_{ki} \cdot M_1^{hyp} \quad (10.14)$$

$M_{ki}^{yp} - ki$ стерженнинг «К» учидағи мувозанатлашган момент («ур» — уровновешанный сўзидан олинган).

(10.14) формуланинг маъноси: бикир тугунга киритилган қўшимча боғланиш олиб танланса, яъни тугун бўшатилса, у Z_1 бурчакка бурилади. Натижада тугундаги мувозанатлашмаган момент M_1^{hyp} шу тугунга келиб туташган стерженларга уларнинг тақсимлаш коэффициентларига пропорционал равишда тақсимланиб кетади. Манфий ишора мувозанатлашган момент билан мувозанатлашмаган моментнинг йўналиши қарама-қарши эканлигини билдиради.

(10.14) формула ёрдамида топилган мувозанатлашган моментларнинг қийматини берилган рама шаклида чизилган ҳисоблаш андозасига жойлаштирамиз (10.6- расм). Ҳар қайси стержен учидағи натижавий моментнинг қиймати ҳисоблаш андозасига ёзилган тегишли моментларнинг йиғиндинсига тенг бўлади.

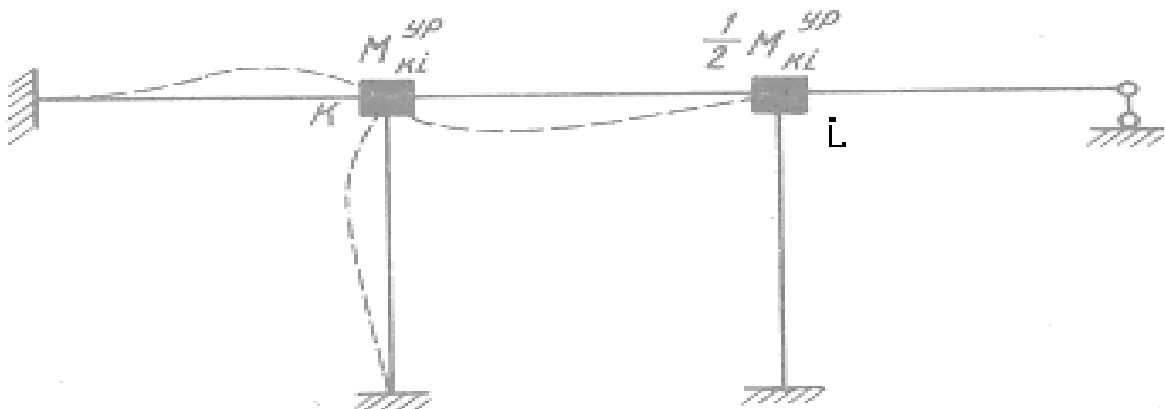


10.6- расм

Мазкур мисолда бикир тугуни битта бўлган рама, яъни бир номаълумли рама кўриб ўтилди. Бунда тугундаги мувозанатлашмаган момент стерженларга тўла тўкис ва қолдиқсиз тақсимланиб кетди. Шу сабабли ҳисоб аниқ бўлди. Агар бикир тугунлар сони бирдан ортиқ бўлса, у ҳолда ечим тақрибий бўлади.

Раманинг бикир тугуни бирдан ортиқ бўлган ҳол

Юқорида раманинг бикир тугуни битта бўлган ҳолни кўриб ўтдик. Бунда тугундаги мувозанатлашмаган моментнинг тўла ва аниқ тақсимланганинг гувоҳи бўлдик. Агар раманинг бикир тугунлари иккита ва ундан ортиқ бўлса, у ҳолда вазият бироз бошқача бўлади.



10.7- расм

Мисол тариқасида бикир тугуни иккита бўлган статик ноаниқ рамани (10.7- расм) кўриб ўтайлик. Раманинг «*K*» ва «*i*» тугунлари қўшимча боғланиш билан маҳкамланган. Ҳисобни исталган тугундан бошлаш мумкин. Раманинг «*K*» тугунидаги мувозанатлашмаган момент M_k^{hyp} ни аниқладик, дейлик. Энди «*K*» тугунини бўшатамиз. Бунда тугундаги мувозанатлашмаган момент M_k^{hyp} шу тугунга туташган стерженларга тақсимланиб кетади. Тақсимот натижасида *k* - *i* стерженининг «*K*» учига M_{ki}^{yp} моменти тегади, «*i*» учига эса шу моментнинг ярми, яъни $1/2 M_{ki}^{yp}$ тегади. Шу билан битта жараён тугайди. Шундан кейин «*K*» тугунини қайта маҳкамлаб, «*i*» тугунини бўшатамиз. Бунда стерженнинг «*i*» учига M_k^{yp} моменти, «*K*» учига эса шунинг ярми, яъни $1/2 M_k^{yp}$ тегади. Шу йўсинда «*K*» тугунига бошқа қарамакарши тугунлардан ҳам (агар мавжуд бўлса) яримталик моментлар келиб қўшилади, натижада «*K*», тугуниниң дастлабки мувозанати бузилади. Бироқ энди бу сафар «*K*» тугунидаги мувозанатлашмаган моментнинг қиймати аввалгисидан кичикроқ бўлади. Ҳисобнинг навбатдаги жараёнида бу моментни яна қайта тақсимлаймиз. Қайта тақсимлаш амали бир неча марта

такрорланганда, тугундаги мувозанатлашмаган моментнинг қиймати тобора нолга яқинлашиб боради. Қайта тақсимлаш амали тугагач, стержень учидаги моментлар йиғиндиси топилади. Ана шу йиғинди момент натижавий момент ҳисобланади.

Тугунларни барин-кетин мувозанатлаш усулининг моҳияти ана шундан иборат.

11 – БОБ

ҚУРИЛИШ МЕХАНИКАСИ МАСАЛАЛАРИГА МАТРИЦАЛАР НАЗАРИЯСИНИНГ ТАДБИҚИ

Матрицалар ҳақида тушунча

Тўғри бурчакли жадвал кўринишида жойлаштирилган сонлар системаси *матрица* деб аталади ва A ҳарфи билан белгиланиб қўйидаги тартибда ёзилади:

$$A = \begin{vmatrix} a_{11} & a_{12} & a_{13} & \dots & a_{1n} \\ a_{21} & a_{22} & a_{23} & \dots & a_{2n} \\ a_{31} & a_{32} & a_{33} & \dots & a_{3n} \\ \dots & \dots & \dots & \dots & \dots \\ \dots & \dots & \dots & \dots & \dots \\ a_{m1} & a_{m2} & a_{m3} & \dots & a_{mn} \end{vmatrix}$$

Матрицани ташкил этувчи a_{ik} сонлари унинг элементлари деб аталади. Матрица элементларининг горизонтал қаторлари *сатрлар*, вертикал қаторлари *устунлар* деб аталади. Юқорида жадвал кўринишида ифодаланган A матрицаси m та сатр ва n та устундан иборат. Демак m ва n микдорлар матрицанинг тартибини ифода этади. Агар матрица сатрлари сони m , устунлар сони n га teng бўлса ($m=n$), A матрица n – тартибли *квадрат матрица* дейилади.

Квадрат матрицада бош диагонал бўйлаб жойлашган $a_{11}, a_{22}, \dots, a_{nn}$ элементлар бош элементлар деб, бошқа элементлари ёрдамчи элементлар деб аталади.

Агар A матрицанинг устунлари сони $n=1$ бўлса, у қўйидаги кўринишда ёзилади:

$$A = \begin{vmatrix} a_1 \\ a_2 \\ \vdots \\ a_m \end{vmatrix}$$

ҳамда бир устунли матрица ёки *вектор – устун* дейилади.

Агар матрица фақат бир сатрдан ($m=1$) иборат бўлса, у қўйидаги кўринишда ёзилади ва бир сатрли матрица ёки *вектор – сатр* дейилади:

$$A = [a_1 \ a_2 \ \dots \ a_n].$$

Агар матрицанинг ҳамма элементлари нолдан иборат бўлса, *ноль матрица* дейилади.

Агар матрицанинг бош диагоналидаги элементлари нолдан фарқ қилиб, бошқа ёрдамчи элементлари нолга тенг бўлса, бундай матрица *диагонал матрица* дейилади ва қўйидагича ёзилади:

$$A = \begin{vmatrix} a_{11} & 0 & 0 & \dots & 0 \\ 0 & a_{22} & 0 & \dots & 0 \\ 0 & 0 & a_{33} & \dots & 0 \\ \dots & \dots & \dots & \dots & \dots \\ 0 & 0 & 0 & \dots & a_{nn} \end{vmatrix}.$$

Агар диагонал матрицада диагонал элементлар бирга тенг бўлса, у бирлик матрица деб аталади ва E ҳарфи билан белгиланади:

$$E = \begin{vmatrix} 1 & 0 & 0 & \dots & 0 \\ 0 & 1 & 0 & \dots & 0 \\ 0 & 0 & 1 & \dots & 0 \\ \dots & \dots & \dots & \dots & \dots \\ 0 & 0 & 0 & \dots & 1 \end{vmatrix}.$$

Агар бош диагоналга нисбатан симметрик жойлашган ёрдамчи элементлар ўзаро тенг бўлса, бундай матрица *симметрик матрица* дейилади.

Сатр ва устунлари сони бир хил бўлган матрицалар номдош матрицалар дейилади. Агар иккита номдош A ва B матрицаларнинг симметрик жойлашган ҳар бир элементи ўзаро тенг бўлса, яъни

$$A = \begin{vmatrix} a_{11} & a_{12} & \cdots & a_{1n} \\ a_{21} & a_{22} & \cdots & a_{2n} \\ \cdots & \cdots & \cdots & \cdots \\ a_{m1} & a_{m2} & \cdots & a_{mn} \end{vmatrix} = \begin{vmatrix} b_{11} & b_{12} & \cdots & b_{1n} \\ b_{21} & b_{22} & \cdots & b_{2n} \\ \cdots & \cdots & \cdots & \cdots \\ b_{m1} & b_{m2} & \cdots & b_{mn} \end{vmatrix} = B,$$

у ҳолда бу матрицалар *тенгдоши матрицалар* деб аталади.

Агар A матрицанинг сатрларини устунга, устунларини эса сатрга айлантириб ёзсан, у ҳолда A матрицага нисбатан транспониранган матрица ҳосил бўлади ва A^T деб белгиланади:

$$A = \begin{vmatrix} a_{11} & a_{12} & a_{13} \\ a_{21} & a_{22} & a_{23} \\ a_{31} & a_{32} & a_{33} \end{vmatrix}; \quad A^T = \begin{vmatrix} a_{11} & a_{21} & a_{31} \\ a_{12} & a_{22} & a_{32} \\ a_{13} & a_{23} & a_{33} \end{vmatrix}.$$

Сатр матрица устун матрица A нинг транспониранган кўринишида бўлади:

$$A^T = [a_1 \ a_2 \ \dots \ a_m].$$

Юқори тартибли тенгламаларни ЭҲМ да ечишни осонлаштириш мақсадида блоксимон ва квази матрицалардан фойдаланилади. Блоксимон матрица ҳосил қилиш учун A матрицасида горизонтал ва вертикал пунктир чизиқлар ўтказиб, уни бир неча блокларга ажратамиз:

$$A = \begin{array}{c|cc|cc|cc} a_{11} & a_{12} & a_{13} & a_{14} & a_{15} & a_{16} \\ \hline a_{21} & a_{22} & a_{23} & a_{24} & a_{25} & a_{26} \\ \hline a_{31} & a_{32} & a_{33} & a_{34} & a_{35} & a_{27} \\ \hline \cdots & \cdots & \cdots & \cdots & \cdots & \cdots \\ \hline a_{61} & a_{62} & a_{63} & a_{64} & a_{65} & a_{66} \end{array}$$

Ажратилган блокларни мустақил матрицалар күренишида алоҳида кўчириб ёзамиш ва A_{11}, A_{12}, \dots ҳарфлари билан белгилаймиз:

$$A_{11} = \begin{vmatrix} a_{11} & a_{12} & a_{13} \\ a_{21} & a_{22} & a_{23} \end{vmatrix} \quad A_{12} = \begin{vmatrix} a_{14} \\ a_{24} \end{vmatrix} \quad A_{13} = \begin{vmatrix} a_{15} & a_{16} \\ a_{25} & a_{26} \end{vmatrix}$$

$$A_{21} = \begin{vmatrix} a_{31} & a_{32} & a_{33} \\ a_{41} & a_{42} & a_{43} \\ a_{51} & a_{52} & a_{53} \\ a_{61} & a_{62} & a_{63} \end{vmatrix} \quad A_{22} = \begin{vmatrix} a_{34} \\ a_{44} \\ a_{54} \\ a_{64} \end{vmatrix} \quad A_{23} = \begin{vmatrix} a_{35} & a_{36} \\ a_{45} & a_{46} \\ a_{55} & a_{56} \\ a_{65} & a_{66} \end{vmatrix}$$

У ҳолда A матрицанинг элементларини қуидаги матрица күренишида ифодалаш мумкин:

$$A = \begin{vmatrix} A_{11} & A_{12} & A_{13} \\ A_{21} & A_{22} & A_{23} \end{vmatrix}$$

Бундай матрица *блоксимон матрица* деб аталади.

Агар блоксимон матрицанинг ёрдамчи элементлари ноль бўлса, бундай матрицалар *квазидиагонал*:

$$A = \begin{vmatrix} A_{11} & & & & \\ & A_{12} & & & \\ & & A_{13} & & \\ & & & \ddots & \\ & & & & A_{1n} \end{vmatrix}$$

баъзилари ноль бўлса,

$$A = \begin{vmatrix} A_{11} & A_{12} & & & & \\ A_{21} & A_{22} & & & & \\ & A_{32} & A_{33} & A_{34} & & \\ & & \ddots & \ddots & & \\ & & & & & A_{nn} \end{vmatrix}$$

квазилентасимон матрица деб юритилади.

11.2. Матрица амаллари

Матрицаларни қўшиши ва айриши.

A ва B матрицаларни қўшиш ёки айриш амалларини фақат уларнинг тартиблари бир хил, яъни сатр ва устунлари сони тенг бўлгандагина бажариш мумкин. Бунда натижавий янги C матрицаси қўшилувчи ёки айрилевчи матрицалар билан номдош бўлади:

$$C = A \pm B = \begin{vmatrix} a_{11} & a_{12} & \cdots & a_{1n} \\ a_{21} & a_{22} & \cdots & a_{2n} \\ \cdots & \cdots & \cdots & \cdots \\ a_{n1} & a_{n2} & \cdots & a_{nn} \end{vmatrix} \pm \begin{vmatrix} b_{11} & b_{12} & \cdots & b_{1n} \\ b_{21} & b_{22} & \cdots & b_{2n} \\ \cdots & \cdots & \cdots & \cdots \\ b_{n1} & b_{n2} & \cdots & b_{nn} \end{vmatrix} = \begin{vmatrix} c_{11} & c_{12} & \cdots & c_{1n} \\ c_{21} & c_{22} & \cdots & c_{2n} \\ \cdots & \cdots & \cdots & \cdots \\ c_{n1} & c_{n2} & \cdots & c_{nn} \end{vmatrix}$$

Бу ерда $c_{ij} = a_{ij} \pm b_{ij}; \quad i=1, \dots, n; \quad j=1, \dots, m$

Матрицаларни қўшиш ва айириш амалларида қўйидаги алгебраик қоидалар ўз кучига эга:

$$A + B = B + A; \quad (A + B) + C = A + (B + C); \quad A + 0 = A.$$

Матрицаларни кўпайтириши.

A матрицасини B матрицасига кўпайтириш учун A матрицасининг устунлар сони B матрицасининг сатрлар сонига тенг бўлиши шарт. Буларнинг кўпайтмасидан ҳосил бўлган $C=A \cdot B$ матрица элементлари қўйидаги кўпайтмалар йиғиндисига тенгdir:

$$C_y = a_{i1}b_{1j} + a_{i2}b_{2j} + \dots + a_{ip}b_{pj} = \sum_{k=1}^P a_{ik}b_{kj}$$

Яна шунга эътибор бериш керакки, А ва В матрицалар ўзаро мос бўлгандангина, яъни уларнинг тартиблари бир хил бўлгандагина кўпайтириш мумкин.

Масалан:

$$A = \begin{vmatrix} a_{11} & a_{12} & a_{13} \\ a_{21} & a_{22} & a_{23} \\ a_{31} & a_{32} & a_{33} \end{vmatrix} \quad \text{ва} \quad B = \begin{vmatrix} b_{11} & b_{12} & b_{13} \\ b_{21} & b_{22} & b_{23} \end{vmatrix}$$

$$C = A \cdot B = \begin{vmatrix} C_{11} & C_{12} \\ C_{21} & C_{22} \\ C_{31} & C_{32} \end{vmatrix} \quad \text{бўлади,}$$

бу ерда $C_{11} = a_{11}b_{11} + a_{12}b_{21} + a_{13}b_{31}$ ва ҳоказо.

Агарда А ва В матрицаларининг тегишли тартиблари тенг бўлмаса, уларни кўпайтириб бўлмайди ва бундай матрицалар мос бўлмаган матрицалар дейилади.

Масалан, юқоридаги В ва А матрицалар ўзаро мос эмас, шунинг учун уларни $B \cdot A$ тарзида кўпайтириб бўлмайди. Чунки матрицаларни кўпайтиришда коммуникативлик (ўрин алмаштириш) қоидалари ишламайди, яъни $A \cdot B \neq B \cdot A$. Бу тенгсизлик икки матрица квадрат ва тенг тартибли (мос матрицалар) бўлганда ҳам сақланади.

A матрицасини α миқдорга кўпайтириш қўйидагича бажарилади:

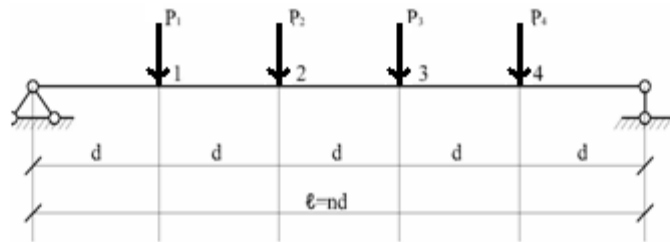
$$C = \alpha A = \alpha \begin{vmatrix} a_{11} & a_{12} & \cdots & a_{1n} \\ a_{21} & a_{22} & \cdots & a_{2n} \\ \cdots & \cdots & \cdots & \cdots \\ a_{n1} & a_{n2} & \cdots & a_{nn} \end{vmatrix} = \begin{vmatrix} \alpha a_{11} & \alpha a_{12} & \cdots & \alpha a_{1n} \\ \alpha a_{21} & \alpha a_{22} & \cdots & \alpha a_{2n} \\ \alpha a_{n1} & \alpha a_{n2} & \cdots & \alpha a_{nn} \end{vmatrix}$$

Умуман матрицаларни кўпайтиришда қўйидаги алгебраик боғланишлар амал қиласди:

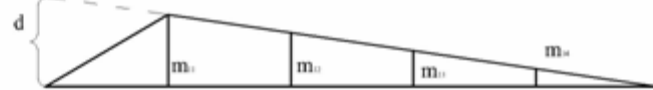
$$\begin{aligned} (\alpha + \beta)A &= \alpha A + \beta A; & \alpha(AB) &= (\alpha A)B = (\alpha B)A; \\ \alpha(A + B) &= \alpha A + \alpha B; & (A + B)C &= AC + BC; \\ (\alpha\beta)A &= \alpha(\beta A) = \beta(\alpha A); & C(A + B) &= CA + CB; \\ (AB)C &= A(BC); & AE &= A. \end{aligned}$$

11.3. Статик аниқ балкаларни матрицалар ёрдамида хисоблаш

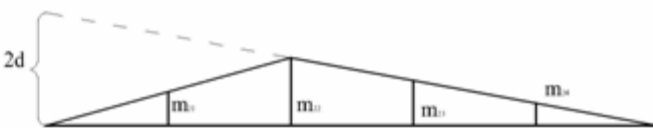
11.1 – расм, a да берилган статик аниқ балканинг 1, 2, 3 ва 4 – кесимларидағи эгувчи моментлар ва қўндаланг кучларни матрица усулида аниқлаш талаб этилади, дейлик.



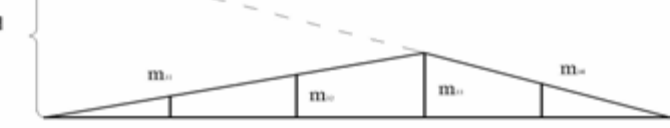
б)

 $M_1 T.4.$

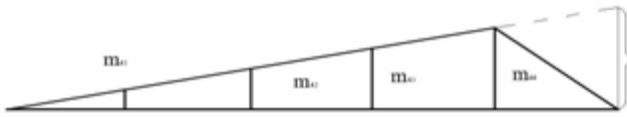
в)

 $M_2 T.4.$

г)

 $M_3 T.4.$

д)

 $M_4 T.4.$

11.1 – расм

Балканинг түртта 1, 2, 3 ва 4 кесими учун эгувчи моментларнинг таъсир чизиқларини чизамиз (11.1 – расм, б, в, г, д). Таъсир чизиқларида тегишли кесимлар остидаги ординаталарни m_{ik} деб белгилаймиз, бинобарин, m_{ik} k кесимиға қўйилган бирлик қуч $P=1$ дан i кесимида ҳосил бўладиган эгувчи моментдир. m_{ik} нинг қийматларини таъсир чизиқларидан ёки бирлик кучлардан қурилган эгувчи моментлар эпюрасидан топса бўлади.

Агар 1, 2, 3, 4 нуқталарга $P_1; P_2; P_3; P_4$ кучлар қўйилган бўлса, тегишли кесимлардаги эгувчи моментлар қуйидаги тенгламалардан аниқланади:

$$M_1 = P_1 m_{11} + P_2 m_{12} + P_3 m_{13} + P_4 m_{14};$$

$$M_2 = P_1 m_{21} + P_2 m_{22} + P_3 m_{23} + P_4 m_{24};$$

$$M_3 = P_1 m_{31} + P_2 m_{32} + P_3 m_{33} + P_4 m_{34};$$

$$M_4 = P_1 m_{41} + P_2 m_{42} + P_3 m_{43} + P_4 m_{44}.$$

бу тенгламаларнинг матрица шакли қуйидаги кўринишга эга:

$$\vec{M} = L_m \cdot \vec{P}. \quad (a)$$

Бу ерда \vec{M} – эгувчи моментларнинг матрица – устуни (вектор);

\vec{P} – таъсир этувчи кучларнинг матрица – устуни (вектор);

L_m – эгувчи моментларнинг таъсир матрицаси, m_{ik} миқдорларнинг

матрицаси.

(a) формула тўлиқ шаклда қуйидагида ифодаланади:

$$\begin{vmatrix} M_1 \\ M_2 \\ M_3 \\ M_4 \end{vmatrix} = \begin{vmatrix} m_{11} & m_{12} & m_{13} & m_{14} \\ m_{21} & m_{22} & m_{23} & m_{24} \\ m_{31} & m_{32} & m_{33} & m_{34} \\ m_{41} & m_{42} & m_{43} & m_{44} \end{vmatrix} \cdot \begin{vmatrix} P_1 \\ P_2 \\ P_3 \\ P_4 \end{vmatrix}. \quad (b)$$

Агар балка тенг бўлакларга бўлинса, таъсир матрицаси L_m нинг элементлари қуйидаги формулалардан топилиши мумкин:

$$m_{ik} = \frac{d}{n} i(n-k) \quad i \leq k \quad \text{бўлганда};$$

$$m_{ik} = \frac{d}{n} k(n-i) \quad i \geq k \quad \text{бўлганда}.$$

Биз кўраётган балка учун:

$$L_m = \begin{vmatrix} \frac{4d}{n} & \frac{3d}{n} & \frac{2d}{n} & \frac{d}{n} \\ \frac{3d}{n} & \frac{6d}{n} & \frac{4d}{n} & \frac{2d}{n} \\ \frac{n}{2d} & \frac{n}{4d} & \frac{n}{6d} & \frac{n}{3d} \\ \frac{d}{n} & \frac{2d}{n} & \frac{3d}{n} & \frac{4d}{n} \end{vmatrix} = \frac{d}{n} \begin{vmatrix} 4 & 3 & 2 & 1 \\ 3 & 6 & 4 & 2 \\ 2 & 4 & 6 & 3 \\ 1 & 2 & 3 & 4 \end{vmatrix}. \quad (c)$$

Моментлар таъсир матрицаси (c)нинг таҳлили қуйидаги хulosаларга олиб келади:

а) моментлар таъсир матрицаси $(\frac{d}{n})$ кўпайтувчига эга.

Бу ерда: d – кесимлар оралиғи, n – кесимлар сони;

б) таъсир матрицасининг биринчи сатри (қатори) ва биринчи устуни сонлар қатори $(n-1), (n-2), (n-3) \dots, 1$ дан, масалан, 4, 3, 2, 1 сонлардан ташкил топади;

в) охирги сатр ва охирги устун ҳам ўша сонлардан, бирок тескари тартибда, ташкил топади;

г) бош диагоналдан қуида (ёки ўзида) жойлашган элементни аниқлаш учун, керакли сатрнинг биринчи элементини тегишли устуннинг охирги элементига кўпайтириш зарур, яъни

$$a_{ik} = a_{i1} \cdot a_{(n-1)k};$$

д) бош диагоналдан юқорида (ёки ўзида) жойлашган элементни аниқлаш учун, керакли устуннинг биринчи элементини тегишли сатрнинг охирги элементига кўпайтириш зарур, яъни

$$a_{ik} = a_{1k} \cdot a_{i(n-1)},$$

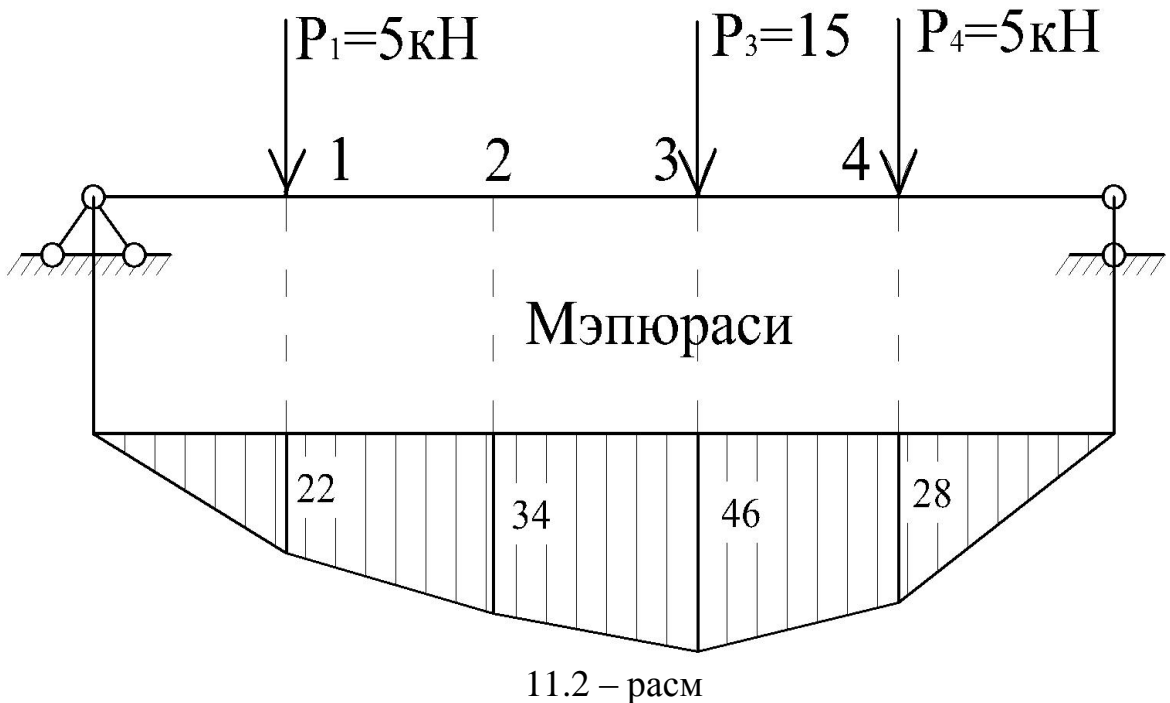
ёки матрицанинг симметриклигидан фойдаланилади. Баён этилган қоидаларни схема кўринишида тасвирлаш мумкин:

	$n-1$	$n-2$	$n-3$	$n-4$	3	1
	$n-2$				$3 \cdot 2$	2
	$n-3$	----- \rightarrow	$(n-3) \cdot 3$	----- \leftarrow	-----	3
$L_m = \frac{d}{n}$	$n-4$	$(n-4) \cdot 2$	\uparrow			4
	\vdots	\uparrow	\uparrow			\vdots
	4	\uparrow	\uparrow			$n-4$
	3	\uparrow	\uparrow			$n-3$
	2	----- \uparrow -----	----- \uparrow -----	----- \rightarrow	$2 \cdot (n-3)$	$n-2$
	1	2	3	4	$n-3(n-2)$	$n-1$

Мисол. 11.2 – расмда берилган балканинг M эпюраси моментларнинг таъсир матрицалари орқали қурилсин. Балкага $P_1 = P_4 = 5\kappa H$; $P_2 = 0$; $P_3 = 15\kappa H$ күчлар қўйилган. $d=2m$, $n=5$.

$$\vec{M} = L_m \cdot \vec{P} = \frac{2}{3} \begin{vmatrix} 4 & 3 & 2 & 1 \\ 3 & 6 & 4 & 2 \\ 2 & 4 & 6 & 3 \\ 1 & 2 & 3 & 4 \end{vmatrix} \cdot \begin{vmatrix} 5 \\ 0 \\ 15 \\ 5 \end{vmatrix} = \frac{2}{3} \begin{vmatrix} 55 \\ 85 \\ 115 \\ 70 \end{vmatrix} = \begin{vmatrix} 22 \\ 34 \\ 46 \\ 28 \end{vmatrix}$$

Шундай қилиб, 1,2,3,4 кесимларда вужудга келадиган эгувчи моментлар $M_1=22\text{кН}\cdot\text{м}$; $M_2=34\text{кН}\cdot\text{м}$; $M_3=46\text{кН}\cdot\text{м}$; $M_4=28\text{кН}\cdot\text{м}$ аниқланди. Балканинг M эпюраси 11.2 – расмда тасвиirlанган.



11.4. Статик аниқ фермаларни матрицалар ёрдамида ҳисоблаш

Ихтиёрий n – та стержен ва q – та тугундан ташкил топган статик аниқ ясси ферма берилган бўлсин. Ферманинг юқори ёки пастки тасмасидаги тугунларга ташқи кучлар P_i қўйилган дейлик. Шу кучлар таъсирида ферма стерженларида вужудга келадиган зўриқишиларни аниқлаш талаб этилади. Мазкур дарсликнинг 4 – бобида шу масалани аналитик усулда ечишни ўрганган эдик. Энди шу масалани матрица усулида ечишни ўрганамиз.

Ферма стерженларидаги зўриқишиларни матрица усулида аниқлашда куйидаги формуладан фойдаланамиз:

$$\vec{N} = L_N \cdot \vec{P},$$

бу ерда: \vec{N} – ферма элементларида изланаётган зўриқишилардан тузилган бир устунли матрица – вектор;

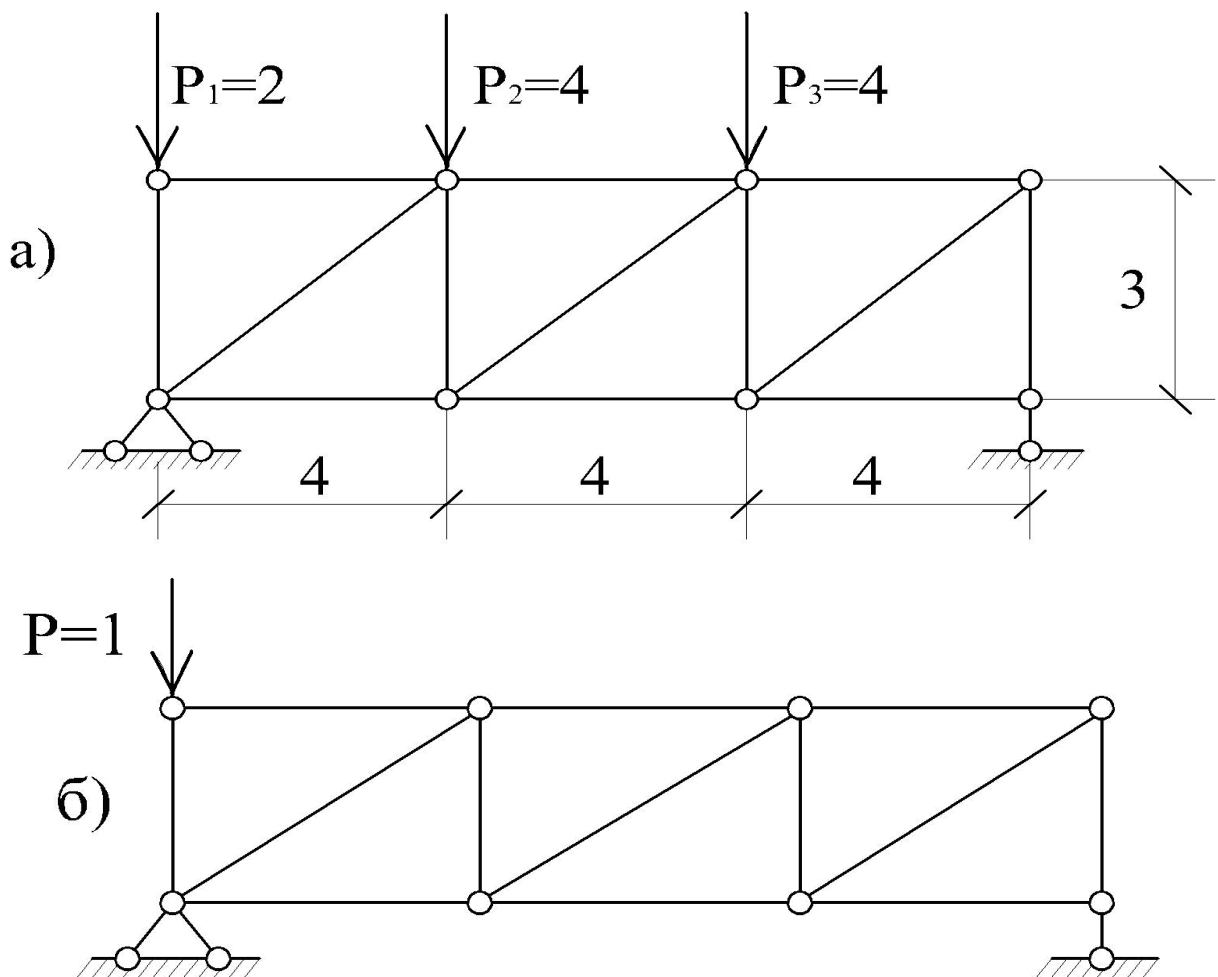
L_N – бирлик зўриқишиларнинг таъсир матрицаси;

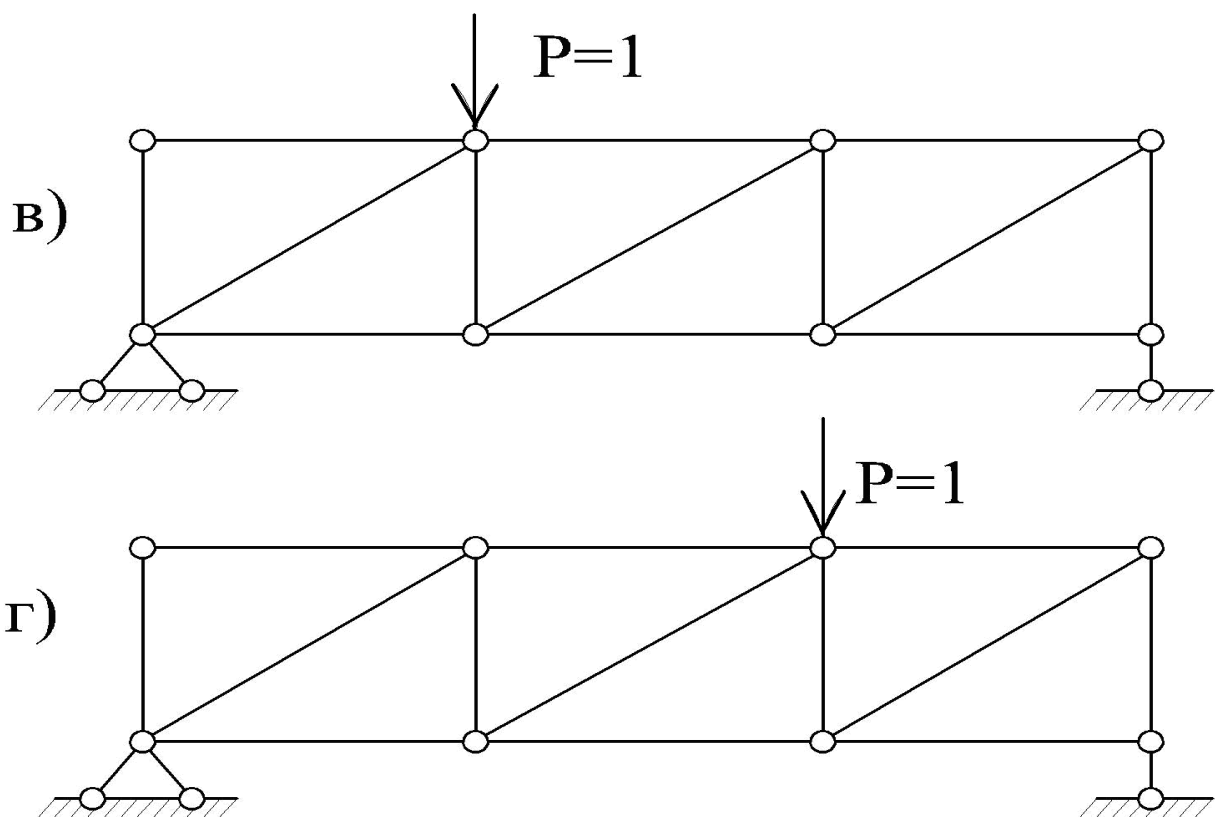
\vec{P} – ферма түгунларига қўйилган ташқи кучлар матрица устуни;

Бирлик зўриқишларнинг таъсир матрицасини тузиш учун ферманинг ташқи юк қўйилган түгунларига навбатма – навбат бирлик кучлар қўйилади ва ферма стерженларидағи зўриқишлар аниқланади.

11.3 – расм, *a* да берилган ферма, *b*, *c*, *z* – да ферманинг бирлик кучлар қўйилган ҳолати тасвирланган.

Ҳар бир бирлик ҳолат учун ферманинг барча элементларидаги зўриқишларни аниқлаймиз ва шулар асосида бирлик зўриқишларнинг таъсир матрицасини тузамиз:





11.3 – расм

$$L_N = \begin{vmatrix} -2,0 & 0 & 0 \\ -2,0 & -1,0 & 0 \\ -2,0 & -1,33 & -0,67 \\ 2,24 & 0 & 0 \\ 2,24 & 0 & 0 \\ 2,24 & 1,12 & 0 \\ 0 & 0 & 0 \\ 0 & 0,41 & 0 \\ 0 & -0,5 & 0 \\ 0 & -0,6 & 1,2 \end{vmatrix}.$$

Ташқи күчлар устун матрицаси қуйидаги кўринишга эга:

$$P = \begin{vmatrix} 2,0 \\ 4,0 \\ 4,0 \end{vmatrix}.$$

Бирлик зўриқишилар таъсир матрицаси ва ташқи кучлар вектор матрицаси аниқлангач, ферма стерженларидағи зўриқишиларни аниқлаш имконияти туғилади:

$$N = \begin{vmatrix} -2,0 & 0 & 0 \\ -2,0 & -1,0 & 0 \\ -2,0 & -1,33 & -0,67 \\ 2,24 & 0 & 0 \\ 2,24 & 0 & 0 \\ 2,24 & 1,12 & 0 \\ 0 & 0 & 0 \\ 0 & 0,41 & 0 \\ 0 & -0,5 & 0 \\ 0 & -0,6 & 1,2 \end{vmatrix} \cdot \begin{vmatrix} 2,0 \\ 4,0 \\ 4,0 \\ 4,0 \end{vmatrix} = \begin{vmatrix} -4,0 \\ -8,0 \\ -12,0 \\ 4,48 \\ 4,48 \\ 8,96 \\ 0 \\ 5,64 \\ -2,0 \\ 7,20 \end{vmatrix}.$$

11.5. Кўчишларни аниқлашнинг матрица усули

Эластик системаларнинг кўчишларини Мор – Верешчагин усулида аниқлаш тартибини 6 – бобда кўриб ўтган эдик. Ўшанда кўчишларни аниқлаш учун Морнинг интеграллик формуласи

$$\Delta_{kp} = \sum \int \frac{\vec{M}_k M_p}{EJ} dx \quad \text{ни}$$

Верешчагиннинг интегралсиз ифодаси

$$\Delta_{kp} = \frac{1}{EJ} \sum \omega_p y_c$$

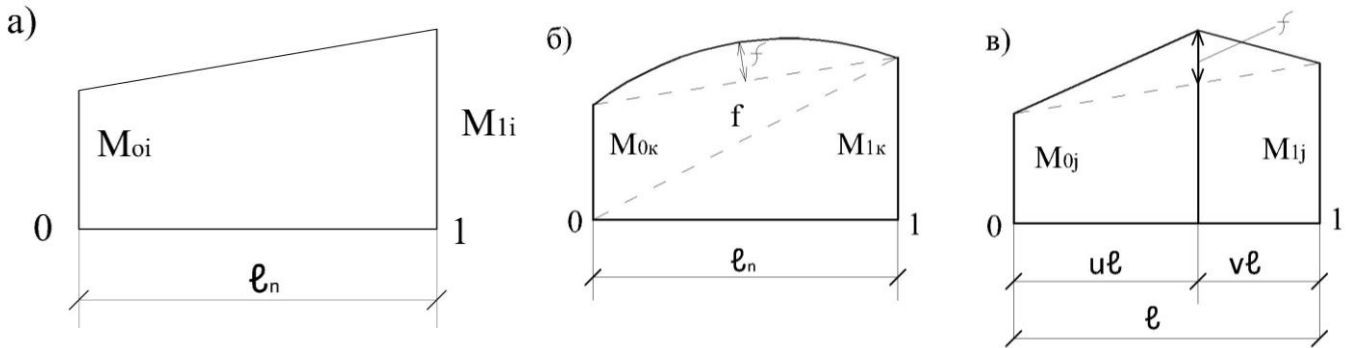
билин алмаштирган эдик.

Бу ерда: ω_p – ташқи кучлардан қурилган M_p эпюрасининг юзаси;

y_c – M_p эпюрасидаги юзанинг оғирлик марказига мос бўлган \vec{M}_k эпюрасидаги ордината.

Кўчишларни Верешчагин усулида аниқлашда икки эпюра ўзаро кўпайтирилади. Бундай “кўпайтирувни” матрица шаклида ҳам амалга оширса бўлади.

Мисол тариқасида икки эпюра M_i ва M_k ни оламиз (11.4 – расм, а, б).



11.4 – расм

M_k эпюрасини пункттир чизиқлар билан уч қисмга бўламиз ва Верешчагин усули бўйича “кўпайтирамиз”.

$$\begin{aligned} \int_0^{\ell} \frac{M_i M_k}{EJ_n} dx &= \frac{1}{EJ_n} \cdot \frac{1}{2} M_{ok} \ell_n \left[M_{oi} + \frac{1}{3} (M_{li} - M_{oi}) \right] + \frac{1}{EJ_n} - \frac{2}{3} f \ell_n \frac{M_{oi} + M_{li}}{2} + \\ &+ \frac{1}{EJ_n} \cdot \frac{1}{2} M_{1k} \ell_n \cdot \left[M_{oi} + \frac{2}{3} (M_{li} - M_{oi}) \right] = \left(\frac{2\ell_n}{6EJ_n} M_{oi} + \frac{\ell_n}{6EJ_n} M_{li} \right) M_{ok} + \\ &+ \left(\frac{2\ell_n}{6EJ_n} M_{oi} + \frac{2\ell_n}{6EJ_n} M_{li} \right) f + \left(\frac{\ell_n}{6EJ_n} M_{oi} + \frac{2\ell_n}{6EJ_n} M_{li} \right) M_{1k}. \end{aligned}$$

Ҳосил бўлган ифодани сатр матрицаси билан устун матрицасининг кўпайтмаси кўринишида ёзса бўлади:

$$\int_0^{\ell} \frac{M_i M_k}{EJ_n} dx = \left(\frac{2\ell_n}{6EJ_n} M_{oi} + \frac{\ell_n}{6EJ_n} M_{li} \right) \left(\frac{2\ell_n}{6EJ_n} M_{oi} + \frac{2\ell_n}{6EJ_n} M_{li} \right) \left(\frac{\ell_n}{6EJ_n} M_{oi} + \frac{2\ell_n}{6EJ_n} M_{li} \right) \cdot \begin{vmatrix} M_{0k} \\ f \\ M_{1k} \end{vmatrix}.$$

Сатр матрицаси $\frac{\ell_n}{6EJ_n}$ ва $\frac{2\ell_n}{6EJ_n}$ коэффициентлари билан бирга M_{0i} ва M_{li}

моментларининг йифиндисидан иборат. Агар M_{0i} ва M_{li} сатр матрицаларини коэффициентлардан ташкил топган матрицалар билан кўпайтирсак, уларнинг биринчи устуни

$$\begin{vmatrix} \frac{2\ell_n}{6EJ_n} \\ \frac{\ell_n}{6EJ_n} \end{vmatrix}; \text{ иккинчи устуни } \begin{vmatrix} \frac{2\ell_n}{6EJ_n} \\ \frac{2\ell_n}{6EJ_n} \end{vmatrix}; \text{ учинчи устуни } \begin{vmatrix} \frac{\ell_n}{6EJ_n} \\ \frac{2\ell_n}{6EJ_n} \end{vmatrix}$$

кўринишига эга бўлади.

Бунда масаланинг тўлиқ матрицаси қуйидаги кўринишида ифодаланилади:

$$\int_0^{\ell} \frac{M_i M_k}{EJ_n} dx = \begin{vmatrix} M_{oi} & M_{1i} \end{vmatrix} \cdot \begin{vmatrix} \frac{2\ell_n}{6EJ_n} & \frac{2\ell_n}{6EJ_n} & \frac{\ell_n}{6EJ_n} \\ \frac{\ell_n}{6EJ_n} & \frac{2\ell_n}{6EJ_n} & \frac{2\ell_n}{6EJ_n} \\ \frac{\ell_n}{6EJ_n} & \frac{2\ell_n}{6EJ_n} & \frac{2\ell_n}{6EJ_n} \end{vmatrix} \cdot \begin{vmatrix} M_{0k} \\ f \\ M_{1k} \end{vmatrix} = \vec{M}_i^1 \cdot D_{gn} \cdot \vec{M}_k. \quad (11.1)$$

Бу ерда: \vec{M}_i^1 – M_i эпюрасидаги моментларнинг транспонирланган устун матрицаси;

D_{gn} – қаралаётган участканинг бикирлик матрицаси;

\vec{M}_k – M_k эпюрасидаги моментларнинг устун матрицаси;

f – M_k эпюрасининг параболик сегментидаги қўшимча қиймат.

Агар $f=0$ бўлса, яъни M_k эпюраси тўғри чизиқли бўлса, бикирлик матрицасининг ўрта устуни чиқариб ташланади. У ҳолда матрица қуйидаги содда кўринишига келади:

$$\int_0^{\ell} \frac{M_i M_k}{EJ_n} dx = \begin{vmatrix} M_{oi} & M_{1i} \end{vmatrix} \cdot \begin{vmatrix} \frac{2\ell_n}{6EJ_n} & \frac{\ell_n}{6EJ_n} \\ \frac{\ell_n}{6EJ_n} & \frac{2\ell_n}{6EJ_n} \end{vmatrix} \cdot \begin{vmatrix} M_{0k} \\ M_{1k} \end{vmatrix} \quad (11.2)$$

Агар тўғри чизиқли эпюрада f қўшимчаси парабола эмас, учбуручакда ҳосил бўлса, у ҳолда M_i ва M_j эпюраларнинг “кўпайтмаси” матрица кўринишида қуйидагича ифодаланилади (11.4 – расм, в):

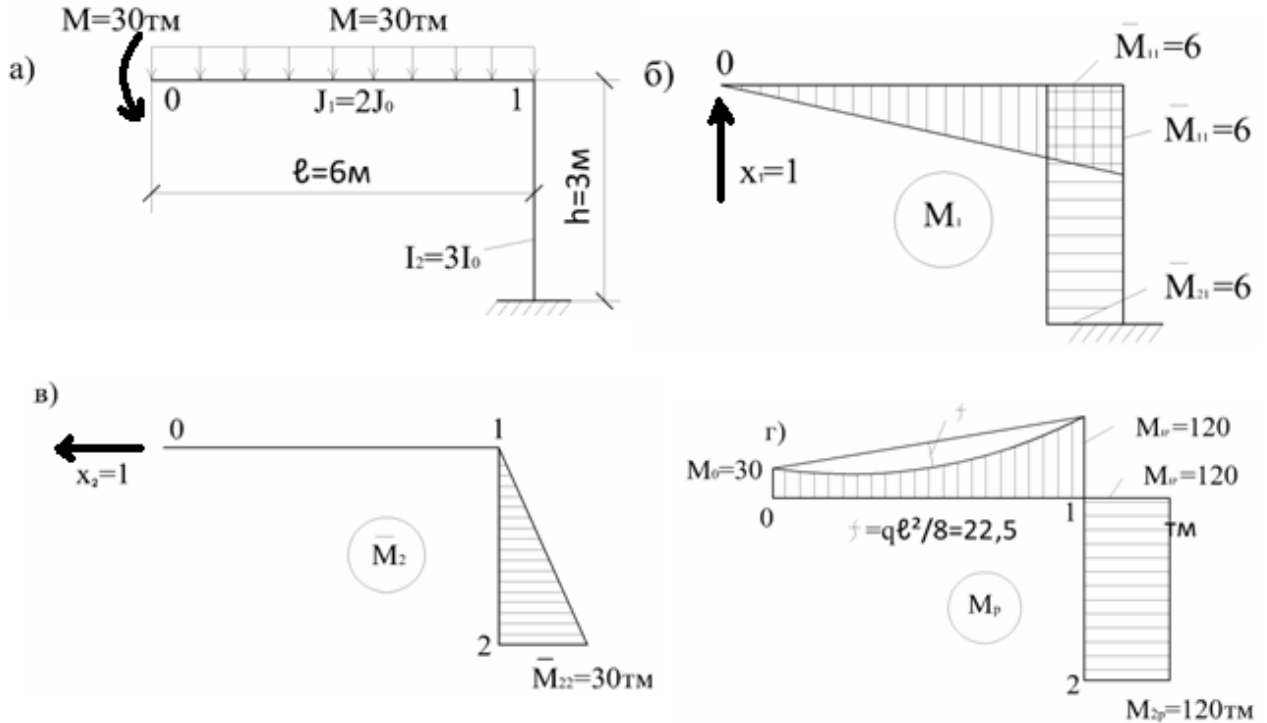
$$\int_0^{\ell} \frac{M_i M_k}{EJ_n} dx = \begin{vmatrix} M_{01} & M_{1i} \end{vmatrix} \cdot \begin{vmatrix} \frac{2\ell_n}{6EJ_n} & (1+v) \frac{\ell_n}{6EJ_n} & \frac{\ell_n}{6EJ_n} \\ \frac{\ell_n}{6EJ_n} & (1+u) \frac{\ell_n}{6EJ_n} & \frac{2\ell_n}{6EJ_n} \end{vmatrix} \cdot \begin{vmatrix} M_{0j} \\ f \\ M_{1j} \end{vmatrix}. \quad (11.3)$$

Мисол. Синик балка кўринишидаги раманинг 0 нуқтасини вертикал ва горизонтал кўчиши аниқлансин (11.5 – расм, а).

Вертикал кўчиши аниқлаш учун 0 нуқтасига вертикал йўналишда $X_I=1$ кучини қўямиз ва шу кучдан бирлик \vec{M}_1 эпюрасини қурамиз (11.5 – расм, б). Ташқи кучдан қурилган эпюра 11.5 – расм, г да берилган.

\vec{M}_1 ва M_p эпюраларнинг биринчи участкаларини (ригелларни) “кўпайтирамиз”:

$$\Delta'_{1p} = \begin{vmatrix} 0 & -6 \\ -6 & 0 \end{vmatrix} \cdot \begin{vmatrix} \frac{2 \cdot 6}{6 \cdot 2EJ_0} & \frac{2 \cdot 6}{6 \cdot 2EJ_0} & \frac{6}{6 \cdot 2EJ_0} \\ \frac{6}{6 \cdot 2EJ_0} & \frac{2 \cdot 6}{6 \cdot 2EJ_0} & \frac{2 \cdot 6}{6 \cdot 2EJ_0} \\ \frac{6}{6 \cdot 2EJ_0} & \frac{6}{6 \cdot 2EJ_0} & \frac{120}{6 \cdot 2EJ_0} \end{vmatrix} \cdot \begin{vmatrix} 30 \\ -22,5 \\ 120 \end{vmatrix} = \begin{vmatrix} 0 & -6 \\ -6 & 0 \end{vmatrix} \cdot \frac{1}{EJ_0} \begin{vmatrix} 67,5 \\ 112,5 \end{vmatrix} = -\frac{675}{EJ_0}.$$



11.5 – расм

Бу ерда ригелнинг устки ва устуннинг ўнг томони толаларини чўзувчи моментлар мусбат, f эса манфий ишора билан олинган, чунки у ригелдаги моментни оширмайди, аксинча камайтиради.

\vec{M}_1 ва M_p эпюраларнинг иккинчи участкаларини (устунларни) “кўпайтирамиз”.

$$\Delta''_{1p} = \begin{vmatrix} 0 & -6 \\ -6 & 0 \end{vmatrix} \cdot \begin{vmatrix} \frac{2 \cdot 3}{6 \cdot 3EJ_0} & \frac{3}{6 \cdot 3EJ_0} \\ \frac{3}{6 \cdot 3EJ_0} & \frac{2 \cdot 3}{6 \cdot 3EJ_0} \\ \frac{6}{6 \cdot 3EJ_0} & \frac{6}{6 \cdot 3EJ_0} \end{vmatrix} \cdot \begin{vmatrix} 120 \\ 120 \end{vmatrix} = -\frac{720}{EJ_0},$$

$$\Delta_{1p} = \Delta'_{1p} + \Delta''_{1p} = -\frac{1395}{EJ_0}.$$

Энди $x_2 = 1$ йўналишидаги горизонтал кўчишни аниқлаймиз (11.5–расм, б):

$$\Delta_{2P} = \begin{vmatrix} 0 & 0 & 3 \end{vmatrix} \cdot \frac{1}{EJ_0} \begin{vmatrix} 1 & 1 & \frac{1}{2} & 0 \\ 1 & 1 & \frac{4}{3} & \frac{1}{6} \\ 2 & 3 & \frac{3}{6} & \frac{1}{120} \\ 0 & 0 & \frac{1}{6} & \frac{1}{120} \end{vmatrix} = \frac{180}{EJ_0}$$

12 – БОБ ЧЕКЛИ ЭЛЕМЕНТЛАР УСУЛИ

12.1. Усулнинг ғояси

Чекли элементлар усули ўтган асрнинг ўрталарида шаклланди ва ҳозирги пайтда физика ва механиканинг турли масалаларини ечишда самарали воситалардан бирига айланди. Дастрлабки кезларда чекли элементлар усули пластиналар, қобиқлар, аркалар, гидротехника иншоотлари сингари еластик системалар соҳасида қўлланилган бўлса, кейинги пайитларда мазкур усул динамика, иссиқлик ўtkазувчанлик, чизиқсиз диффузия, гидродинамика сингари соҳаларда ҳам кенг қўлланила бошланди.

Бу усулнинг номи маълум маънода унинг моҳиятини англатади, яъни бу усулга кўра яхлит конструкция алоҳида оддий элементларга бўлиб чиқилади, кейин унинг кучланиш-деформацияланиш ҳолати тадқиқ етилади. Элементларни бириктириш масаласи мувозанат шартларини қаноатлантириш ёки қўчишларнинг узлуксизлигини таъминлаш орқали амалга оширилади.

ЧЭУ нинг асосий афзалликларидан бири унинг кенг миқёслилигидир. Агар ҳар хил қурилиш конструкцияларини ЭХМда ҳисоблаш учун ҳар қайсисига алоҳида даструрлар тузилган бўлса (масалан, ферма учун алоҳида, балка учун алоҳида) ЧЭУ деярли ҳамма қурилиш конструкцияларини ЭХМда ягона ҳисоблаш алгоритми ва дастури асосида ҳисоблаш имконини беради. Бу лойиҳачи – муҳандиснинг ишини анча енгиллаштиради. Ягона ҳисоблаш алгоритми ва дастури ҳисоблаш вақтини тежайди, ҳисобнинг аниқлик даражасини оширади. Бу усулнинг афзаллиги ҳам шунда.

Умуман конструкцияларни ЭҲМда ҳисоблашда ўта аниқлик ва универсал усуллардан фойдаланиш мақсадга мувофиқдир. Олдинги усуллар ҳамма вақт ҳам бу талабларга жавоб бермайди. Шунинг учун ҳам машинабоп усуллар яратилишига эҳтиёж туғилди. Айниқса, ҳисоблашдаги бир неча ҳил мураккабликларни, яъни конструкцияларнинг чизиқли ва чизиқсиз ишлаш хусусиятларини, ерга эластик таяниши, устуворлик ва бошқа шартларни бир йўла ҳисобга оладиган усул керак эди. Чекли элементлар усули (ЧЭУ) шундай самарали усуллардан бири сифатида юзага келди.

ЧЭУ ғояси берилган системани, масалан, рамани чекли элемент деб аталувчи алоҳида содда элементларга ажратишдан иборатdir. Чекли элементлар аниқ геометрик, физик ва механик ўлчамларга эга бўлиши шарт.

Пластина ва қобиқ конструкцияларини ҳисоблашда чекли элемент сифатида учбурчак, кўпбурчак ва тўғри бурчакли пластиналар қабул қилиниши мумкин, массив конструкциялардан кичик хажмий бўлак тетраэдр ва х.,к. чекли элемент деб қабул қилинади.

Стріженлар системасида чекли элемент сифатида доимий бикирликка эга бўлган стержень қабул қилинади.

Шундай қилиб ЧЭУ берилган конструкцияларни содда, чекли элементларга бўлиб, қурилиш механикаси қоидалари асосида ҳисоблайди.

Содда қўринишга эга бўлган чекли элементнинг ташқи таъсирларга қаршилик кўрсатиш имкониятлари олдиндан аниқланади. ЧЭУ куч усули ёки кўчиш усулларига асосланиши мумкин. Чекли элементлар усулида ҳам асосий система танланиб, тенгламалар тизими тузилади. Асосий система — берилган раманинг энг содда чекли элементлари йиғиндисидир. Тенгламалар тизими чекли элементларнинг узлуксизлигини таъминловчи шартни ифодалайди.

Демак, системани содда бўлакларга бўлиш ғояси, мураккаб конструкцияни содда «чекли» элементлар оркали ифодалаш имконини беради. Киритилувчи узлуксизлик ва бошқа статик шартлар эса чекли элементларнинг берилган система каби ишлашини таъминлайди. Рамаларни

ЧЭУ ёрдамида ҳисоблашда номаълум сифатида куч ёки кўчиш усулларидагидек ички кучлар ёки кўчишлар қабул қилинади.

Ҳисоб куч усули асосида бажарилса, чекли элементларнинг уланиш жойида номаълум сифатида куч қабул қилинади, агарда кўчиш усули асосида олиб борилса, у ҳолда номаълум сифатида тугунларнинг кўчиши қабул қилинади. Умумий ҳолда аралаш усулдан фойдаланса ҳам бўлади. ЧЭУ бўйича ҳисоблашда асосий ролни *мойиллик матриқаси* ёки *бикирлик матриқаси* ўйнайди. Агар ҳисоб куч усулида бажарилганда эса бикирлик матриқасидан фойдаланилади.

Куч усулида номаълум кучлар чекли элементларнинг уланиш жойидаги кўчишларнинг тенглигини ифодаласа, кўчиш усулидаги номаълум кўчишлар — тугунларнинг мувозанатини ифодалайди.

Рамаларни ЧЭУ ёрдамида ҳисоблагандага бир вақтнинг ўзида ҳар бир элементнинг икки учидаги ички кучлар M, Q, N ларни аниқлаш мумкин. ЧЭУ ни матрица кўринишда ифодалаш мақсадга мувофик бўлиб, ҳисоб охирида кўчишлар ҳамда ички кучлар ҳам матрица кўринишида аниқланади.

Чекли элементнинг кўчиш усулига асосланган умумлаштирилган тенгламаси қўйидаги кўринишга эга:

$$\bar{R} \cdot Z + R_p = 0 \quad (12.1)$$

бу ерда \bar{R} — конструкциянинг, хусусан, раманинг бикирлик матриқаси; R_p — юқ матриқаси.

Бу тенглама асосий системага киритилган ҳар бир қўшимча боғланишда бирлик буралиш, силжиш ва чўзилиш, шунингдек, ташқи кучлар таъсиридан ҳосил бўлган тугунлардаги реакцияларнинг йигиндиси нолга тенг эканлигини ифодалайди.

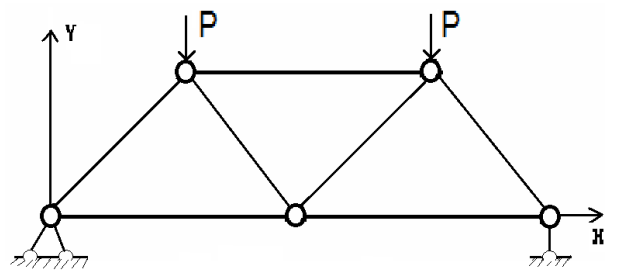
Чекли элементлар усулининг кўчиш усулидан асосий фарқи шундан иборатки, бу усулда деформацияларнинг барча тури инобатга олинади ва ҳар

бир тугунда умумлаштирилган күчишлар аниқланади. Шунинг учун ҳам бу фарқлар бикирлик матрицаларида яққол кўзга ташланади.

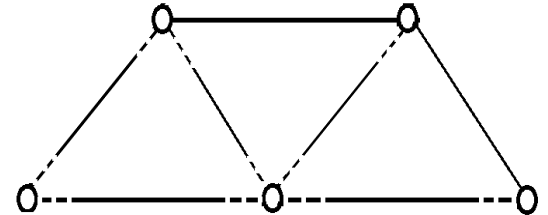
12.2. Стерженли системаларни чекли

Элементлар усулида ҳисоблаш

Яssi ёки фазовий фермалар стерженли системаларнинг энг кенг тарқалган туридир. Статик аниқ яssi қфермани чекли элементлар усулида ҳисоблаш тартиби билан танишамиз. Ферманинг тугунларига ташқи қучлар кўйилган (12.1-расм). Кўп ҳолларда ферма стерженларидағи зўриқишилар ва ферма тугунларининг кўчишларини аниқлаш талаб этилади.



12.1-расм



12.2-расм

Ушбу фермани алоҳида элемент ва тугунлар йиғиндисидан ташкил топган система деб талқин этсак бўлади (12.2-расм).

Ферма стерженларидағи зўриқишилар куйидаги мувозанат тенгламаларидан топилади:

$$\sum_k N_k \cos \alpha_k + x_j = 0; \quad \sum_k N_k \sin \alpha_k + y_j = 0;$$

$$(j=1, 2, \dots, m).$$

Узлуксизлик шарти j тугунга келиб туташувчи элементларнинг учларини кўчиши, айни чоғда, шу кўчишларнинг координат ўқларига бўлган проекциялари ўзаро тенг бўлишини талаб этади, яъни

$$u_{js_1} = u_{js_2} = \dots = u_{js_k} = \dots u_j; \quad v_{js_1} = v_{js_2} = \dots = v_{js_k} = \dots v_j,$$

Бу ерда u_j ва v_j - j -түгүн күчишларининг проекциялари;

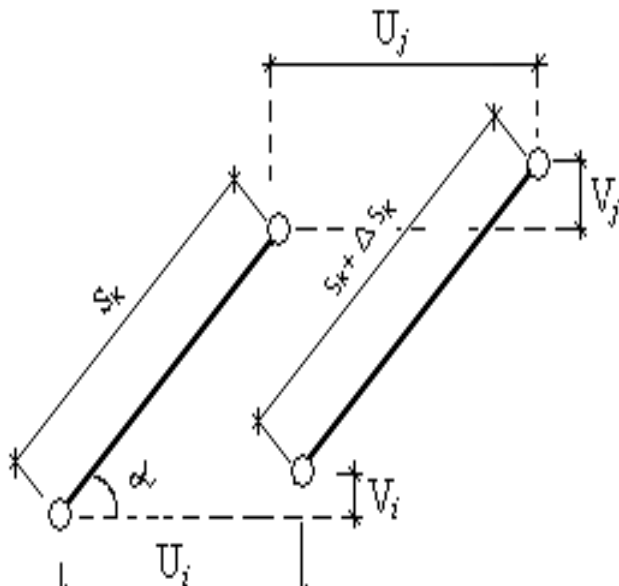
u_{js_k} ва v_{js_k} - k стержень учлари күчишининг координат ўқларига проекцияси.

Элементларнинг узайиши билан улар учларининг күчиши орасидаги боғланиш қыйидаги геометрик тенгламада ўз аксини топган (12.3-расм):

$$\Delta_{s_k} = (u_j - u_i) \cos \alpha_k + (v_j - v_i) \sin \alpha_k.$$

Стреженлар узайишини бўйлама кучлар билан боғлиқлигини ифодаловчи физик тенглама қыйидаги кўринишга эга:

$$\Delta_{s_k} N_k S_k / (E F_k).$$



12.3-расм

Мувозанат тенгламаларини матрица кўринишида ифодалаймиз:

$$(\bar{S}_c \bar{\alpha}) \vec{N} + \vec{P} = 0,$$

бу ерда

$$\vec{N} = \begin{vmatrix} N_1 \\ N_2 \\ \vdots \\ N_s \end{vmatrix}, \quad \vec{P} = \begin{vmatrix} \vec{P}_1 \\ \vec{P}_2 \\ \vdots \\ \vec{P}_m \end{vmatrix},$$

$$\bar{\alpha} = \begin{vmatrix} \bar{\alpha}_1 & & & \\ & \bar{\alpha}_2 & & \\ & & \ddots & \\ & & & \bar{\alpha}_s \end{vmatrix}.$$

Узайишлар вектори

$$\vec{\Delta} = -\bar{\alpha}^* \bar{S}_c^* \vec{u}, \quad \text{бу ерда} \quad \vec{u} = \begin{vmatrix} u_1 \\ u_2 \\ \vdots \\ u_m \end{vmatrix}, \quad \vec{u}_j = \begin{vmatrix} u_j \\ v_j \end{vmatrix}.$$

Физик тенгламалар

$$\vec{\Delta} = \vec{G} \vec{N}, \quad \text{бу ерда } G = \begin{vmatrix} \frac{\ell_1}{EF_1} & & & \\ & \frac{\ell_2}{EF_2} & & \\ & & \ddots & \\ & & & \frac{\ell_s}{EF_s} \end{vmatrix},$$

бундан $\vec{G} \vec{N} = -\bar{\alpha}^* \bar{S}_c^* \vec{u}$ келиб чиқади.

Охирги тенгламадан зўриқишилар билан кўчишилар орасидаги боғланишни аниқлаш мумкин:

$$\vec{N} = -\vec{G}^{-1} \bar{\alpha}^* \bar{S}_c^* \vec{u}.$$

Кўчишилар орқали ифодаланган тенгламани мувозанат тенгламасига қўямиз:

$$\bar{S}_o \bar{S}_c \bar{\alpha} \bar{G}^{-1} \bar{\alpha}^* \bar{S}_c^* \bar{S}_o^* \vec{v} = \vec{Q},$$

бу ердаги \vec{V} кўчишилар тенгламаси \vec{U} дан нолга тенг бўлган кўчишиларни чиқариб ташлаш йўли билан аниқланади. \vec{U} нинг ўзи қуйидаги формуладан топилади:

$$\vec{u} = \bar{S}_o^* \vec{v}.$$

Шундай қилиб, берилган кучлар маълум бўлса, ферма стерженларидаги зўриқишилар

$$\vec{N} = \vec{T} \vec{Q} \quad (a)$$

ифодадан аниқланиши мумкин,

бу ерда

$$\vec{T} = -\bar{G}^{-1} \bar{\alpha}^* \bar{S}_c^* \bar{S}_o^* (\bar{S}_o^* \bar{S}_c^* \bar{\alpha} \bar{G}^{-1} \bar{\alpha}^* \bar{S}_c^* \bar{S}_o^*)^{-1},$$

кўчишилар эса қуйидаги ифодадан топилади:

$$\vec{V} = \vec{L} \vec{Q}, \quad (a)$$

бу ерда

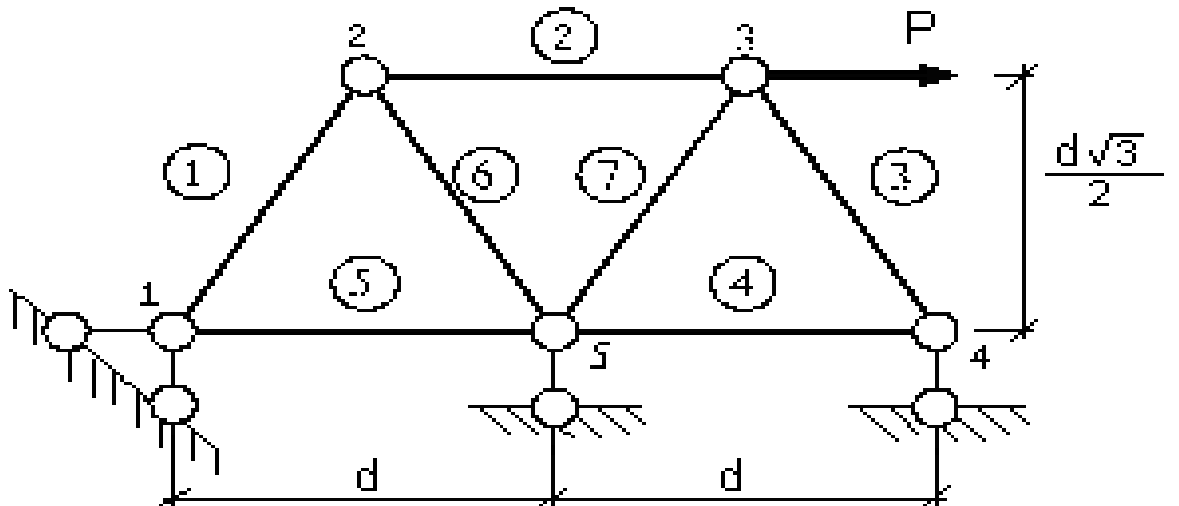
$$\vec{L} = (\bar{S}_o \bar{S}_c \bar{\alpha} \bar{G}^{-1} \bar{\alpha}^* \bar{S}_c^* \bar{S}_o^*)^{-1}.$$

\vec{L} – системанинг мойиллик матрицаси деб аталиб, унинг ҳар бир элементи кўчиши изланаётган нуқтага қўйилган бирлик кучдан ҳосил бўладиган солқиликни аниқлайди.

Мойиллик матрицасининг тескариси *бикирлик матрицаси* дейилади. Бу матрица орқали зўриқишилар аниқланади.

Кўйилган масала (а) ва (б) ифодалар бўйича ҳал этиладиган бўлса, бирор асосий системани танлашга эхтиёж қолмайди, чунки бунда масала бирорта классик усул доирасида эмас, балки умумийроқ тарзда ечилади; кучлар усули ва кўчишилар усули умумлашган усулнинг хусусий ҳоли бўлиб қолади. Масалани ечишда бундай ёндашувнинг афзаллиги шундан иборатки, бунда статик аниқ ёки статик ноаниқ фермаларни ҳисоблаш учун ягона алгоритмдан фойдаланилади. Бу усул ЭҲМ ни қўллашда янада самаралироқ саналади.

Мисол. 12.4-расмда берилган ферманинг стерженларидағи зўриқишилар ва тугунларининг кўчишилари аниқлансин. Барча стерженларнинг кўндаланг кесимлари бир хил деб қабул қилинсин. Стержень ва тугунларнинг тартиб рақамлари расмда қайд этилган. \bar{S}_c \bar{S}_o ва $\bar{\alpha}$ матрицаларини ёзиб оламиз:



12.4 – расм

$$\bar{S}_c = \begin{vmatrix} 1 & 0 & 0 & 0 & 1 & 0 & 0 \\ -1 & 1 & 0 & 0 & 0 & 1 & 0 \\ 0 & -1 & 1 & 0 & 0 & 0 & 1 \\ 0 & 0 & -1 & 1 & 0 & 0 & 0 \\ 0 & 0 & 0 & -1 & -1 & -1 & -1 \end{vmatrix}; \quad \bar{S}_o = \begin{vmatrix} 0 & 0 & 1 & 0 & 0 & 0 & 0 & 0 & 0 & 0 \\ 0 & 0 & 0 & 1 & 0 & 0 & 0 & 0 & 0 & 0 \\ 0 & 0 & 0 & 0 & 1 & 0 & 0 & 0 & 0 & 0 \\ 0 & 0 & 0 & 0 & 0 & 1 & 0 & 0 & 0 & 0 \\ 0 & 0 & 0 & 0 & 0 & 0 & 1 & 0 & 0 & 0 \\ 0 & 0 & 0 & 0 & 0 & 0 & 0 & 1 & 0 & 0 \\ 0 & 0 & 0 & 0 & 0 & 0 & 0 & 0 & 1 & 0 \end{vmatrix};$$

$$\bar{\alpha} = \begin{vmatrix} 0,5 \\ 0,866 \\ 1 \\ 0 \\ 0,5 \\ 0,866 \\ -1 \\ 0 \\ 1 \\ 0 \\ 0,5 \\ -0,866 \\ -0,5 \\ -0,866 \end{vmatrix}$$

\bar{G} матрицаси

$$\bar{G} = \frac{d}{EF} \begin{vmatrix} 1 & & & & & & \\ & 1 & & & & & \\ & & 1 & & & & \\ & & & 1 & & & \\ & & & & 1 & & \\ & & & & & 1 & \\ & & & & & & 1 \end{vmatrix}$$

Матрикаларни қўпайтириб, қўйидагиларни аниқлаймиз:

$$\bar{S}_o \bar{S}_c \bar{\alpha} = \begin{vmatrix} -0,5 & 1 & 0 & 0 & 0 & 0,5 & 5 \\ -0,866 & 0 & 0 & 0 & 0 & -0,866 & 0 \\ 0 & -1 & 0,5 & 0 & 0 & 0 & -0,5 \\ 0 & 0 & -0,866 & 0 & 0 & 0 & -0,866 \\ 0 & 0 & 0,5 & -1 & 0 & 0 & 0 \\ 0 & 0 & 0 & -1 & -1 & -0,5 & 0,5 \end{vmatrix}$$

Бикирлик матрицасини тузамиз:

$$\bar{S}_o \bar{S}_c \bar{\alpha} G^{-1} (\bar{S}_o \bar{S}_c \bar{\alpha})^* = \begin{vmatrix} 1,5 & 0 & -1 & 0 & 0 & -0,25 \\ 0 & 1,5 & 0 & 0 & 0 & 0,433 \\ -1 & 0 & 1,5 & 0 & 0,25 & -0,25 \\ 0 & 0 & 0 & 1,5 & -0,433 & -0,433 \\ 0 & 0 & 0,25 & -0,433 & 1,25 & 1 \\ -0,25 & 0,433 & -0,25 & -0,433 & 1 & 2,5 \end{vmatrix}$$

Мойиллик матрицасини тузамиз:

$$\bar{L} = \begin{vmatrix} 1,693 & -0,190 & 1,375 & -0,0459 & -0,818 & 0,659 \\ -0,190 & 0,726 & -0,216 & -0,00379 & 0,262 & -0,276 \\ 1,375 & -0,216 & 1,875 & -0,0722 & -1,00 & 0,750 \\ -0,0459 & -0,00379 & -0,0722 & 0,746 & 0,262 & 0,0131 \\ -0,818 & 0,262 & -1,00 & 0,262 & 1,818 & -0,909 \\ 0,659 & -0,276 & 0,750 & 0,0131 & -0,909 & 0,955 \end{vmatrix}$$

Күчишларни аниклаш учун (б) формуласидан фойдаланамиз:

$$\vec{V} = \begin{vmatrix} 0 \\ 0 \\ 1,375 \\ -0,216 \\ 1,875 \\ -0,0722 \\ -1,00 \\ 0 \\ 0,750 \\ 0 \end{vmatrix} P.$$

Зёрлишлар (а) формуласидан аникланади:

$$\vec{N} = -\bar{G}^{-1} (\bar{S}_o \bar{S}_c \bar{\alpha})^* \bar{Z} = \begin{vmatrix} 0,5 \\ 0,5 \\ -0,5 \\ 1,75 \\ 0,75 \\ -0,5 \\ -1,65 \end{vmatrix}$$

12.3. Ясси рамаларни ҳисоблаш

Ҳар қандай ясси рама системасини алохида элементлар ва тугунлар мажмуаси деб қабул қилиш мумкин. Энг аввал системанинг кучланиш – деформацияланиш ҳолатини белгиловчи матрицаларни: зўриқишилар (ички кучлар) вектори \vec{Y} , стержень учлари кўчиши \vec{u} ва тугунлар кўчиши $\vec{\delta}$ ларни аниқлаб оламиз:

$$\vec{Y} = \begin{vmatrix} \vec{Y}_1 \\ \vec{Y}_2 \\ \vdots \\ \vec{Y}_s \end{vmatrix}, \quad \vec{u} = \begin{vmatrix} \vec{u}_1 \\ \vec{u}_2 \\ \vdots \\ \vec{u}_s \end{vmatrix}, \quad \vec{\delta} = \begin{vmatrix} \vec{\delta}_1 \\ \vec{\delta}_2 \\ \vdots \\ \vec{\delta}_m \end{vmatrix},$$

бу ерда s – система элементларининг сони;

m – системадаги тугунлар сони;

$\vec{\delta}_i$ – i тугунининг уч хил кўчиши: горизонтал ва вертикал кўчиш ҳамда оғиш ($i = 1, 2 \dots m$).

Кейин системанинг кучланиш-деформацияланиш ҳолатини ифодаловчи асосий тенгламаларни тузатамиз.

Тугунларнинг мувозанат тенгламаси қуидаги кўринишга эга:

$$\bar{S}_p \bar{S}_1 \vec{Y} = \vec{P}.$$

Бундай тенгламалар сони $3m-C_o$ га тенг бўлади.

Бу ерда \vec{P} - ташқи кучлар вектори бўлиб, унинг элементлари сони $3m-C_o$ га тенг (C_o - таянч стерженлари сони). Ноъмалум таянч реакциялари \vec{R} вектори орқали аниқланади. \vec{C} - таянч стерженлари кўчишлари.

Стерженларнинг мувозанат тенгламалари:

$$\bar{S}_2 \bar{Y} = 0.$$

Буларнинг сони $3s$ га тенг.

Оралиқ шарнирларда зўриқишиларнинг нолга тенглиги шарти:

$$\bar{S}_t \bar{Y} = 0.$$

Бундай тенгламаларнинг сони t га тенг бўлади.

Физик тенгламалар

$$\bar{S}_y \vec{Y} - \bar{S}_\phi \vec{u} = 0.$$

Бундай тенгламалар сони 3_S га тенг.

Тугулардаги кўчишларнинг узлуксизлиги шарти

$$-\bar{S}_T \vec{u} + \bar{S}_\delta \vec{\delta} = 0.$$

Бундай тенгламаларнинг сони $6_S - t$ га тенг.

Чегаравий шартлар

$$\bar{S}_R \vec{\delta} = \vec{C}.$$

Бундай тенгламалар сони C_o га тенг.

Тенгламаларнинг умумий сони $3m+12s$ га тенг.

Системанинг таянч реакциялари қуидаги формуладан аниқланади:

$$\vec{R} = \bar{S}_R \bar{S}_1 \vec{Y}.$$

Юқорида келтирилган тенгламаларни умумлаштирсак, қуидаги тенгламалар системаси келиб чиқади:

$$\begin{vmatrix} \bar{S}_p \bar{S}_1 & 0 & 0 \\ \bar{S}_2 & 0 & 0 \\ \bar{S}_t & 0 & 0 \\ \bar{S}_y & -\bar{S}_\phi & 0 \\ 0 & -\bar{S}_T & \bar{S}_\delta \\ 0 & 0 & \bar{S}_R \end{vmatrix} \cdot \begin{vmatrix} \vec{Y} \\ \vec{u} \\ \vec{\delta} \end{vmatrix} = \begin{vmatrix} \vec{P} \\ 0 \\ 0 \\ 0 \\ 0 \\ \vec{C} \end{vmatrix}$$

Мазкур тенгламалар системаси ясси раманинг кучланиш – деформацияланиш ҳолатини тўлиқ аниқлаш имкониятини беради.

МУНДАРИЖА

Кириш	7
I – БОБ.	
1.1. Қурилиш механикаси фани ва унинг вазифалари.....	7
1.2. Қурилиш механикасининг ривожланишига оид маълумотлар.....	9
1.3. Иншоотлар ва уларнинг ҳисоблаш схемалари.....	15
1.4. Таянчлар ва юклар.....	17
1.5. Стерженли системаларнинг геометрик ўзгармаслик шартлари.....	18
1.6. Стерженли системаларнинг эркинлик даражалари	23
1.7. Кучлар тасирининг мустақиллиги қоидаси ва умумлашган эпюралар	26
II – БОБ. ТАСИР ЧИЗИҚЛАРИ НАЗАРИЯСИ	
2.1. Таъсир чизиқлари ҳақида тушунча	28
2.2. Оддий балкаларда зўриқишлиарнинг таъсир чизиқлари.....	29
2.3. Зўриқишлиар қийматини таъсир чизиқлари ёрдамида аниқлаш.....	37
2.4. Юқ тугунлар орқали узатилганда таъсир чизиқларни қуриш.....	40
2.5. Таъсир чизиқлари қуришнинг кинематик усули.....	44
III – БОБ. КЎП ОРАЛИҚЛИ СТАТИК АНИҚ БАЛКАЛАР	
3.1. Умумий маълумотлар.....	47
3.2. КЎп ораликли статик аник шарнирли балкаларни аналитик усулда ҳисоблаш.....	51
3.3. КЎп ораликли статик аник балкаларда таъсир чизиклари.....	53
IV – БОБ. СТАТИК АНИҚ ФЕРМАЛАР	
4.1. Фермалар тўғрисида тушунча ва уларнинг турлари.....	56
4.2. Фермаларни аналитик усулда ҳисоблаш.....	59
4.3. Ферма стерженлардаги зўриқишлиарнинг таъсир чизиклари.....	68
4.4. Шпренгелли фермалар.....	76
V – БОБ. УЧ ШАРНИРЛИ АРКАЛАР ВА РАМАЛАР	
5.1. Уч шарнирли системалар.....	81
5.2. Уч шарнирли аркаларнинг таянч реакцияларини аниқлаш.....	84

5.3. Уч шарнирли аркаларни аналитик усулда ҳисоблаш.....	86
5.4. Уч шарнирли арканинг макбул ўқи.....	88
5.5. Уч шарнирли аркаларни қўзғалувчи юқ таъсирига ҳисоблаш.....	89
5.6. Уч шарнирли тортқичли арка ва рамаларни ҳисоблаш. Ядро моментлари.....	96
5.7. Уч шарнирли аркасимон фермаларни ҳисоблаш.....	99

VI – БОБ. КЎЧИШЛАР НАЗАРИЯСИ

6.1 Кўчишлар ва ишлар ҳақида тушунча.....	110
6.2. Ишлар ва кўчишларнинг ўзаро боғланиши ҳақидаги теоремалар.....	115
6.3. Кўчишларни аниқлаш учун Мор формуласи ва Верешчагин усули....	119
6.4. Ҳароратнинг ўзгаришидан ва таянчларнинг чўкишидан ҳосил бўладиган кўчишлар.....	124
6.5. Кўчишларни Симпсон усулида аниқлаш.....	139

VII - БОБ СТАТИК НОАНИҚ РАМАЛАРНИ КУЧЛАР УСУЛИДА ҲИСОБЛАШ

7.1. Статик ноаниқ системалар ҳақида тушунча.....	143
7.2. Кучлар усулининг асосий системасини танлаш.....	146
7.3. Кучлар усулининг каноник тенгламалари	149
7.4. Каноник тенглама коэффицентлари ва озод ҳадларини аниқлаш.....	152
7.5. Статик ноаниқ рамаларнинг M, Q ва N эпюраларини қуриш.....	155
7.6. Статик ноаниқ рамаларни ҳисоблашда соддалаштириш усуллари.....	158

VIII – КУЧЛАР УСУЛИНИ СТАТИК НОАНИҚ БАЛКА, ФЕРМА ВА АРКАЛАР ҲИСОБИГА ТАДБИҚИ

8.1. Узлуксиз балкаларни ҳисоблаш.....	172
8.2. Узлуксиз балкаларни момент фокуслари усулида ҳисоблаш.....	183
8.3. Статик ноаниқ фермаларни ҳисоблаш.....	192

8.4. Икки шарнирли аркаларни ҳисоблаш.....	197
8.5. Шарнирсиз аркаларни ҳисоблаш.....	200
 IX – БОБ. СТАТИК НОАНИҚ РАМАЛАРНИ КҮЧИШЛАР УСУЛИДА ҲИСОБЛАШ	
9.1. Усулнинг моҳияти	202
9.2. Күчишлар усулининг асосий системаси ва каноник тенгламалари.....	205
9.3. Реакциялар ва кўчишлар орасидаги боғланиш ҳақида теорема.....	210
9.4. Каноник тенглама коэффицентлари ва озод ҳадларини аниқлаш.....	214
9.5. Раманинг M , Q , ва N эпюраларини қуриш	220
9.6. Кўчишлар усулида соддалаштириш	221
9.7. Статик ноаниқ рамаларни аралаш ва комбинация усулларида ҳисоблаш.....	222
 X – БОБ СТАТИК НОАНИҚ РАМАЛАРНИ ҲИСОБЛАШНИНГ ТАҚРИБИЙ УСУЛЛАРИ	
10.1. Такрибий усуллар ҳақида тушунча	234
10.2. Рамаларни вертикал юклар таъсирига такрибий ҳисоблаш.....	235
10.3. Рамаларни горизантал юклар таъсирига такрибий ҳисоблаш.....	236
10.4. Тугунларни мувозанатлаш усули.....	238
 XI– БОБ. ҚУРИЛИШ МЕҲАНИКАСИ МАСАЛАЛАРИГА МАТРИЦАЛАР НАЗАРИЯСИННИНГ ТАТБИҚИ	
11.1. Матрицалар ҳақида тушунча	243
11.2. Матрица амаллари.....	247
11.3. Статик аниқ балкаларни матрицалар ёрдамида ҳисоблаш.....	249
11.4. Статик аниқ фермаларни матрицалар ёрдамида ҳисоблаш.....	252
11.5. Кўчишларни аниқлашнинг матрица усули	255
 XII – БОБ. ЧЕКЛИ ЭЛЕМЕНТЛАР УСУЛИ	
12.1. Усулнинг ғояси	259
12.2. Стерженли системаларни чекли элементлар усулида ҳисоблаш.....	262
12.3. Ясси рамаларни ҳисоблаш	267

ОГЛАВЛЕНИЕ

Глава I. Введение	7
1.1 Предмет строительной механики и её задачи	7
1.2 Пути развития строительной механики	9
1.3 Сооружения и их расчетные схемы	15
1.4 Опоры и нагрузки	17
1.5 Условия геометрической неизменяемости стержневых систем.....	18
1.6 Степени свободы стержневых систем	23
1.7 Принцип независимости действия сил и огибающие эпюры	26
 Глава II. Теория линий влияния	28
2.1 Понятия о линиях влияния	28
2.2 Линии влияния усилий по линиям влияния	29
2.3 Определение усилий по линиям влияния	37
2.4 Построение линий влияния при узловой передаче нагрузок	40
2.5 Кинематический способ построения линий влияния.....	44
 Глава III. Многопролетные статически определимые балки.....	47
3.1 Общие сведения	47
3.2 Аналитический расчет многопролетных шарнирных балок	51
3.3 Линии влияния в многопролетных балках	53
 Глава IV. Статически определимые фермы	56
4.1 Сведения о фермах и их классификация	56
4.2 Аналитический расчет ферм	59
4.3 Линии влияния усилий в фермах	68
4.4 Шпренгельные фермы	76
 Глава V. Трехшарнирные арки и рамы.....	81
5.1 Трехшарнирные системы	81
5.2 Определение опорных реакций трехшарнирных арок	84
5.3 Аналитический расчет трехшарнирные арок	86
5.4 Рациональный ось трехшарнирной арок	88

5.5 Расчет трехшарнирных арок на действие подвижных нагрузок	89
5.6 Расчет трехшарнирных арок и рам с затяжкой	96
5.7 Расчет трехшарнирных арочных ферм	99
Глава VI. Теория перемещений	110
6.1 Понятия о перемещениях и работах	110
6.2 Теоремы о взаимности работ и перемещений	115
6.3 Формула Мора для определения перемещений и правило Верещагина.....	119
6.4 Перемещения возникающие в следствии изменения температур и осадка опор	124
6.5 Определение перемещений по способу Симпсона.....	139
Глава VII. Расчет статически неопределеных рам методом сил	143
7.1 Понятие о статически не определимых системах	143
7.2 Выбор основной системы метода сил	146
7.3 Канонические уравнения метода сил	149
7.4 Определение коэффициентов и свободных членов канонических уравнений	152
7.5 Построение эпюр M, Q и N для статически неопределеных рам.....	155
7.6 Способы упрощения при расчетах статически неопределеных рам.....	158
Глава VIII. Применение метода сил при расчетах статически неопределеных балок, ферм и акор	172
8.1 Расчет неразрезных балок.....	172
8.2 Расчет неразрезных балок методом моментных фокусов.....	183
8.3 Расчет статически неопределеных ферм.....	192
8.4 Расчет двухшарнирных арок	197
8.5 Расчет безшарнирных арок.....	200
Глава IX. Расчет статически неопределеных рам методом переменой.	
9.1 Сущность метода	202
9.2 Основная система метода перемещенный и канонические уравнения.....	205

9.3 Теорема о взаимности реакций и перемещений.....	210
9.4 Определение коэффициентов и свободных членов канонических уравнений.....	214
9.5 Построение эпюр M, Q и N статические неопределеных рам.....	220
9.6 Упрощения в методе перемещений	221
9.7 Расчет статически неопределенных рам смешанным и комбинированным методами.....	222
Глава X. Приближенные способы расчета статически неопределенных рам.	
10.1 Понятия о приближенных способах	234
10.2 Приближенный расчет рам на действие вертикальных сил.....	235
10.3 Приближенный расчет рам на действие горизонтальных сил.....	236
10.4 Способ уравновешивания узлов.....	238
Глава XI. Применение теории матриц в задачах строительной механики.	
11.1 Понятия о матрицах.....	243
11.2 Матричное исчисление.....	247
11.3 Расчет статически определимых балок матричным способом.....	249
11.4 Расчет статически определимых определимых ферм матричных способом	252
11.5 Определение перемещений матричным способом	255
Глава XII. Метод конечных элементов.	259
12.1 Идея метода.....	259
12.2 Расчет стержневых систем методом конечных элементов	262
12.3 Расчет плоских рам.....	267

CONTENTS

Chapter 1. Kinematic analyses of constructions.....	7
1.1 Buildings and their calculating scheme.....	7
1.2 Supports and loads.....	9
1.3 Terms of geometrical invariable fars system.....	15
1.4 Degrees of freedom of fars systems.....	17
1.5 Principles of independent force action.....	18
1.6 Degree of the liberty of the pivotal systems.....	23
1.7 Principle to independence of the action of power and bending around эпюры.....	26
Chapter 2. Theory of lines of influences.....	28
2.1 Concepts of influence lines.....	28
2.2 Line Influence of simple beams.....	29
2.3 Defiction of force by influence lines.....	37
2.4 Construction of line Influence transferring of loads.....	40
2.5 Kinematiccheskiy way of the influence line building.....	44
Chapter 3. Calculation of multy spam statistic determinable beams.....	47
3.1 General information	47
3.2 Calculation of multy spam statistic determinable beams.....	51
3.3 Line influence in multy spam statistic determinable beams.....	53
Chapter 4. Statistical definite frames.....	56
4.1 General concepts.....	56
4.2 Analytical calculation of frames for moving loads.....	59
4.3 Influence lines of efforts in far frames.....	68
4.4 Truss frames.....	76
Chapter 5. Three hingled arches and frames.....	81
5.1 Three hingled arches systems.....	81
5.2 Determinate of support reaction of Three hingled arches.....	84
5.3 Analytical calculation of three hingled arches.....	86

5.4 Pational arches of Three hingled arches.....	88
5.5 Calculation of Three hingled arches for action of moving loads.....	89
5.6 Calculation of three hingle and frame with frightening.....	96
5.7 Calculation of three hingle and frames.....	99
Chapter 6. Theary of movement	110
6.1 Conception about movement and work.....	110
6.2 Theary about reciprocity of work and movement.....	115
6.3 Formula of work for Determinate movement and rules of vereshagina.....	119
6.4 Movement occur changing of temperature and seeting of bearing.....	124
6.5 Determinate of movement by Simpson.....	139
Chapter 7. Calculation of statistic undefined system by force.....	143
7.1 Conception of statistic indeterminable frame by methods of force.....	143
7.2 Choice of main system force method.....	146
7.3 Comical eqnation of force method.....	149
7.4 Determinate of coefficient and free members of conocalic equation	152
7.5 Construction curve of M,Q and N for statistic indeterminable frame.....	155
7.6 Methods of simplication on calculation indeterminable frame.....	158
Chapter 8. Application of force methods Calculation of statistic indeterminable beams, frames and arches	172
8.1 Calculation of continuous beams.....	172
8.2 Calculation of continuous beams by methods of moment focuses.....	189
8.3 Calculation of statistic indeterminable Frames.....	192
8.4 Calculation of twocirred arches	197
8.5 Calculation of cireled arches.....	200
Chapter 9. Calculation of indeterminable frames by changing methods.....	202
9.1 Essence of methods.....	202
9.2 Main system of methods of movement and canonical equation.....	205
9.3 Theary about reciprocity of work and movement.....	210
9.4 Determinate of coefficient and free members of conocalic equation	214
9.5 Construction curve of M,Q and N for statistic indeterminable frame.....	220

9.6 Simplification in methods of movement.....	221
9.7 Calculation of statistic indeterminate frames mixed and complex methods.....	222
Chapter 10. Approaching methods of Calculation of statistic indeterminate frames.....	234
10.1 Conception Approaching methods.....	234
10.2 Approaching Calculation of frames to action.....	235
10.3 Approached Calculation of frame to action of corizontal force	236
10.4 Methods of balancing knot.....	238
Chapter 11. Application of theory matrix in tasks of constructional mechanics.....	243
11.1 Conception of matrix.....	243
11.2 Matrix calculus.....	247
11.3 Calculation of statistical determinable beams by Matrix methods.....	249
11.4 Calculation of statistical determinable frames by Matrix methods.....	252
11.5 Determinatee movement by matrix methods.....	255
Chapter 12. Methods of final elements.....	259
12.1 Method idea	259
12.2 Calculation of bar system by methods of final element.....	262
12.3 Calculation of flat frame.....	267